



Universidade Federal do Rio Grande do Norte  
Centro de Tecnologia  
Departamento de Engenharia Química  
Programa de Pós-Graduação em Engenharia Química



## **TESE DE DOUTORADO**

# **Modelagem e Simulação da Solubilidade de Sais em Sistemas Aquosos com Monoetilenoglicol**

**José Augusto Furtado de Oliveira**

**Orientador: Prof. Dr. Osvaldo Chiavone-Filho**

**Coorientador: Prof. Dr. Afonso Avelino Dantas Neto**

**Natal**

**Junho/2014**



José Augusto Furtado de Oliveira

## **Modelagem e Simulação da Solubilidade de Sais em Sistemas Aquosos com Monoetilenoglicol**

Tese de Doutorado apresentada ao Programa de Pós-Graduação em Engenharia Química (PPGEQ), da Universidade Federal do Rio Grande do Norte (UFRN), como parte dos requisitos necessários para a obtenção do título de Doutor em Engenharia Química.

Universidade Federal do Rio Grande do Norte  
Centro de Tecnologia  
Departamento de Engenharia Química  
Programa de Pós-Graduação em Engenharia Química

Orientador: Prof. Dr. Osvaldo Chiavone-Filho  
Coorientador: Prof. Dr. Afonso Avelino Dantas Neto

Natal  
Junho/2014

Catalogação da Publicação na Fonte.  
UFRN / CT / DEQ / PPGEQ  
Biblioteca Setorial “Professor Horácio Nicolas Solimo”.

Oliveira, José Augusto Furtado de.

Modelagem e Simulação da Solubilidade de Sais em Sistemas Aquosos com Monoetilenoglicol / José Augusto Furtado de Oliveira. - Natal : Junho/2014.  
**169** p.; il. (algumas color.); 30 cm.

Orientador: Prof. Dr. Osvaldo Chiavone-Filho

Coorientador: Prof. Dr. Afonso Avelino Dantas Neto

Tese de Doutorado - Universidade Federal do Rio Grande do Norte. Centro de Tecnologia. Departamento de Engenharia Química. Programa de Pós-Graduação em Engenharia Química.

1. Solubilidade - Tese. 2. Monoetilenoglicol (MEG) - Tese. 3. Sal - Tese. 4. Eletrólitos - Tese. 5. Termodinâmica molecular - Tese. 6. Desidratação do gás natural - Tese. 7. Regeneração do MEG - Tese. I. Chiavone-Filho, Osvaldo. II. Dantas Neto, Afonso Avelino. III. Universidade Federal do Rio Grande do Norte Centro de Tecnologia  
Departamento de Engenharia Química  
Programa de Pós-Graduação em Engenharia Química. IV. Título.

José Augusto Furtado de Oliveira

## **Modelagem e Simulação da Solubilidade de Sais em Sistemas Aquosos com Monoetilenoglicol**

Tese de Doutorado apresentada ao Programa de Pós-Graduação em Engenharia Química (PPGEQ), da Universidade Federal do Rio Grande do Norte (UFRN), como parte dos requisitos necessários para a obtenção do título de Doutor em Engenharia Química.

Trabalho aprovado. Natal, 02 de Junho de 2014:

---

**Prof. Dr. Osvaldo Chiavone-Filho**  
Orientador - UFRN

---

**Prof. Dr. Afonso Avelino Dantas Neto**  
Coorientador - UFRN

---

**Prof. Dr. Edson Luiz Foletto**  
Membro Externo - UFSM

---

**Prof. Dr. André Luís Novais Mota**  
Membro Externo - UFERSA

---

**Prof. Dr. Humberto Neves Maia de Oliveira**  
Membro Interno - UFRN

---

**Dr<sup>a</sup>. Dannielle Janainne da Silva**  
Membro Interno - UFRN



*Dedico este trabalho à minha esposa **Marizete de Melo Oliveira** e filhos,  
**Jéssica de Melo Oliveira** e **Samuel Furtado de Oliveira**,  
cuja simples existência faz tudo valer a pena!*



# Agradecimentos

Ao Senhor Jesus, em primeiro lugar, por **TUDO!** Sem Ele nada seria possível!

À minha esposa Marizete e meus Filhos, Jéssica e Samuel, pelo **AMOR!**

À minha mãe, Eudézia, pela **EDUCAÇÃO** e **SUPORTE**, além do natural para uma mãe, que foram-me dados!

À Agência Nacional de Petróleo Gás Natural e Biocombustíveis (ANP) pelo **APOIO FINANCEIRO**.

Ao Centro de Pesquisas da Petrobras (CENPES) pela formação do grupo de **PESQUISA** do MEG no Laboratório de Fotoquímica e Equilíbrio de Fases (FOTEQ).

Ao Prof. Osvaldo Chiavone Filho pela **ORIENTAÇÃO** e **DEDICAÇÃO** no desenvolvimento desta tese de doutorado.

Ao Prof. Afonso Avelino Dantas Neto pelo **APOIO** do Programa de Recursos Humanos ANP-14 (PRH ANP-14).

Ao Prof. Eduardo Lins de Barros Neto pelo **INCENTIVO!**

Ao Prof. Humberto Neves Maia de Oliveira pelo **CAFEZINHO!**

Ao Prof. José Romualdo Dantas Vidal e Maria Carlenise Paiva de Alencar Moura pelo **ESTÍMULO** e **AMIZADE!**

À Maria José de Sousa Brunet pela **PACIÊNCIA** e **RAPIDEZ** nas diversas solicitações de vital importância deste projeto.

Ao aluno de iniciação científica Bruno Dezan Samorini pela **EFICIÊNCIA**.

A TODO o pessoal do Núcleo de Ensino e Pesquisa em Petróleo e Gás (NUPEG) e do laboratório de Fotoquímica e Equilíbrio de Fases (FOTEQ) pelo **COLEGUISMO**.

E a todos que, embora não citados aqui, **COLABORARAM** de forma direta ou indireta para o desenvolvimento desta tese de doutorado. **MUITO OBRIGADO!**



*“Tudo tem o seu tempo determinado, e há  
tempo para todo o propósito debaixo do céu.  
(Bíblia ACF, Eclesiastes 3:1)*



# Resumo

**OLIVEIRA, José Augusto Furtado de -** Modelagem e Simulação da Solubilidade de Sais em Sistemas Aquosos com Monoetilenoglicol. Tese de Doutorado, Universidade Federal do Rio Grande do Norte (UFRN), Programa de Pós-Graduação em Engenharia Química (PPGEQ), Natal, Brasil. Área de Concentração: Engenharia de Processos.

**Orientador:** Prof. Dr. Osvaldo Chiavone-Filho

**Coorientador:** Prof. Dr. Afonso Avelino Dantas Neto

---

O processamento primário do gás natural em plataformas como a do Campo de Mexilhão (PMXL-1) na Bacia de Santos, onde o Monoetileno glicol (MEG) tem sido utilizado como inibidor da formação de hidratos, apresenta problemas operacionais causados por incrustações de sal na unidade de recuperação do MEG. Pesquisa bibliográfica e análise dos dados de solubilidade de sal em misturas de solventes, a saber: água e MEG, revelam que estudos experimentais estão disponíveis para um número relativamente restrito das espécies iônicas presentes na água produzida, tais como NaCl e KCl. O objetivo deste trabalho foi desenvolver um método de cálculo para a solubilidade de um sal em misturas de solventes, neste caso, para o NaCl ou KCl em misturas aquosas contendo MEG. O método de cálculo estendeu o modelo de Pitzer, com a abordagem de Lorimer, para sistemas aquosos contendo um sal e um outro solvente (MEG). A linguagem Python no ambiente de desenvolvimento integrado (IDE) Eclipse foi usada na criação de aplicativos computacionais. Os resultados indicam a viabilidade da modelagem proposta para uma série de dados de solubilidade do sal (NaCl ou KCl) em misturas de água e MEG. Além disso, o aplicativo desenvolvido em Python tem demonstrado ser adequado para estimação de parâmetros e de simulação.

---

**Palavras-chave:** solubilidade. eletrólitos. monoetilenoglicol. mistura de solventes. processamento de gás natural. Python.



# Abstract

**OLIVEIRA, José Augusto Furtado de** - Modeling and Simulation of the Solubility of Salts in Aqueous Systems with Monoethyleneglycol. Doctoral Thesis, Federal University of Rio Grande do Norte (UFRN), Program of Postgraduation in Chemical Engineering (PPGEQ), Natal, Brazil. Concentration Area: Process Engineering.

**Supervisor:** Prof. Dr. Osvaldo Chiavone-Filho

**Joint Supervisor:** Prof. Dr. Afonso Avelino Dantas Neto

---

Primary processing of natural gas platforms as Mexilhão Field (PMXL-1) in the Santos Basin, where monoethylene glycol (MEG) has been used to inhibit the formation of hydrates, present operational problems caused by salt scale in the recovery unit of MEG. Bibliographic search and data analysis of salt solubility in mixed solvents, namely water and MEG, indicate that experimental reports are available to a relatively restricted number of ionic species present in the produced water, such as NaCl and KCl. The aim of this study was to develop a method for calculating of salt solubilities in mixed solvent mixtures, in explantion, NaCl or KCl in aqueous mixtures of MEG. The method of calculating extend the Pitzer model, with the approach Lorimer, for aqueous systems containing a salt and another solvent (MEG). Python language in the Integrated Development Environment (IDE) Eclipse was used in the creation of the computational applications. The results indicate the feasibility of the proposed calculation method for a systematic series of salt (NaCl or KCl) solubility data in aqueous mixtures of MEG at various temperatures. Moreover, the application of the developed tool in Python has proven to be suitable for parameter estimation and simulation purposes.

---

**Keywords:** solubility. electrolytes. monoethyleneglycol. mixture of solvents. natural gas processing. Python.



# Listas de ilustrações

Figura 1 – Localização do Campo de Mexilhão. . . . .	31
Figura 2 – Desenho esquemático do desenvolvimento do Campo de Mexilhão. . . . .	32
Figura 3 – Atividade de produção de gás e condensado projetada para o Campo de Mexilhão. . . . .	33
Figura 4 – Remoção de bloco de hidratos de tubulação. . . . .	34
Figura 5 – Estrutura dos hidrato de metano e etano. . . . .	34
Figura 6 – Mecanismos de inibição de hidratos. . . . .	35
Figura 7 – Processo Geral de recuperação do MEG. . . . .	36
Figura 8 – Unidade de MEG - Campo de Mexilhão. . . . .	37
Figura 9 – Sistema de Recuperação - Evaporador à vácuo / <i>Downcomer</i> . . . . .	38
Figura 10 – Estratégia de abordagem do trabalho desta tese de doutorado. . . . .	41
Figura 11 – Esquema de formação de etilenoglicóis. . . . .	43
Figura 12 – Representação do Equílibrio de um elétrolito em mistura de solventes. .	46
Figura 13 – Conceito de solução ideal hipotética. . . . .	47
Figura 14 – Fluxograma de obtenção de propriedades termodinâmicas a partir da energia livre de Gibbs. . . . .	51
Figura 15 – Fluxograma da metodologia de desenvolvimento e teste do modelo de solubilidade de sais em misturas de solventes. . . . .	59
Figura 16 – Programa desenvolvido : Seleção do sistema a ser estudo. . . . .	71
Figura 17 – Programa desenvolvido : Relatório gerado. . . . .	72
Figura 18 – Programa desenvolvido : Opções para geração de gráficos binários. . .	72
Figura 19 – Programa desenvolvido : Opções para geração de gráficos ternários. .	73
Figura 20 – Programa desenvolvido : Gráficos. . . . .	73
Figura 21 – Molalidade do NaCl em H <sub>2</sub> O versus Temperatura. . . . .	75
Figura 22 – Molalidade do NaCl em MEG versus Temperatura. . . . .	76
Figura 23 – Isotermas do potencial químico padrão de excesso do NaCl em mistura de solventes versus concentração de MEG livre de NaCl (Regressão). .	78
Figura 24 – Isotermas do potencial químico padrão de excesso do NaCl em mistura de solventes versus concentração de MEG livre de NaCl (Predição). .	79
Figura 25 – Isotermas da molalidade do NaCl em mistura de solventes versus concentração de MEG livre de NaCl (Regressão). . . . .	80
Figura 26 – Isotermas da molalidade do NaCl em mistura de solventes versus concentração de MEG livre de NaCl (Predição). . . . .	81
Figura 27 – Isotermas do logaritmo de excesso da molalidade do NaCl em mistura de solventes versus concentração de MEG livre de NaCl (Regressão). .	82

Figura 28 – Isotermas do logaritmo de excesso da molalidade do NaCl em mistura de solventes versus concentração de MEG livre de NaCl (Predição) . . .	83
Figura 29 – Isotermas do logaritmo do coeficiente de atividade do NaCl em mistura de solventes versus concentração de MEG livre de NaCl (Regressão) . . .	84
Figura 30 – Isotermas do logaritmo do coeficiente de atividade do NaCl em mistura de solventes versus concentração de MEG livre de NaCl (Predição) . . .	85
Figura 31 – Isotermas do logaritmo de excesso do coeficiente de atividade do NaCl em mistura de solventes versus concentração de MEG livre de NaCl (Regressão) . . . . .	86
Figura 32 – Isotermas do logaritmo de excesso do coeficiente de atividade do NaCl em mistura de solventes versus concentração de MEG livre de NaCl (Predição) . . . . .	87
Figura 33 – Molalidade do KCl em H <sub>2</sub> O versus Temperatura. . . . .	89
Figura 34 – Molalidade do KCl em MEG versus Temperatura. . . . .	90
Figura 35 – Isotermas do potencial químico padrão de excesso do KCl em mistura de solventes versus concentração de MEG livre de KCl (Regressão) . . .	92
Figura 36 – Isotermas do potencial químico padrão de excesso do KCl em mistura de solventes versus concentração de MEG livre de KCl (Predição) . . .	93
Figura 37 – Isotermas da molalidade do KCl em mistura de solventes versus concentração de MEG livre de KCl (Regressão) . . . . .	94
Figura 38 – Isoterma da molalidade do KCl em mistura de solventes versus concentração de MEG livre de KCl (Predição) . . . . .	95
Figura 39 – Isotermas do logaritmo de excesso da molalidade do KCl em mistura de solventes versus concentração de MEG livre de KCl (Regressão) . . .	96
Figura 40 – Isotermas do logaritmo de excesso da molalidade do KCl em mistura de solventes versus concentração de MEG livre de KCl (Predição) . . .	97
Figura 41 – Isotermas do logaritmo do coeficiente de atividade do KCl em mistura de solventes versus concentração de MEG livre de KCl (Regressão) . .	98
Figura 42 – Isotermas do logaritmo do coeficiente de atividade do KCl em mistura de solventes versus concentração de MEG livre de KCl (Predição) . .	99
Figura 43 – Isotermas do logaritmo de excesso do coeficiente de atividade do KCl em mistura de solventes versus concentração de MEG livre de KCl (Regressão) . . . . .	100
Figura 44 – Isotermas do logaritmo de excesso do coeficiente de atividade do KCl em mistura de solventes versus concentração de MEG livre de KCl (Predição) . . . . .	101
Figura 45 – Validação do Modelo de Pitzer implementado ( $\gamma$ ) . . . . .	102
Figura 46 – Validação do Modelo de Pitzer implementado ( $\phi$ ) . . . . .	102
Figura 47 – Comparação do Modelo implementado com o Modelo ideal (Equação 2.35).103	

# **Lista de tabelas**

Tabela 1 – Banco de dados de solubilidade de sal em mistura de solventes. . . . .	42
Tabela 2 – Banco de dados de solubilidade de sal em água. . . . .	42
Tabela 3 – Características da água de formação do reservatório do campo de Mexilhão.	44
Tabela 4 – Parâmetros da Equação 4.1 obtidos por regressão para o Sistema H <sub>2</sub> O+NaCl. . . . .	74
Tabela 5 – Parâmetros da Equação 4.2 obtidos por regressão para o Sistema MEG+NaCl. . . . .	75
Tabela 6 – Parâmetros da Equação 4.3 obtidos por regressão para o Sistema H <sub>2</sub> O+MEG+NaCl. . . . .	77
Tabela 7 – Parâmetros da Equação 4.4 obtidos por regressão para o Sistema H <sub>2</sub> O+KCl. . . . .	88
Tabela 8 – Parâmetros da Equação 4.5 obtidos por regressão para o Sistema MEG+KCl. . . . .	89
Tabela 9 – Parâmetros da Equação 4.6 obtidos por regressão para o Sistema H <sub>2</sub> O+MEG+KCl. . . . .	91
Tabela 10 – Comparação do Modelo implementado com o Modelo ideal (Equação 2.35).	103



# Listas de abreviaturas e siglas

PPGEQ	Pós-Graduação em Engenharia Química
UFRN	Universidade Federal do Rio Grande do Norte
UFSM	Universidade Federal de Santa Maria
UFERSA	Universidade Federal Rural do Semi-Árido
ANP	Agência Nacional de Petróleo Gás Natural e Biocombustíveis
CENPES	Centro de Pesquisas da Petrobras
FOTEQ	Laboratório de Fotoquímica e Equilíbrio de Fases
PRH	Programa de Recursos Humanos
NUPEG	Núcleo de Ensino e Pesquisa em Petróleo e Gás
MEG	Monoetileno glicol
NaCl	Cloreto de sódio
KCl	Cloreto de potássio
IDE	<i>Integrated Development Environment</i> (Ambiente de Desenvolvimento Integrado)
PMXL-1	Plataforma número 1 do Campo de Mexilhão na Bacia de Santos



# Lista de símbolos

$b_i$	molalidade de $i$
$m_{\text{solv}}$	massa do solvente
$n_i$	número de moles de $i$
$M_i$	massa molecular de $i$
$c_i$	molaridade de $i$
$V$	volume da solução
$x_i$	fração molar de $i$ (fase líquida)
$n$	número de moles total na solução
$\mu_i$	potencial químico de $i$
$G$	energia livre de Gibbs
$T$	temperatura
$P$	pressão
$n_{j \neq i}$	todos os números de moles exceto o referente a $i$
$R$	constante universal do gases ideais
$\mu_i^\bullet$	potencial químico de $i$ em um estado padrão apropriadamente escolhido
$a_i$	atividade de $i$
$\gamma_i$	coeficiente de atividade de $i$
$\xi_i$	uma conveniente escala de concentração
$\mu_i^0$	potencial químico racional simétrico de $i$
$\mu_{i,x}^\nabla$	potencial químico racional assimétrico
$\gamma_{i,x}^*$	coeficiente de atividade racional assimétrico
$\gamma_i^\infty$	coeficiente de atividade em diluição infinita
$b_0$	molalidade unitária

$M_{\nu_+} X_{\nu_-}$	eletrólito eletricamente neutro
$\nu_+$	número de cátions
$z_+$	carga do cátion
$\nu_-$	número de ânions
$z_-$	carga do ânion
$MX$	eletrólito eletricamente neutro (abreviado)
$\nu$	número total de íons
$y_i$	fração molar de $i$ (fase vapor)
$P_i^{\text{sat}}$	pressão de vapor do componente $i$ puro
$H_i$	constante de Henry para o componente $i$
$\kappa^{-1}$	comprimento de Debye-Hückel
$\varepsilon_0$	permisividade no vácuo
$\varepsilon_r$	permisividade relativa, usualmente conhecida como constante dielétrica
$\rho_{\text{solv}}$	densidade do solvente
$N_A$	número de Avogadro
$e$	carga do elétron
$I$	força iônica
$b$	um parâmetro do modelo de Pitzer ( $b = 1,2 \text{ kg}^{\frac{1}{2}} \cdot \text{mol}^{-\frac{1}{2}}$ )
$B_{\pm}$	parâmetro empírico da extensão de Guggenheim
$M^E$	uma propriedade de excesso
$M^{\text{id}}$	uma propriedade ideal
$\bar{M}_i$	uma propriedade parcial molar de $i$
$\bar{M}_i^{\text{id}}$	uma propriedade parcial molar ideal de $i$
$G^E$	energia livre de Gibbs de excesso
$V^E$	volume de excesso
$S^E$	a entropia de excesso

$\bar{G}^E$	energia livre de Gibbs parcial molar de excesso de $i$
$\hat{f}_i$	fugacidade de $i$ na solução, ou mistura
$f_i^\bullet$	fugacidade de $i$ no estado padrão
$f_i^0$	fugacidade racional simétrica de $i$
$H_{i,x}$	constante de Henry racional
$H_{i,b}$	constante de Henry molal
$[\ln b_{\text{MX}}^{\{\text{H}_2\text{O+MEG}\}}]^{\text{id}}$	logaritmo ideal da molalidade do sal MX em água e MEG
$x_{\text{H}_2\text{O}}^{\{\text{H}_2\text{O+MEG}\}}$	fração molar da água livre de sal
$x_{\text{MEG}}^{\{\text{H}_2\text{O+MEG}\}}$	fração molar do MEG livre de sal
$\ln b_{\text{MX}}^{\{\text{H}_2\text{O}\}}$	logaritmo ideal da molalidade do sal MX em água
$\ln b_{\text{MX}}^{\{\text{MEG}\}}$	logaritmo ideal da molalidade do sal MX em MEG
$[\ln b_{\text{MX}}^{\{\text{H}_2\text{O+MEG}\}}]^E$	logaritmo de excesso da molalidade do sal MX em água e MEG
$b_{\text{MX}}^{\{\text{H}_2\text{O+MEG}\}}$	molalidade do sal MX em água e MEG
$b_{\text{MX}}^{\{\text{H}_2\text{O}\}}$	molalidade do sal MX em água
$k_S$	constante de Setchenov
$\phi$	coeficiente osmótico
$a_{\text{H}_2\text{O}}$	atividade da água
$M_{\text{H}_2\text{O}}$	massa molecular da água
$\beta_{\text{MX}}^{(0)}$	parâmetro do modelo de Pitzer
$\beta_{\text{MX}}^{(1)}$	parâmetro do modelo de Pitzer
$\Lambda_{MMX}$	parâmetro do modelo de Pitzer
$\Lambda_{MXX}$	parâmetro do modelo de Pitzer
$\nu$	coeficiente estequiométrico do sal
$\nu_M$	coeficiente estequiométrico do cátion
$\nu_X$	coeficiente estequiométrico do ânion
$z_M$	carga do cátion
$z_X$	carga do ânion



# Sumário

<b>1</b>	<b>INTRODUÇÃO</b>	<b>31</b>
1.1	Atividade de produção no Campo de Mexilhão <sup>1</sup>	31
1.2	Formação de hidratos em tubulações	33
1.3	Estrutura dos hidratos	34
1.4	Inibição da formação de hidratos	35
1.5	Uso do MEG como inibidor de hidratos	36
1.6	Problemas no processo de recuperação do MEG	36
<b>2</b>	<b>REVISÃO BIBLIOGRÁFICA</b>	<b>41</b>
2.1	Dados Experimentais	41
2.2	O monoetenoglicol	43
2.3	Seleção dos sistemas	43
2.4	Equilíbrio de Fases para Sistemas com Eletrólitos	44
2.4.1	Escalas de concentração	44
2.4.2	Potencial químico	45
2.4.3	Estado padrão	46
2.4.4	Coeficiente de atividade médio iônico e molalidade média iônica	47
2.4.5	Leis limitantes	48
2.4.6	Energia livre de Gibbs para soluções eletrolíticas reais	49
2.4.7	Fugacidade	50
2.5	Modelos Termodinâmicos	51
2.5.1	Ideal	52
2.5.2	Setchenov	52
2.5.3	Pitzer	53
2.6	Outros Modelos Termodinâmicos	54
2.7	Ferramentas Computacionais	56
<b>3</b>	<b>METODOLOGIA</b>	<b>59</b>
3.1	Molalidade e fração molar	60
3.1.1	Cálculo da molalidade do sal na mistura de solventes	60
3.1.2	Cálculo da fração molar do MEG livre de sal na mistura de solventes	60
3.2	Constantes dielétricas	60
3.2.1	Cálculo das constantes dielétricas dos solventes puros	60
3.2.2	Cálculo das constantes dielétricas da mistura de solventes	60
3.3	Densidades	61

<sup>1</sup> As informações presentes nesta seção foram obtidas de Petrobras (2007)

3.3.1	Cálculo das densidades dos solventes puros . . . . .	61
3.3.2	Cálculo das densidades da mistura de solventes . . . . .	61
<b>3.4</b>	<b>Coeficiente de atividade . . . . .</b>	<b>62</b>
3.4.1	Cálculo do coeficiente de atividade do sal pelo Modelo de Pitzer . . . . .	62
3.4.2	Parâmetros do modelo de Pitzer em água . . . . .	62
3.4.2.1	Cálculo dos parâmetros do modelo de Pitzer para o NaCl . . . . .	62
3.4.2.2	Cálculo dos parâmetros do modelo de Pitzer para o KCl . . . . .	63
3.4.3	Constante de Debye-Hückel . . . . .	63
3.4.3.1	Cálculo da constante de Debye-Hückel para a água . . . . .	63
3.4.3.2	Cálculo da constante de Debye-Hückel para o MEG e para a mistura de solventes . . . . .	63
3.4.4	Cálculo do coeficiente de atividade do sal em MEG . . . . .	64
3.4.5	Parâmetros do modelo de Pitzer em mistura de solventes . . . . .	64
<b>3.5</b>	<b>Algoritmos . . . . .</b>	<b>64</b>
3.5.1	Cálculo das propriedades de excesso do sal em mistura de solventes . . . . .	65
3.5.2	Cálculo das demais propriedades . . . . .	67
<b>4</b>	<b>RESULTADOS E DISCUSSÕES . . . . .</b>	<b>71</b>
<b>4.1</b>	<b>Como os resultados foram calculados através do programa desenvolvido . . . . .</b>	<b>71</b>
<b>4.2</b>	<b>Sistemas com NaCl . . . . .</b>	<b>74</b>
4.2.1	Sistemas Binários . . . . .	74
4.2.1.1	Sistema H <sub>2</sub> O+NaCl . . . . .	74
4.2.1.2	Sistema MEG+NaCl . . . . .	75
4.2.2	Sistemas Ternários (H <sub>2</sub> O+MEG+NaCl) . . . . .	77
4.2.2.1	Potencial químico padrão de excesso do NaCl em mistura de solventes (Regressão) . . . . .	77
4.2.2.2	Potencial químico padrão de excesso do NaCl em mistura de solventes (Predição) . . . . .	79
4.2.2.3	Molalidade do NaCl em mistura de solventes (Regressão) . . . . .	80
4.2.2.4	Molalidade do NaCl em mistura de solventes (Predição) . . . . .	81
4.2.2.5	Logaritmo de excesso da molalidade do NaCl em mistura de solventes (Regressão) . . . . .	82
4.2.2.6	Logaritmo de excesso da molalidade do NaCl em mistura de solventes (Predição) . . . . .	83
4.2.2.7	Logaritmo do coeficiente de atividade do NaCl em mistura de solventes (Regressão) . . . . .	84
4.2.2.8	Logaritmo do coeficiente de atividade do NaCl em mistura de solventes (Predição) . . . . .	85
4.2.2.9	Logaritmo de excesso do coeficiente de atividade do NaCl em mistura de solventes (Regressão) . . . . .	86
4.2.2.10	Logaritmo de excesso do coeficiente de atividade do NaCl em mistura de solventes (Predição) . . . . .	87
<b>4.3</b>	<b>Sistemas com KCl . . . . .</b>	<b>88</b>
<b>4.3.1</b>	<b>Sistemas Binários . . . . .</b>	<b>88</b>
4.3.1.1	Sistema H <sub>2</sub> O+KCl . . . . .	88
4.3.1.2	Sistema MEG+KCl . . . . .	89
4.3.2	Sistemas Ternários . . . . .	91

4.3.2.1	Potencial químico padrão de excesso do KCl em mistura de solventes (Regressão) . . . . .	91
4.3.2.2	Potencial químico padrão de excesso do KCl em mistura de solventes (Predição) . . . . .	93
4.3.2.3	Molalidade do KCl em mistura de solventes (Regressão) . . . . .	94
4.3.2.4	Molalidade do KCl em mistura de solventes (Predição) . . . . .	95
4.3.2.5	Logaritmo de excesso da molalidade do KCl em mistura de solventes (Regressão) . . . . .	96
4.3.2.6	Logaritmo de excesso da molalidade do KCl em mistura de solventes (Predição) . . . . .	97
4.3.2.7	Logaritmo do coeficiente de atividade do KCl em mistura de solventes (Regressão) . . . . .	98
4.3.2.8	Logaritmo do coeficiente de atividade do KCl em mistura de solventes (Predição) . . . . .	99
4.3.2.9	Logaritmo de excesso do coeficiente de atividade do KCl em mistura de solventes (Regressão) . . . . .	100
4.3.2.10	Logaritmo de excesso do coeficiente de atividade do KCl em mistura de solventes (Predição) . . . . .	101
<b>4.4</b>	<b>Validação do Modelo de Pitzer implementado</b> . . . . .	<b>102</b>
<b>4.5</b>	<b>Comparação do Modelo implementado com outros modelos</b> . . . . .	<b>103</b>
4.5.1	Modelo Ideal . . . . .	103
4.5.2	Modelo UNIQUAC+DH . . . . .	104
<b>5</b>	<b>CONCLUSÕES</b> . . . . .	<b>107</b>
	<b>Referências</b> . . . . .	<b>109</b>
	<b>APÊNDICES</b>	<b>117</b>
	<b>APÊNDICE A – ARTIGO</b> . . . . .	<b>119</b>
A.1	<b>DE CORRELAÇÃO DE DADOS DE EQUILÍBRIO LÍQUIDO VA- POR PELO MODELO UNIQUAC ORIGINAL PARA SISTEMAS AQUOSOS COM SAL E ÁLCOOL</b> . . . . .	<b>119</b>
	<b>APÊNDICE B – PROGRAMA COMPUTACIONAL VLE</b> . . . . .	<b>127</b>
B.1	Interface gráfica do programa VLE . . . . .	127
B.2	Código fonte do programa VLE desenvolvido para a correlação de dados de Equilíbrio Líquido-Vapor pelo modelo UNIQUAC Original para sistemas aquosos com sal e álcool . . . . .	129
	<b>APÊNDICE C – PROGRAMA COMPUTACIONAL JAFOSSMS</b> . . . . .	<b>135</b>
C.1	Interface gráfica do programa JAFOSSMS . . . . .	135
C.2	Código fonte do programa JAFOSSMS desenvolvido para o cálculo da solubilidade de sal em solução aquosa com MEG . . . . .	151



# CAPÍTULO 1

## INTRODUÇÃO



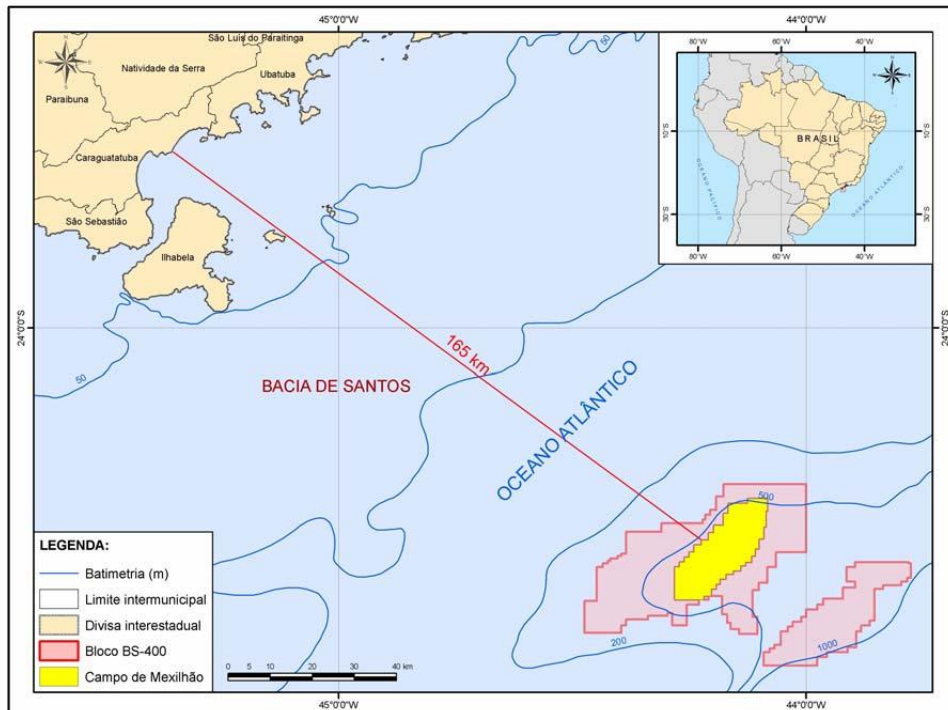
# 1 INTRODUÇÃO

Na indústria de produção do gás natural, de uma maneira geral, evita-se a formação de hidratos nas tubulações por meio da injeção de MEG na cabeça do poço, principalmente, de monoetilenoglicol (MEG). Embora considere-se que a injeção do MEG resolva os problemas com hidratos na produção, ocorre que nas etapas de recuperação e regeneração do MEG injetado pode ocorrer a formação de precipitados, sendo portanto necessário o conhecimento da solubilidade dos sais presentes na água de produção em função da concentração do MEG para evitar-se estes indesejáveis precipitados.

## 1.1 Atividade de produção no Campo de Mexilhão<sup>1</sup>

Na atividade de produção de gás natural no Brasil tem grande destaque a plataforma PMXL-1 do Campo de Mexilhão que está localizado na Bacia de Santos (Figura 1), sendo a maior unidade fixa da Petrobras e uma das maiores do mundo. A sua operação iniciou-se em 2011. Nela a atividade de produção e escoamento de gás e condensado contempla o

Figura 1 – Localização do Campo de Mexilhão.

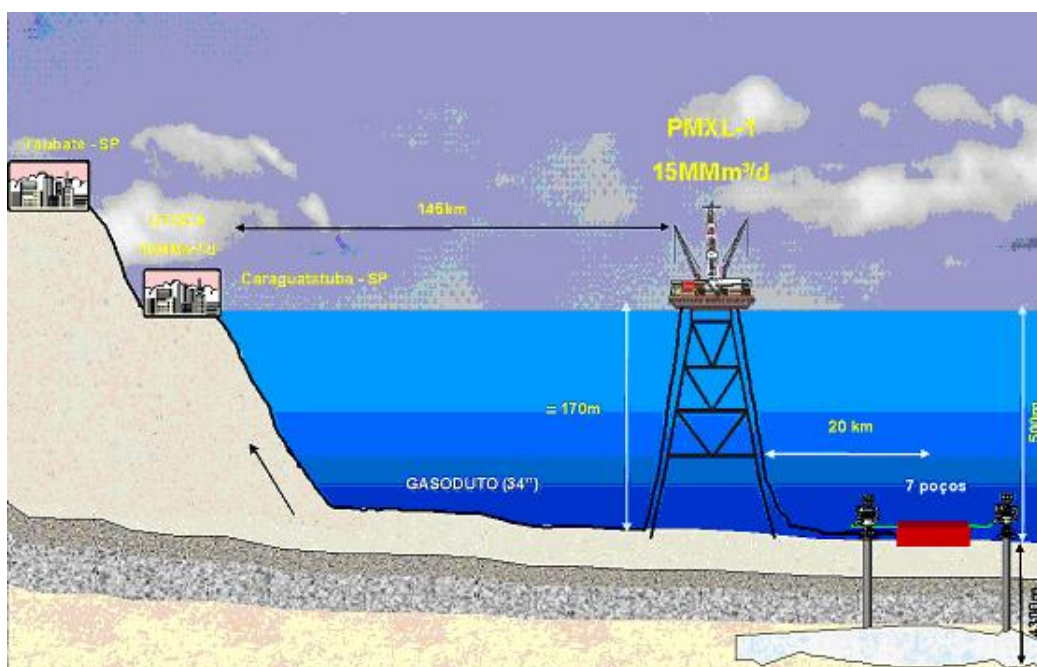


Fonte: [Petrobras \(2007\)](#), p. 5

<sup>1</sup> As informações presentes nesta seção foram obtidas de [Petrobras \(2007\)](#)

emprego de poços produtores, um sistema de coleta constituído por linhas e estruturas submarinas, uma plataforma marítima e um sistema de escoamento da produção para a costa por meio de duto submarino (Figura 2).

Figura 2 – Desenho esquemático do desenvolvimento do Campo de Mexilhão.



Fonte: Petrobras (2007, p. 24)

A plataforma de produção encontra-se fixada, por meio de jaqueta, ao leito submarino a uma profundidade de 172 metros. Ela está interligada aos poços produtores possuindo uma capacidade de processamento estimada em 15 milhões de m<sup>3</sup>/dia de gás e de 3,2 mil m<sup>3</sup>/dia para o condensado.

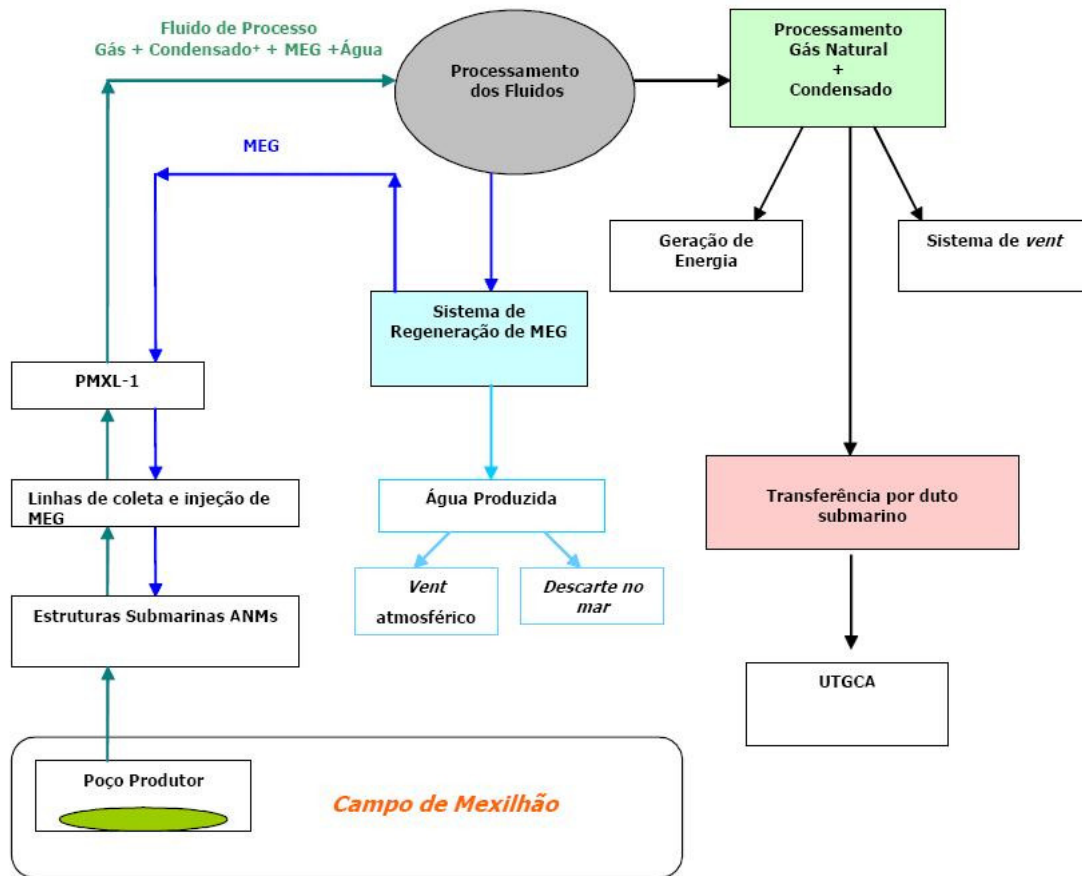
O fluido proveniente do reservatório é coletado através do sistema submarino diretamente para a plataforma. Este é rico em gás, além de condensado e pequena quantidade de água. Na plataforma realiza-se o processamento da produção.

As principais etapas envolvendo o fluido produzido são:

- Coleta do fluido produzido (gás, condensado e água) no poço;
- Separação do gás, condensado e água na plataforma;
- Tratamento do gás e do condensado na plataforma;
- Processamento de parte do gás para suporte ao processo de produção (geração de energia);
- Circulação do MEG pelo sistema submarino de coleta, evitando-se assim entupimentos por formação de hidratos no interior das tubulações, e posterior regeneração do MEG na plataforma.

A atividade de produção de gás e condensado do Campo de Mexilhão está representada pela Figura 3.

Figura 3 – Atividade de produção de gás e condensado projetada para o Campo de Mexilhão.



Fonte: Petrobras (2007, p. 25)

## 1.2 Formação de hidratos em tubulações

Em condições termodinâmicas favoráveis, de temperatura e pressão, poderá haver a formação de hidratos em tubulações. Estes poderão provocar o bloqueio do fluido em linhas, dutos e equipamentos e, consequentemente, interrupção na produção, entre outros problemas.

A obstrução de tubulações de produção pode ser um problema grave com enormes prejuízos e, portanto, deve ser evitado a todo custo.

A interrupção para remoção manual dos blocos de hidratos normalmente demanda diminuição ou até interrupção na produção, além de normalmente exigir procedimentos com operações de risco para a plataforma. O processo de remoção manual e a dimensão do problema pode ser compreendida melhor por meio da visualização das dimensões dos

blocos de hidratos removidos do interior de uma tubulação mostrados na Figura 4(a) e na Figura 4(b).

Figura 4 – Remoção de bloco de hidratos de tubulação.



(a) Sendo removido.



(b) Após a remoção.

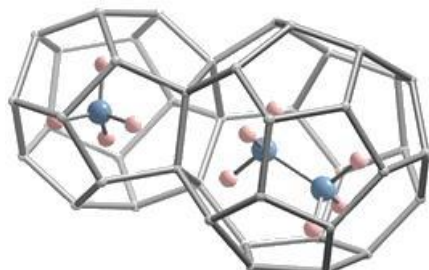
Fonte: Moura (2007, p. 11)

### 1.3 Estrutura dos hidratos

Conforme Baptista (2007), a atração entre os pólos de cargas opostas de duas moléculas de água distintas origina ligações conhecidas como pontes de hidrogênio. Estas ligações são as mais fortes dentre as ligações intermoleculares. Necessita-se de aproximadamente 5 kcal/mol de energia para romper uma ponte de hidrogênio enquanto que para uma ligação de van der Waals essa energia é de 0,3 kcal/mol. As pontes de hidrogênio contribuemativamente na energia de dissociação da estrutura dos hidratos.

Na Figura 5 representa-se como uma molécula de hidrocarboneto encontra-se aprisionada por meio de rede de pontes de hidrogênio formadas com outras moléculas de água.

Figura 5 – Estrutura dos hidrato de metano e etano.



Fonte: Statoil

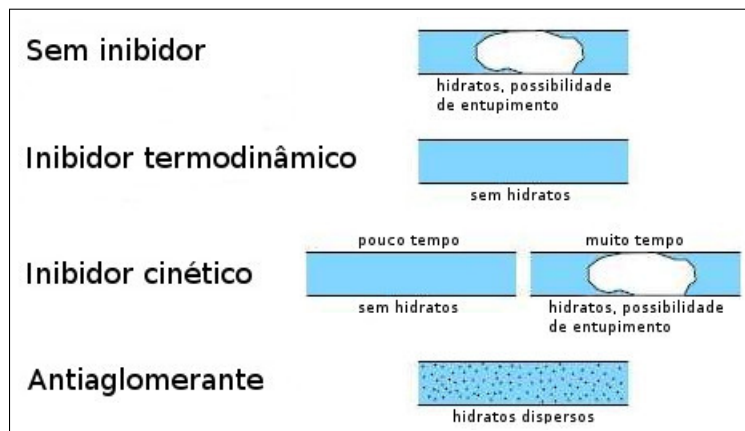
## 1.4 Inibição da formação de hidratos

Conforme (ANDRADE, 2009) os inibidores da formação de hidratos podem ser classificados em três tipos:

- Inibidores termodinâmicos:** são geralmente sais inorgânicos ( $\text{NaCl}$ ,  $\text{CaCl}_2$ ,  $\text{KCl}$ ), alcoóis (metanol) e glicóis (MEG) que objetivam reduzir a atividade da água, quantidade de água livre na mistura, e com isso deslocar a curva de equilíbrio de fases, desfavorecendo a formação de hidratos;
- Inibidores cinéticos:** são polímeros solúveis em água e que reagem sinergicamente com glicóis e alcoóis de alto peso molecular. Esses aditivos são capazes de retardar o início da nucleação e diminuem a taxa de crescimento de cristais de hidratos;
- Antiaglomerantes:** são basicamente polímeros e tensoativos, os quais, de modo similar aos inibidores cinéticos, quando utilizados em pequenas quantidades já surtem os efeitos desejados. Sua principal função é retardar a aglomeração de cristais e facilitar o transporte dos núcleos já formados. Não impedem a formação de cristais de hidratos, no entanto, ajudam bastante no transporte dos cristais formados.

Estes inibidores e seus mecanismos estão ilustrados na [Figura 6](#).

Figura 6 – Mecanismos de inibição de hidratos.



Fonte: Andrade (2009, p. 40), adaptada.

As características de alguns destes inibidores de formação de hidratos são:

- Sais inorgânicos:** podem causar corrosão e incrustação;
- Metanol:** alta toxicidade, difícil recuperação, não adequado para injeção contínua;
- Glicóis:** pouco voláteis, fácil recuperação e se concentram na fase aquosa.

## 1.5 Uso do MEG como inibidor de hidratos

O uso do MEG como inibidor de hidratos, por injeção na cabeça do poço, apresenta vantagens, como por exemplo:

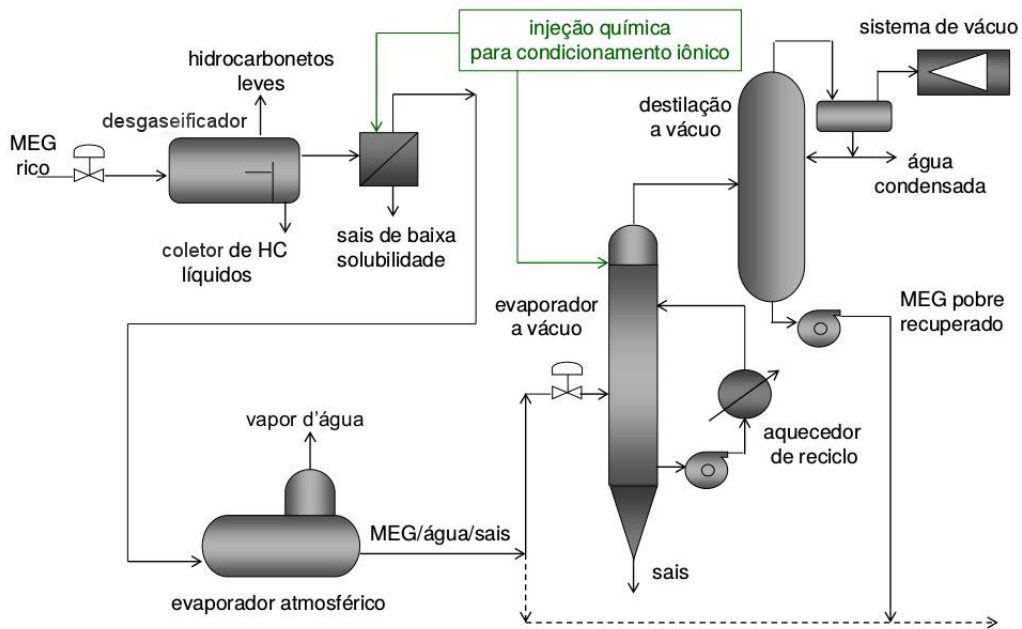
- a) *Menor viscosidade* ⇒ maior facilidade de escoamento;
- b) *Fácil recuperação* ⇒ menos solúvel em hidrocarbonetos líquidos;
- c) Atua na redução da temperatura de formação de hidratos.

## 1.6 Problemas no processo de recuperação do MEG

Em plataformas de Gás Natural, o MEG tem sido largamente utilizado como inibidor da formação de hidratos sem grandes problemas. Por outro lado, no processo de recuperação do MEG podem ocorrer problemas causados por incrustações formadas pela precipitação de sais e, sendo assim, faz-se necessário o conhecimento das condições de formação, quantidade e natureza dos respectivos precipitados para poder-se evitá-los.

A [Figura 7](#) representa o processo de recuperação do MEG. O processo, normalmente, consiste de um pré-tratamento do MEG rico (pré-aquecimento do fluido e resfriamento do MEG), vaporização, destilação a vácuo e remoção de sais e outras impurezas. Ou seja, o MEG contaminado com sais e outras impurezas é conduzido a um vaso separador que, operando sob vácuo, vaporiza instantaneamente a mistura, deixando, ao sair, grande parte dos resíduos sólidos que estavam suspensos ou dissolvidos no líquido, sendo estes

Figura 7 – Processo Geral de recuperação do MEG.



Fonte: [Zouain \(2014, p. 59\)](#), adaptada.

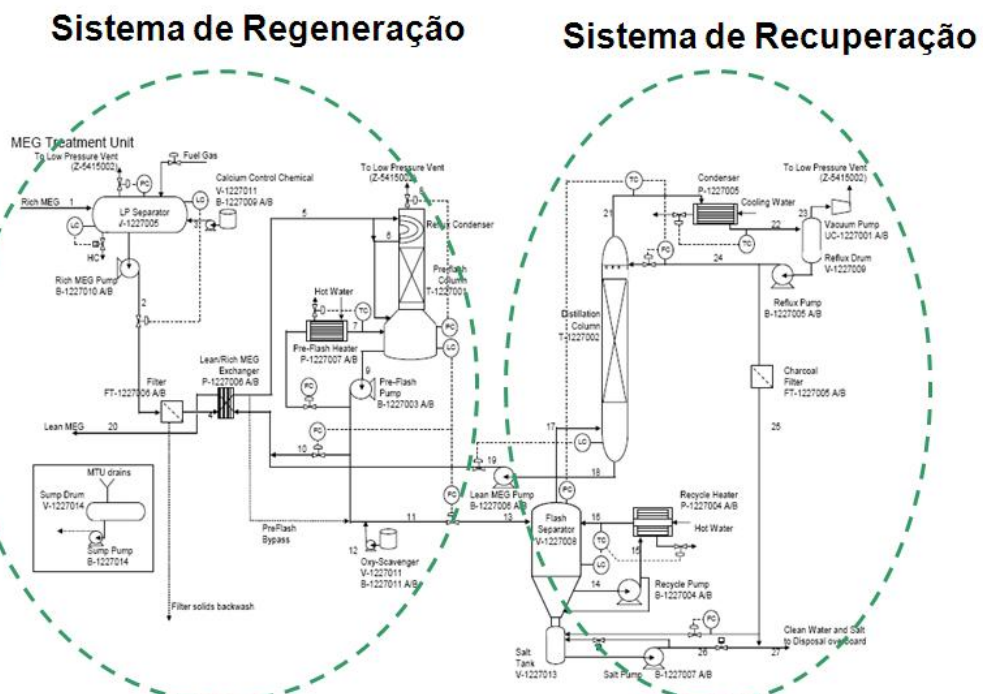
removidos por decantação ou centrifugação. O fluxo líquido, devido à vaporização e ao fato da temperatura de ebulação do MEG ser mais alta que a da água, tem uma redução na quantidade de água presente. Estas etapas, ou seja: aquecimento, vaporização, resfriamento e remoção dos sólidos (decantação, centrifugação), podem ser repetidas visando a maior remoção dos sólidos e diminuição da água na corrente de MEG. A etapa final consiste em passar a corrente líquida com MEG por uma coluna de destilação à vácuo que recupera o MEG limpo e livre de sal.

Com o objetivo meramente ilustrativo, é apresenta a [Figura 8](#) que representa o fluxograma da unidade de regeneração e recuperação do MEG na plataforma PMXL-1. Bem como a [Figura 9](#) que ilustra um protótipo de evaporador à vácuo para soluções salinas de MEG. Este esquema representa um processo novo de regeneração do MEG que se baseia na separação, por densidade, da salmoura do MEG concentrado para reuso na desidratação do MEG.

Como é notório, o conhecimento da solubilidade dos sais nas misturas aquosas com MEG nos equipamentos da unidade de MEG é informação crucial para o monitoramento das formações de incrustação de sais durante o processo.

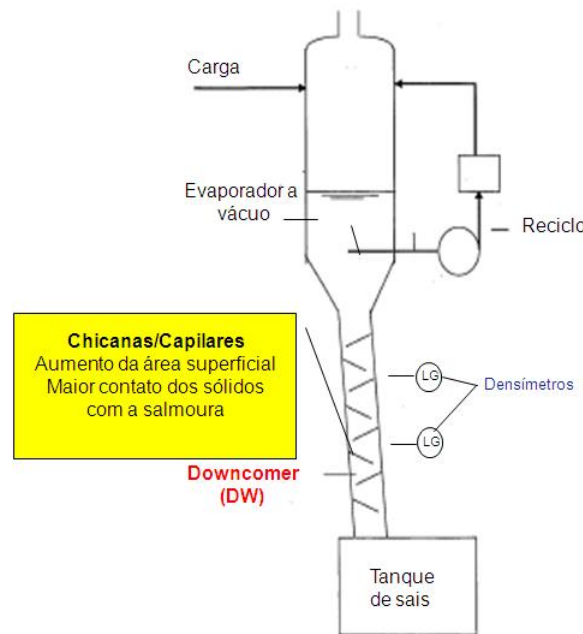
Dados de solubilidade, densidade, pH e condutividade tem sido obtidos da literatura e em especial no laboratório de Fotoquímica e Equilíbrio de Fases (FOTEQ) da Universidade Federal do Rio Grande do Norte (UFRN). Os dados gerados pelo FOTEQ tem por meta

Figura 8 – Unidade de MEG - Campo de Mexilhão.



Fonte: [Nazzer e Keogh \(2006\)](#)

Figura 9 – Sistema de Recuperação - Evaporador à vácuo / Downcomer.



Fonte: Nazzer e Keogh (2006)

possibilitar um melhor monitoramento do processo de regeneração do MEG, visando suprir a escassez dessas informações para sistemas aquosos com MEG e sais. Este fato também resulta na demanda de modelos para estes sistemas aquosos com eletrólitos e solvente orgânico, tema científico desta tese de doutorado. Neste sentido, também deve ser ressaltada a importância do projeto no que diz respeito à demanda da indústria do petróleo, em particular o campo de Mexilhão na Bacia de Santos que se destaca por sua significativa reserva.

Esta tese de doutorado visa abordar, através de modelagem termodinâmica, o comportamento dos sistemas aquosos contendo sais e MEG nas condições do processo de Recuperação do MEG. Portanto, a precipitação de sais neste processo, as chamadas incrustações, provocam dificuldades operacionais de maneira similar à formação de hidratos.

## CAPÍTULO 2

# REVISÃO BIBLIOGRÁFICA



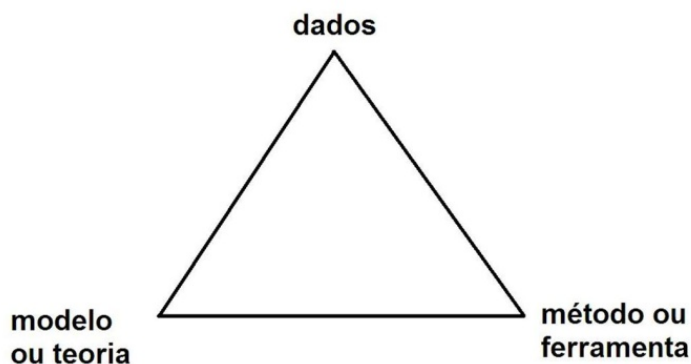
## 2 REVISÃO BIBLIOGRÁFICA

Estabeleceu-se uma estratégia de abordagem desta tese através da classificação de três tipos de trabalhos, a saber:

- a) dados experimentais;
- b) modelos ou teorias;
- c) métodos e ferramentas de cálculo.

A [Figura 10](#) ilustra essa estratégia. Observa-se a que os dados experimentais estão em nível de destaque (mais elevados), isto reforça a importância da qualidade destes e a prioridade que deve ser-lhes dada.

Figura 10 – Estratégia de abordagem do trabalho desta tese de doutorado.



Fonte: [CERE \(2009\)](#), adaptada.

### 2.1 Dados Experimentais

A [Tabela 1](#) apresenta um resumo contendo vários dados de solubilidade de sais em misturas de solventes coletados da literatura. Estes estão agrupados numa série sistemática de misturas, seguidas por suas isotermas, número de pontos experimentais e a referência consultada. Os sistemas em destaque (negrito) foram utilizados nesta tese.

Foi observado uma escassez de trabalhos com dados de solubilidade de sal em meio aquoso com MEG. Este fato destaca a importância do trabalho de [Figueiredo et al. \(2014\)](#) desenvolvido pelo grupo de pesquisa do FOTEQ, sendo suas seis isotermas e os 76 pontos experimentais de grande relevância nesta tese.

Outros trabalhos experimentais de sal em meio aquoso com MEG que reportam outras propriedades que não a solubilidade foram encontrados na literatura. [Tsierkezos e](#)

Tabela 1 – Banco de dados de solubilidade de sal em mistura de solventes.

Sistema	Temperatura (K)	Número de Pontos Experimentais	Referência
Água+Etanol+KCl	298,15   323,15   348,15 298,15   323,15   348,15	6   6   6 9   9   9	Chiavone-Filho e Rasmussen (1993) Pinho e Macedo (2005)
Água+Etanol+NaBr	298,15   323,15   348,15	9   9   9	Pinho e Macedo (2005)
Água+Etanol+ NaCl	298,15   323,15   348,15	9   9   7	Pinho e Macedo (1996)
Água+Glicerol+Ba(NO <sub>3</sub> ) <sub>2</sub>	298,15	6	Kraus, Raridon e Baldwin (1964)
Água+Glicerol+NaCl	298,15	6	Kraus, Raridon e Baldwin (1964)
Água+Glicerol+KCl	298,15	6	Kraus, Raridon e Baldwin (1964)
Água+MEG+Ba(NO <sub>3</sub> ) <sub>2</sub>	298,15	7	Kraus, Raridon e Baldwin (1964)
Água+MEG+K <sub>2</sub> SO <sub>4</sub>	303,15	9	Trimble (1931)
Água+MEG+KBr	303,15	6	Trimble (1931)
Água+MEG+KCl	298,15   323,15   348,15 298,15 298,15 303,15 298,15 303,15	7   7   7 1 7 6 11 6	Chiavone-Filho e Rasmussen (1993) Isbin e Kobe (1945) Kraus, Raridon e Baldwin (1964) Trimble (1931) Zhou et al. (2010)
Água+MEG+KI	303,15	6	Trimble (1931)
Água+MEG+NaCl	323,15 293,15   318,15   348,15   363,15   383,15   403,15 298,15 298,15 303,15 298,15	6 14   12   12   12   13   13 1 7 6 11	Baldwin, Raridon e Kraus (1969) Figueiredo et al. (2014) Isbin e Kobe (1945) Kraus, Raridon e Baldwin (1964) Trimble (1931) Zhou et al. (2010)
Água+Metanol+KCl	298,15   323,15	9   9	Pinho e Macedo (1996)
Água+Metanol+NaBr	298,15   323,15	9   9	Pinho e Macedo (2005)
Água+Metanol+NaCl	298,15   323,15	9   9	Pinho e Macedo (1996)

Fonte: o autor

Molinou (1998) estudaram propriedades termodinâmicas como volume de excesso, viscosidade e refração da água com etilenoglicol à diferentes temperaturas. Braun, Persson e Karlsson (2001) estudaram soluções ternárias de MEG+2-amino-2-metil-1-propanol+água em diferentes concentrações obtendo dados de viscosidade e densidade. Sandengen e Kasasa (2006) estudaram as soluções aquosas de MEG na presença de sais com respeito à condutividade e densidade, no sentido de gerarem curvas de referência para determinar as concentrações a partir dessas duas propriedades para sistemas ortogonais.

Uma compilação de dados experimentais de solubilidade de sais é o banco de dados em Linke e Seidell (1958), Linke e Seidell (1965). Nesta compilação também observa-se a carência de dados experimentais para o MEG. Dados de solubilidade dos sais KCl e NaCl em água juntamente com outros de Lide e Haynes (2009) foram utilizados e são resumidos na Tabela 2.

Tabela 2 – Banco de dados de solubilidade de sal em água.

Sistema	Número de Pontos Experimentais	Referência
Água+KCl	12 33	Lide e Haynes (2009) Linke e Seidell (1965)
Água+NaCl	12 25	Lide e Haynes (2009) Linke e Seidell (1965)

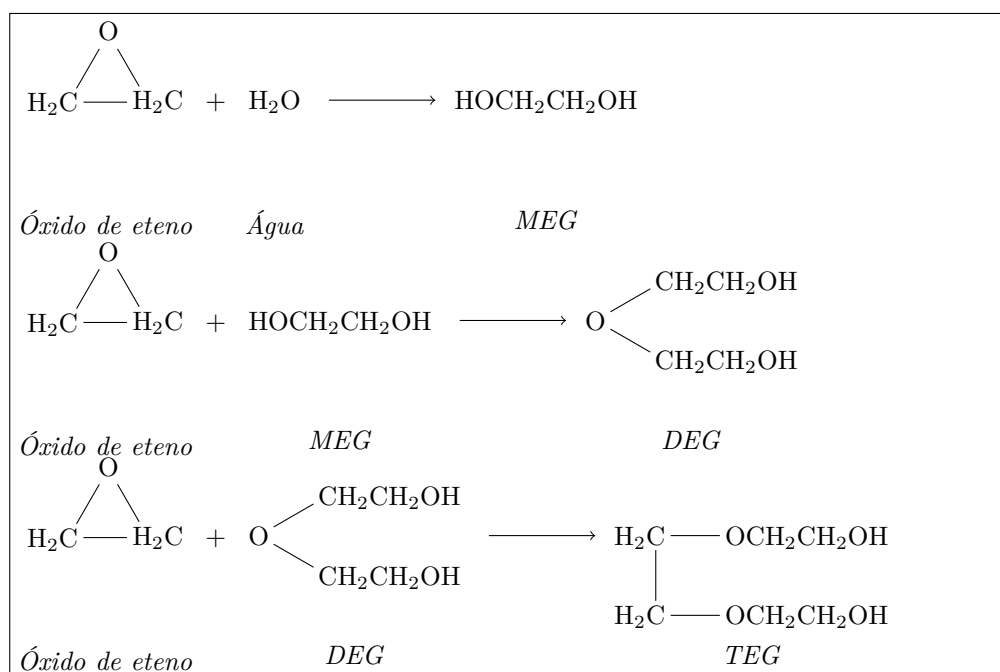
Fonte: o autor

## 2.2 O monoetilenoglicol

O monoetilenoglicol, conhecido simplesmente como etilenoglicol, ou MEG, ou pelo nome IUPAC: etano-1,2-diol, ou 1,2-etanodiol, é um álcool com dois grupos-OH (um diol), sendo largamente utilizado como um anticongelante automotivo. Puro é um composto inodoro, incolor, líquido xaroposo com um sabor doce. O MEG é tóxico, e sua ingestão é considerada uma emergência médica. Sua densidade a 20 °C é 1.1132 g/cm<sup>3</sup>, com massa molecular 62.068 g/mol, ponto de fusão -12.9 °C e Ponto de ebulição 197.3 °C ([WIKIPEDIA, 2014](#)).

O MEG é o mais simples dos etilenoglicóis. Normalmente é obtido pela reação de água com óxido de eteno. Reagindo-se MEG com óxido de eteno, produz-se o dietilenoglicol (DEG) e a partir deste, adicionando-se mais óxido de eteno, chega-se ao trietenoglicol (TEG) ([ANDRADE, 2009](#)). O esquema das reações de obtenção destes compostos e sua estrutura molecular são mostrados na [Figura 11](#).

Figura 11 – Esquema de formação de etilenoglicóis.



Fonte: [Andrade \(2009, p. 41\)](#), adaptada.

## 2.3 Seleção dos sistemas

A [Tabela 3](#) apresenta as características da água de formação representativa do campo de Mexilhão, coletada no poço 3-MXL-3-SPS. Considerando que a água de produção possui composição semelhante a de formação, dentre os componentes presentes, optou-se por selecionar os seguintes componentes ou sistemas, com respeito ao comportamento da

solubilidade de sais e outras propriedades, para modelagem e simulação: MEG+H<sub>2</sub>O+NaCl e MEG+H<sub>2</sub>O+KCl.

Tabela 3 – Características da água de formação do reservatório do campo de Mexilhão.

Parâmetro	Valor
Na <sup>+</sup>	52.000 mg/L
K <sup>+</sup>	3.400 mg/L
Mg <sup>2+</sup>	67 mg/L
Ca <sup>2+</sup>	31.000 mg/L
Ba <sup>2+</sup>	670 mg/L
Sr <sup>2+</sup>	4.300 mg/L
Ferro total	1,9 mg/L
Cl <sup>-</sup>	139.500 mg/L
Salinidade (NaCl)	230.175 mg/L
SO <sup>4-</sup>	<10 mg/L
Br <sup>-</sup>	1.540 mg/L
Alcalinidade Total (HCO <sub>3</sub> <sup>-</sup> )	-
pH	8,1

Fonte: Petrobras (2007, p. 110)

Em paralelo ao trabalho de modelagem e simulação de solubilidade de sais para sistemas aquosos com MEG, tema desta de tese de doutorado, uma equipe do FOTEQ tem realizado medidas de propriedades termodinâmicas de interesse como condutividade, densidade, pH e dados de equilíbrio líquido-vapor (ELV).

Dados de ELV de sistemas aquosos com MEG e alcoóis (metanol e etanol) na presença de eletrólitos fortes, como o cloreto de sódio, também foram estudados neste trabalho, em termos de modelagem e simulação, gerando um artigo (OLIVEIRA et al., 2014). Este artigo é incluído no Apêndice A e o programa desenvolvido para ele é apresentado no Apêndice B.

## 2.4 Equilíbrio de Fases para Sistemas com Eletrólitos

### 2.4.1 Escalas de concentração

Geralmente a concentração de uma solução eletrolítica é expressa em molalidade, molaridade ou fração molar.

A molalidade é definida como o número de moles do soluto por quilo de solvente:

$$b_i \equiv \frac{n_i}{m_{\text{solv}}} = \frac{n_i}{n_{\text{solv}} M_{\text{solv}}} 1000 \quad (2.1)$$

onde  $b_i$  é a molalidade de  $i$ ,  $m_{\text{solv}}$  é a massa do solvente,  $n_i$  é o número de moles de  $i$  e  $M_i$  é a massa molecular de  $i$ .

A molaridade é definida como o número de moles do soluto por litro de solução:

$$c_i \equiv \frac{n_i}{V} \quad (2.2)$$

onde  $c_i$  é a molaridade de  $i$  e  $V$  é o volume da solução.

A fração molar é definida como a razão entre o número de moles do soluto pelo número de moles total na solução:

$$x_i \equiv \frac{n_i}{n} \quad (2.3)$$

onde  $x_i$  é a fração molar de  $i$  e  $n$  é o número de moles total na solução.

Como a molaridade é dependente da temperatura, está não é preferida como unidade de concentração em soluções eletrolíticas. Daqui para a frente será utilizada, quando for necessário maior clareza, os subscritos  $b$ ,  $m$  ou  $x$ , respectivamente para molalidade, molaridade ou fração molar, como indicação da escala de concentração utilizada.

#### 2.4.2 Potencial químico

O potencial químico é definido como:

$$\mu_i \equiv \left[ \frac{\partial (nG)}{\partial n_i} \right]_{T,P,n_j \neq i} \quad (2.4)$$

onde  $\mu_i$  é o potencial químico de  $i$ ,  $G$  é a energia livre de Gibbs,  $T$  é a temperatura,  $P$  é a pressão e  $n_{j \neq i}$  designa todos os números de moles exceto o referente a  $i$ .

O potencial químico relaciona-se a atividade ou concentração e ao coeficiente de atividade da seguinte forma:

$$\mu_i = \mu_i^\bullet + RT \ln a_i = \mu_i^\bullet + RT \ln (\gamma_i \xi_i) \quad (2.5)$$

onde  $R$  é a constante universal dos gases ideais,  $\mu_i^\bullet$  é o potencial químico de  $i$  em um estado padrão apropriadamente escolhido,  $a_i$  é a atividade de  $i$ ,  $\gamma_i$  é o coeficiente de atividade de  $i$  e  $\xi_i$  é uma conveniente escala de concentração.

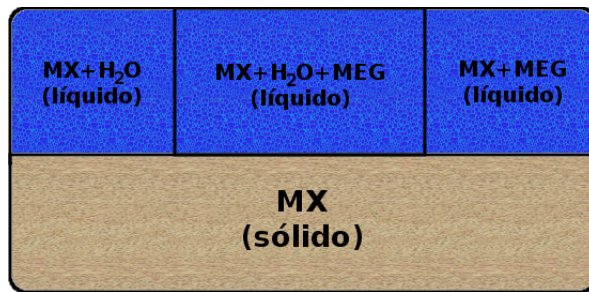
O potencial químico constitui uma grandeza de suma importância na abordagem de equilíbrio de fases. Aqui, mostraremos um exemplo ilustrado pela Figura 12, onde a igualdade dos potenciais de um eletrólito no equilíbrio sólido-líquido, contendo uma mistura de solventes, como água e MEG, pode ser descrita em termos das seguintes equações:

$$\mu_{MX}^s = \mu_{MX}^{\{H_2O\}} \quad (2.6)$$

$$\mu_{MX}^s = \mu_{MX}^{\{MEG\}} \quad (2.7)$$

$$\mu_{MX}^s = \mu_{MX}^{\{H_2O+MEG\}} \quad (2.8)$$

Figura 12 – Representação do Equílibrio de um elétrolito em mistura de solventes.



Fonte: o autor.

#### 2.4.3 Estado padrão

Um equívoco comum é dizer que o estado padrão do potencial químico para o soluto é o soluto à temperatura e pressão do sistema e à diluição infinita. Isso não é correto, pois, à diluição infinita, o potencial químico do soluto é negativamente infinito (PRAUSNITZ; LICHTENTHALER; AZEVEDO, 1999). O estado padrão do potencial químico para um soluto precisa estar à uma concentração fixa (diferente de zero), conhecida como concentração unitária. Esta é usada por ser o seu logaritmo igual a zero.

O estado padrão do potencial químico não precisa necessariamente ser realizável, mas precisa ser bem definido.

Para soluções concentradas, ou líquidos puros, a fração molar é uma escala de concentração mais conveniente, pois para soluções concentradas os valores tanto para molaridade quanto para a molalidade tendem a serem enormes, e no caso de líquidos puros atingem o infinito. Uma convenção de estado padrão comumente usada é a convenção por *coeficiente de atividade racional simétrico* onde normaliza-se de forma que os coeficientes de atividade são unitários para componentes puros, assim sendo:

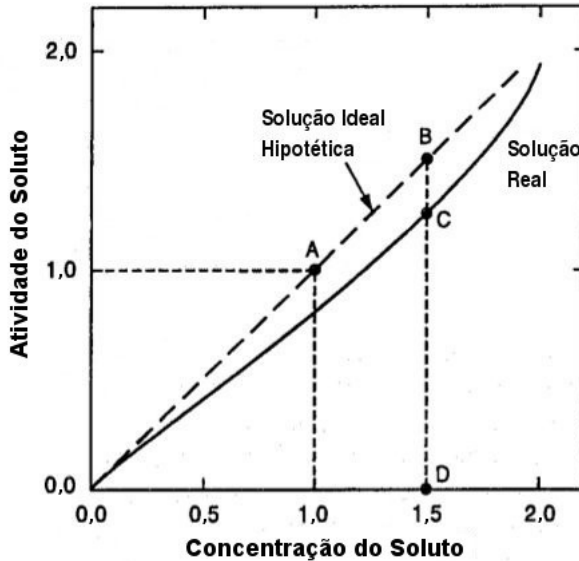
$$\mu_i = \mu_i^0 + RT \ln(\gamma_i x_i) \quad (2.9)$$

onde  $\mu_i^0$  é o potencial químico racional simétrico de  $i$ .

A Figura 13 ilustra o conceito de solução ideal hipotética. A atividade no estado padrão é dada pelo ponto A e corresponde a concentração unitária ( $\xi_i$ ). A atividade do soluto para uma concentração de 1,5 é dada pelo ponto C, enquanto que na solução ideal hipotética é dada por B. Na solução ideal a atividade é igual a concentração porque, na solução ideal, o coeficiente de atividade é unitário para todas as concentrações de soluto. Assim, o coeficiente de atividade em soluções reais,  $\gamma_i = a_i / \xi_i$  é dado pela razão entre os segmentos  $\overline{CD}$  e  $\overline{BD}$ .

Como as propriedades dos íons não podem ser medidos (reportados) independentemente dos outros íons em soluções, usa-se normalmente a convenção assimétrica baseada

Figura 13 – Conceito de solução ideal hipotética.



Fonte: Prausnitz, Lichtenhaller e Azevedo (1999, p. 511), adaptada.

na fração molar ou na molalidade (KONTOGEOORGIS; FOLAS, 2010). Na convenção por *coeficiente de atividade racional assimétrico* normaliza-se de forma que os coeficientes de atividade são unitários à diluição infinita, ou seja, em solvente puro:

$$\mu_i = \mu_{i,x}^\nabla + RT \ln (\gamma_{i,x}^* x_i) \quad \text{com} \quad \gamma_{i,x}^* = \gamma_i / \gamma_i^\infty \quad (2.10)$$

onde  $\mu_{i,x}^\nabla$  é o potencial químico racional assimétrico,  $\gamma_{i,x}^*$  é o coeficiente de atividade racional assimétrico e  $\gamma_i^\infty$  é o coeficiente de atividade em diluição infinita. Na convenção por *coeficiente de atividade molal assimétrico* normaliza-se da mesma forma, e usando o conceito de solução ideal hipotética à molalidade unitária,  $b_0 = 1$ , tem-se:

$$\mu_i = \mu_{i,b}^\nabla + RT \ln \left( \frac{\gamma_{i,b}^* b_i}{b_0} \right) = \mu_{i,b}^\nabla + RT \ln (\gamma_{i,b}^* b_i) \quad \text{com} \quad \gamma_{i,b}^* = \gamma_{i,x}^* x_{\text{solv}} \quad (2.11)$$

onde  $\mu_{i,b}^\nabla$  é o potencial químico molal assimétrico,  $\gamma_{i,b}^*$  é o coeficiente de atividade molal assimétrico.

#### 2.4.4 Coeficiente de atividade médio iônico e molalidade média iônica

Representa-se a dissociação de um eletrólito eletricamente neutro  $M_{\nu_+}X_{\nu_-}$  em  $\nu_+$  cátions (cada qual com carga  $z_+$ ) e  $\nu_-$  ânions (cada qual com carga  $z_-$ ) da seguinte forma:



onde a eletroneutralidade requer que  $\nu_+ z_+ + \nu_- z_- = 0$ . Por comodidade, abreviaremos  $M_{\nu_+}X_{\nu_-}$  por MX.

De Prausnitz, Lichtenhaller e Azevedo (1999), tem-se as definições de coeficiente de atividade médio iônico (Equação 2.13) e molalidade média iônica (Equação 2.14):

$$\gamma_{\pm} \equiv (\gamma_+^{\nu_+} \gamma_-^{\nu_-})^{\frac{1}{\nu}} \quad (2.13)$$

$$b_{\pm} \equiv (b_+^{\nu_+} b_-^{\nu_-})^{\frac{1}{\nu}} \quad (2.14)$$

onde  $\nu = \nu_+ + \nu_-$ .

#### 2.4.5 Leis limitantes

Por lei limitante comprehende-se aquela cuja validade (aplicação) encontra-se na região de diluição infinita.

Numa solução ideal, o cálculo das propriedades de mistura requer a composição da mistura e as propriedades dos componentes puros. A solução ideal de um sistema não eletrolítico de acordo com a Lei de Raoult para o equilíbrio líquido-vapor é:

$$y_i P = x_i P_i^{\text{sat}} \quad (2.15)$$

onde o subscrito  $i$  se refere ao componente  $i$  e, portanto,  $y_i$  e  $x_i$  são as frações molares deste nas fases gasosa e líquida, respectivamente, e  $P_i^{\text{sat}}$  é a pressão de vapor do componente  $i$  puro.

Em soluções reais diluídas, com respeito ao soluto, o solvente tende a seguir a Lei de Raoult. Uma solução diluída ideal é a solução onde o solvente segue a Lei de Raoult e o soluto segue a Lei de Henry:

$$y_i P = x_i H_i \quad (2.16)$$

onde  $H_i$  é a constante de Henry para o componente  $i$ .

Para soluções eletrolíticas as interações entre os íons e o solvente, através de suas cargas, tende a provocar desvios da idealidade, podendo ser relevantes, mesmo a baixas concentrações. Uma vez que os íons não são voláteis a pressão atmosférica e temperatura ambiente, existe a necessidade de uma teoria específica para descrever o comportamento de soluções eletrolíticas. A partir da hipótese de que cada íon esteja numa atmosfera de íons de carga oposta (*blindagem*), Debye e Hückel (1923) formularam uma teoria para soluções eletrolíticas. A medida do comprimento desta *blindagem* recebe o nome de comprimento de Debye-Hückel ( $\kappa^{-1}$ ), definido como:

$$\kappa^{-1} \equiv \left( \frac{\varepsilon_0 \varepsilon_r R T}{2 \rho_{\text{solv}} N_A^2 e^2 I} \right)^{\frac{1}{2}} \quad (2.17)$$

onde  $\varepsilon_0$  é a permissividade no vácuo,  $\varepsilon_r$  é permissividade relativa, usualmente conhecida como constante dielétrica,  $\rho_{\text{solv}}$  é a densidade do solvente,  $N_A$  é o número de Avogrado,  $e$  é a carga do elétron e  $I$  é a força iônica, definida como:

$$I \equiv \frac{1}{2} \sum_i b_i z_i^2 \quad (2.18)$$

Debye e Hückel (1923) derivaram uma expressão simples para o coeficiente de atividade  $\gamma_i$  com carga  $z_i$  e força iônica  $I$ :

$$\ln \gamma_{i,c} = -z_i^2 \frac{e^2 N_A}{8\pi \varepsilon_0 \varepsilon_r RT} \kappa \quad (2.19)$$

Para soluções aquosas diluídas próximo a temperatura ambiente, não existe diferença significativa entre molalidade e molaridade (PRAUSNITZ; LICHTENTHALER; AZEVEDO, 1999). Assim sendo, trocando as unidades do coeficiente de atividade e da força iônica na Equação 2.19, temos:

$$\ln \gamma_{i,b} = -A_\gamma z_i^2 I^{\frac{1}{2}} \quad (2.20)$$

onde  $A_\gamma$  é:

$$A_\gamma = \left( \frac{e^2}{\varepsilon_0 \varepsilon_r RT} \right)^{\frac{3}{2}} \frac{N_A^2}{8\pi} (2\rho_{\text{solv}})^{\frac{1}{2}} \quad (2.21)$$

Para o eletrólito  $M_{\nu_+} X_{\nu_-}$ , usando Equação 2.13, e desprezando o subscrito  $b$ , temos a Lei de Debye-Hückel:

$$\ln \gamma_{\pm} = -A_\gamma |z_+ z_-| I^{\frac{1}{2}} \quad (2.22)$$

O comportamento descrito pela Lei de Raoult (Equação 2.15) e pela Lei de Henry (Equação 2.16) tende a ser o comportamento de soluções reais conforme estas tendam a ser diluídas. Da mesma forma, a Lei de Debye-Hückel providencia uma representação satisfatória do comportamento dos coeficientes de atividade em soluções diluídas, sendo limitada para soluções aquosas com força iônica até 0,01 mol/kg. A Lei de Debye-Hückel Extendida (GUGGENHEIM, 1935) aumentou o limite de aplicação no cálculo de coeficiente de atividade para soluções aquosas com força iônica até 0,1 mol/kg:

$$\ln \gamma_{\pm} = -\frac{1}{\nu} \sum_i \nu_i z_i^2 \frac{AI^{\frac{1}{2}}}{1 + \theta I^{\frac{1}{2}}} + B_{\pm} I \quad (2.23)$$

onde  $\theta$  é um parâmetro dependente do tamanho dos íons, usualmente considerado constante ( $\theta = 1,2 \text{ kg}^{\frac{1}{2}} \cdot \text{mol}^{-\frac{1}{2}}$ ) e  $B_{\pm}$  parâmetro empírico da extensão de Guggenheim.

#### 2.4.6 Energia livre de Gibbs para soluções eletrolíticas reais

Soluções reais podem ser descritas a partir de seus desvios em relação à idealidade por propriedades de excesso. Para uma propriedade  $M$ , temos:

$$M^E \equiv M - M^{\text{id}} \quad (2.24)$$

onde  $M^E$  representa uma propriedade de excesso e  $M^{\text{id}}$  representa uma propriedade ideal.

Para uma propriedade parcial molar de excesso de uma espécie  $i$  ( $\bar{M}_i^E$ ) pode ser definida de forma análoga:

$$\bar{M}_i^E \equiv \bar{M}_i - \bar{M}_i^{\text{id}} \quad (2.25)$$

onde  $\bar{M}_i$  representa uma propriedade parcial molar de  $i$  e  $\bar{M}_i^{\text{id}}$  representa uma propriedade parcial molar ideal de  $i$ .

A propriedade parcial molar da energia livre de Gibbs, que é função das variáveis operacionais  $T$  e  $P$ , vale o teorema de Euler ou a característica de aditividade (PRAUSNITZ; LICHTENTHALER; AZEVEDO, 1999).

Para um sistema aberto, multicomponente e com uma única fase, tem-se:

$$d(nG) = nVdP - nSdT + \sum_i \bar{G}_i dn_i \quad (2.26)$$

onde  $G$  é a energia livre de Gibbs,  $S$  é a entropia e  $\bar{G}$  é a energia livre de Gibbs parcial molar de  $i$ .

Dividindo  $nG$  por  $RT$  e diferenciando em relação à  $T$ , tem-se:

$$d\left(\frac{nG}{RT}\right) = \frac{1}{RT}d(nG) - \frac{nG}{RT^2}dT \quad (2.27)$$

Dividindo a Equação 2.26 por  $RT$  e somando com a equação Equação 2.27, tem-se:

$$d\left(\frac{nG}{RT}\right) = \frac{nV}{RT}dP - \left(\frac{nS}{RT} + \frac{nG}{RT^2}\right)dT + \sum_i \frac{\bar{G}_i}{RT}dn_i \quad (2.28)$$

onde  $H$  é a energia livre de Helmholtz.

Como  $G = H - TS$ , tem-se, substituindo na Equação 2.27, uma relação fundamental para  $G$  bastante útil em termodinâmica de soluções, ou seja:

$$d\left(\frac{nG}{RT}\right) = \frac{nV}{RT}dP - \frac{nH}{RT^2}dT + \sum_i \frac{\bar{G}_i}{RT}dn_i \quad (2.29)$$

A partir da energia livre de Gibbs pode-se gerar outras propriedades termodinâmicas, isto é ilustrado na Figura 14.

Para soluções aquosas com eletrólitos, como, por exemplo, um sal MX completamente dissociado em água, à pressão e temperatura constantes, a partir da Equação 2.29 e da Equação 2.4, pode-se expressar a energia livre de Gibbs como:

$$G = \sum_i n_i \mu_i = n_{\text{H}_2\text{O}} \mu_{\text{H}_2\text{O}} + n_{\text{MX}} \sum_i \nu_i \mu_i \quad (2.30)$$

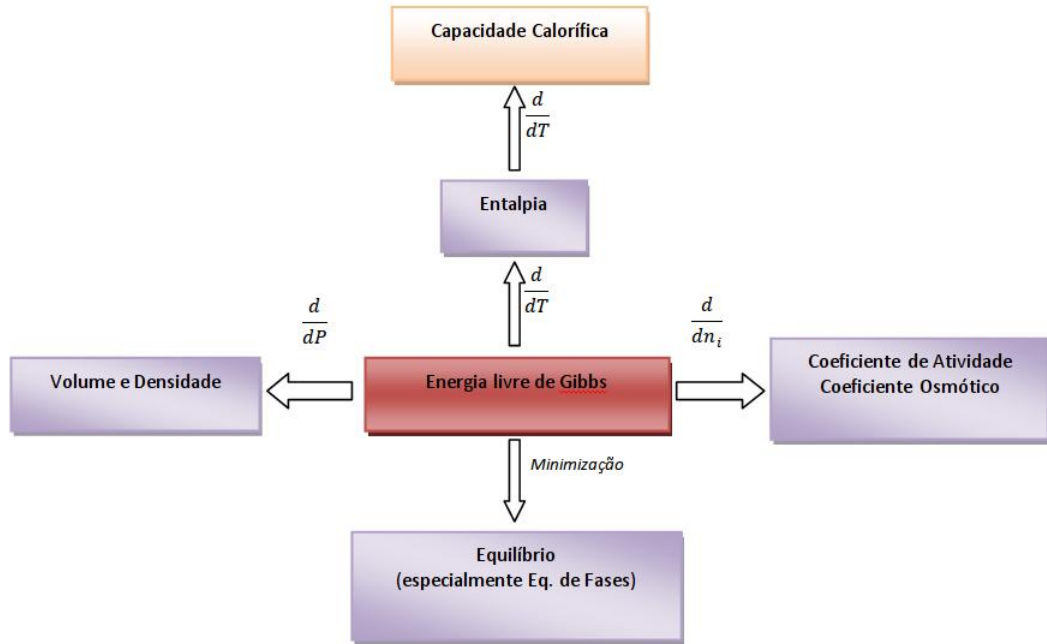
## 2.4.7 Fugacidade

Da termodinâmica clássica, à temperatura constante, temos:

$$d\mu_i \equiv RT d\left(\ln \hat{f}_i\right) \Rightarrow \mu_i = \mu_i^\bullet + RT d\ln \frac{\hat{f}_i}{f_i^\bullet} \quad (2.31)$$

onde  $\hat{f}_i$  é a fugacidade de  $i$  na solução, ou mistura, e  $f_i^\bullet$  é a fugacidade de  $i$  no estado padrão.

Figura 14 – Fluxograma de obtenção de propriedades termodinâmicas a partir da energia livre de Gibbs.



Fonte: o autor.

A fugacidade de um componente  $i$  pode ser expressa, usando convenção simétrica e escala de fração molar, como:

$$\hat{f}_i = x_i \gamma_i f_i^0 \quad (2.32)$$

onde  $f_i^0$  é a fugacidade racional simétrica de  $i$ .

A fugacidade de um componente  $i$  pode ser expressa, usando convenção assimétrica e escala de fração molar, como:

$$\hat{f}_i = x_i \gamma_i^* H_{i,x} \quad (2.33)$$

onde  $H_{i,x}$  é a constante de Henry racional.

A fugacidade de um componente  $i$  pode também ser expressa, usando convenção assimétrica e escala de molalidade ( $b$ ), como:

$$\hat{f}_i = b_i \gamma_{i,b}^* H_{i,b} \quad (2.34)$$

onde  $H_{i,b}$  é a constante de Henry molal.

## 2.5 Modelos Termodinâmicos

Nesta seção são descritos os modelos termodinâmicos aplicados para a descrição dos dados de solubilidade de sais em misturas de solventes, seguindo uma ordem de complexidade, ou seja, partindo-se do modelo ideal, passando por uma correlação empírica

(Setschenov) e por último aplicando a correção das não-idealidades através da equação de Pitzer adaptada para mistura de solventes.

### 2.5.1 Ideal

A definição do logaritmo de excesso da solubilidade (LORIMER, 1993) permite uma avaliação simplificada do comportamento das soluções aquosas com MEG e o sal em estudo. Isto é, considerando solução ideal não é necessário usar-se modelo de energia livre de excesso. Primeiramente, deve-se definir o logaritmo ideal da solubilidade que foi escolhida como uma regra linear da composição para uma mistura binária de solventes:

$$[\ln b_{\text{MX}}^{\{\text{H}_2\text{O}+\text{MEG}\}}]^{\text{id}} \equiv x_{\text{H}_2\text{O}}^{\{\text{H}_2\text{O}+\text{MEG}\}} \ln b_{\text{MX}}^{\{\text{H}_2\text{O}\}} + x_{\text{MEG}}^{\{\text{H}_2\text{O}+\text{MEG}\}} \ln b_{\text{MX}}^{\{\text{MEG}\}} \quad (2.35)$$

onde  $[\ln b_{\text{MX}}^{\{\text{H}_2\text{O}+\text{MEG}\}}]^{\text{id}}$  é o logaritmo ideal da molalidade do sal MX em água e MEG,  $x_{\text{H}_2\text{O}}^{\{\text{H}_2\text{O}+\text{MEG}\}}$  é a fração molar da água livre de sal,  $x_{\text{MEG}}^{\{\text{H}_2\text{O}+\text{MEG}\}}$  é a fração molar do MEG livre de sal,  $\ln b_{\text{MX}}^{\{\text{H}_2\text{O}\}}$  é o logaritmo ideal da molalidade do sal MX em água e  $\ln b_{\text{MX}}^{\{\text{MEG}\}}$  é o logaritmo ideal da molalidade do sal MX em MEG.

A definição do logaritmo de excesso da solubilidade foi feita conforme a Equação 2.24:

$$[\ln b_{\text{MX}}^{\{\text{H}_2\text{O}+\text{MEG}\}}]^{\text{E}} \equiv \ln b_{\text{MX}}^{\{\text{H}_2\text{O}+\text{MEG}\}} - (\ln b_{\text{MX}}^{\{\text{H}_2\text{O}+\text{MEG}\}})^{\text{id}} \quad (2.36)$$

onde  $[\ln b_{\text{MX}}^{\{\text{H}_2\text{O}+\text{MEG}\}}]^{\text{E}}$  é o logaritmo de excesso da molalidade do sal MX em água e MEG.

Essa abordagem ideal pode representar surpreendentemente e de maneira simplificada a influência do solvente na solubilidade do sal. Ela requer o conhecimento das solubilidades do sal nos solventes puros e descreve nestes extremos os valores de maneira plena. Vale ressaltar nesse momento que as soluções de água e MEG formam soluções ideais (CHIAVONE-FILHO; PROUST; RASMUSSEN, 1993) para o comportamento líquido-vapor.

### 2.5.2 Setchenov

O efeito linear do solvente sobre a solubilidade do sal numa escala logarítmica pode ser mensurado pela equação de Setchenov (Equação 2.37), que expressa o efeito *salting-out* (LEE, 1997), que é justamente o oposto do que ocorre no processo de regeneração do MEG, mas acompanha o mesmo fenômeno físico.

$$\ln b_{\text{MX}}^{\{\text{H}_2\text{O}+\text{MEG}\}} = \ln b_{\text{MX}}^{\{\text{H}_2\text{O}\}} + k_S x_{\text{MEG}}^{\{\text{H}_2\text{O}+\text{MEG}\}} \quad (2.37)$$

Onde  $b_{\text{MX}}^{\{\text{H}_2\text{O}+\text{MEG}\}}$  é a molalidade do sal MX em água e MEG,  $b_{\text{MX}}^{\{\text{H}_2\text{O}\}}$  é a molalidade do sal MX em água e  $k_S$  é a constante de Setchenov. Aplicando uma correlação equivalente entre o produto de solubilidade de um componente em água e o mesmo em uma mistura de solventes (água+MEG) usando essa equação de Setchenov, pode-se estimar o produto de solubilidade nesse novo meio solvente (OLIVEIRA et al., 2010).

### 2.5.3 Pitzer

Seguindo a abordagem de Lorimer (1993), que usa a teoria de McMillan-Mayer, é possível corrigir as não-idealidades da fase líquida com uma equação de coeficiente de atividade, como o modelo de Pitzer. O modelo de Pitzer foi desenvolvido para o solvente água e portanto a aplicação dele para mistura de solventes requer uma estratégia para estimar os parâmetros solvente orgânico-sal.

Na termodinâmica de soluções eletrolíticas é comum expressar os modelos de correção das não idealidades pelo coeficiente osmótico (solvente) ou pelo coeficiente de atividade (sólido). A definição do coeficiente osmótico é dada pela Equação 2.38.

$$\phi \equiv \frac{-\ln a_{\text{H}_2\text{O}}}{M_{\text{H}_2\text{O}} \sum_i b_i} \quad (2.38)$$

onde  $\phi$  é o coeficiente osmótico,  $a_{\text{H}_2\text{O}}$  é a atividade da água e  $M_{\text{H}_2\text{O}}$  é a massa molecular da água.

Para o sal MX, o modelo de Pitzer para o coeficiente osmótico e para o coeficiente de atividade, é dado pelas equações (23) e (24), respectivamente.

$$\phi = 1 + |z_M z_X| f_{\text{MX}}^\phi + b \frac{2\nu_M \nu_X}{\nu} B_{\text{MX}}^\phi + b^2 \frac{2(\nu_M \nu_X)^{3/2}}{\nu} C_{\text{MX}}^\phi \quad (2.39)$$

$$\ln \gamma_{\text{MX}} = |z_M z_X| f_{\text{MX}}^\gamma + b \frac{2\nu_M \nu_X}{\nu} B_{\text{MX}}^\gamma + b^2 \frac{2(\nu_M \nu_X)^{3/2}}{\nu} C_{\text{MX}}^\gamma \quad (2.40)$$

onde:

$$f_{\text{MX}}^\phi = -A_\phi \frac{I^{1/2}}{1 + \theta I^{1/2}} \quad \text{e} \quad f_{\text{MX}}^\gamma = -A_\phi \left[ \frac{2}{\theta} \ln \left( 1 + \theta I^{1/2} \right) + \frac{I^{1/2}}{1 + \theta I^{1/2}} \right] \quad (2.41)$$

$$A_\phi = \frac{1}{3} \left( \frac{2\pi N_0 \rho_w}{1000} \right)^{1/2} \left( \frac{e^2}{DkT} \right)^{3/2} \quad (2.42)$$

$$I = \frac{|z_M z_X|}{2} \frac{b}{b_0} \nu \quad \text{e} \quad \theta = 1,2 \text{ kg}^{0,5} \text{mol}^{-0,5} \text{(para soluções aquosas a } 25 \text{ deg C}) \quad (2.43)$$

$$\nu = \nu_M + \nu_X \quad \text{e} \quad b_0 = 1 \text{ mol/kg}_{\text{H}_2\text{O}} \quad (2.44)$$

$$B_{\text{MX}}^\phi = \beta_{\text{MX}}^{(0)} + \beta_{\text{MX}}^{(1)} e^{-\alpha I^{1/2}} \quad \text{e} \quad B_{\text{MX}}^\gamma = 2\beta_{\text{MX}}^{(0)} + \frac{2\beta_{\text{MX}}^{(1)}}{\alpha^2 I} \left[ 1 - \left( 1 + \alpha I^{1/2} - \frac{1}{2} \alpha^2 I \right) e^{-\alpha I^{1/2}} \right] \quad (2.45)$$

$$\alpha = 2,0 \text{ kg}^{0,5} \text{mol}^{-0,5} \quad (2.46)$$

$$C_{MX}^\phi = \frac{3}{(\nu_M \nu_X)^{1/2}} (\nu_M \Lambda_{MMX} + \nu_X \Lambda_{MXX}) \quad \text{e} \quad C_{MX}^\gamma = \frac{3}{2} C_{MX}^\phi \quad (2.47)$$

sendo  $\beta_{MX}^{(0)}$ ,  $\beta_{MX}^{(1)}$ ,  $\Lambda_{MMX}$ ,  $\Lambda_{MXX}$  são parâmetros do modelos e  $\nu$ ,  $\nu_M$  e  $\nu_X$  referem-se aos coeficientes estequiométricos do sal, do cátion e do ânion, respectivamente e,  $z_M$  e  $z_X$  referem-se carga do cátion e do ânion, respectivamente.

Para expressar o efeito térmicos, os parâmetros do modelo devem ser considerados dependentes da temperatura (JR. et al., 1986). Lorimer aplicou o modelo de Pitzer para misturas de solventes determinando o parâmetro  $\beta$  como função da constante dielétrica e da composição de solvente livre de sal. Essa modelagem foi aplicada neste trabalho e será descrita no Capítulo 3.

## 2.6 Outros Modelos Termodinâmicos

Várias teses de doutorado no tema de modelagem termodinâmica de solubilidade para sistemas aquosos com eletrólitos pode ser encontradas (CARDOSO, 1988; CHIAVONE-FILHO, 1993; NICOLAISEN, 1994; THOMSEN, 1997). Nestes trabalhos, desenvolvidos na Universidade Técnica da Dinamarca, pode-se observar o potencial de aplicação dos modelos de coeficiente de atividade para sistemas aquosos com sais e MEG. Esta abordagem, entretanto, requer informações experimentais para a estimativa dos parâmetros dos respectivos modelos e, por conta da escassez citada, há necessidade de desenvolvimento de modelos para as misturas específicas, como é o caso do sistema aquoso com MEG e sais.

Renon (1996) e Anderko, Wang e Rafal (2002) apresentam resumos de diferentes modelos utilizados para soluções eletrolíticas com mistura de solventes, com proposta de classificação, tipo de equilíbrio, estados de referência e algumas hipóteses simplificadoras adotadas na modelagem. Observa-se que novos modelos são obtidos através de combinações de modelos anteriores para representar contribuições de interações entre espécies, de longo, médio (interações específicas) e curto alcance.

Liu e Watanasiri (1996) e Chen e Song (2004) utilizaram o modelo NTRL para representar as interações de curto alcance e o modelo de Pitzer-Debye-Hückel (PDK) para as interações de longo alcance.

Pinho e Macedo (1996), Iliuta, Thomsen e Rasmussen (2000), Wang, Anderko e Young (2002), Thomsen, Iliuta e Rasmussen (2004), Wang et al. (2006), Kosinski et al. (2007), (FOSBOL; THOMSEN; STENBY, 2009) utilizaram o modelo UNIQUAC para representar as interações de curto alcance e o modelo de Pitzer-Debye-Hückel (PDK) para as interações de longo alcance. Observa-se em alguns dos trabalhos citados, o uso da equação de estado cúbica de Soave-Redlich-Kwong (SRK) para VLE e a descrição de interações específicas entre íons realizadas por uma expansão de virial.

Grenthe e Plyasunov (1997) fizeram uma comparação entre o modelo de Interação Específica entre Íons de Brønsted-Guggenheim-Scatchard (SIT) e o modelo de Pitzer-Debye-Hückel (PDK).

Dahl e Macedo (1992) utilizaram o modelo de Contribuição de Grupos UNIFAC juntamente com a equação de estado cúbica de Soave–Redlich–Kwong (SRK) para VLE e LLE de misturas com eletrólitos fortes.

Thomsen (1997) desenvolveu um modelo UNIQUAC estendido para soluções aquosas com eletrólitos baseado nas seguintes propriedades de equilíbrio e calorimétricas: atividade, coeficiente osmótico, grau de dissociação, densidade, calor de diluição e de solução e capacidade calorífica. A partir destes novos parâmetros foram elaborados diagramas de fases e simulações de processos, seguidas de otimização. O trabalho de Thomsen é uma importante referência, mas não se aplica diretamente à mistura de solventes, foco da presente proposta de tese de doutorado.

Lorimer (1993) apresenta uma modelagem não-convencional para sistemas eletrolíticos com mistura de solventes, baseado no desenvolvimento de soluções aquosas. Os modelos derivados de Pitzer são os convencionais para soluções aquosas eletrolíticas Pytkowicz, 1979; (JR. et al., 1986). Estes modelos se encontram em versões mais atualizadas de simuladores de processos como Aspen HYSYS®. Entretanto, parâmetros de íons e moléculas orgânicas ou grupos funcionais são raros e assim sendo comprometem as simulações de sistemas aquosos eletrolíticos com misturas de solventes.

Com respeito aos métodos de cálculo de equilíbrio de fases e fundamentação, livros textos da área serão utilizados no projeto (SMITH; NESS; ABBOTT, 2005; WALAS, 1985; PITZER, 1995; PRAUSNITZ; LICHTENTHALER; AZEVEDO, 1999; SANDLER, 1993).

Os modelos de coeficiente de atividade desenvolvidos para soluções não-eletrolíticas, como UNIQUAC (ABRAMS; PRAUSNITZ, 1975), têm sido extensivamente aplicados. Estes modelos se caracterizam por uma forte flexibilidade matemática permitindo correlação de dados de equilíbrio para misturas complexas e também possuem fundamentação teórica.

O modelo UNIQUAC+DH foi aplicado para a modelagem de solubilidade de sais em mistura de solventes para os sistemas estudados (CHIAVONE-FILHO; RASMUSSEN, 2000). Contudo com base na literatura é mais adequado uso de modelos normalizados com a convenção assimétrica para sistemas com eletrólitos e portanto o modelo de Pitzer (1973) e modelagem de solubilidade de excesso apresentada por Lorimer (1993), que aplica a abordagem de McMillan-Mayer se apresenta mais coerente do ponto de vista de termodinâmica molecular e projeto de processos.

## 2.7 Ferramentas Computacionais

O uso de ferramentas computacionais para a resolução de problemas em equilíbrio de fases de sistemas com eletrólitos se faz necessário devido à quantidade enorme de cálculos e complexidade destes. A utilização destas ferramentas acompanhou o desenvolvimento das linguagens de computação, onde, hoje, cada qual apresenta suas vantagens:

- a) O FORTRAN apresenta uma grande quantidade de bibliotecas matemáticas já consolidadas, como por exemplo, as bibliotecas numéricas e estatísticas IMSL;
- b) O C++ apresenta-se como uma linguagem muito utilizada no desenvolvimento final de programas onde a programação de alto nível simplificada e rápida permite excelentes resultados no nível de interação com o usuário;
- c) Deve-se destacar os programas desenvolvidos para atividades específicas de simulação de processos como, por exemplo, o conhecido Aspen HYSYS®, que apresenta um conjunto de ferramentas, inclusive gráficas que permitem reproduzir por simulação muitos dos processos encontrados na indústria de petróleo e gás natural;
- d) Pode-se destacar também programas com uma grande gama de pacotes matemáticos e de engenharia, como por exemplo; o MATLAB, ou o seu clone livre: o SCILAB;
- e) A linguagem de programação Python destaca-se pelo fato de como atualmente as máquinas (hardwares) estarem cada vez mais rápidos, implica que a necessidade de otimização do código para a máquina (como em linguagens como FORTRAN e C++) perde cada vez mais espaço em relação à otimização do código para o programador. É o caso da linguagem de programação Python, cuja otimização em relação ao programador permite até a mudança dinâmica da programação, ou seja, em tempo de execução. O destaque do Python em relação a outras linguagens também é evidente pela sua característica de ser multiplataforma (Windows, Linux, MacOS), possuir licença livre (tendência mundial), apresentar bibliotecas numéricas avançadas, como o NumPy, científicas, como o SciPy, gráficas, como o Matplotlib, de excepcional qualidade, além do desenvolvimento em programação visual, por meio do PySide, ser simples e totalmente multiplataforma.

Para a implementação e testes dos modelos neste trabalho de tese de doutorado adotou-se a linguagem Python, juntamente com as já citadas bibliotecas: PySide, NumPy, SciPy, Matplotlib e utiliza-se o ambiente de programação Eclypse.

# CAPÍTULO 3

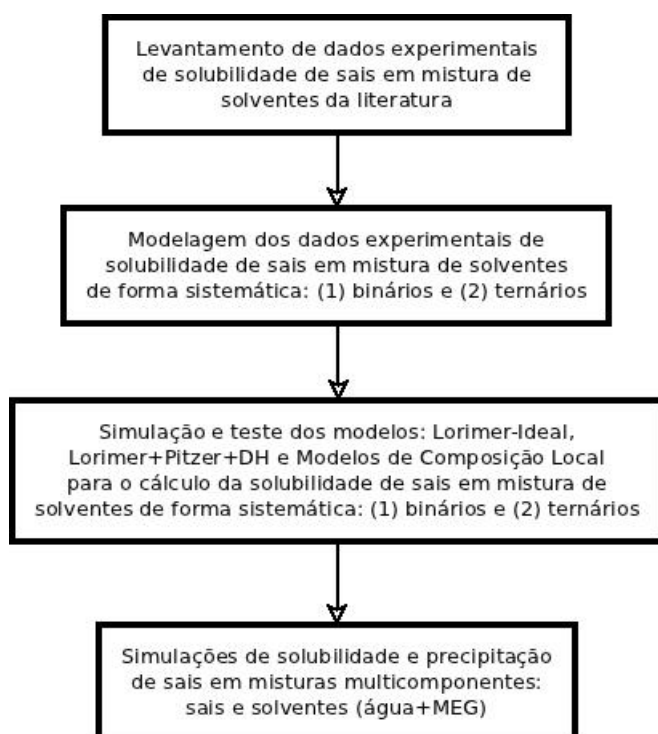
## METODOLOGIA



### 3 METODOLOGIA

A metodologia de trabalho aplicada nesta tese está resumida na [Figura 15](#).

Figura 15 – Fluxograma da metodologia de desenvolvimento e teste do modelo de solubilidade de sais em misturas de solventes.



Fonte: o autor

Como pode ser observado na [Figura 15](#), de posse do modelo de coeficiente de atividade, pode-se desenvolver um método de cálculo para calcular a solubilidade de uma espécie salina e também identificar se uma mistura forma ou não precipitados. É importante destacar que soluções eletrolíticas apresentam forte afastamento da idealidade e, por conseguinte, demandam correção produzida por um modelo de coeficiente de atividade. Por outro lado com a abordagem de Lorimer de solubilidade de excesso, esse afastamento fica reduzido.

## 3.1 Molalidade e fração molar

### 3.1.1 Cálculo da molalidade do sal na mistura de solventes

A molalidade do sal na mistura de solventes ( $b_{\text{MEG}}^{\{\text{H}_2\text{O+MEG}\}}$ ) foi calculada em função das propriedades e unidades dos dados experimentais consultados:

$$b_{\text{MEG}}^{\{\text{H}_2\text{O+MEG}\}} = \frac{w_{\text{MX}}^{\{\text{H}_2\text{O+MEG+MX}\}}}{\left(1-w_{\text{MX}}^{\{\text{H}_2\text{O+MEG+MX}\}}\right)M_{\text{MX}}} 1000 \quad (3.1)$$

$$b_{\text{MEG}}^{\{\text{H}_2\text{O+MEG}\}} = \frac{m_{\text{MX}}}{m_{\text{H}_2\text{O+MEG}} M_{\text{MX}}} 1000 \quad (3.2)$$

### 3.1.2 Cálculo da fração molar do MEG livre de sal na mistura de solventes

A fração molar do MEG livre de sal na mistura de solventes ( $x_{\text{MEG}}^{\{\text{H}_2\text{O+MEG}\}}$ ) foi calculada em função das propriedades e unidades dos dados experimentais consultados:

$$x_{\text{MEG}}^{\{\text{H}_2\text{O+MEG}\}} = \frac{\frac{m_{\text{MEG}}}{M_{\text{MEG}}}}{\frac{m_{\text{H}_2\text{O}}}{M_{\text{H}_2\text{O}}} + \frac{m_{\text{MEG}}}{M_{\text{MEG}}}} \quad (3.3)$$

$$x_{\text{MEG}}^{\{\text{H}_2\text{O+MEG}\}} = \frac{\frac{1-w_{\text{H}_2\text{O}}^{\{\text{H}_2\text{O+MEG}\}}}{M_{\text{MEG}}}}{\frac{w_{\text{H}_2\text{O}}^{\{\text{H}_2\text{O+MEG}\}}}{M_{\text{H}_2\text{O}}} + \frac{1-w_{\text{H}_2\text{O}}^{\{\text{H}_2\text{O+MEG}\}}}{M_{\text{MEG}}}} \quad (3.4)$$

$$x_{\text{MEG}}^{\{\text{H}_2\text{O+MEG}\}} = \frac{\frac{w_{\text{MEG}}^{\{\text{H}_2\text{O+MEG}\}}}{M_{\text{MEG}}}}{\frac{1-w_{\text{MEG}}^{\{\text{H}_2\text{O+MEG}\}}}{M_{\text{H}_2\text{O}}} + \frac{w_{\text{MEG}}^{\{\text{H}_2\text{O+MEG}\}}}{M_{\text{MEG}}}} \quad (3.5)$$

$$x_{\text{MEG}}^{\{\text{H}_2\text{O+MEG}\}} = \frac{\frac{w_{\text{MEG}}^{\{\text{H}_2\text{O+MEG+MX}\}}}{M_{\text{MEG}}}}{\frac{1-w_{\text{MEG}}^{\{\text{H}_2\text{O+MEG+MX}\}}}{M_{\text{H}_2\text{O}}} - \frac{w_{\text{MX}}^{\{\text{H}_2\text{O+MEG+MX}\}}}{M_{\text{MX}}} + \frac{w_{\text{MEG}}^{\{\text{H}_2\text{O+MEG+MX}\}}}{M_{\text{MEG}}}} \quad (3.6)$$

## 3.2 Constantes dielétricas

### 3.2.1 Cálculo das constantes dielétricas dos solventes puros

As constantes dielétricas dos solventes puros ( $\varepsilon_{r,\text{H}_2\text{O}}$  e  $\varepsilon_{r,\text{MEG}}$ ) foram calculadas em função da temperatura ( $T$ ) pelas seguintes equações (ÅKERLÖF, 1932):

$$\varepsilon_{r,\text{H}_2\text{O}} = 10^{1,9051-0,00205(T-293,15)} \quad (3.7)$$

$$\varepsilon_{r,\text{MEG}} = 10^{1,5872-0,00224(T-293,15)} \quad (3.8)$$

### 3.2.2 Cálculo das constantes dielétricas da mistura de solventes

A constante dielétrica da mistura de solventes ( $\varepsilon_{r,\text{H}_2\text{O+MEG}}$ ) foi calculada em função da temperatura ( $T$ ), da fração molar do MEG na mistura de solventes livre de sal ( $x_{\text{MEG}}^{\{\text{H}_2\text{O+MEG}\}}$ ) e das Constantes Dielétricas dos solventes puros na mesma temperatura

( $\varepsilon_{r,H_2O}$  e  $\varepsilon_{r,MEG}$ ) pela equação (JOUYBAN; SOLTANPOUR; CHAN, 2004):

$$\begin{aligned} \varepsilon_{r,H_2O+MEG} = & \exp \left\{ x_{H_2O}^{\{H_2O+MEG\}} \ln \varepsilon_{r,H_2O} + x_{MEG}^{\{H_2O+MEG\}} \ln \varepsilon_{r,MEG} + \right. \\ & \left. + \frac{x_{H_2O}^{\{H_2O+MEG\}} x_{MEG}^{\{H_2O+MEG\}}}{T} [153,6 + 57,3 (x_{H_2O}^{\{H_2O+MEG\}} - x_{MEG}^{\{H_2O+MEG\}})] \right\} \end{aligned} \quad (3.9)$$

sendo  $x_{H_2O}^{\{H_2O+MEG\}} = 1 - x_{MEG}^{\{H_2O+MEG\}}$ .

### 3.3 Densidades

#### 3.3.1 Cálculo das densidades dos solventes puros

As densidades dos solventes puros ( $\rho_{H_2O}$  e  $\rho_{MEG}$ ) foram calculadas em função da temperatura ( $T$ ) usando as massas molares dos solventes puros ( $M_{H_2O}$  e  $M_{MEG}$ ) (LIDE; HAYNES, 2009) pelas equações (GREEN; PERRY, 2007):

$$\rho_{H_2O} = (17,863 + 58,606\tau^{0,35} - 95,396\tau^{\frac{2}{3}} + 213,89\tau - 141,26\tau^{\frac{4}{3}}) M_{H_2O} \quad (3.10)$$

$$\rho_{MEG} = \frac{1,315}{0,25125^{1+(1-\frac{T}{720})^{0,21868}}} M_{MEG} \quad (3.11)$$

sendo  $\tau = 1 - \frac{T}{647,096}$ .

#### 3.3.2 Cálculo das densidades da mistura de solventes

A densidade da mistura de solventes ( $\rho_{H_2O+MEG}$ ) foi calculada em função da Densidade dos solventes puros ( $\rho_{H_2O}$  e  $\rho_{MEG}$ ) e da fração molar do MEG na mistura de solventes livre de sal ( $x_{MEG}^{\{H_2O+MEG\}}$ ) usando as massas molares dos solventes puros ( $M_{H_2O}$  e  $M_{MEG}$ ) (LIDE; HAYNES, 2009), assumindo regra de mistura ideal para o seu inverso (volume específico), pela equação:

$$\rho_{H_2O+MEG} = \rho_{H_2O+MEG} = \frac{1}{w_{H_2O}^{\{H_2O+MEG\}}/\rho_{H_2O} + w_{MEG}^{\{H_2O+MEG\}}/\rho_{MEG}} \quad (3.12)$$

sendo  $x_{H_2O}^{\{H_2O+MEG\}} = 1 - x_{MEG}^{\{H_2O+MEG\}}$ ,  $w_{MEG}^{\{H_2O+MEG\}} = \frac{x_{MEG}^{\{H_2O+MEG\}} M_{MEG}}{x_{H_2O}^{\{H_2O+MEG\}} M_{H_2O} + x_{MEG}^{\{H_2O+MEG\}} M_{MEG}}$  e  $w_{H_2O}^{\{H_2O+MEG\}} = 1 - w_{MEG}^{\{H_2O+MEG\}}$ .

## 3.4 Coeficiente de atividade

### 3.4.1 Cálculo do coeficiente de atividade do sal pelo Modelo de Pitzer

O modelo de Pitzer (PITZER, 1973) foi empregado para o cálculo do coeficiente de atividade do sal ( $\gamma_{\text{MX}}$ ):

$$I_b = \frac{b_M z_M^2 + b_X z_X^2}{2} \quad (3.13)$$

$$X = \frac{2}{b} \ln \left( 1 + b I_b^{0,5} \right) + \frac{I_b^{0,5}}{1 + b I_b^{0,5}} \quad (3.14)$$

$$f_{\text{MX}}^\gamma = -A_\phi X \quad (3.15)$$

$$Y = \frac{1 - e^{-\alpha I_b^{0,5}} (1 + \alpha I_b^{0,5} - 0,5 \alpha^2 I_b)}{\alpha^2 I_b} \quad (3.16)$$

$$B_{\text{MX}}^\gamma = 2 \left( \beta_{\text{MX}}^{(0)} + \beta_{\text{MX}}^{(1)} Y \right) \quad (3.17)$$

$$C_{\text{MX}}^\gamma = 1,5 C_{\text{MX}}^\phi \quad (3.18)$$

$$\ln \gamma_{\text{MX}} = |z_M z_X| f_{\text{MX}}^\gamma + \frac{2 b_{\text{MX}} \nu_M \nu_X}{\nu_{\text{MX}}} \left[ B_{\text{MX}}^\gamma + b_{\text{MX}} (\nu_M \nu_X)^{0,5} C_{\text{MX}}^\gamma \right] \quad (3.19)$$

onde:  $b_M = \nu_M b_{\text{MX}}$ ,  $b_X = \nu_X b_{\text{MX}}$ ,  $\nu_{\text{MX}} = \nu_M + \nu_X$ ,  $b_M$ ,  $b_X$  são as molalidades do sal, do cátion e do ânion, respectivamente;  $\nu_{\text{MX}}$ ,  $\nu_M$  e  $\nu_X$  são os coeficientes estequiométricos do sal, do cátion e do ânion, respectivamente;  $z_M$ ,  $z_X$  são as cargas do cátion e do ânion, respectivamente;  $I_b$  é a força iônica;  $f_{\text{MX}}^\gamma$  é a função de Debye-Hückel do sal;  $B_{\text{MX}}^\gamma$  e  $C_{\text{MX}}^\gamma$  são formas adotadas para o segundo e terceiro coeficientes do virial;  $A_\phi$  é a constante de Debye-Hückel;  $X$  e  $Y$  são funções para simplificação da representação do modelo;  $C_{\text{MX}}^\phi$  é semelhante a  $C_{\text{MX}}^\gamma$ , exceto que é utilizado na equação do Modelo de Pitzer para o coeficiente osmótico ao invés do de atividade;  $b$ ,  $\alpha$  são parâmetros cujos valores otimizados (PITZER, 1973) são  $b = 1,2$  e  $\alpha = 2,0$ , respectivamente; e,  $\beta_{\text{MX}}^{(0)}$  e  $\beta_{\text{MX}}^{(1)}$  também são parâmetros do modelo.

### 3.4.2 Parâmetros do modelo de Pitzer em água

#### 3.4.2.1 Cálculo dos parâmetros do modelo de Pitzer para o NaCl

Os valores de  $\beta_{\text{NaCl}}^{(0)}$ ,  $\beta_{\text{NaCl}}^{(1)}$  e  $C_{\text{NaCl}}^\gamma$  para o NaCl em água como função da temperatura ( $T$ ) são dados pelas equações (SILVESTER; PITZER, 1977):

$$\begin{aligned} \beta_{\text{NaCl}}^{(0)\{\text{H}_2\text{O}\}} (T) &= 0,0765 - 777,03 \left( \frac{1}{T} - \frac{1}{298,15} \right) - 4,4706 \ln \left( \frac{T}{298,15} \right) + \\ &+ 0,008946 (T - 298,15) - 0,0000033158 (T^2 - 298,15^2) \end{aligned} \quad (3.20)$$

$$\begin{aligned} \beta_{\text{NaCl}}^{(1)\{\text{H}_2\text{O}\}} (T) &= 0,2664 + 0,000061608 (T - 298,15) + \\ &+ 0,0000010715 (T^2 - 298,15^2) \end{aligned} \quad (3.21)$$

$$\begin{aligned} C_{\text{NaCl}}^{\phi\{\text{H}_2\text{O}\}}(T) = & 0,00127 + 33,317 \left( \frac{1}{T} - \frac{1}{298,15} \right) + \\ & + 0,09421 \ln \left( \frac{T}{298,15} \right) - 0,00004655(T - 298,15) \end{aligned} \quad (3.22)$$

### 3.4.2.2 Cálculo dos parâmetros do modelo de Pitzer para o KCl

Os valores de  $\beta^{(0)}$ ,  $\beta^{(1)}$  e  $C_{\text{MX}}^{\gamma}$  para o KCl em água como função da temperatura ( $T$ ) são dados pelas equações (ARCHER, 1999):

$$\begin{aligned} \beta_{\text{KCl}}^{(0)\{\text{H}_2\text{O}\}}(T) = & 0,413229483398493 - 0,000870121476114027(T - 298,15) + \\ & + 0,00000101413736179231(T - 298,15)^2 + \\ & - \frac{1,99822538522801}{T - 225} - \frac{99,8120581680816}{T} \end{aligned} \quad (3.23)$$

água

$$\begin{aligned} \beta_{\text{KCl}}^{(1)\{\text{H}_2\text{O}\}}(T) = & 0,206691413598171 + 0,00102544606022162(T - 298,15) + \\ & - \frac{1883,49608000903}{(T - 225)^3} \end{aligned} \quad (3.24)$$

$$\begin{aligned} C_{\text{KCl}}^{\phi\{\text{H}_2\text{O}\}}(T) = & -0,00133515934994478 + \frac{0,234117693834228}{T - 225} + \\ & - \frac{0,75896583546707}{T} \end{aligned} \quad (3.25)$$

### 3.4.3 Constante de Debye-Hückel

#### 3.4.3.1 Cálculo da constante de Debye-Hückel para a água

A constante de Debye-Hückel para água ( $A_{\phi,\text{H}_2\text{O}}$ ) foi calculada em função da temperatura ( $T$ ) pela equação (CHEN et al., 1982):

$$\begin{aligned} A_{\phi,\text{H}_2\text{O}}(T) = & -61,44534e^{\frac{T-273,15}{273,15}} + 2,864468e^{2(\frac{T-273,15}{273,15})} + 183,5379 \ln \left( \frac{T}{273,15} \right) + \\ & -0,6820223(T - 273,15) + 0,0007875695(T^2 - 273,15^2) + \\ & + 58,95788 \left( \frac{273,15}{T} \right) \end{aligned} \quad (3.26)$$

#### 3.4.3.2 Cálculo da constante de Debye-Hückel para o MEG e para a mistura de solventes

As constantes de Debye-Hückel para o MEG e para a mistura de solventes ( $A_{\phi,\text{MEG}}$  e  $A_{\phi,\text{H}_2\text{O+MEG}}$ , respectivamente) foram calculadas a partir das constante de Debye-Hückel, densidade e constante dielétrica da água ( $A_{\phi,\text{H}_2\text{O}}$ ,  $\rho_{\text{H}_2\text{O}}$  e  $\varepsilon_{r,\text{H}_2\text{O}}$ , respectivamente), e das densidade e constante dielétrica para o MEG ou para a mistura de solventes ( $\rho_{\text{MEG}}$  e  $\varepsilon_{r,\text{MEG}}$ , respectivamente, ou  $\rho_{\text{H}_2\text{O+MEG}}$  e  $\varepsilon_{r,\text{H}_2\text{O+MEG}}$ , respectivamente), tudo calculado a mesma temperatura ( $T$ ) por equação obtida a partir da razão entre as equações de definição

da constante de Debye-Hückel para a água e para um outro em solvente (ou mistura de solventes):

$$A_{\phi,\text{solvente}} = \left( \frac{\rho_{\text{solvente}}}{\rho_{\text{H}_2\text{O}}} \right)^{0,5} \left( \frac{\varepsilon_{r,\text{H}_2\text{O}}}{\varepsilon_{r,\text{solvente}}} \right)^{1,5} A_{\phi,\text{H}_2\text{O}} \quad (3.27)$$

### 3.4.4 Cálculo do coeficiente de atividade do sal em MEG

O coeficiente de atividade do sal em MEG ( $\gamma_{\text{MX}}^{\{\text{MEG}\}}$ ) foi calculado por meio da equação abaixo (LORIMER, 1993) como função da temperatura ( $T$ ), do coeficiente de atividade do sal em água ( $\gamma_{\text{MX}}^{\{\text{H}_2\text{O}\}}$ ) das molalidades do sal em água e MEG ( $b_{\text{MX}}^{\{\text{H}_2\text{O}\}} b_{\text{MX}}^{\{\text{MEG}\}}$ , respectivamente) e da Energia Livre de Gibbs de Transferência da água para o MEG ( $\Delta_{\text{tr}}G_{\text{H}_2\text{O} \rightarrow \text{MEG}}^0$ ), sendo os valores para esta última, tanto para o NaCl quanto para o KCl, iguais à  $\Delta_{\text{tr}}G_{\text{H}_2\text{O} \rightarrow \text{MEG}}^0 = 7000$  (MARCUS, 1985). O valor da constante universal dos gases utilizado é  $R = 8,314472$  (LIDE; HAYNES, 2009).

$$\ln \gamma_{\text{MX}}^{\{\text{MEG}\}} = \ln \gamma_{\text{MX}}^{\{\text{H}_2\text{O}\}} + \ln \left( \frac{b_{\text{MX}}^{\{\text{H}_2\text{O}\}}}{b_{\text{MX}}^{\{\text{MEG}\}}} \right) - \frac{\Delta_{\text{tr}}G_{\text{H}_2\text{O} \rightarrow \text{MEG}}^0}{\nu_{\text{MX}} RT} \quad (3.28)$$

### 3.4.5 Parâmetros do modelo de Pitzer em mistura de solventes

Usando a metodologia de Lorimer (LORIMER, 1993) que considera constantes os parâmetros  $\beta_{\text{MX}}^{(0)}$  e  $C_{\text{MX}}^\phi$ , em relação aos solventes, e que o parâmetro  $\beta_{\text{MX}}^{(1)}$ , em relação aos solventes, apresenta dependência linear com a constante dielétrica, isto em escala logarítmica, podemos estender o modelo de Pitzer para mistura de solventes:

$$\beta_{\text{MX}}^{(0)\{\text{solvente}\}} = \beta_{\text{MX}}^{(0)\{\text{H}_2\text{O}\}} \quad (3.29)$$

$$\beta_{\text{MX}}^{(1)\{\text{solvente}\}} = \beta_0 \exp(A \ln \varepsilon_{r,\text{solvente}} + B) \quad (3.30)$$

$$C_{\text{MX}}^{\phi\{\text{solvente}\}} = C_{\text{MX}}^{\phi\{\text{H}_2\text{O}\}} \quad (3.31)$$

onde  $\beta_0 = 1$ ,  $A = \frac{\ln(\beta_{\text{MX}}^{(1)\{\text{H}_2\text{O}\}} / \beta_{\text{MX}}^{(1)\{\text{MEG}\}})}{\ln(\varepsilon_{r,\text{H}_2\text{O}} / \varepsilon_{r,\text{MEG}})}$  e  $B = \ln \frac{\beta_{\text{MX}}^{(1)\{\text{H}_2\text{O}\}}}{\beta_0} - A \ln \varepsilon_{r,\text{H}_2\text{O}}$ .

## 3.5 Algoritmos

Através do conjunto de equações apresentados anteriormente podemos calcular as propriedades de excesso: molalidade ( $\left[ \ln \left( \frac{b_{\text{MX}}^{\{\text{H}_2\text{O+MEG}\}}}{b_0} \right) \right]^E$ ), coeficiente de atividade ( $\left[ \ln \left( \gamma_{\text{MX}}^{\{\text{H}_2\text{O+MEG}\}} \right) \right]^E$ ) e potencial químico ( $\left[ \mu_{\text{MX}}^{0\{\text{H}_2\text{O+MEG}\}} \right]^E$ ), para tanto usamos a definição de propriedade de excesso (Equação 2.24) e a regra de mistura ideal:

$$M^{\text{id}} = Mx + M(1-x) \quad (3.32)$$

onde  $M$  representa a propriedade molar e  $x$  a fração molar.

### 3.5.1 Cálculo das propriedades de excesso do sal em mistura de solventes

Calcula-se as propriedades de excesso da seguinte forma:

a) Entra-se  $b_{\text{MX}}^{\{\text{H}_2\text{O+MEG}\}}$ ,  $T$  e  $x_{\text{MEG}}^{\{\text{H}_2\text{O+MEG}\}}$ ;

b) Calcula-se:

- $A_{\phi,\text{H}_2\text{O}} = A_{\phi,\text{H}_2\text{O}}(T)$  (Equação 3.26);
- $b_{\text{MX}}^{\{\text{H}_2\text{O}\}} = b_{\text{MX}}^{\{\text{H}_2\text{O}\}}(T)$ ;
- $\beta_{\text{MX}}^{(0)\{\text{H}_2\text{O}\}} = \beta_{\text{MX}}^{(0)\{\text{H}_2\text{O}\}}(T)$  (Equação 3.20 e Equação 3.23);
- $\beta_{\text{MX}}^{(1)\{\text{MEG}\}} = \beta_{\text{MX}}^{(1)\{\text{MEG}\}}(T)$  (Equação 3.21 e Equação 3.24);
- $C_{\text{MX}}^{\phi\{\text{H}_2\text{O}\}} = C_{\text{MX}}^{\phi\{\text{H}_2\text{O}\}}(T)$  (Equação 3.22 e Equação 3.25);

c) Calcula-se:

- $I_b^{\{\text{H}_2\text{O}\}} = I_b^{\{\text{H}_2\text{O}\}}(b_{\text{MX}}^{\{\text{H}_2\text{O}\}})$  (Equação 3.13);
- $C_{\text{MX}}^{\gamma\{\text{H}_2\text{O}\}} = C_{\text{MX}}^{\gamma\{\text{H}_2\text{O}\}}(C_{\text{MX}}^{\phi\{\text{H}_2\text{O}\}})$  (Equação 3.18);

d) Calcula-se:

- $X^{\{\text{H}_2\text{O}\}} = X^{\{\text{H}_2\text{O}\}}(I_b^{\{\text{H}_2\text{O}\}})$  (Equação 3.14);
- $Y^{\{\text{H}_2\text{O}\}} = Y^{\{\text{H}_2\text{O}\}}(I_b^{\{\text{H}_2\text{O}\}})$  (Equação 3.16);

e) Calcula-se:

- $f_{\text{MX}}^{\gamma\{\text{H}_2\text{O}\}} = f_{\text{MX}}^{\gamma\{\text{H}_2\text{O}\}}(A_{\phi,\text{H}_2\text{O}}; X^{\{\text{H}_2\text{O}\}})$  (Equação 3.15);
- $B_{\text{MX}}^{\gamma\{\text{H}_2\text{O}\}} = B_{\text{MX}}^{\gamma\{\text{H}_2\text{O}\}}(\beta_{\text{MX}}^{(0)\{\text{H}_2\text{O}\}}; \beta_{\text{MX}}^{(1)\{\text{H}_2\text{O}\}}; Y^{\{\text{H}_2\text{O}\}})$  (Equação 3.17);

f) Calcula-se o logaritmo do coeficiente de atividade do sal em água:

$$\ln \gamma_{\text{MX}}^{\{\text{H}_2\text{O}\}} = \ln \gamma_{\text{MX}}(b_{\text{MX}}^{\{\text{H}_2\text{O}\}}; f_{\text{MX}}^{\gamma\{\text{H}_2\text{O}\}}; B_{\text{MX}}^{\gamma\{\text{H}_2\text{O}\}}; C_{\text{MX}}^{\gamma\{\text{H}_2\text{O}\}}) \quad (\text{Equação 3.19});$$

g) Calcula-se:

$$b_{\text{MX}}^{\{\text{MEG}\}} = b_{\text{MX}}^{\{\text{MEG}\}}(T)$$

h) Calcula-se o logaritmo do coeficiente de atividade do sal em MEG:

$$\ln \gamma_{\text{MX}}^{\{\text{MEG}\}} = \ln \gamma_{\text{MX}}^{\{\text{MEG}\}}(\ln \gamma_{\text{MX}}^{\{\text{H}_2\text{O}\}}; b_{\text{MX}}^{\{\text{H}_2\text{O}\}}; b_{\text{MX}}^{\{\text{MEG}\}}; T) \quad (\text{Equação 3.28});$$

i) Calcula-se:

- $\rho_{\text{H}_2\text{O}} = \rho_{\text{H}_2\text{O}}(T)$  (Equação 3.10);
- $\rho_{\text{MEG}} = \rho_{\text{MEG}}(T)$  (Equação 3.11);
- $\varepsilon_{r,\text{H}_2\text{O}} = \varepsilon_{r,\text{H}_2\text{O}}(T)$  (Equação 3.7);
- $\varepsilon_{r,\text{MEG}} = \varepsilon_{r,\text{MEG}}(T)$  (Equação 3.8);
- $I_b^{\{\text{MEG}\}} = I_b^{\{\text{MEG}\}}(b_{\text{MX}}^{\{\text{MEG}\}})$  (Equação 3.13);
- $\beta_{\text{MX}}^{(0)\{\text{MEG}\}} = \beta_{\text{MX}}^{(0)\{\text{MEG}\}}(\beta_{\text{MX}}^{(0)\{\text{H}_2\text{O}\}})$  (Equação 3.29);
- $C_{\text{MX}}^{\phi\{\text{MEG}\}} = C_{\text{MX}}^{\phi\{\text{MEG}\}}(C_{\text{MX}}^{\phi\{\text{H}_2\text{O}\}})$  (Equação 3.31);

j) Calcula-se:

- $A_{\phi, \text{MEG}} = A_{\phi, \text{MEG}}(A_{\phi, \text{MEG}}; \rho_{\text{H}_2\text{O}}; \rho_{\text{MEG}}; \varepsilon_{r, \text{H}_2\text{O}}; \varepsilon_{r, \text{MEG}})$  (Equação 3.27);
- $C_{\text{MX}}^{\gamma\{\text{MEG}\}} = C_{\text{MX}}^{\gamma\{\text{MEG}\}}(C_{\text{MX}}^{\phi\{\text{MEG}\}})$  (Equação 3.18);

k) Calcula-se:

- $X^{\{\text{MEG}\}} = X^{\{\text{MEG}\}}(I_b^{\{\text{MEG}\}})$  (Equação 3.14);
- $Y^{\{\text{MEG}\}} = Y^{\{\text{MEG}\}}(I_b^{\{\text{MEG}\}})$  (Equação 3.16);

l) Calcula-se:

- $f_{\text{MX}}^{\gamma\{\text{MEG}\}} = f_{\text{MX}}^{\gamma\{\text{MEG}\}}(A_{\phi, \text{MEG}}; X^{\{\text{MEG}\}})$  (Equação 3.15);

m) Resolve-se:

$$\ln \gamma_{\text{MX}}^{\{\text{MEG}\}} - \ln \gamma_{\text{MX}}(b_{\text{MX}}^{\{\text{MEG}\}}; f_{\text{MX}}^{\gamma\{\text{MEG}\}}; B_{\text{MX}}^{\gamma\{\text{MEG}\}}; C_{\text{MX}}^{\gamma\{\text{MEG}\}}) = 0 \quad (\text{Equação 3.19})$$

para  $\beta_{\text{MX}}^{(1)\{\text{MEG}\}}$ , sendo:

$$B_{\text{MX}}^{\gamma\{\text{MEG}\}} = B_{\text{MX}}^{\gamma\{\text{MEG}\}}(\beta_{\text{MX}}^{(0)\{\text{MEG}\}}; \beta_{\text{MX}}^{(1)\{\text{MEG}\}}; Y^{\{\text{MEG}\}}) \quad (\text{Equação 3.17});$$

n) Calcula-se:

- $\rho_{\text{H}_2\text{O+MEG}} = \rho_{\text{H}_2\text{O+MEG}}(\rho_{\text{H}_2\text{O}}; \rho_{\text{MEG}}; x_{\text{MEG}}^{\{\text{H}_2\text{O+MEG}\}})$  (Equação 3.12)
- $\varepsilon_{r, \text{H}_2\text{O+MEG}} = \varepsilon_{r, \text{H}_2\text{O+MEG}}(\varepsilon_{\text{H}_2\text{O}}; \varepsilon_{\text{MEG}}; x_{\text{MEG}}^{\{\text{H}_2\text{O+MEG}\}})$  (Equação 3.9);

o) Calcula-se:

- $A_{\phi, \text{H}_2\text{O+MEG}} = A_{\phi, \text{H}_2\text{O+MEG}}(A_{\phi, \text{H}_2\text{O}}; \rho_{\text{H}_2\text{O}}; \rho_{\text{H}_2\text{O+MEG}}; \varepsilon_{r, \text{H}_2\text{O}}; \varepsilon_{r, \text{H}_2\text{O+MEG}})$  (Equação 3.27);
- $I_b^{\{\text{H}_2\text{O+MEG}\}} = I_b^{\{\text{H}_2\text{O+MEG}\}}(b_{\text{MX}}^{\{\text{H}_2\text{O+MEG}\}})$  (Equação 3.13);
- $\beta_{\text{MX}}^{(0)\{\text{H}_2\text{O+MEG}\}} = \beta_{\text{MX}}^{(0)\{\text{H}_2\text{O+MEG}\}}(\beta_{\text{MX}}^{(0)\{\text{H}_2\text{O}\}})$  (Equação 3.29);
- $\beta_{\text{MX}}^{(1)\{\text{H}_2\text{O+MEG}\}} = \beta_{\text{MX}}^{(1)\{\text{H}_2\text{O+MEG}\}}(\beta_{\text{MX}}^{(0)\{\text{H}_2\text{O}\}}; \beta_{\text{MX}}^{(0)\{\text{MEG}; \varepsilon_{r, \text{H}_2\text{O}}; \varepsilon_{r, \text{MEG}}\}})$  (Equação 3.30);
- $C_{\text{MX}}^{\phi\{\text{H}_2\text{O+MEG}\}} = C_{\text{MX}}^{\phi\{\text{H}_2\text{O+MEG}\}}(C_{\text{MX}}^{\phi\{\text{H}_2\text{O}\}})$  (Equação 3.31);

p) Calcula-se:

- $X^{\{\text{H}_2\text{O+MEG}\}} = X^{\{\text{H}_2\text{O+MEG}\}}(I_b^{\{\text{H}_2\text{O+MEG}\}})$  (Equação 3.14);
- $Y^{\{\text{H}_2\text{O+MEG}\}} = Y^{\{\text{H}_2\text{O+MEG}\}}(I_b^{\{\text{H}_2\text{O+MEG}\}})$  (Equação 3.16);
- $C_{\text{MX}}^{\gamma\{\text{H}_2\text{O+MEG}\}} = C_{\text{MX}}^{\gamma\{\text{H}_2\text{O+MEG}\}}(C_{\text{MX}}^{\phi\{\text{H}_2\text{O+MEG}\}})$  (Equação 3.18);

q) Calcula-se:

- $f_{\text{MX}}^{\gamma\{\text{H}_2\text{O+MEG}\}} = f_{\text{MX}}^{\gamma\{\text{H}_2\text{O+MEG}\}}(A_{\phi, \text{H}_2\text{O+MEG}}; X^{\{\text{H}_2\text{O+MEG}\}})$  (Equação 3.15);
- $B_{\text{MX}}^{\gamma\{\text{H}_2\text{O+MEG}\}} = B_{\text{MX}}^{\gamma\{\text{H}_2\text{O+MEG}\}}(\beta_{\text{MX}}^{(0)\{\text{H}_2\text{O+MEG}\}}; \beta_{\text{MX}}^{(1)\{\text{H}_2\text{O+MEG}\}}; Y^{\{\text{H}_2\text{O+MEG}\}})$  (Equação 3.17);

r) Calcula-se o logaritmo do coeficiente de atividade do sal na mistura de solventes:

$$\ln \gamma_{\text{MX}}^{\{\text{H}_2\text{O+MEG}\}} = \ln \gamma_{\text{MX}}(b_{\text{MX}}^{\{\text{H}_2\text{O+MEG}\}}; f_{\text{MX}}^{\gamma\{\text{H}_2\text{O+MEG}\}}; B_{\text{MX}}^{\gamma\{\text{H}_2\text{O+MEG}\}}; C_{\text{MX}}^{\gamma\{\text{H}_2\text{O+MEG}\}});$$

s) Calcula-se o logaritmo ideal da molalidade do sal na mistura de solventes:

$$[\ln b_{\text{MX}}^{\{\text{H}_2\text{O+MEG}\}}]^{\text{id}} = \ln b_{\text{MX}}^{\{\text{H}_2\text{O}\}} x_{\text{H}_2\text{O}}^{\{\text{H}_2\text{O+MEG}\}} + \ln b_{\text{MX}}^{\{\text{MEG}\}} x_{\text{MEG}}^{\{\text{H}_2\text{O+MEG}\}},$$

- t) Calcula-se o logaritmo de excesso da molalidade do sal na mistura de solventes:  

$$\left[ \ln b_{\text{MX}}^{\{\text{H}_2\text{O+MEG}\}} \right]^E = \ln b_{\text{MX}}^{\{\text{H}_2\text{O+MEG}\}} - \left[ \ln b_{\text{MX}}^{\{\text{H}_2\text{O+MEG}\}} \right]^{\text{id}};$$
- u) Calcula-se o logaritmo ideal do coeficiente de atividade do sal na mistura de solventes:  

$$\left[ \ln \gamma_{\text{MX}}^{\{\text{H}_2\text{O+MEG}\}} \right]^{\text{id}} = \ln \gamma_{\text{MX}}^{\{\text{H}_2\text{O}\}} x_{\text{H}_2\text{O}}^{\{\text{H}_2\text{O+MEG}\}} + \ln \gamma_{\text{MX}}^{\{\text{MEG}\}} x_{\text{MEG}}^{\{\text{H}_2\text{O+MEG}\}},$$
- v) Calcula-se o logaritmo de excesso do coeficiente de atividade do sal na mistura de solventes:  

$$\left[ \ln \gamma_{\text{MX}}^{\{\text{H}_2\text{O+MEG}\}} \right]^E = \ln \gamma_{\text{MX}}^{\{\text{H}_2\text{O+MEG}\}} - \left[ \ln \gamma_{\text{MX}}^{\{\text{H}_2\text{O+MEG}\}} \right]^{\text{id}};$$
- w) Calcula-se o potencial químico padrão de excesso do coeficiente de atividade do sal na mistura de solventes:  

$$\frac{\left[ \mu_{\text{MX}}^{0\{\text{H}_2\text{O+MEG}\}} \right]^E}{nRT} = - \left[ \ln b_{\text{MX}}^{\{\text{H}_2\text{O+MEG}\}} \right]^E - \left[ \ln \gamma_{\text{MX}}^{\{\text{H}_2\text{O+MEG}\}} \right]^E$$

Após esta sequencia de cálculos, faz-se o ajuste dos resultados para o potênciam de excesso do sal na misturas de solventes em função da fração molar do MEG livre de sal e da temperatura, conforme a [Equação 3.33](#):

$$\frac{\left[ \mu_{\text{MX}}^{0\{\text{H}_2\text{O+MEG}\}} \right]^E}{nRT} = x_{\text{MEG}}^{\{\text{H}_2\text{O+MEG}\}} \left( 1 - x_{\text{MEG}}^{\{\text{H}_2\text{O+MEG}\}} \right) \left[ \theta_0 + \theta_1 T + (\theta_2 + \theta_3 T) x_{\text{MEG}}^{\{\text{H}_2\text{O+MEG}\}} + (\theta_4 + \theta_5 T) x_{\text{MEG}}^{\{\text{H}_2\text{O+MEG}\}^2} \right] \quad (3.33)$$

### 3.5.2 Cálculo das demais propriedades

A partir da [Equação 3.33](#) e de iteração com o procedimento descrito na seção anterior obtemos as outras propriedades, a saber:

- a) molalidade do sal em mistura de solventes;
- b) logaritmo do coeficiente de atividade do sal em mistura de solventes;
- c) logaritmo de excesso da molalidade do sal em mistura de solventes;
- d) logaritmo de excesso do coeficiente de atividade do sal em mistura de solventes.



# CAPÍTULO 4

## RESULTADOS E DISCUSSÕES



# 4 RESULTADOS E DISCUSSÕES

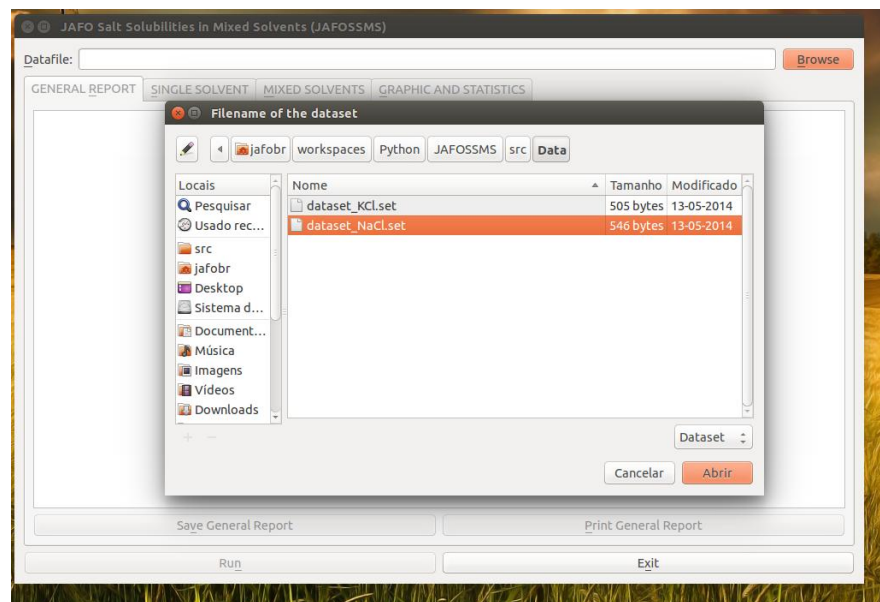
Os resultados e discussões são apresentados primeiramente pelo sal (NaCl ou KCl); seguido do sistema (binário ou ternário), onde para o binário são apresentados primeiro resultados para o sal com água e depois para o sal com MEG, e para o ternário são apresentados sempre primeiro o caso que usa os valores do potencial químico, sendo primeiro a regressão e em seguida a predição.

Antes de apresenta-se a maneira como estes resultados foram gerados através do programa desenvolvido.

## 4.1 Como os resultados foram calculados através do programa desenvolvido

Primeiramente escolhe-se o arquivo referente ao sistema a ser estudado por meio do botão "Browse" (Figura 16) ou caixa de texto "Datafile". Em seguida, executa-se os cálculos de regressão por meio da tecla "Run".

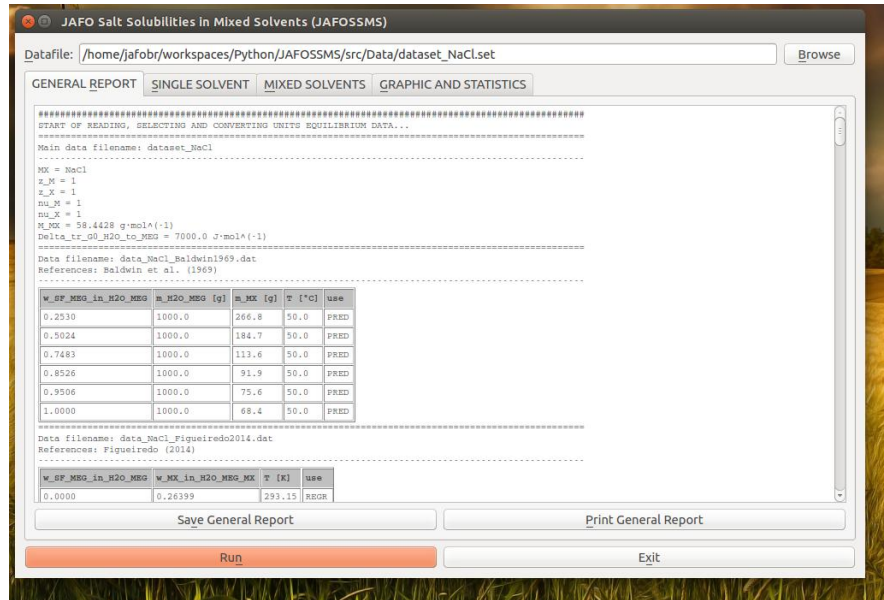
Figura 16 – Programa desenvolvido : Seleção do sistema a ser estudo.



Fonte: o autor.

Terminado os cálculos o programa retorna para o usuário com um relatório, na aba "GENERAL REPORT", de tudo que foi calculado e utilizado nos cálculos, inclusive toda a parte estatística (Figura 17). Este relatório pode ser copiado, salvo ou impresso.

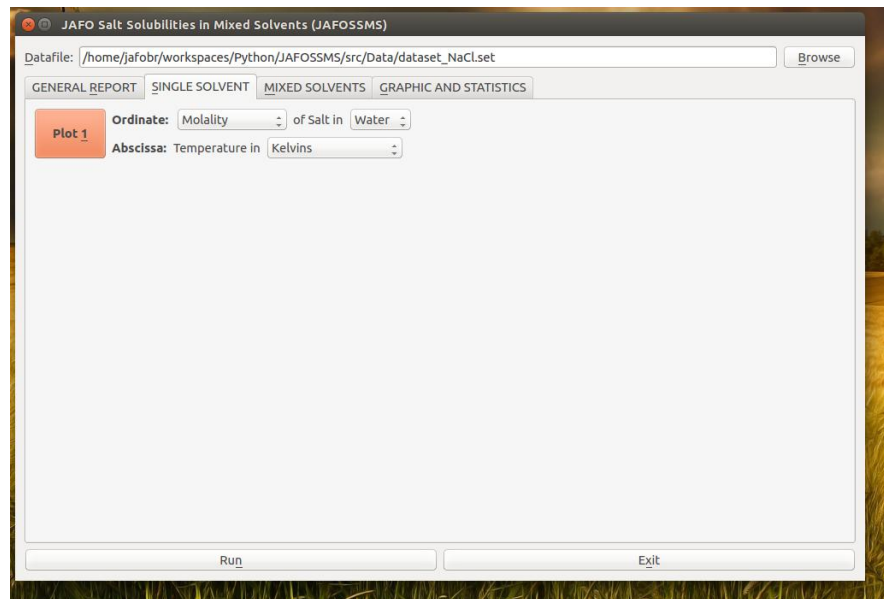
Figura 17 – Programa desenvolvido : Relatório gerado.



Fonte: o autor.

O programa oferece por meio da aba "*SINGLE SOLVENT*" botões de opções e caixas de seleção com opções para gerar gráficos binários (Figura 18).

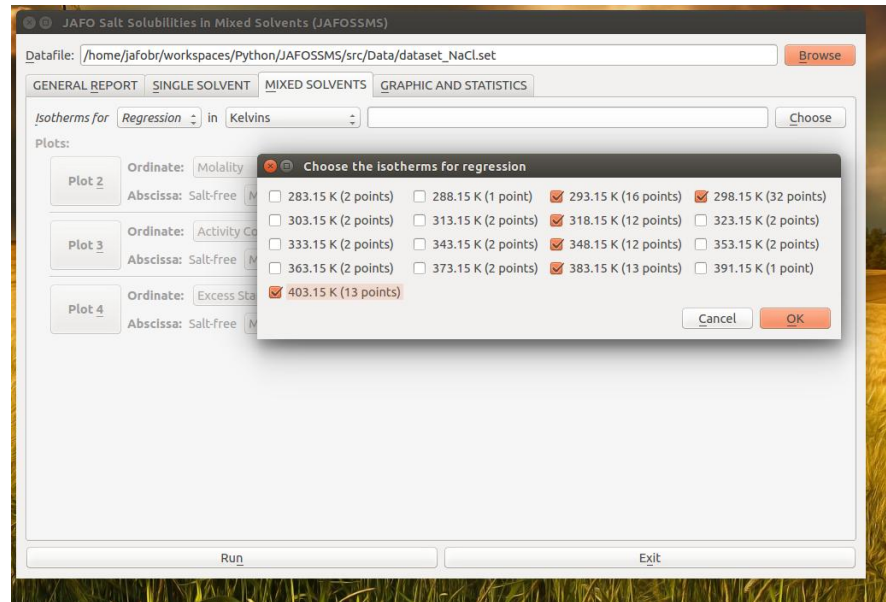
Figura 18 – Programa desenvolvido : Opções para geração de gráficos binários.



Fonte: o autor.

O programa oferece por meio da aba "*MIXED SOLVENTS*" botões de opções e caixas de seleção com opções para gerar os gráficos ternários (Figura 19), possuindo este a opção para escolhas de isotermas e caixas de seleção tanto para regressão quanto para predição.

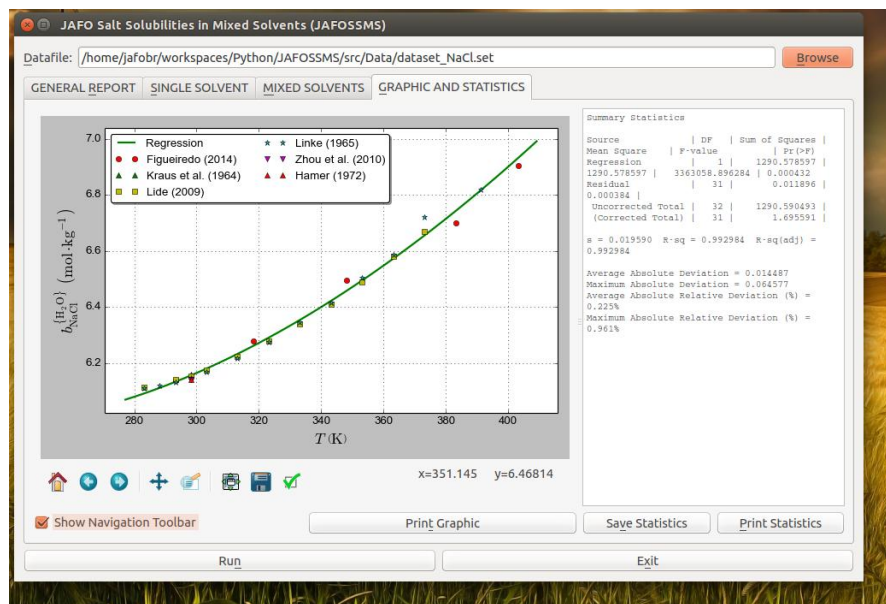
Figura 19 – Programa desenvolvido : Opções para geração de gráficos ternários.



Fonte: o autor.

Por fim, de acordo com a seleção, um gráfico e um pequeno resumo estatístico são gerados na aba "*GRAPHIC AND STATISTICS*" (Figura 20) em uma interface que permite ampliar regiões no gráfico, mudar os eixos, salvar a imagem, etc., além de poder-se copiar, salvar ou imprimir tanto o gráfico quanto o resumo estatístico.

Figura 20 – Programa desenvolvido : Gráficos.



Fonte: o autor.

## 4.2 Sistemas com NaCl

### 4.2.1 Sistemas Binários

#### 4.2.1.1 Sistema H<sub>2</sub>O+NaCl

Dados de solubilidade de NaCl em água foram ajustados por regressão não-linear usando-se a função:

$$b_{\text{NaCl}}^{\{\text{H}_2\text{O}\}} = \exp(\theta_0 + \theta_1 T + \theta_2 \ln T) \quad (4.1)$$

A [Tabela 4](#) apresenta os valores obtidos para os parâmetros  $\theta_i$ .

Tabela 4 – Parâmetros da [Equação 4.1](#) obtidos por regressão para o Sistema H<sub>2</sub>O+NaCl.

$\theta_i$	Valor
$\theta_0$	$5,169456 \pm 0,580512$
$\theta_1$	$0,003319 \pm 0,000360$
$\theta_2$	$-0,762002 \pm 0,120679$

Fonte: o autor

O resultado estatístico apresentado pelo programa para esta regressão é:

```
Non-Linear Least Squares Summary Statistics

Function: y = T, *theta: exp(theta[0]+theta[1]*T+theta[2]*log(T))

Source           | DF   | Sum of Squares | Mean Square    | F-value       | Pr(>F)
Regression      |  3   |    1252.870515 |     417.623505 | 1002896.737440 | 0.000000
Residual        | 28   |      0.011660 |      0.000416 |
Uncorrected Total | 31   |    1252.882174 |
(Corrected Total) | 30   |      1.651879 |

alpha = 0.050000 t-critical = 2.048407

s = 0.020406 R-sq = 0.992942 R-sq(adj) = 0.992437

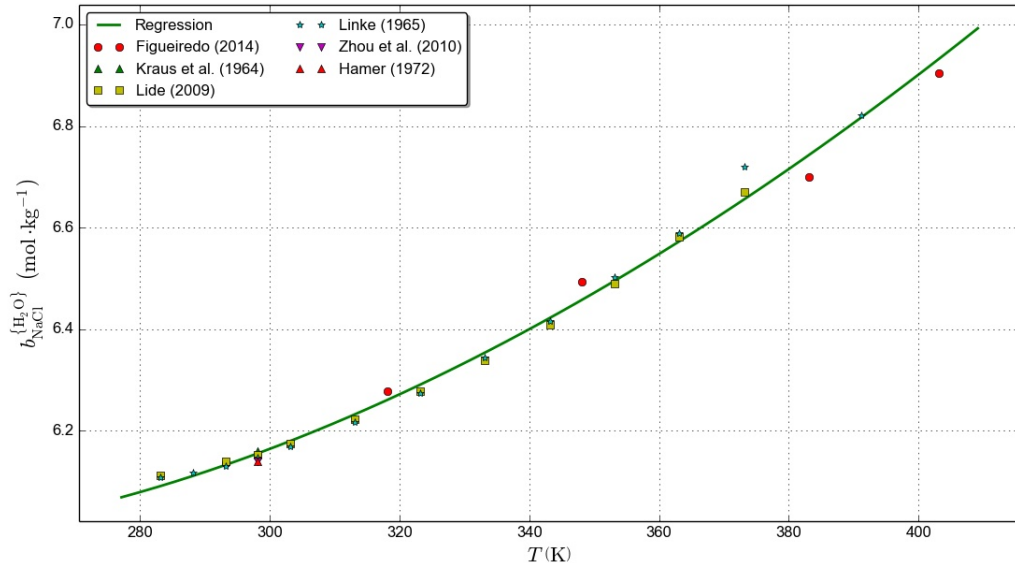
Parameter | Estimate      | Asymptotic | t-value     | Pr(>|t|) | Asymptotic 95%
          |               | Std. Error |             |           | Confidence Interval
          |               |             |             |           | Lower       | Upper
P[0]     | 5.169456 | 0.580512 | 8.904999 | 0.000000 | 3.980332 | 6.358580
P[1]     | 0.003319 | 0.000360 | 9.218842 | 0.000000 | 0.002582 | 0.004057
P[2]     | -0.762002 | 0.120679 | -6.314290 | 0.000001 | -1.009202 | -0.514802

Parameter | Correlation Matrix
          | P[0]      P[1]      P[2]
P[0]     | 1.000000 | 0.998459 | -0.999955
P[1]     | 0.998459 | 1.000000 | -0.998939
P[2]     | -0.999955 | -0.998939 | 1.000000
```

O ajuste foi bastante satisfatório apresentando um coeficiente de correlação de 0,992942 ( $R^2$ ). Isto pode ser confirmado por meio da [Figura 21](#), onde observa-se a forte tendência dos dados a aderirem a curva.

Observa-se na [Figura 21](#) que a solubilidade do NaCl aumenta com a temperatura de forma ligeiramente acima da linear em toda a faixa de temperatura correlacionada.

Figura 21 – Molalidade do NaCl em H<sub>2</sub>O versus Temperatura.



Fonte: o autor.

#### 4.2.1.2 Sistema MEG+NaCl

Dados de solubilidade de NaCl em MEG foram ajustados por regressão não-linear usando-se a função:

$$b_{\text{NaCl}}^{\{\text{MEG}\}} = \exp(\theta_0 + \theta_1 T) \quad (4.2)$$

A [Tabela 5](#) apresenta os valores obtidos para os parâmetros  $\theta_i$ .

Tabela 5 – Parâmetros da [Equação 4.2](#) obtidos por regressão para o Sistema MEG+NaCl.

$\theta_i$	Valor
$\theta_0$	0,413063 ± 0,025925
$\theta_1$	-0,000722 ± 0,000079

Fonte: o autor

O resultado estatístico apresentado pelo programa para esta regressão é:

Non-Linear Least Squares Summary Statistics

Function: y = T, \*theta: exp(theta[0]+theta[1]\*T)

Source	DF	Sum of Squares	Mean Square	F-value	Pr(>F)
Regression	2	11.363925	5.681962	52079.033045	0.000019
Residual	6	0.000655	0.000109		

```

Uncorrected Total |     8 |      11.364579 |
(Corrected Total) |     7 |      0.010122 |

alpha = 0.050000  t-critical = 2.446912

s = 0.010445  R-sq = 0.935327  R-sq(adj) = 0.924548

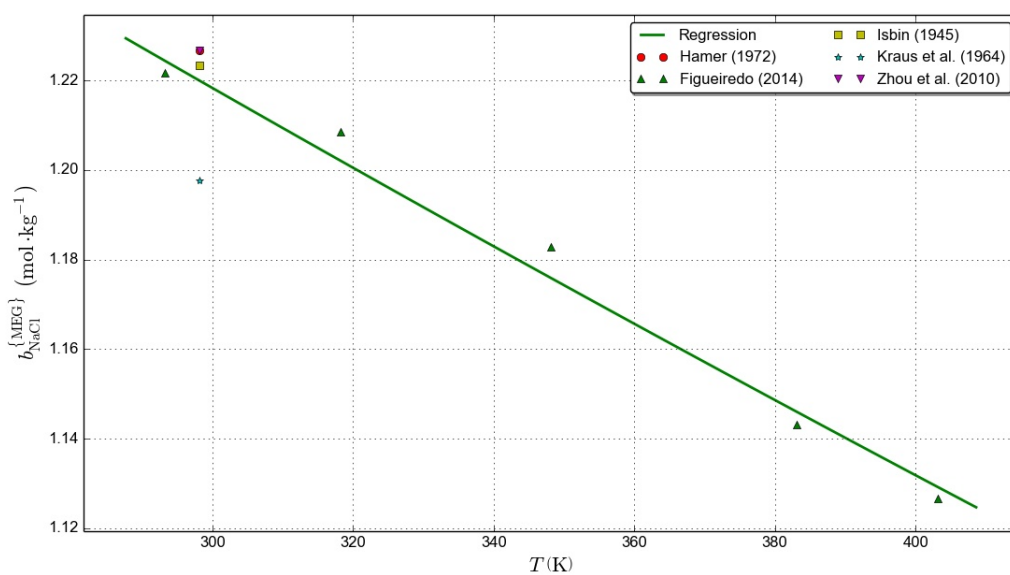
Parameter | Estimate      | Asymptotic Std. Error | t-value | Pr(>|t|) | Asymptotic 95% Confidence Interval
           |               |                   |          |          | Lower       | Upper
P[0]      |      0.413063 |      0.025925 |  15.933301 | 0.000004 |      0.349628 |      0.476498
P[1]      |     -0.000722 |      0.000079 | -9.197600 | 0.000093 |     -0.000915 |     -0.000530

Parameter | Correlation Matrix
           | P[0]      P[1]
P[0]      | 1.000000 | -0.992832
P[1]      | -0.992832 | 1.000000

```

O ajuste foi bastante satisfatório apresentando um coeficiente de correlação de 0,935327 ( $R^2$ ). Isto pode ser confirmado por meio da Figura 22, onde observa-se a tendência dos dados a aderirem a curva.

Figura 22 – Molalidade do NaCl em MEG versus Temperatura.



Fonte: o autor.

Observa-se na Figura 22 que a solubilidade do NaCl em MEG diminui com a temperatura de forma visualmente linear em toda a faixa de temperatura correlacionada.

## 4.2.2 Sistemas Ternários ( $\text{H}_2\text{O}+\text{MEG}+\text{NaCl}$ )

### 4.2.2.1 Potencial químico padrão de excesso do NaCl em mistura de solventes (Regressão)

Dados de solubilidade de NaCl em  $\text{H}_2\text{O}+\text{MEG}$  foram empregados no cálculo de valores de potencial químico padrão de excesso. Em seguida, estes foram ajustados por regressão não-linear usando-se a função:

$$\frac{\left[ \mu_{\text{NaCl}}^{0\{\text{H}_2\text{O}+\text{MEG}\}} \right]^E}{nRT} = x_{\text{MEG}}^{\{\text{H}_2\text{O}+\text{MEG}\}} \left( 1 - x_{\text{MEG}}^{\{\text{H}_2\text{O}+\text{MEG}\}} \right) [\theta_0 + \theta_1 T + (\theta_2 + \theta_3 T) x_{\text{MEG}}^{\{\text{H}_2\text{O}+\text{MEG}\}} + (\theta_4 + \theta_5 T) x_{\text{MEG}}^{\{\text{H}_2\text{O}+\text{MEG}\}^2}] \quad (4.3)$$

A Tabela 6 apresenta os valores obtidos para os parâmetros  $\theta_i$ .

Tabela 6 – Parâmetros da Equação 4.3 obtidos por regressão para o Sistema  $\text{H}_2\text{O}+\text{MEG}+\text{NaCl}$ .

$\theta_i$	Valor
$\theta_0$	$8.085783 \pm 0.338373$
$\theta_1$	$-0.007834 \pm 0.000996$
$\theta_2$	$-17.962668 \pm 1.590260$
$\theta_3$	$0.037503 \pm 0.004678$
$\theta_4$	$13.113160 \pm 1.674601$
$\theta_5$	$-0.016159 \pm 0.004914$

Fonte: o autor

O resultado estatístico apresentado pelo programa para esta regressão é:

Non-Linear Least Squares Summary Statistics

Function:  $y = (\text{function f3 at } 0x4ac06e0, \text{'function'})$

Source	DF	Sum of Squares	Mean Square	F-value	Pr(>F)
Regression	6	45.517278	7.586213	49024.181541	0.000000
Residual	101	0.015629	0.000155		
Uncorrected Total	107	45.532908			
(Corrected Total)	106	22.215424			

alpha = 0.050000 t-critical = 1.983731

s = 0.012440 R-sq = 0.999296 R-sq(adj) = 0.999262

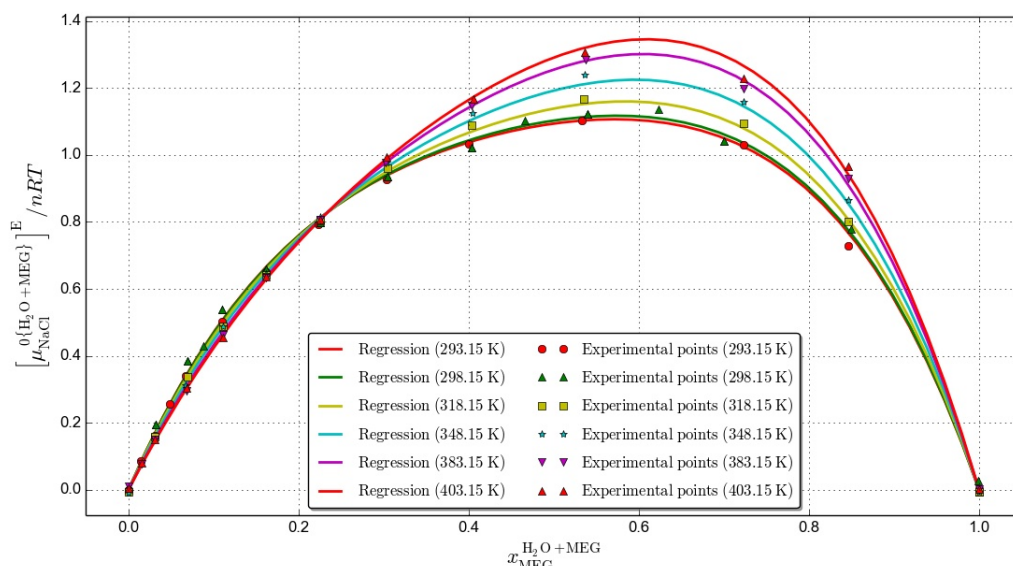
Parameter	Estimate	Asymptotic Std. Error	t-value	Pr(> t )	Asymptotic 95% Confidence Interval
					Lower   Upper
P[0]	8.085783	0.338373	23.896055	0.000000	7.414542   8.757025
P[1]	-0.007834	0.000996	-7.864318	0.000000	-0.009810   -0.005858
P[2]	-17.962668	1.590260	-11.295425	0.000000	-21.117317   -14.808019
P[3]	0.037503	0.004678	8.016076	0.000000	0.028222   0.046784
P[4]	13.113160	1.674601	7.830619	0.000000	9.791202   16.435117
P[5]	-0.016159	0.004914	-3.288321	0.001388	-0.025907   -0.006411

Parameter	Correlation Matrix					
	P[0]	P[1]	P[2]	P[3]	P[4]	P[5]
P[0]	1.000000	-0.992475	-0.938074	0.931542	0.850491	-0.846009
P[1]	-0.992475	1.000000	0.930903	-0.938490	-0.843257	0.851565
P[2]	-0.938074	0.930903	1.000000	-0.992489	-0.972733	0.966759
P[3]	0.931542	-0.938490	-0.992489	1.000000	0.964276	-0.972887
P[4]	0.850491	-0.843257	-0.972733	0.964276	1.000000	-0.992523
P[5]	-0.846009	0.851565	0.966759	-0.972887	-0.992523	1.000000

O ajuste foi bastante satisfatório apresentando um coeficiente de correlação de 0,999296 ( $R^2$ ). Isto pode ser confirmado por meio da Figura 23, onde observa-se a excelente aderência dos valores de potencial químico padrão de excesso calculados a partir dos dados de solubilidade e metodologia empregados.

Observa-se na Figura 23 que o potencial químico padrão de excesso do NaCl na mistura de solventes, nas diversas isotermas, cresce desde zero até um valor máximo correspondente a fração molar de MEG livre de solvente próximo de 0,6 e depois decresce até o valor zero. Observa-se, também, que as isotermas se cruzam no valor de 0,22 da fração molar de MEG livre de solvente. Para valores de fração molar de MEG livre de solvente menores que este valor (0,22) o potencial químico padrão de excesso do NaCl na mistura de solventes diminui com o aumento da temperatura e para a faixa restante fração molar de MEG livre de solvente, tem um comportamento inverso.

Figura 23 – Isotermas do potencial químico padrão de excesso do NaCl em mistura de solventes versus concentração de MEG livre de NaCl (Regressão).

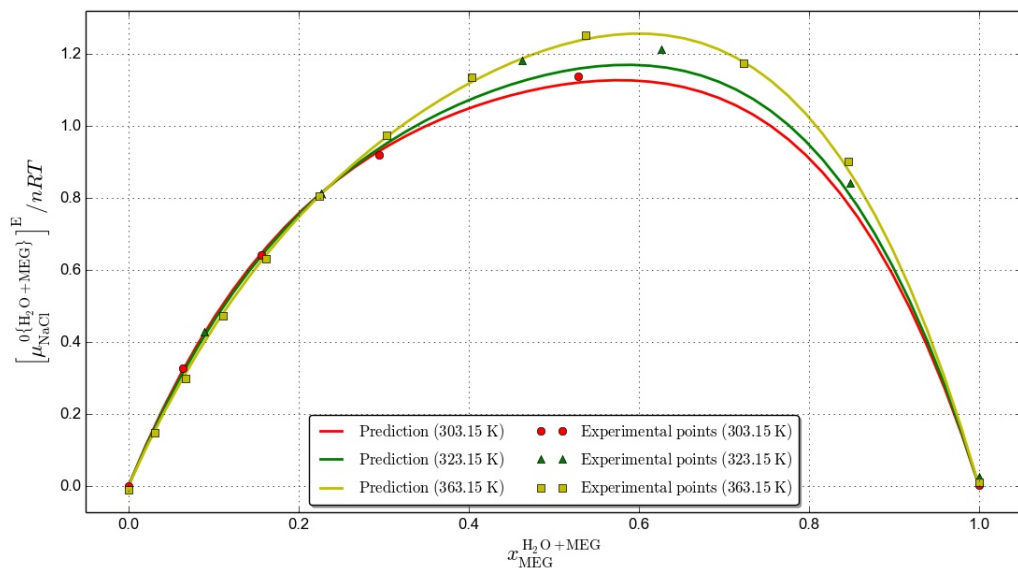


Fonte: o autor.

#### 4.2.2.2 Potencial químico padrão de excesso do NaCl em mistura de solventes (Predição)

A Figura 24 representa as isotermas do potencial químico padrão de excesso do NaCl em mistura de solventes em função da concentração de MEG livre de NaCl (Predição). Nesta figura observa-se novamente as excelente aderência dos valores de potencial químico padrão de excesso calculados a partir dos dados de solubilidade e metodologia empregados. Também observa-se o fenômeno de inversão em torno do mesmo valor citado na regressão, ou seja, 0,22 da fração molar de MEG livre de solvente.

Figura 24 – Isotermas do potencial químico padrão de excesso do NaCl em mistura de solventes versus concentração de MEG livre de NaCl (Predição).

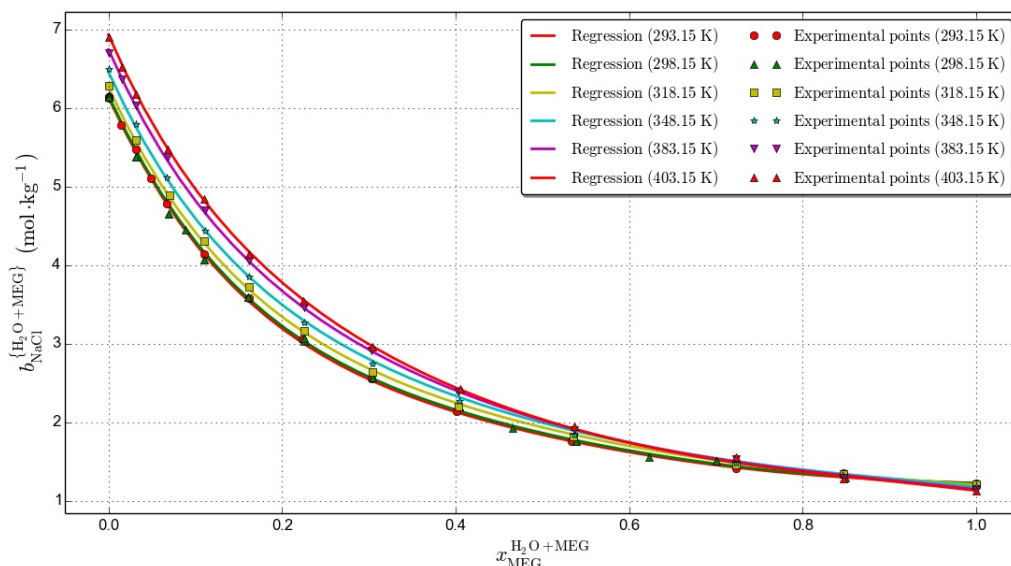


Fonte: o autor.

#### 4.2.2.3 Molalidade do NaCl em mistura de solventes (Regressão)

A Figura 25 representa as isotermas da molalidade do NaCl em mistura de solventes em função da concentração de MEG livre de NaCl. Nesta figura observa-se a excelente aderência dos valores obtidos por meio da função obtida para o potencial químico padrão de excesso e metodologia empregados. Também observa-se o fenômeno de inversão em torno do valor de 0,82 para a fração molar de MEG livre de solvente. Neste caso para valores de fração molar de MEG livre de solvente menores que 0,82 temos que a molalidade aumenta com a temperatura, e após o valor de 0,82 inverte-se o comportamento. Observa-se a diminuição da solubilidade com o aumento da concentração do MEG. A figura

Figura 25 – Isotermas da molalidade do NaCl em mistura de solventes versus concentração de MEG livre de NaCl (Regressão).

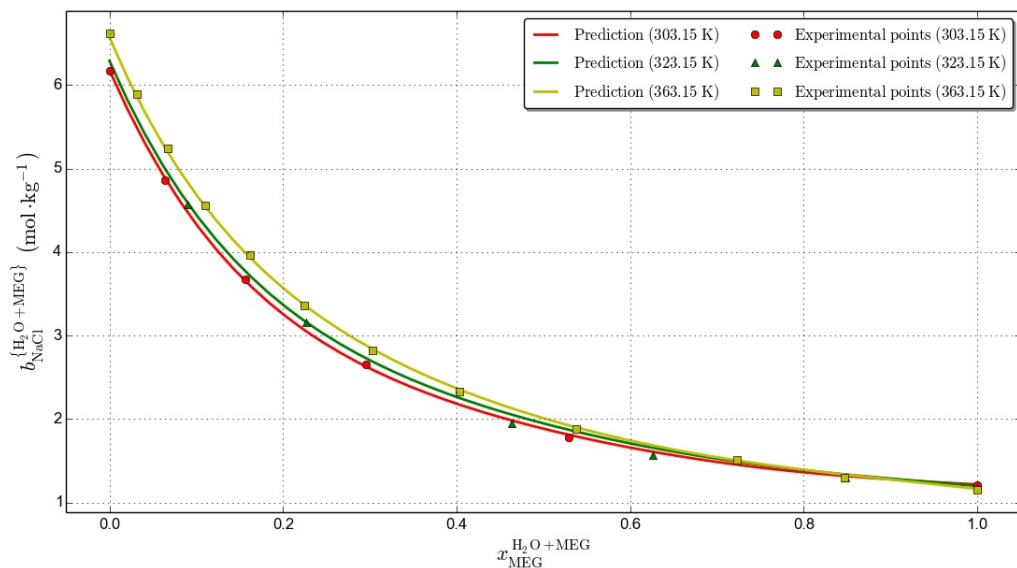


Fonte: o autor.

#### 4.2.2.4 Molalidade do NaCl em mistura de solventes (Predição)

A Figura 26 representa as isotermas da molalidade do NaCl em mistura de solventes em função da concentração de MEG livre de NaCl (Predição). Nesta figura observa-se novamente as excelente aderência dos valores obtidos por meio da função obtida para o potencial químico padrão de excesso e metodologia empregados. Também observa-se o fenômeno de inversão em torno do mesmo valor citado na regressão, ou seja, 0,82 da fração molar de MEG livre de solvente. Observa-se, também, a diminuição da solubilidade com o aumento da concentração do MEG.

Figura 26 – Isotermas da molalidade do NaCl em mistura de solventes versus concentração de MEG livre de NaCl (Predição).

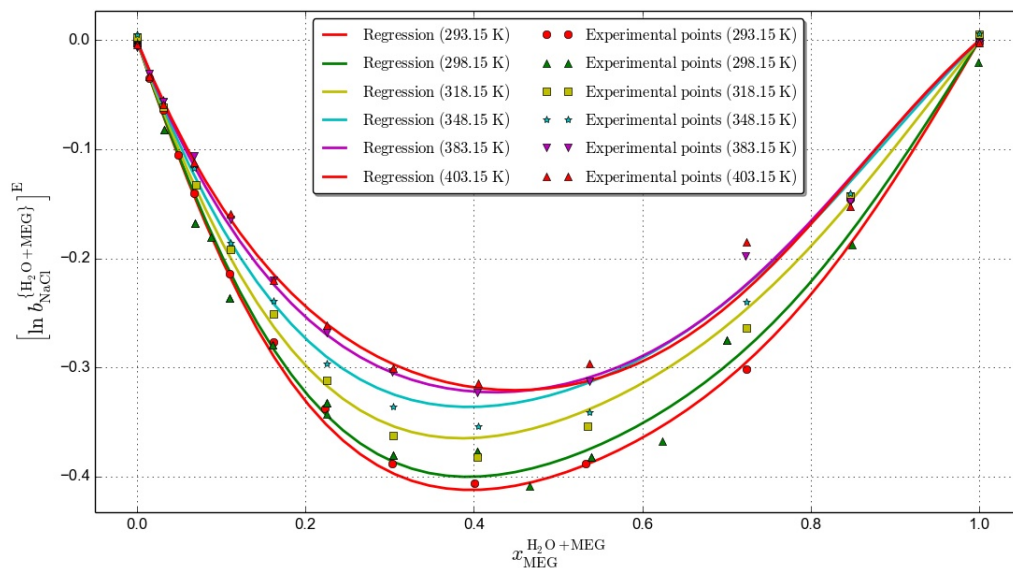


Fonte: o autor.

#### 4.2.2.5 Logaritmo de excesso da molalidade do NaCl em mistura de solventes (Regressão)

A Figura 27 representa as isoterma do logaritmo de excesso da molalidade do NaCl em mistura de solventes em função da concentração de MEG livre de NaCl. Nesta figura observa-se uma boa aderência dos valores obtidos por meio da função obtida para o potencial químico padrão de excesso e metodologia empregados. Observa-se que os valores do logaritmo de excesso da molalidade do NaCl em mistura de solventes são negativos e atingem um valor mínimo para o valor aproximado de 0,40 para a fração molar de MEG livre de solvente. Neste caso para valores de fração molar de MEG livre de solvente menores que 0,40 temos que o logaritmo de excesso da molalidade do NaCl em mistura de solventes diminui com o aumento da concentração de MEG, e após o valor de 0,40 inverte-se o comportamento.

Figura 27 – Isoterma do logaritmo de excesso da molalidade do NaCl em mistura de solventes versus concentração de MEG livre de NaCl (Regressão).

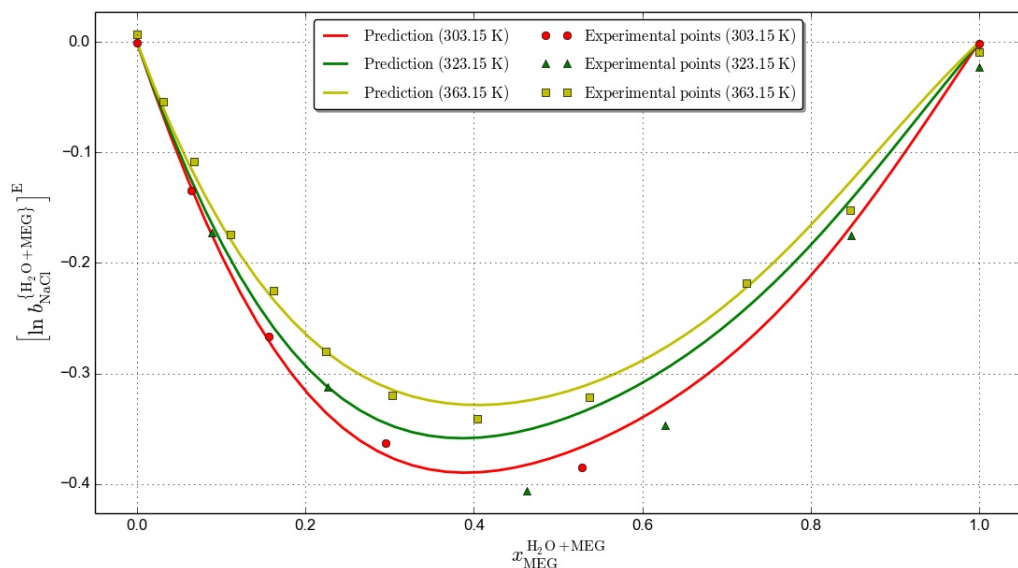


Fonte: o autor.

#### 4.2.2.6 Logaritmo de excesso da molalidade do NaCl em mistura de solventes (Predição)

A Figura 28 representa as isoterma do logaritmo de excesso da molalidade do NaCl em mistura de solventes em função da concentração de MEG livre de NaCl (Predição). Nesta figura observa-se uma razoável aderência dos valores obtidos por meio da função obtida para o potencial químico padrão de excesso e metodologia empregados. Observa-se comportamento análogo ao da Figura 27.

Figura 28 – Isoterma do logaritmo de excesso da molalidade do NaCl em mistura de solventes versus concentração de MEG livre de NaCl (Predição).

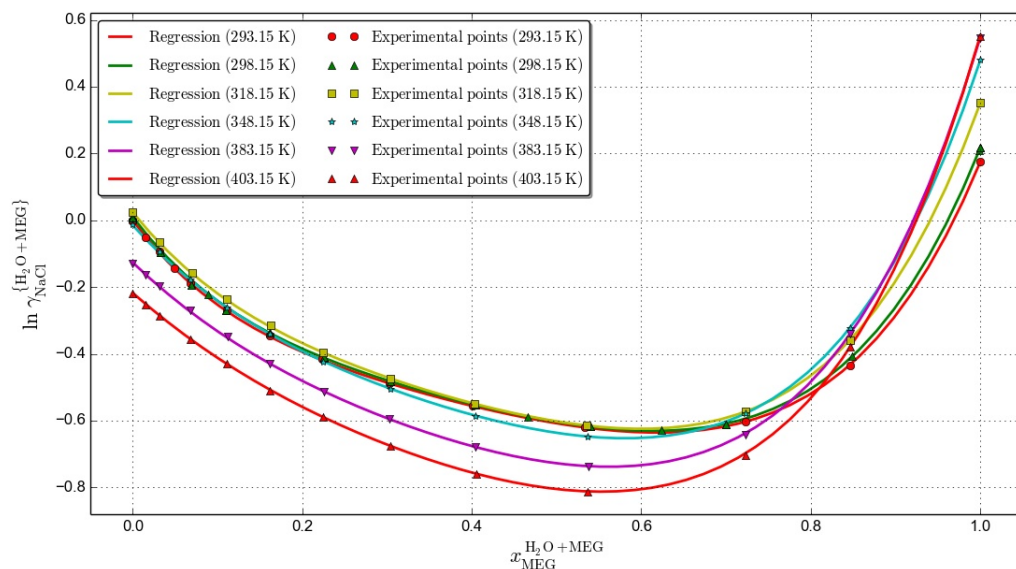


Fonte: o autor.

#### 4.2.2.7 Logaritmo do coeficiente de atividade do NaCl em mistura de solventes (Regressão)

A Figura 29 representa as isotermas do logaritmo do coeficiente de atividade do NaCl em mistura de solventes em função da concentração de MEG livre de NaCl. Nesta figura observa-se a excelente aderência dos valores obtidos por meio da função obtida para o potencial químico padrão de excesso e metodologia empregados. Também observa-se o fenômeno de inversão em torno do valor de 0,8 para a fração molar de MEG livre de solvente. Neste caso para valores de fração molar de MEG livre de solvente menores que 0,82 temos que o logaritmo do coeficiente de atividade do NaCl em mistura de solventes aumenta com a temperatura, e após o valor de 0,8 inverte-se o comportamento.

Figura 29 – Isotermas do logaritmo do coeficiente de atividade do NaCl em mistura de solventes versus concentração de MEG livre de NaCl (Regressão).

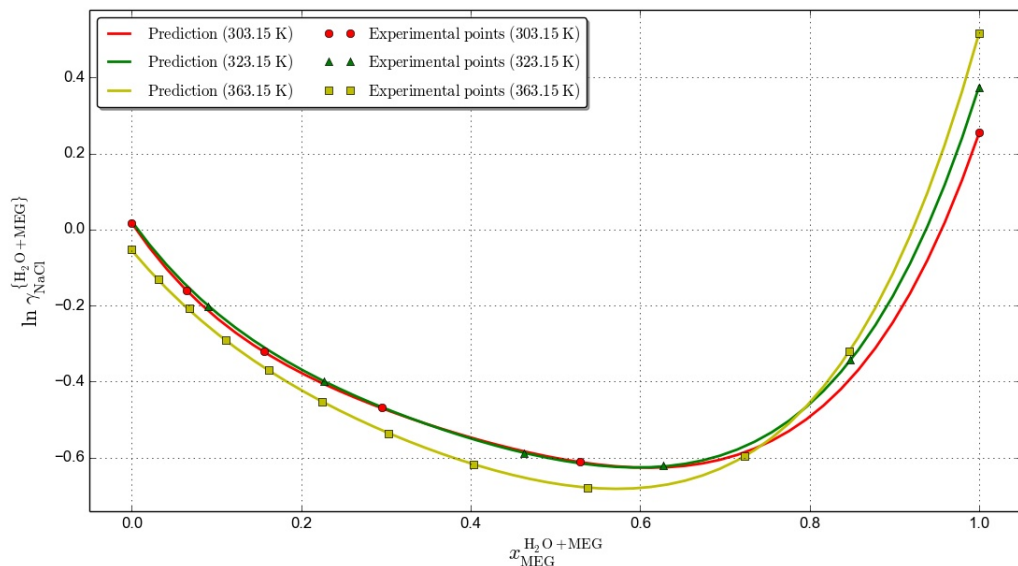


Fonte: o autor.

#### 4.2.2.8 Logaritmo do coeficiente de atividade do NaCl em mistura de solventes (Predição)

A Figura 30 representa as isoterma do logaritmo de excesso da molalidade do NaCl em mistura de solventes em função da concentração de MEG livre de NaCl (Predição). Nesta figura observa-se uma excelente aderência dos valores obtidos por meio da função obtida para o potencial químico padrão de excesso e metodologia empregados. Observa-se comportamento análogo ao da Figura 29.

Figura 30 – Isoterma do logaritmo do coeficiente de atividade do NaCl em mistura de solventes versus concentração de MEG livre de NaCl (Predição).

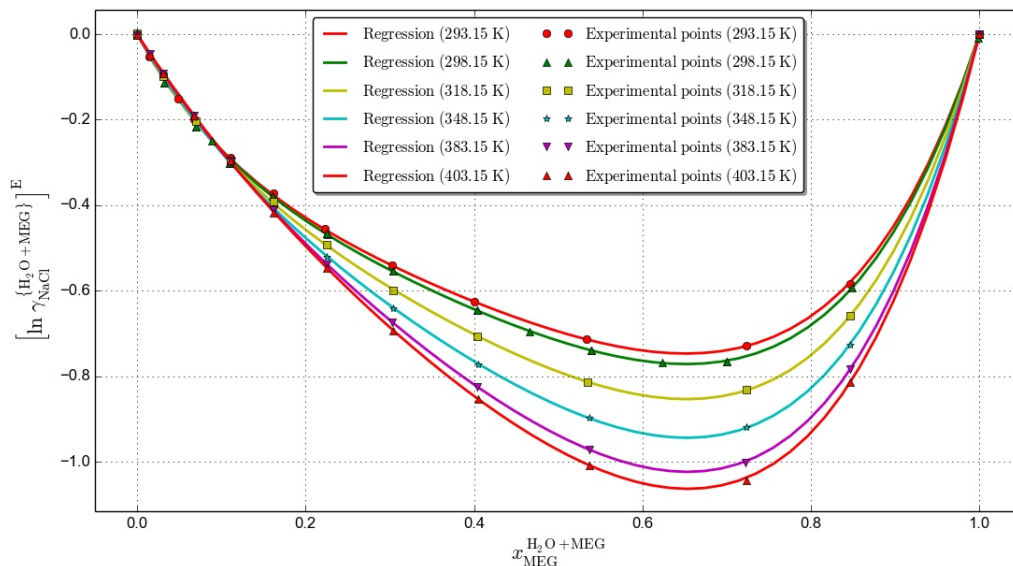


Fonte: o autor.

#### 4.2.2.9 Logaritmo de excesso do coeficiente de atividade do NaCl em mistura de solventes (Regressão)

A Figura 31 representa as isotermas do logaritmo do coeficiente de atividade do NaCl em mistura de solventes em função da concentração de MEG livre de NaCl. Nesta figura observa-se uma excelente aderência dos valores obtidos por meio da função obtida para o potencial químico padrão de excesso e metodologia empregados. Observa-se que os valores do logaritmo de excesso da molalidade do NaCl em mistura de solventes são negativos e atingem um valor mínimo para o valor aproximado de 0,64 para a fração molar de MEG livre de solvente. Neste caso para valores de fração molar de MEG livre de solvente menores que 0,64 temos que o logaritmo de excesso da molalidade do NaCl em mistura de solventes diminui com o aumento da concentração de MEG, e após o valor de 0,64 inverte-se o comportamento.

Figura 31 – Isotermas do logaritmo de excesso do coeficiente de atividade do NaCl em mistura de solventes versus concentração de MEG livre de NaCl (Regressão).

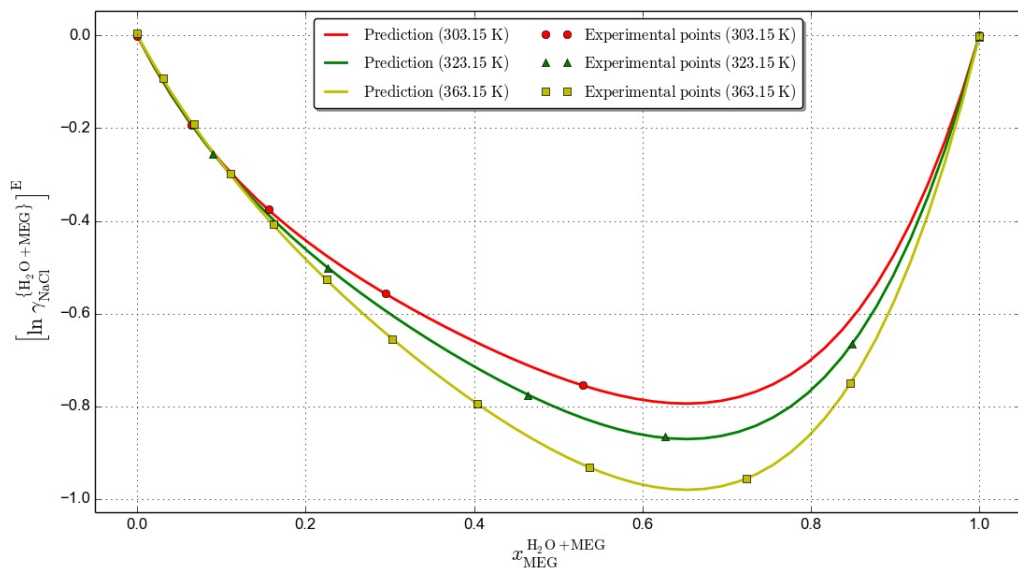


Fonte: o autor.

#### 4.2.2.10 Logaritmo de excesso do coeficiente de atividade do NaCl em mistura de solventes (Predição)

A Figura 32 representa as isotermas do logaritmo de excesso do coeficiente de atividade do NaCl em mistura de solventes em função da concentração de MEG livre de NaCl (Predição). Nesta figura observa-se uma razoável aderência dos valores obtidos por meio da função obtida para o potencial químico padrão de excesso e metodologia empregados. Observa-se comportamento análogo ao da Figura 31.

Figura 32 – Isotermas do logaritmo de excesso do coeficiente de atividade do NaCl em mistura de solventes versus concentração de MEG livre de NaCl (Predição).



Fonte: o autor.

## 4.3 Sistemas com KCl

### 4.3.1 Sistemas Binários

#### 4.3.1.1 Sistema H<sub>2</sub>O+KCl

Dados de solubilidade de KCl em água foram ajustados por regressão não-linear usando-se a função:

$$b_{\text{KCl}}^{\{\text{H}_2\text{O}\}}(T) = \exp(\theta_0 + \theta_1 T + \theta_2 \ln T) \quad (4.4)$$

A [Tabela 7](#) apresenta os valores obtidos para os parâmetros  $\theta_i$ .

Tabela 7 – Parâmetros da [Equação 4.4](#) obtidos por regressão para o Sistema H<sub>2</sub>O+KCl.

$\theta_i$	Valor
$\theta_0$	-28,334183 ± 1,467987
$\theta_1$	-0,011414 ± 0,000942
$\theta_2$	5,845133 ± 0,306710

Fonte: o autor

O resultado estatístico apresentado pelo programa para esta regressão é:

REGRESSION FOR H2O:

Non-Linear Least Squares Summary Statistics

```
Function: y = T, *theta: exp(theta[0]+theta[1]*T+theta[2]*log(T))

Source | DF | Sum of Squares | Mean Square | F-value | Pr(>F)
Regression | 3 | 759.879336 | 253.293112 | 383817.645485 | 0.000000
Residual | 22 | 0.014518 | 0.000660 |
Uncorrected Total | 25 | 759.893855 |
(Corrected Total) | 24 | 21.660921 |

alpha = 0.050000 t-critical = 2.073873

s = 0.025689 R-sq = 0.999330 R-sq(adj) = 0.999269

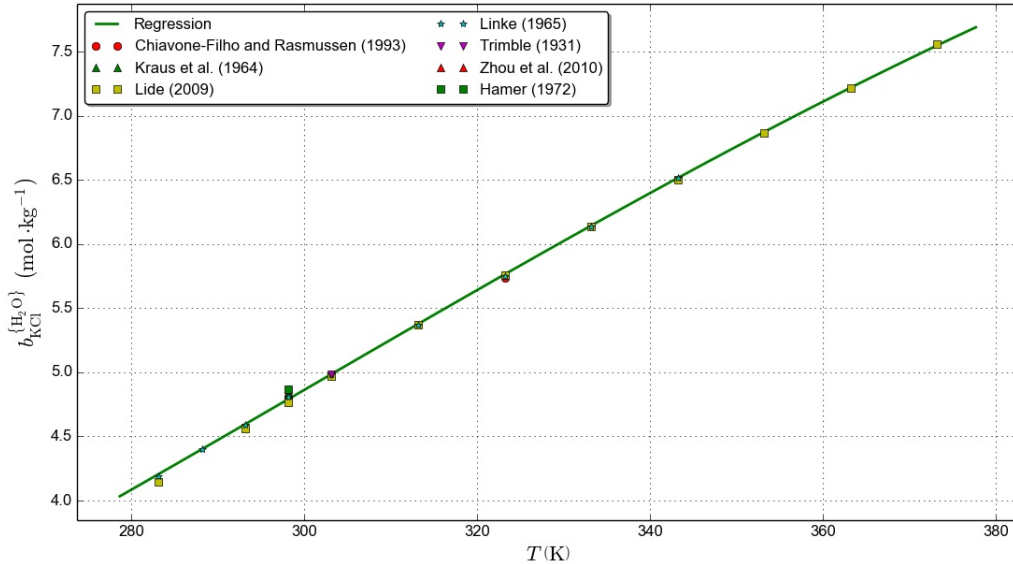
Parameter | Estimate | Asymptotic Std. Error | t-value | Pr(>|t|) | Asymptotic 95% Confidence Interval
| | | | | Lower | Upper
P[0] | -28.334183 | 1.467987 | -19.301388 | 0.000000 | -31.378602 | -25.289765
P[1] | -0.011414 | 0.000942 | -12.112830 | 0.000000 | -0.013368 | -0.009460
P[2] | 5.845133 | 0.306710 | 19.057522 | 0.000000 | 5.209056 | 6.481211

Parameter | Correlation Matrix
P[0] P[1] P[2]
P[0] | 1.000000 | 0.998987 | -0.999970
P[1] | 0.998987 | 1.000000 | -0.999306
P[2] | -0.999970 | -0.999306 | 1.000000
```

O ajuste foi bastante satisfatório apresentando um coeficiente de correlação de 0,999330 ( $R^2$ ). Isto pode ser confirmado por meio da [Figura 33](#), onde observa-se a fortíssima tendência dos dados a aderirem a curva.

Observa-se na [Figura 33](#) que a solubilidade do KCl diminui com a temperatura de forma ligeiramente abaixo da linear em toda a faixa de temperatura correlacionada.

Figura 33 – Molalidade do KCl em H<sub>2</sub>O versus Temperatura.



Fonte: o autor.

#### 4.3.1.2 Sistema MEG+KCl

Dados de solubilidade de KCl em MEG foram ajustados por regressão não-linear usando-se a função:

$$b_{\text{KCl}}^{\{\text{MEG}\}}(T) = \exp(\theta_0 + \theta_1 T) \quad (4.5)$$

A [Tabela 8](#) apresenta os valores obtidos para os parâmetros  $\theta_i$ .

Tabela 8 – Parâmetros da [Equação 4.5](#) obtidos por regressão para o Sistema MEG+KCl.

$\theta_i$	Valor
$\theta_0$	$-1,872213 \pm 0,165790$
$\theta_1$	$0,005120 \pm 0,000528$

Fonte: o autor

O resultado estatístico apresentado pelo programa para esta regressão é:

REGRESSION FOR MEG:

## Non-Linear Least Squares Summary Statistics

```
Function: y = T, *theta: exp(theta[0]+theta[1]*T)
```

Source	DF	Sum of Squares	Mean Square	F-value	Pr(>F)
Regression	2	4.013748	2.006874	4516.198037	0.000221
Residual	5	0.002222	0.000444		
Uncorrected Total	7	4.015970			
(Corrected Total)	6	0.039801			

```
alpha = 0.050000 t-critical = 2.570582
```

```
s = 0.021080 R-sq = 0.944175 R-sq(adj) = 0.933011
```

Parameter	Estimate	Asymptotic Std. Error	t-value	Pr(> t )	Asymptotic 95%	
					Confidence Interval	
					Lower	Upper
P[0]	-1.872213	0.165790	-11.292652	0.000095	-2.298391	-1.446036
P[1]	0.005120	0.000528	9.693384	0.000198	0.003762	0.006478

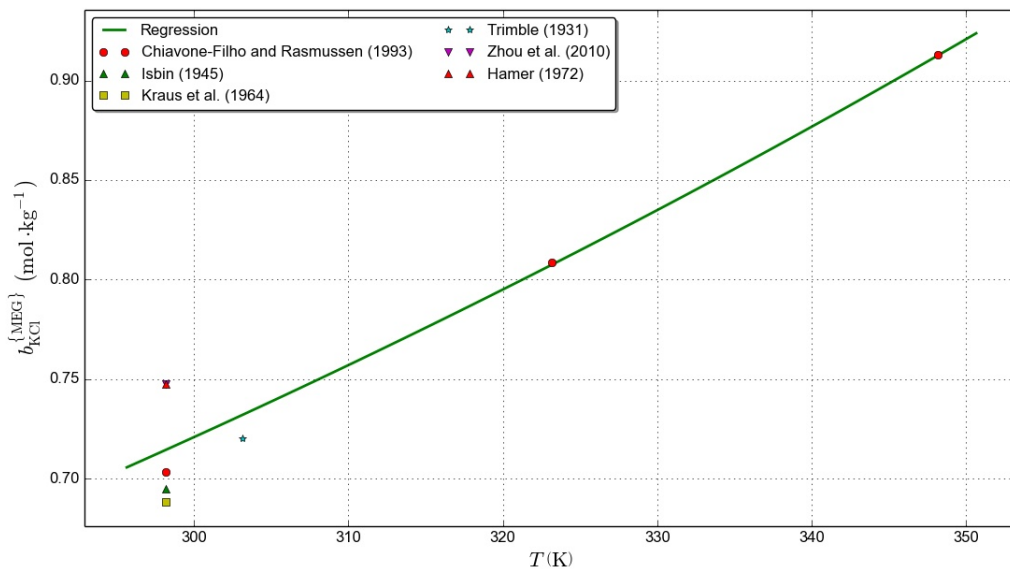
  

Parameter   Correlation Matrix
P[0]   P[1]
P[0]   1.000000   -0.997984
P[1]   -0.997984   1.000000

O ajuste foi bastante satisfatório apresentando um coeficiente de correlação de 0,944175 ( $R^2$ ). Isto pode ser confirmado por meio da [Figura 34](#), onde observa-se a tendência dos dados a aderirem a curva.

Observa-se na [Figura 34](#) que a solubilidade do KCl em MEG aumenta com a temperatura de forma visualmente linear em toda a faixa de temperatura correlacionada.

Figura 34 – Molalidade do KCl em MEG versus Temperatura.



Fonte: o autor.

### 4.3.2 Sistemas Ternários

#### 4.3.2.1 Potencial químico padrão de excesso do KCl em mistura de solventes (Regressão)

Dados de solubilidade de KCl em H<sub>2</sub>O+MEG foram empregados no cálculo de valores de potencial químico padrão de excesso. Em seguida, estes foram ajustados por regressão não-linear usando-se a função:

$$\frac{[\mu_{\text{KCl}}^{0\{\text{H}_2\text{O+MEG}\}^E]}{nRT} = x_{\text{MEG}}^{\{\text{H}_2\text{O+MEG}\}} \left(1 - x_{\text{MEG}}^{\{\text{H}_2\text{O+MEG}\}}\right) [\theta_0 + \theta_1 T + (\theta_2 + \theta_3 T) x_{\text{MEG}}^{\{\text{H}_2\text{O+MEG}\}} + (\theta_4 + \theta_5 T) x_{\text{MEG}}^{\{\text{H}_2\text{O+MEG}\}^2}] \quad (4.6)$$

A [Tabela 9](#) apresenta os valores obtidos para os parâmetros  $\theta_i$ .

Tabela 9 – Parâmetros da [Equação 4.6](#) obtidos por regressão para o Sistema H<sub>2</sub>O+MEG+KCl.

$\theta_i$	Valor
$\theta_0$	1.433040 $\pm$ 3.651707
$\theta_1$	-0.010232 $\pm$ 0.012044
$\theta_2$	-20.275677 $\pm$ 16.940293
$\theta_3$	0.050808 $\pm$ 0.055854
$\theta_4$	12.410073 $\pm$ 17.367966
$\theta_5$	-0.018566 $\pm$ 0.057203

Fonte: o autor

O resultado estatístico apresentado pelo programa para esta regressão é:

```
Non-Linear Least Squares Summary Statistics

Function: y = (<function f3 at 0x4ac0500>, 'function')

Source | DF | Sum of Squares | Mean Square | F-value | Pr(>F)
Regression | 6 | 14.219218 | 2.369870 | 5092.169462 | 0.000000
Residual | 54 | 0.025131 | 0.000465 |
Uncorrected Total | 60 | 14.244349 |
(Corrected Total) | 59 | 8.470604 |
```

alpha = 0.050000 t-critical = 2.004879

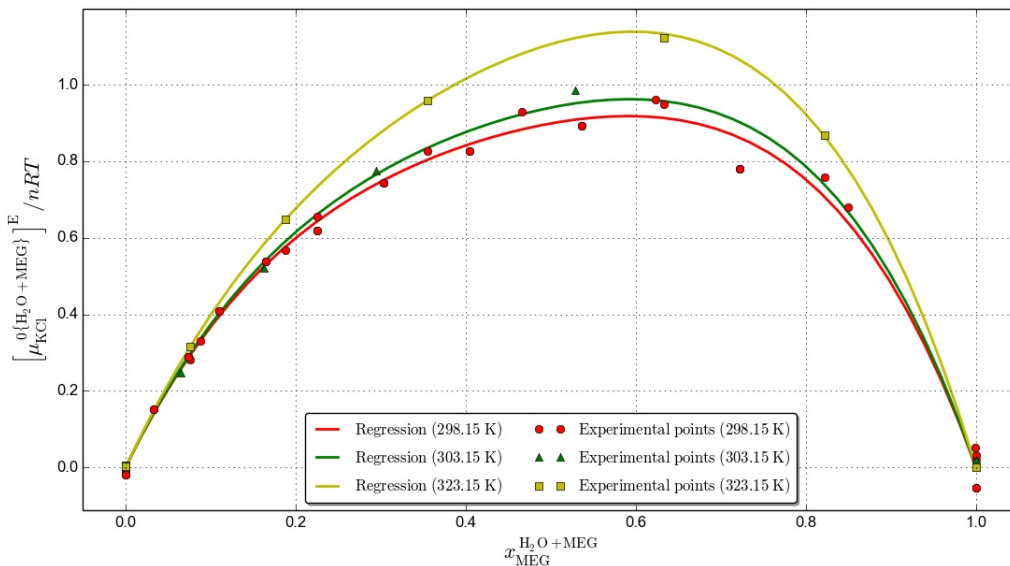
s = 0.021573 R-sq = 0.997033 R-sq(adj) = 0.996758

Parameter	Estimate	Asymptotic			Pr(> t )	Asymptotic 95%	
		Std. Error		t-value		Confidence Interval	
						Lower   Upper	
P[0]	1.433040	3.651707	0.392430	0.696285	-5.888191	8.754272	
P[1]	0.010232	0.012044	0.849516	0.399345	-0.013915	0.034378	
P[2]	-20.275677	16.940293	-1.196891	0.236577	-54.238920	13.687565	
P[3]	0.050808	0.055854	0.909646	0.367052	-0.061173	0.162788	
P[4]	12.410073	17.367966	0.714538	0.477972	-22.410602	47.230748	
P[5]	-0.018566	0.057203	-0.324566	0.746764	-0.133251	0.096119	

Parameter	Correlation Matrix					
	P[0]	P[1]	P[2]	P[3]	P[4]	P[5]
P[0]	1.000000	-0.999554	-0.942158	0.941940	0.866598	-0.867038
P[1]	-0.999554	1.000000	0.941633	-0.942268	-0.865826	0.867072
P[2]	-0.942158	0.941633	1.000000	-0.999538	-0.978231	0.978362
P[3]	0.941940	-0.942268	-0.999538	1.000000	0.977314	-0.978381
P[4]	0.866598	-0.865826	-0.978231	0.977314	1.000000	-0.999501
P[5]	-0.867038	0.867072	0.978362	-0.978381	-0.999501	1.000000

O ajuste foi bastante satisfatório apresentando um coeficiente de correlação de 0,997033 ( $R^2$ ), muito embora as estimativas para os erros assintóticos (ASE) para os parâmetros tenham valores que "mascaram" ou "encobrem" os valores dos parâmetros. Isto pode ser confirmado por meio da [Figura 35](#), onde observa-se uma boa aderência dos valores de potencial químico padrão de excesso calculados a partir dos dados de solubilidade e metodologia empregados.

Figura 35 – Isotermas do potencial químico padrão de excesso do KCl em mistura de solventes versus concentração de MEG livre de KCl (Regressão).



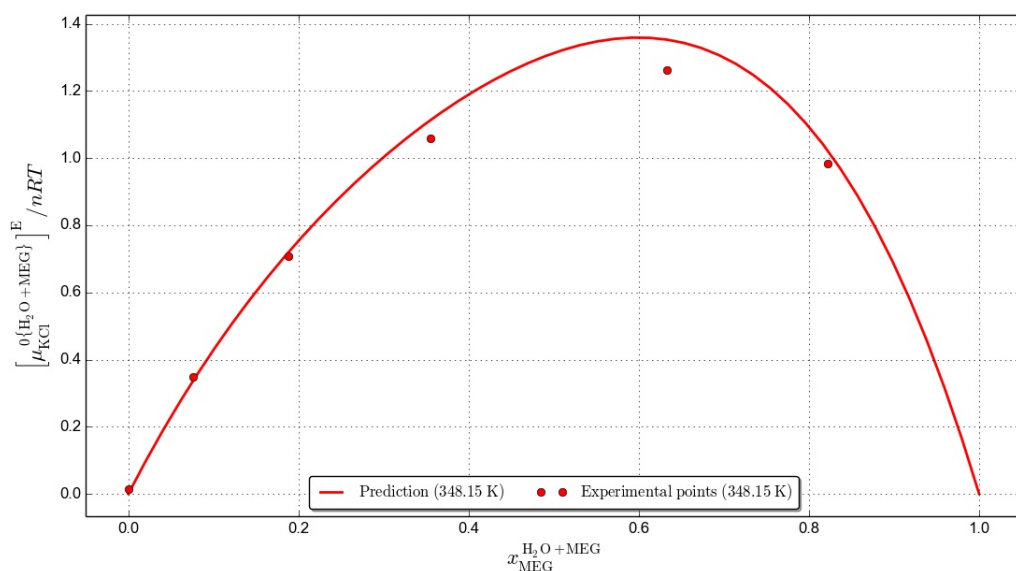
Fonte: o autor.

Observa-se na [Figura 35](#) que o potencial químico padrão de excesso do KCl na mistura de solventes, nas diversas isotermas, semelhante ao comportamento para o NaCl, cresce desde zero até um valor máximo correspondente a fração molar de MEG livre de solvente próximo de 0,6 e depois decresce até o valor zero. Para o KCl não foi observado o comportamento inverso descrito para no caso do NaCl.

#### 4.3.2.2 Potencial químico padrão de excesso do KCl em mistura de solventes (Predição)

A Figura 36 representa uma isoterma do potencial químico padrão de excesso do KCl em mistura de solventes em função da concentração de MEG livre de KCl. Nesta figura observa-se novamente uma boa aderência dos valores de potencial químico padrão de excesso calculados a partir dos dados de solubilidade e metodologia empregados. Novamente não é observado o comportamento inverso descrito para no caso do NaCl.

Figura 36 – Isotermas do potencial químico padrão de excesso do KCl em mistura de solventes versus concentração de MEG livre de KCl (Predição).

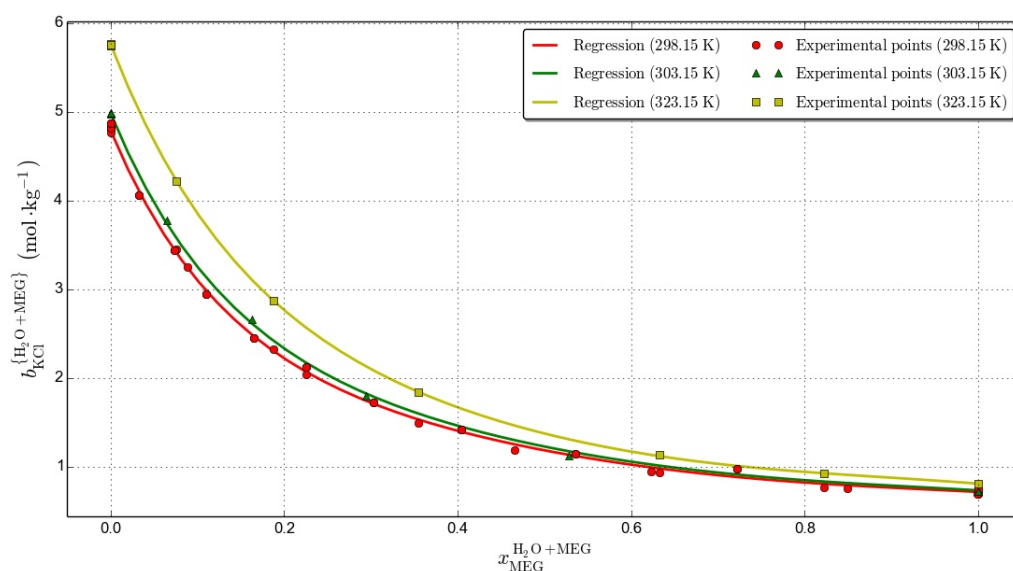


Fonte: o autor.

#### 4.3.2.3 Molalidade do KCl em mistura de solventes (Regressão)

A Figura 37 representa as isotermas da molalidade do KCl em mistura de solventes em função da concentração de MEG livre de KCl. Nesta figura observa-se a excelente aderência dos valores obtidos por meio da função obtida para o potencial químico padrão de excesso e metodologia empregados. Para o KCl não foi observado o comportamento inverso descrito para no caso do NaCl. Observa-se a diminuição da solubilidade com o aumento da concentração do MEG. A figura

Figura 37 – Isotermas da molalidade do KCl em mistura de solventes versus concentração de MEG livre de KCl (Regressão).

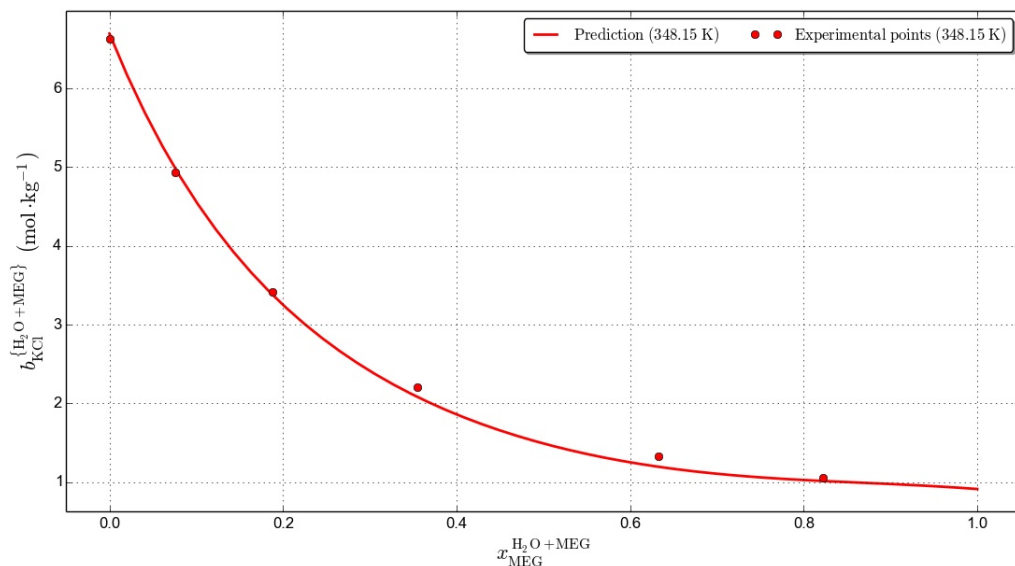


Fonte: o autor.

#### 4.3.2.4 Molalidade do KCl em mistura de solventes (Predição)

A Figura 38 representa a isoterma da molalidade do KCl em mistura de solventes em função da concentração de MEG livre de KCl (Predição). Nesta figura observa-se novamente as excelente aderência dos valores obtidos por meio da função obtida para o potencial químico padrão de excesso e metodologia empregados. Também, para o KCl, não foi observado o comportamento inverso descrito para no caso do NaCl. Observa-se, também, a diminuição da solubilidade com o aumento da concentração do MEG.

Figura 38 – Isoterma da molalidade do KCl em mistura de solventes versus concentração de MEG livre de KCl (Predição).

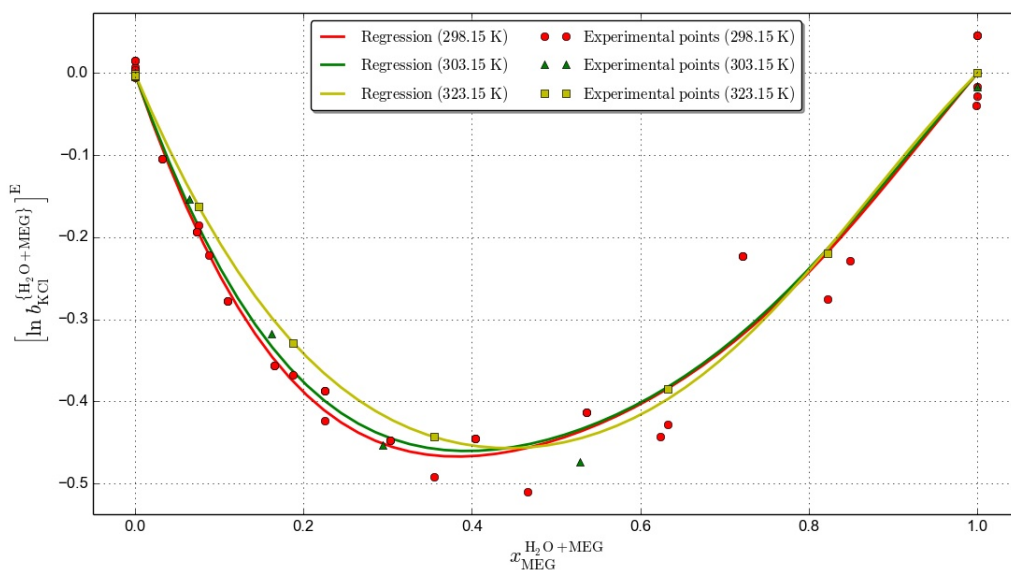


Fonte: o autor.

#### 4.3.2.5 Logaritmo de excesso da molalidade do KCl em mistura de solventes (Regressão)

A Figura 39 representa as isoterma do logaritmo de excesso da molalidade do KCl em mistura de solventes em função da concentração de MEG livre de KCl. Nesta figura observa-se uma boa aderência dos valores obtidos por meio da função obtida para o potencial químico padrão de excesso e metodologia empregados. Observa-se que os valores do logaritmo de excesso da molalidade do KCl em mistura de solventes são negativos e atingem um valor mínimo para o valor aproximado de 0,40 para a fração molar de MEG livre de solvente. Neste caso para valores de fração molar de MEG livre de solvente menores que 0,40 temos que o logaritmo de excesso da molalidade do KCl em mistura de solventes diminui com o aumento da concentração de MEG, e após o valor de 0,40 inverte-se o comportamento.

Figura 39 – Isoterma do logaritmo de excesso da molalidade do KCl em mistura de solventes versus concentração de MEG livre de KCl (Regressão).

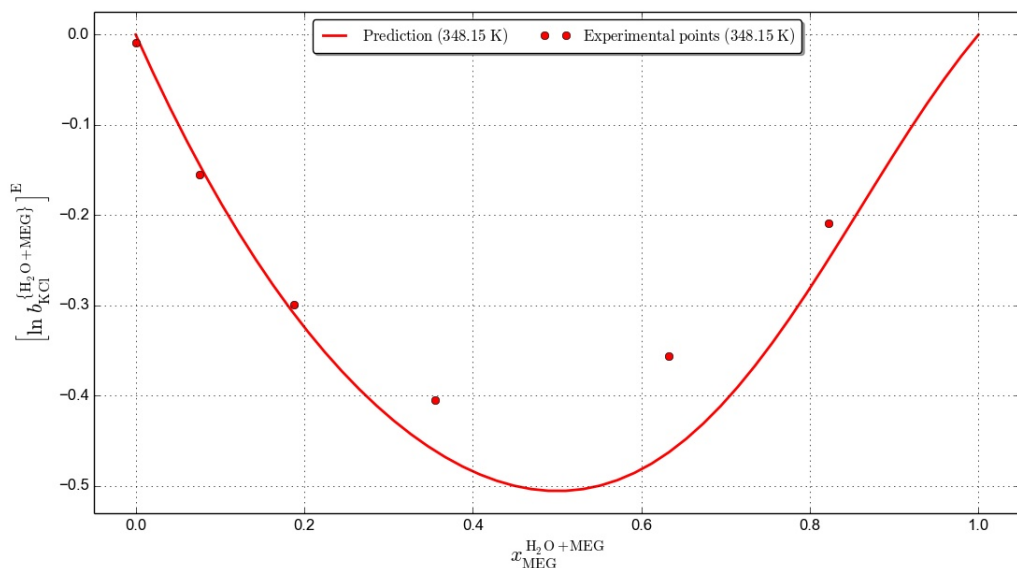


Fonte: o autor.

#### 4.3.2.6 Logaritmo de excesso da molalidade do KCl em mistura de solventes (Predição)

A Figura 40 representa as isotermas do logaritmo de excesso da molalidade do KCl em mistura de solventes em função da concentração de MEG livre de KCl (Predição). Nesta figura observa-se uma razoável aderência dos valores obtidos por meio da função obtida para o potencial químico padrão de excesso e metodologia empregados. Observa-se comportamento análogo ao da Figura 39.

Figura 40 – Isotermas do logaritmo de excesso da molalidade do KCl em mistura de solventes versus concentração de MEG livre de KCl (Predição).

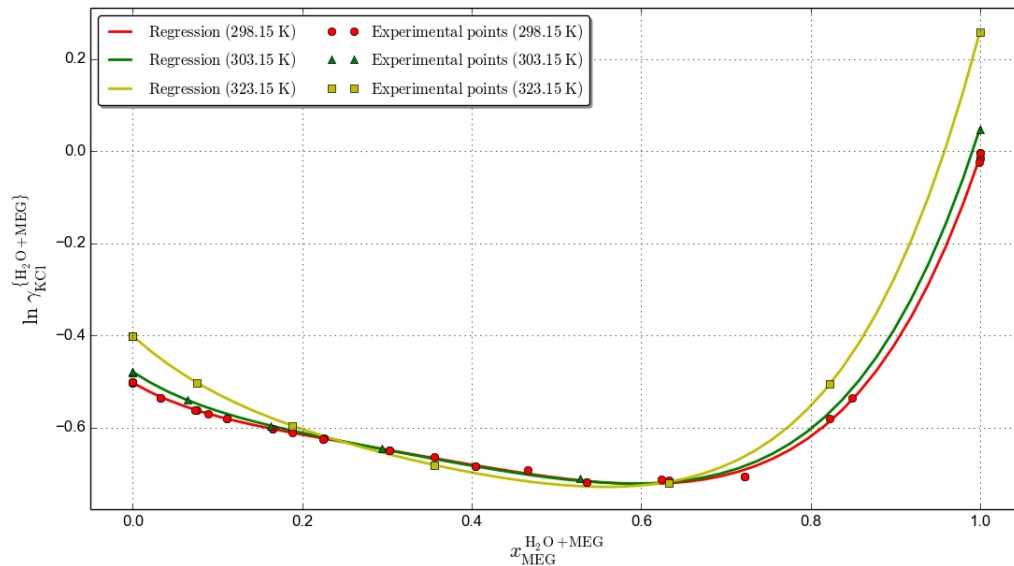


Fonte: o autor.

#### 4.3.2.7 Logaritmo do coeficiente de atividade do KCl em mistura de solventes (Regressão)

A Figura 41 representa as isotermas do logaritmo do coeficiente de atividade do KCl em mistura de solventes em função da concentração de MEG livre de KCl. Nesta figura observa-se a excelente aderência dos valores obtidos por meio da função obtida para o potencial químico padrão de excesso e metodologia empregados. Também observa-se o fenômeno de inversão em torno do valor de 0,64 para a fração molar de MEG livre de solvente. Neste caso para valores de fração molar de MEG livre de solvente menores que 0,64 temos que o logaritmo do coeficiente de atividade do KCl em mistura de solventes aumenta com a temperatura, e após o valor de 0,64 inverte-se o comportamento.

Figura 41 – Isotermas do logaritmo do coeficiente de atividade do KCl em mistura de solventes versus concentração de MEG livre de KCl (Regressão).

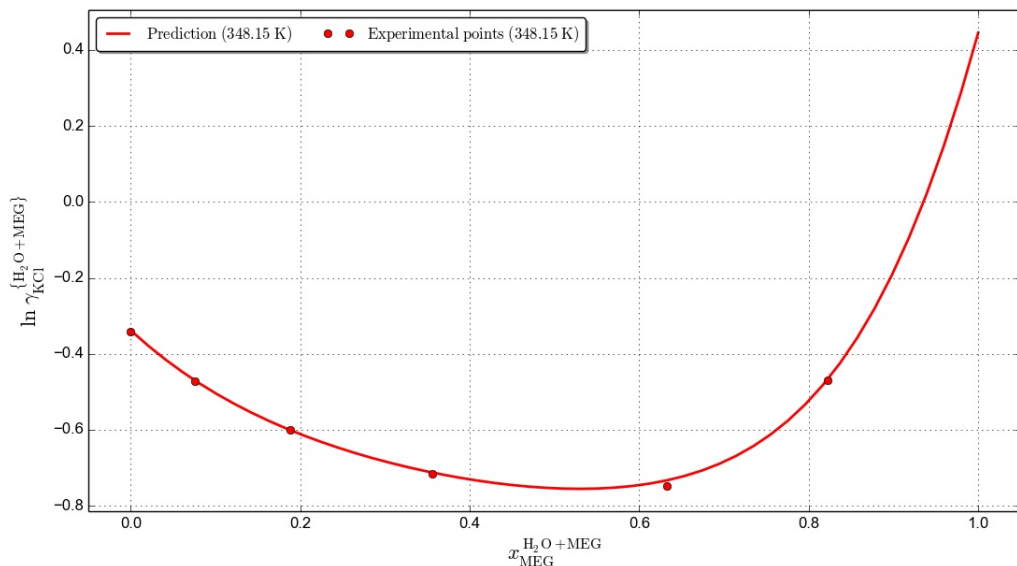


Fonte: o autor.

#### 4.3.2.8 Logaritmo do coeficiente de atividade do KCl em mistura de solventes (Predição)

A Figura 42 representa uma isotermia do logaritmo de excesso da molalidade do KCl em mistura de solventes em função da concentração de MEG livre de KCl (Predição). Nesta figura observa-se uma excelente aderência dos valores obtidos por meio da função obtida para o potencial químico padrão de excesso e metodologia empregados. Observa-se comportamento análogo ao da Figura 41.

Figura 42 – Isotermas do logaritmo do coeficiente de atividade do KCl em mistura de solventes versus concentração de MEG livre de KCl (Predição).

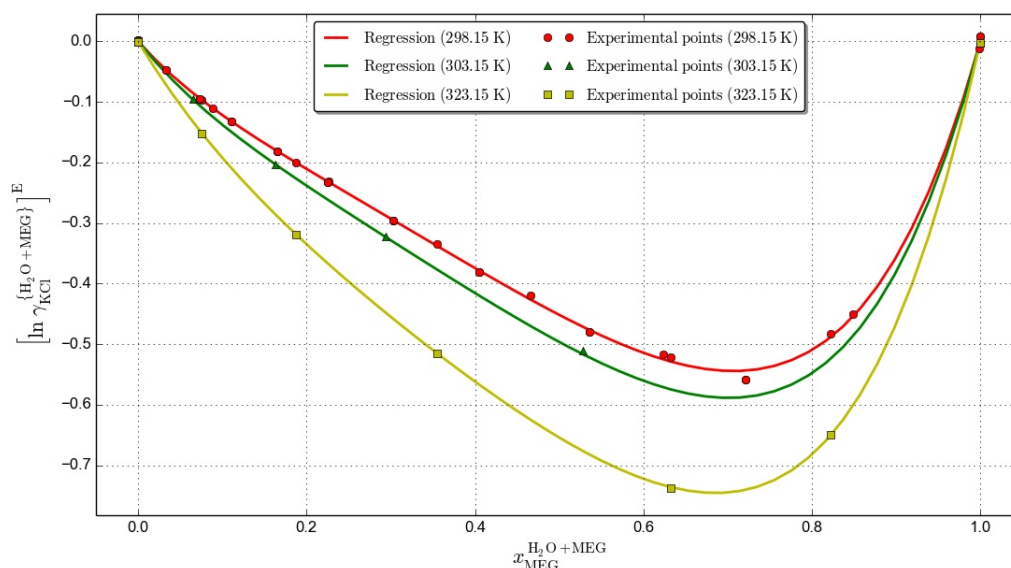


Fonte: o autor.

#### 4.3.2.9 Logaritmo de excesso do coeficiente de atividade do KCl em mistura de solventes (Regressão)

A Figura 43 representa as isotermas do logaritmo do coeficiente de atividade do KCl em mistura de solventes em função da concentração de MEG livre de KCl. Nesta figura observa-se uma excelente aderência dos valores obtidos por meio da função obtida para o potencial químico padrão de excesso e metodologia empregados. Observa-se que os valores do logaritmo de excesso da molalidade do KCl em mistura de solventes são negativos e atingem um valor mínimo para o valor aproximado de 0,64 para a fração molar de MEG livre de solvente. Neste caso para valores de fração molar de MEG livre de solvente menores que 0,64 temos que o logaritmo de excesso da molalidade do KCl em mistura de solventes diminui com o aumento da concentração de MEG, e após o valor de 0,64 inverte-se o comportamento.

Figura 43 – Isotermas do logaritmo de excesso do coeficiente de atividade do KCl em mistura de solventes versus concentração de MEG livre de KCl (Regressão).

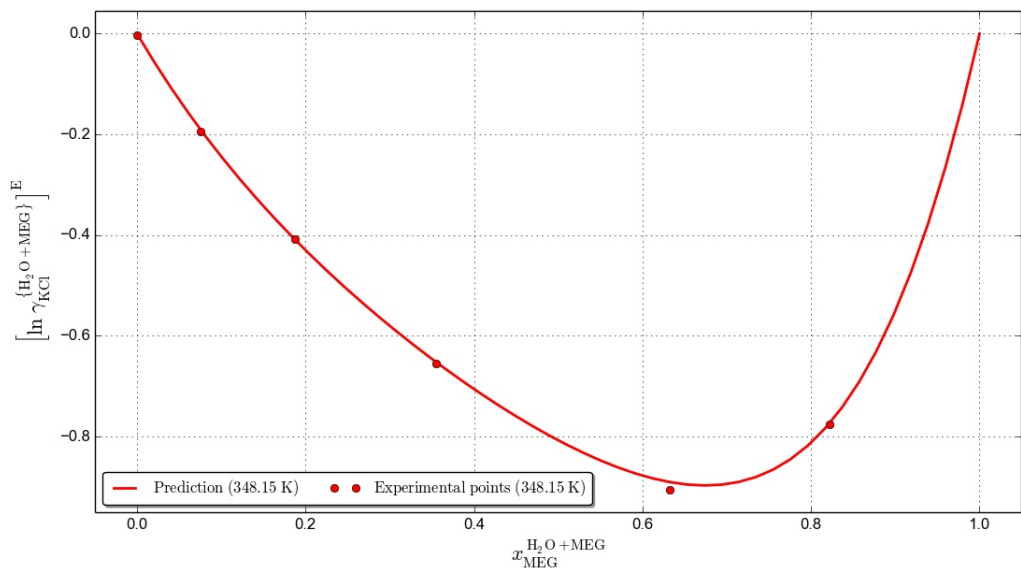


Fonte: o autor.

#### 4.3.2.10 Logaritmo de excesso do coeficiente de atividade do KCl em mistura de solventes (Predição)

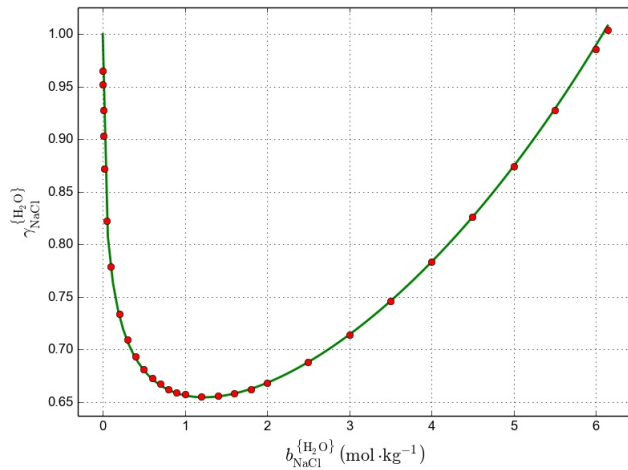
A [Figura 44](#) representa as isotermas do logaritmo de excesso do coeficiente de atividade do KCl em mistura de solventes em função da concentração de MEG livre de KCl (Predição). Nesta figura observa-se uma razoável aderência dos valores obtidos por meio da função obtida para o potencial químico padrão de excesso e metodologia empregados. Observa-se comportamento análogo ao da [Figura 43](#).

Figura 44 – Isotermas do logaritmo de excesso do coeficiente de atividade do KCl em mistura de solventes versus concentração de MEG livre de KCl (Predição).



Fonte: o autor.

Figura 45 – Validação do Modelo de Pitzer implementado ( $\gamma$ ).



Fonte: o autor.

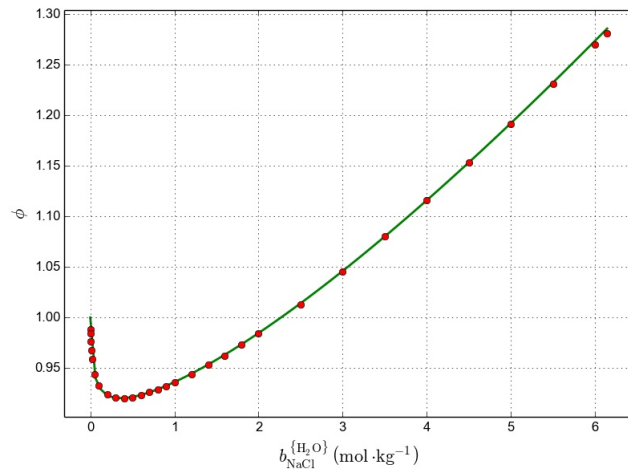
#### 4.4 Validação do Modelo de Pitzer implementado

A rotina de cálculo para o Modelo de Pitzer implementado foi devidamente validada com base nos dados de [Hamer e Wu \(1972\)](#), tanto para o coeficiente de atividade quanto para o coeficiente osmótico.

Os resultados para o coeficiente de atividade estão representados na [Figura 45](#) e os resultados para o coeficiente osmótico estão representados na [Figura 46](#).

Observa-se em ambos as figuras a requerida aderência com os dados experimentais.

Figura 46 – Validação do Modelo de Pitzer implementado ( $\phi$ ).



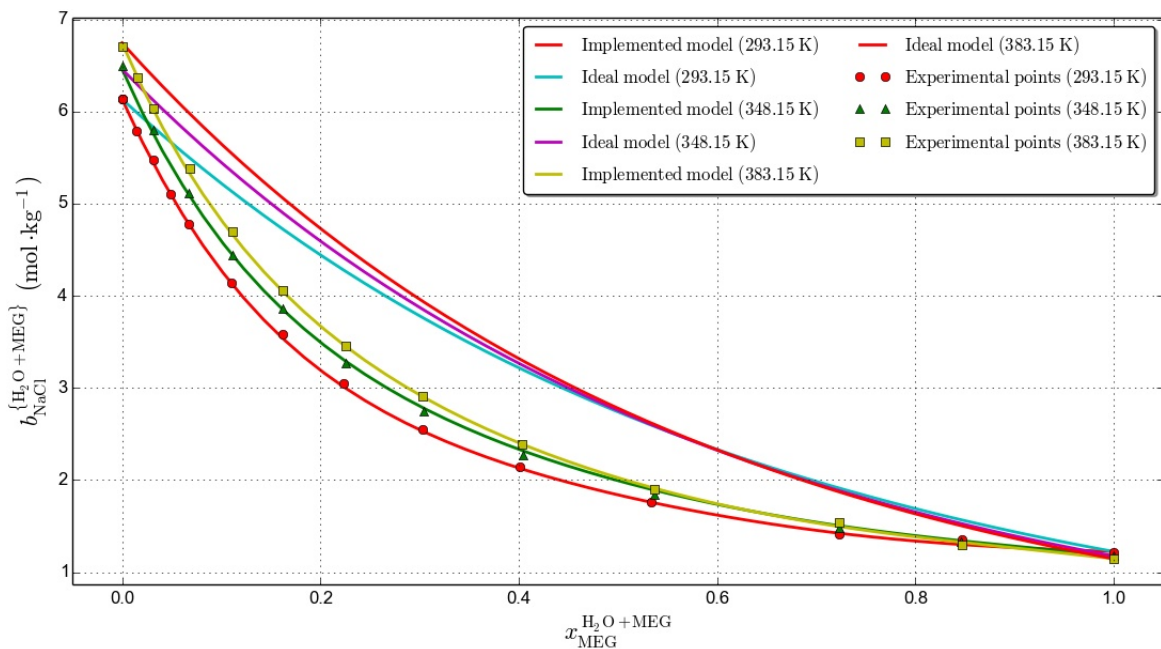
Fonte: o autor.

## 4.5 Comparação do Modelo implementado com outros modelos

### 4.5.1 Modelo Ideal

É importante verificar a diferença entre o modelo implementado e a abordagem ideal (Equação 2.35). Isto foi realizado de maneira qualitativa com base nos desvios em relação à solubilidade. O gráfico gerado é apresentado na Figura 47.

Figura 47 – Comparação do Modelo implementado com o Modelo ideal (Equação 2.35).



Fonte: o autor.

Observa-se na Figura 47 a excelente representatividade dos dados experimentais pelo modelo implementado e o afastamento deste em relação ao modelo ideal. Isto também é confirmado pela Figura 47 que apresenta os desvios dos dados experimentais em relação ao modelos implementado e ideal.

Tabela 10 – Comparação do Modelo implementado com o Modelo ideal (Equação 2.35).

Modelo	Desvio medio absoluto	Desvio medio relativo percentual
Modelo Ideal	0.581431	20.422%
Modelo Implementado	0.019541	0.744%

Fonte: o autor

#### 4.5.2 Modelo UNIQUAC+DH

Uma comparação quantitativa foi feita entre o modelo implementado e o modelo apresentado por ([CHIAVONE-FILHO; RASMUSSEN, 2000](#)) onde os cálculos resultarão em precisões equivalentes, dentro das incertezas experimentais. No entanto, deve-se ressaltar que o modelo implantado possui por ser parametrizado possui a vantagem de necessitar de uma menor quantidade de informações para poder-se gerar resultados.

# CAPÍTULO 5

## CONCLUSÕES



## 5 CONCLUSÕES

Uma metodologia para descrever a solubilidade de sais em mistura de solventes foi desenvolvida partindo-se da equação de Pitzer, a qual foi extendida para misturas de solventes pela metodologia adotada por Lorimer. Esta metodologia mostrou-se adequada na descrição dos sistemas apresentados.

Os resultados obtidos demonstraram precisão dos cálculos dentro das incertezas experimentais para os sais KCl e NaCl em misturas com água e MEG. Modelos e métodos de cálculo de propriedades de sais em misturas de solventes não são tão frequentes. Portanto a metodologia aqui desenvolvida é uma contribuição importante.

A extensão do modelo de Pitzer para misturas de solventes permite que lacunas existentes em bancos de dados experimentais disponíveis sejam preenchidas. Além da parte termodinâmica do equilíbrio, foi desenvolvida uma ferramenta computacional, adequada à realização dos cálculos da solubilidade de sais em misturas aquosas contendo MEG, ou outro solvente, nos modos de correlação e predição, com um código muito flexível. Embora o desenvolvimento do código tenha sido realizado em Linux usando a linguagem Python no ambiente Eclipse, é portável para outros sistemas operacionais como Windows e OS X.

Sugestões para trabalhos futuros são:

- a) utilização desta metodologia de cálculo em sistemas com os mesmos solventes e com outras espécies de sal;
- b) utilização desta metodologia de cálculo em sistemas com os mesmos solventes e com mais de um sal;
- c) utilização desta metodologia de cálculo em sistemas com outros solventes e sais;
- d) estudar outros sais presentes na água de produção do campo de Mexilhão;
- e) aplicar o modelo diretamente na modelagem e simulação de processos, como na unidade de regeneração do MEG.



## Referências

- ABRAMS, D. S.; PRAUSNITZ, J. M. Statistical thermodynamics of liquid mixtures: A new expression for the excess gibbs energy of partly or completely miscible systems. *AIChe Journal*, American Institute of Chemical Engineers, v. 21, n. 1, p. 116–128, 1975. ISSN 1547-5905. Disponível em: <<http://dx.doi.org/10.1002/aic.690210115>>. Citado na página 55.
- ANDERKO, A.; WANG, P.; RAFAL, M. Electrolyte solutions: from thermodynamic and transport property models to the simulation of industrial processes. *Fluid Phase Equilibria*, v. 194–197, n. 0, p. 123–142, mar. 2002. ISSN 0378-3812. <ce:title>Proceedings of the Ninth International Conference on Properties and Phase Equilibria for Product and Process Design</ce:title>. Disponível em: <<http://linkinghub.elsevier.com/retrieve/pii/S0378381201006458>>. Citado na página 54.
- ANDRADE, A. R. Monografia apresentada ao Programa de Pós-Graduação Lato Sensu em Engenharia Mecânica do Departamento de Engenharia Mecânica da PUC-Rio, *Hidratos no Âmbito da Perfuração: Histórico, Mecanismos de Inibição e Técnicas para Análises de Hidrato*. 2009. Disponível em: <<http://www.ppgem.ct.utfpr.edu.br/lacit/publicacoes/monografias/monografia%20Alex%20R.%20de%20Andrade%20-%20Vers%C3%A9o%20Final.pdf>>. Citado 2 vezes nas páginas 35 e 43.
- ARCHER, D. G. Thermodynamic properties of the kcl + h<sub>2</sub>o system. *Journal of Physical and Chemical Reference Data*, NIST, v. 28, n. 1, p. 1–17, 1999. Disponível em: <<http://link.aip.org/link/?JPR/28/1/1>>. Citado na página 63.
- BALDWIN, W. H.; RARIDON, R. J.; KRAUS, K. A. Properties of organic-water mixtures. x. activity coefficients of sodium chloride at saturation in water mixtures of polyglycols and polyglycol ethers at 50.deg. *The Journal of Physical Chemistry*, v. 73, n. 10, p. 3417–3420, 1969. Disponível em: <<http://pubs.acs.org/doi/abs/10.1021/j100844a045>>. Citado na página 42.
- BAPTISTA, J. Trabalho de Conclusão de Curso, *Análise da Formação de Hidratos em Atividades de Perfuração de Campos Petrolíferos*. 2007. Disponível em: <[http://www.ppgem.ct.utfpr.edu.br/lacit/publicacoes/projetos\\_finais/PF%20-%20An%20lise%20da%20Forma%C3%A7%C3%A3o%20de%20Hidratos%20em%20atividades%20de%20Perfura%C3%A7%C3%A3o%20de%20Campos%20Petrol%C3%ADferos%202007.pdf](http://www.ppgem.ct.utfpr.edu.br/lacit/publicacoes/projetos_finais/PF%20-%20An%20lise%20da%20Forma%C3%A7%C3%A3o%20de%20Hidratos%20em%20atividades%20de%20Perfura%C3%A7%C3%A3o%20de%20Campos%20Petrol%C3%ADferos%202007.pdf)>. Citado na página 34.
- BRAUN, N. O.; PERSSON, U. A.; KARLSSON, H. T. Densities and viscosities of mono(ethylene glycol) + 2-amino-2-methyl-1-propanol + water. *Journal of Chemical & Engineering Data*, v. 46, n. 4, p. 805–808, jul. 2001. ISSN 0021-9568. Disponível em: <<http://pubs.acs.org/doi/abs/10.1021/je010004z>>. Citado na página 42.
- CARDOSO, M. J. E. M. Ph. D. Thesis, Institut for Kemiteknik, Danmarks Tekniske Hojskole, Bygning 229, DK-2800 Lyngby, Denmark, *Calculation of Phase and Chemical Equilibria in Electrolyte Systems*. 1988. Citado na página 54.

- CERE. CERE. 2009. Disponível em: <<http://www.cere.dtu.dk>>. Citado na página 41.
- CHEN, C.-C. et al. Local composition model for excess gibbs energy of electrolyte systems. part i: Single solvent, single completely dissociated electrolyte systems. *AIChe Journal*, American Institute of Chemical Engineers, v. 28, n. 4, p. 588–596, jul. 1982. ISSN 1547-5905. Disponível em: <<http://doi.wiley.com/10.1002/aic.690280410>>. Citado na página 63.
- CHEN, C.-C.; SONG, Y. Generalized electrolyte-nrtl model for mixed-solvent electrolyte systems. *AIChe Journal*, American Institute of Chemical Engineers, v. 50, n. 8, p. 1928–1941, ago. 2004. ISSN 1547-5905. Disponível em: <<http://doi.wiley.com/10.1002/aic.10151>>. Citado na página 54.
- CHIAVONE-FILHO, O. Ph. D. Thesis. Department of Chemical Engineering. Technical University of Denmark; DK-2800 Lyngby, Denmark, *Phase Behavior of Aqueous Glycol Ether Mixtures: (1) Vapor-Liquid Equilibria (2) Salt Solubility*. 1993. Citado na página 54.
- CHIAVONE-FILHO, O.; PROUST, P.; RASMUSSEN, P. Vapor-liquid equilibria for glycol ether + water systems. *Journal of Chemical & Engineering Data*, v. 38, n. 1, p. 128–131, jan. 1993. ISSN 0021-9568. Disponível em: <<http://pubs.acs.org/doi/abs/10.1021/je00009a031>>. Citado na página 52.
- CHIAVONE-FILHO, O.; RASMUSSEN, P. Solubilities of salts in mixed solvents. *Journal of Chemical & Engineering Data*, v. 38, n. 3, p. 367–369, jul. 1993. ISSN 0021-9568. Disponível em: <<http://pubs.acs.org/doi/abs/10.1021/je00011a009>>. Citado na página 42.
- CHIAVONE-FILHO, O.; RASMUSSEN, P. Modeling of salt solubilities in mixed solvents. *Brazilian Journal of Chemical Engineering*, scielo, v. 17, p. 117–131, 06 2000. ISSN 0104-6632. Disponível em: <[http://www.scielo.br/scielo.php?script=sci\\_arttext&pid=S0104-66322000000200001&nrm=iso](http://www.scielo.br/scielo.php?script=sci_arttext&pid=S0104-66322000000200001&nrm=iso)>. Citado 2 vezes nas páginas 55 e 104.
- DAHL, S.; MACEDO, E. A. The mhv2 model: A unifac-based equation of state model for vapor-liquid and liquid-liquid equilibria of mixtures with strong electrolytes. *Industrial & Engineering Chemistry Research*, v. 31, n. 4, p. 1195–1201, abr. 1992. ISSN 0888-5885. Disponível em: <<http://pubs.acs.org/doi/abs/10.1021/ie00004a033>>. Citado na página 55.
- DEBYE, P.; HÜCKEL, E. The theory of electrolytes. i. lowering of freezing point and related phenomena. *Physikalische Zeitschrift*, v. 24, p. 185–206, 1923. Citado 2 vezes nas páginas 48 e 49.
- FIGUEIREDO, C. S. et al. Fluid Phase Equilibria (em Publicação), *Salt solubility data for sodium chloride and mono ethylene glycol aqueous systems from 293.15 to 403.15 K*. 2014. Citado 2 vezes nas páginas 41 e 42.
- FOSBOL, P. L.; THOMSEN, K.; STENBY, E. H. Modeling of the mixed solvent electrolyte system co<sub>2</sub>-na<sub>2</sub>co<sub>3</sub>-nahco<sub>3</sub>-monoethylene glycol-water. *Industrial & Engineering Chemistry Research*, v. 48, n. 9, p. 4565–4578, maio 2009. ISSN 0888-5885. Disponível em: <<http://pubs.acs.org/doi/abs/10.1021/ie801168e>>. Citado na página 54.

GREEN, D. W.; PERRY, R. H. (Ed.). *Perry's Chemical Engineers' Handbook*. 8. ed. Nova Iorque: McGraw-Hill, 2007. 2400 p. ISBN 978-0-07-142294-9. Disponível em: <<http://www.amazon.com/Perrys-Chemical-Engineers-Handbook-Edition/dp/0071422943%3FSubscriptionId%3D0JYN1NVW651KCA56C102%26tag%3Dtechkie-20%26linkCode%3Dxm%26camp%3D2025%26creative%3D165953%26creativeASIN%3D0071422943>>. Citado na página 61.

GRENTHE, I.; PLYASUNOV, A. On the use of semiempirical electrolyte theories for modeling of solution chemical data. *Pure and Applied Chemistry*, v. 69, n. 5, p. 951–958, 1997. ISSN 0033-4545. Disponível em: <<http://iupac.org/publications/pac/69/5/0951/>>. Citado na página 55.

GUGGENHEIM, E. L. the specific thermodynamic properties of aqueous solutions of strong electrolytes. *Philosophical Magazine Series 7*, v. 19, n. 127, p. 588–643, 1935. Disponível em: <<http://www.tandfonline.com/doi/abs/10.1080/14786443508561403>>. Citado na página 49.

HAMER, W. J.; WU, Y.-C. Osmotic coefficients and mean activity coefficients of uni-univalent electrolytes in water at 25 °c. *Journal of Physical and Chemical Reference Data*, NIST, v. 1, n. 4, p. 1047–1100, 1972. ISSN 0047-2689. Disponível em: <<http://link.aip.org/link/?JPR/1/1047/1>>. Citado na página 102.

ILIUȚA, M. C.; THOMSEN, K.; RASMUSSEN, P. Extended uniuac model for correlation and prediction of vapour-liquid-solid equilibria in aqueous salt systems containing non-electrolytes. part a. methanol-water-salt systems. *Chemical Engineering Science*, v. 55, n. 14, p. 2673–2686, abr. 2000. ISSN 0009-2509. Disponível em: <<http://linkinghub.elsevier.com/retrieve/pii/S0009250999005345>>. Citado na página 54.

ISBIN, H. S.; KOBE, K. A. The solubility of some salts in ethylenediamine, monoethanolamine and ethylene glycol1. *Journal of the American Chemical Society*, v. 67, n. 3, p. 464–465, 1945. Disponível em: <<http://pubs.acs.org/doi/abs/10.1021/ja01219a029>>. Citado na página 42.

JOUYBAN, A.; SOLTANPOUR, S.; CHAN, H.-K. A simple relationship between dielectric constant of mixed solvents with solvent composition and temperature. *International Journal of Pharmaceutics*, v. 269, n. 2, p. 353–360, jan. 2004. ISSN 0378-5173. Disponível em: <<http://linkinghub.elsevier.com/retrieve/pii/S0378517303005118>>. Citado na página 61.

JR., J. F. Z. et al. *Handbook of Aqueous Electrolyte Thermodynamics: Theory & Application*. 1. ed. Nova Iorque: Wiley-AIChE, 1986. 878 p. ISBN 978-0-8169-0350-4. Disponível em: <<http://www.amazon.com/Handbook-Aqueous-Electrolyte-Thermodynamics-Application/dp/0816903506%3FSubscriptionId%3D0JYN1NVW651KCA56C102%26tag%3Dtechkie-20%26linkCode%3Dxm%26camp%3D2025%26creative%3D165953%26creativeASIN%3D0816903506>>. Citado 2 vezes nas páginas 54 e 55.

KONTOGEOORGIS, G. M.; FOLAS, G. K. *Thermodynamic Models for Industrial Applications: From Classical and Advanced Mixing Rules to Association Theories*. Wiley, 2010. ISBN 978-0-470-69726-9. Disponível em: <<http://www.amazon.com/Thermodynamic-Models-Industrial-Applications-Association/dp/0470697261%3FSubscriptionId%3D0JYN1NVW651KCA56C102%26tag%3Dtechkie-20%26linkCode%3Dxm%26camp%3D2025%26creative%3D165953%26creativeASIN%3D0470697261>>.

3FSubscriptionId%3D0JYN1NVW651KCA56C102%26tag%3Dtechkie-20%26linkCode%3Dxm2%26camp%3D2025%26creative%3D165953%26creativeASIN%3D0470697261>. Citado na página 47.

KOSINSKI, J. J. et al. Modeling acid-base equilibria and phase behavior in mixed-solvent electrolyte systems. *Fluid Phase Equilibria*, v. 256, n. 1–2, p. 34–41, ago. 2007. ISSN 0378-3812. <ce:title>16th Symposium on Thermophysical Properties</ce:title> <xocs:full-name>Proceedings of the Sixteenth Symposium on Thermophysical Properties held jointly with Nineteenth International Conference on Chemical Thermodynamics and Sixty-First Calorimetry Conference</xocs:full-name>. Disponível em: <<http://linkinghub.elsevier.com/retrieve/pii/S0378381206004973>>. Citado na página 54.

KRAUS, K. A.; RARIDON, R. J.; BALDWIN, W. H. Properties of organic-water mixtures. i. activity coefficients of sodium chloride, potassium chloride, and barium nitrate in saturated water mixtures of glycol, glycerol, and their acetates. model solutions for hyperfiltration membranes. *Journal of the American Chemical Society*, v. 86, n. 13, p. 2571–2576, abr. 1964. ISSN 0022-3654. Disponível em: <<http://pubs.acs.org/doi/abs/10.1021/ja01067a010>>. Citado na página 42.

LEE, L. L. A molecular theory of setchenov's salting-out principle and applications in mixed-solvent electrolyte solutions. *Fluid Phase Equilibria*, v. 131, n. 1–2, p. 67–82, maio 1997. ISSN 0378-3812. Disponível em: <<http://linkinghub.elsevier.com/retrieve/pii/S0378381296031986>>. Citado na página 52.

LIDE, D. R.; HAYNES, W. M. M. (Ed.). *CRC Handbook of Chemistry and Physics, 90th Edition (CRC Handbook of Chemistry & Physics)*. 90. ed. Boca Raton: CRC Press, 2009. 2804 p. ISBN 978-1-4200-9084-0. Disponível em: <<http://www.amazon.com/Handbook-Chemistry-Physics-90th-Edition/dp/1420090844%3FSubscriptionId%3D0JYN1NVW651KCA56C102%26tag%3Dtechkie-20%26linkCode%3Dxm2%26camp%3D2025%26creative%3D165953%26creativeASIN%3D1420090844>>. Citado 3 vezes nas páginas 42, 61 e 64.

LINKE, W. F.; SEIDELL, A. *Solubilities Inorganic and Metal-Organic Compounds A-Ir: A Compilation of Solubility Data from the Periodical Literature, Volume 1*. 4. ed. Princeton: Van Nostrand, 1958. 1491 p. ISBN 978-0-8357-4124-8. Citado na página 42.

LINKE, W. F.; SEIDELL, A. *Solubilities Inorganic and Metal-Organic Compounds K-Z: A Compilation of Solubility Data from the Periodical Literature, Volume II*. 4. ed. Washington: American Chemical Society, 1965. 1914 p. ISBN 978-0-608-04425-5. Citado na página 42.

LIU, Y.; WATANASIRI, S. Representation of liquid-liquid equilibrium of mixed-solvent electrolyte systems using the extended electrolyte nrtl model. *Fluid Phase Equilibria*, v. 116, n. 1–2, p. 193–200, mar. 1996. ISSN 0378-3812. <ce:title>Proceedings of the Seventh International Conference on Fluid Properties and Phase Equilibria for Chemical Process Design</ce:title>. Disponível em: <<http://linkinghub.elsevier.com/retrieve/pii/0378381295028870>>. Citado na página 54.

LORIMER, J. W. Thermodynamics of solubility in mixed solvent systems. *Pure and Applied Chemistry*, v. 65, n. 2, p. 183–191, 1993. ISSN 0033-4545. Disponível em:

<<http://iupac.org/publications/pac/65/2/0183/>>. Citado 4 vezes nas páginas 52, 53, 55 e 64.

MARCUS, Y. *Ion Solvation*. 1. ed. Chichester: Wiley-Interscience, 1985. 314 p. ISBN 978-0-471-90756-5. Disponível em: <<http://www.amazon.com/Ion-Solvation-Yitzhak-Marcus/dp/0471907561%3FSubscriptionId%3D0JYN1NVW651KCA56C102%26tag%3Dttechkie-20%26linkCode%3Dxm2%26camp%3D2025%26creative%3D165953%26creativeASIN%3D0471907561>>. Citado na página 64.

MOURA, N. R. d. *Desafios Tecnológicos para o Gás Natural*. 2007. Disponível em: <[http://sites.petrobras.com.br/minisite/premiotecnologia/pdf/TecnologiaGas\\_DesafiosTecnologicos-GasNatural.pdf](http://sites.petrobras.com.br/minisite/premiotecnologia/pdf/TecnologiaGas_DesafiosTecnologicos-GasNatural.pdf)>. Acesso em: 02 maio 2014. Citado na página 34.

NAZZER, C. A.; KEOGH, J. Paper presented at Offshore Technology Conference, Houston, TX, USA, *Advances in Glycol Reclamation Technology*. 2006. Disponível em: <<http://e-book.lib.sjtu.edu.cn/otc-2006/pdfs/otc18010.pdf>>. Citado 2 vezes nas páginas 37 e 38.

NICOLAISEN, H. Ph. D. Thesis. Department of Chemical Engineering. Technical University of Denmark; DK-2800 Lyngby, Denmark, *Phase equilibria in aqueous electrolyte solutions*. 1994. Citado na página 54.

OLIVEIRA, J. A. F. et al. Latin American Applied Research (em Publicação), *Levenberg-Marquardt method applied to the determination of vapor-liquid equilibrium model parameters*. 2014. Citado na página 44.

OLIVEIRA, J. A. F. et al. *Modelagem e Simulação da Solubilidade de Sais em Mistura de Solventes em Sistemas Aquosos com dois Sais Fortes e Monoetileno Glicol*. 2010. Citado na página 52.

PETROBRAS. *Atividade de Produção de Gás e Condensado no Campo de Mexilhão, Bacia de Santos : EIA – Estudo de Impacto Ambiental*. 2007. Disponível em: <<http://licenciamento.ibama.gov.br/Petroleo/Sistema%20de%20Producao%20de%20Gas%20Natural%20e%20Condensados%20-%20Campo%20de%20Mexilhao%20-%20Bacia%20de%20Santos/EIA%20Mexilh%C3%A3o>>. Acesso em: 02 maio 2014. Citado 5 vezes nas páginas 25, 31, 32, 33 e 44.

PINHO, S. P.; MACEDO, E. A. Representation of salt solubility in mixed solvents: A comparation of thermodynamic models. *Fluid Phase Equilibria*, v. 116, n. 1–2, p. 209–216, mar. 1996. ISSN 0378-3812. <ce:title>Proceedings of the Seventh International Conference on Fluid Properties and Phase Equilibria for Chemical Process Design</ce:title>. Disponível em: <<http://linkinghub.elsevier.com/retrieve/pii/0378381295028897>>. Citado 2 vezes nas páginas 42 e 54.

PINHO, S. P.; MACEDO, E. A. Solubility of nacl, nabr, and kcl in water, methanol, ethanol, and their mixed solvents. *Journal of Chemical & Engineering Data*, v. 50, n. 1, p. 29–32, jan. 2005. ISSN 0021-9568. Disponível em: <<http://pubs.acs.org/doi/abs/10.1021/je049922y>>. Citado na página 42.

PITZER, K. S. Thermodynamics of electrolytes. i. theoretical basis and general equations. *The Journal of Physical Chemistry*, v. 77, n. 2, p. 268–277, jan. 1973. ISSN 0022-3654. Disponível em: <<http://pubs.acs.org/doi/abs/10.1021/j100621a026>>. Citado 2 vezes nas páginas 55 e 62.

PITZER, K. S. *Thermodynamics*. 3. ed. Nova Iorque: McGraw-Hill, 1995. 626 p. ISBN 978-0-07-050221-5. Disponível em: <<http://www.amazon.com/Thermodynamics-Mcgraw-Series-Advanced-Chemistry/dp/0070502218%3FSubscriptionId%3D0JYN1NVW651KCA56C102%26tag%3Dtechkie-20%26linkCode%3Dxm2%26camp%3D2025%26creative%3D165953%26creativeASIN%3D0070502218>>. Citado na página 55.

PRAUSNITZ, J. M.; LICHTENTHALER, R. N.; AZEVEDO, E. G. de. *Molecular Thermodynamics of Fluid-Phase Equilibria*. 3. ed. Upper Sanddle River: Prentice-Hall PTR, 1999. 864 p. ISBN 978-0-13-977745-5. Disponível em: <<http://www.amazon.com/Molecular-Thermodynamics-Fluid-Phase-Equilibria-Edition/dp/0139777458%3FSubscriptionId%3D0JYN1NVW651KCA56C102%26tag%3Dtechkie-20%26linkCode%3Dxm2%26camp%3D2025%26creative%3D165953%26creativeASIN%3D0139777458>>. Citado 6 vezes nas páginas 46, 47, 48, 49, 50 e 55.

RENON, H. Models for excess properties of electrolyte solutions: molecular bases and classification, needs and trends for new developments. *Fluid Phase Equilibria*, v. 116, n. 1–2, p. 217–224, mar. 1996. ISSN 0378-3812. <ce:title>Proceedings of the Seventh International Conference on Fluid Properties and Phase Equilibria for Chemical Process Design</ce:title>. Disponível em: <<http://linkinghub.elsevier.com/retrieve/pii/0378381295028900>>. Citado na página 54.

SANDENGEN, K.; KAASA, B. Estimation of monoethylene glycol (meg) content in water + meg + nacl + nahco<sub>3</sub> solutions. *Journal of Chemical & Engineering Data*, v. 51, n. 2, p. 443–447, mar. 2006. ISSN 0021-9568. Disponível em: <<http://pubs.acs.org/doi/abs/10.1021/je0503711>>. Citado na página 42.

SANDLER, S. I. (Ed.). *Models for Thermodynamic and Phase Equilibria Calculations*. 1. ed. Nova Iorque: Marcel Dekker, 1993. 704 p. ISBN 978-0-8247-9130-8. Disponível em: <<http://www.amazon.com/Thermodynamic-Equilibria-Calculations-Chemical-Industries/dp/0824791304%3FSubscriptionId%3D0JYN1NVW651KCA56C102%26tag%3Dtechkie-20%26linkCode%3Dxm2%26camp%3D2025%26creative%3D165953%26creativeASIN%3D0824791304>>. Citado na página 55.

SILVESTER, L. F.; PITZER, K. S. Thermodynamics of electrolytes. 8. high-temperature properties, including enthalpy and heat capacity, with application to sodium chloride. *The Journal of Physical Chemistry*, v. 81, n. 19, p. 1822–1828, 1977. ISSN 0022-3654. Disponível em: <<http://pubs.acs.org/doi/abs/10.1021/j100534a007>>. Citado na página 62.

SMITH, J. M.; NESS, H. C. van; ABBOTT, M. M. *Introduction to Chemical Engineering Thermodynamics*. 7. ed. Nova Iorque: McGraw-Hill, 2005. 840 p. ISBN 978-0-07-310445-4. Disponível em: <<http://www.amazon.com/Introduction-Chemical-Engineering-Thermodynamics-Mcgraw-Hill/dp/0073104450%3FSubscriptionId%3D0JYN1NVW651KCA56C102%26tag%3Dtechkie-20%26linkCode%3Dxm2%26camp%3D2025%26creative%3D165953%26creativeASIN%3D0073104450>>. Citado na página 55.

STATOIL. *Gas Hydrates as a resource : Technology Readiness Level*. Disponível em: <<http://nfipweb.org/oneday2011/Gas%20hydrates,%20Technology%20Readiness%20Level.pdf>>. Acesso em: 02 maio 2014. Citado na página 34.

THOMSEN, K. Ph. D. Thesis. Department of Chemical Engineering. Technical University of Denmark; DK-2800 Lyngby, Denmark, *Aqueous electrolytes: model parameters and process simulation*. 1997. Citado 2 vezes nas páginas 54 e 55.

THOMSEN, K.; ILIUTA, M. C.; RASMUSSEN, P. Extended uniuac model for correlation and prediction of vapor-liquid-liquid-solid equilibria in aqueous salt systems containing non-electrolytes. part b. alcohol (ethanol, propanols, butanols)-water-salt systems. *Chemical Engineering Science*, v. 59, n. 17, p. 3631 – 3647, set. 2004. ISSN 0009-2509. Disponível em: <<http://linkinghub.elsevier.com/retrieve/pii/S000925090400329X>>. Citado na página 54.

TRIMBLE, H. M. Solubilities of salts in ethylene glycol and in its mixtures with water. *Industrial & Engineering Chemistry*, v. 23, n. 2, p. 165–167, fev. 1931. ISSN 0019-7866. Disponível em: <<http://pubs.acs.org/doi/abs/10.1021/ie50254a016>>. Citado na página 42.

TSIERKEZOS, N. G.; MOLINOU, I. E. Thermodynamic properties of water + ethylene glycol at 283.15, 293.15, 303.15, and 313.15 k. *Journal of Chemical & Engineering Data*, v. 43, n. 6, p. 989–993, nov. 1998. ISSN 0021-9568. Disponível em: <<http://pubs.acs.org/doi/abs/10.1021/je9800914>>. Citado na página 42.

WALAS, S. M. *Phase Equilibria in Chemical Engineering*. Butterworth, US, 1985. ISBN 0409951625. Disponível em: <<http://www.amazon.com/Phase-Equilibria-Chemical-Engineering-Stanley/dp/0409951625%3FSubscriptionId%3D0JYN1NVW651KCA56C102%26tag%3Dtechkie-20%26linkCode%3Dxm2%26camp%3D2025%26creative%3D165953%26creativeASIN%3D0409951625>>. Citado na página 55.

WANG, P. et al. Modeling phase equilibria and speciation in mixed-solvent electrolyte systems: II. liquid-liquid equilibria and properties of associating electrolyte solutions. *Journal of Molecular Liquids*, v. 125, n. 1, p. 37 – 44, mar. 2006. ISSN 0167-7322. <ce:title>Selected Papers on Molecular Liquids</ce:title> <xocs:full-name>18th ICCT</xocs:full-name>. Disponível em: <<http://linkinghub.elsevier.com/retrieve/pii/S0167732205002060>>. Citado na página 54.

WANG, P.; ANDERKO, A.; YOUNG, R. D. A speciation-based model for mixed-solvent electrolyte systems. *Fluid Phase Equilibria*, v. 203, n. 1–2, p. 141 – 176, dez. 2002. ISSN 0378-3812. Disponível em: <<http://linkinghub.elsevier.com/retrieve/pii/S0378381202001784>>. Citado na página 54.

WIKIPEDIA. *Etilenoglicol — Wikipedia, A Encyclopédia Livre*. 2014. Disponível em: <<http://pt.wikipedia.org/wiki/Etilenoglicol>>. Acesso em: 02 maio 2014. Citado na página 43.

ZHOU, Y. et al. Compositions, densities, and refractive indices for the ternary systems ethylene glycol + nacl + h<sub>2</sub>o, ethylene glycol + kcl + h<sub>2</sub>o, ethylene glycol + rbcl + h<sub>2</sub>o, and ethylene glycol + cscl + h<sub>2</sub>o at 298.15 k. *Journal of Chemical & Engineering Data*, v. 55, n. 3, p. 1289–1294, 2010. Disponível em: <<http://pubs.acs.org/doi/abs/10.1021/je900630n>>. Citado na página 42.

ZOUAIN, R. N. A. *Sistemas de Produção, Refino e Transporte de Petróleo - Promimp - Engenheiro de Automação*. 2014. Disponível em: <[http://www.producao.ufrgs.br/arquivos/disciplinas/492\\_aula\\_1\\_5.pdf](http://www.producao.ufrgs.br/arquivos/disciplinas/492_aula_1_5.pdf)>. Acesso em: 23 maio 2014. Citado na página 36.

ÅKERLÖF, G. Dielectric constants of some organic solvent-water mixtures at various temperatures. *Journal of the American Chemical Society*, v. 54, n. 11, p. 4125–4139, 1932. Disponível em: <<http://pubs.acs.org/doi/abs/10.1021/ja01350a001>>. Citado na página 60.

# Apêndices



## APÊNDICE A – ARTIGO

A.1 DE CORRELAÇÃO DE DADOS DE EQUILÍBRIO LÍQUIDO VAPOR PELO MODELO UNIQUAC ORIGINAL PARA SISTEMAS AQUOSOS COM SAL E ÁLCOOL

## LEVENBERG-MARQUARDT METHOD APPLIED TO THE DETERMINATION OF VAPOR-LIQUID EQUILIBRIUM MODEL PARAMETERS

J.A.F. OLIVEIRA<sup>†</sup>, M.M.L. DUARTE<sup>†</sup>, E.L. FOLETTO<sup>‡,\*</sup> and O. CHIAVONE-FILHO<sup>†</sup>

<sup>†</sup> Chemical Eng. Department, Federal University of Rio Grande do Norte, Natal, 59066-800, Brazil

<sup>‡</sup> Chemical Eng. Department, Federal University of Santa Maria, Santa Maria, 97105-900, Brazil. \* efoletto@gmail.com

**Abstract –** In order to correlate and optimize experimental data either from the laboratory or industry, one needs a robust method of data regression. Among the non-linear parameter estimation methods it may be pointed out of Levenberg, which applies the conversion of an arbitrary matrix into a positive definite one. Later, Marquardt applied the same procedure, calculating  $\lambda$  parameter in an iterative form. The Levenberg-Marquardt algorithm is described and two routine for correlating vapor-liquid equilibrium data for pure component and mixtures, based on this efficient method, have been applied. The routines have been written with an interface very accessible for both users and programmers, using Python language. The flexibility of the developed programs for introducing the desired details is quite interesting for both process simulators and modeling properties. Furthermore, for mixtures with electrolytes, it was obtained a coherent and compatible relation for the structural parameters of the salt species, with the aid of the method and the graphical interface designed.

**Keywords –** Nonlinear Regression, Levenberg-Marquardt Method, Vapor-Liquid Equilibria, Mixed Solvents Electrolyte Systems.

### I. INTRODUCTION

The phenomena and properties involved in the chemical processes present, usually, non-linear behavior. Therefore, it is needed a robust method of non-linear regression for providing the required correlation of the experimental data collected, either from the laboratory or from the industry.

Bard (1974) pointed out three methods of parameter estimation, i.e., least squares, maximum likelihood and Bayesian. The method of least squares is the oldest and most widely used estimation procedure. It can be applied directly to a deterministic model, without any knowledge being taken of the probability distribution of the observations. This feature satisfies quite well the propose of correlating most of the desired thermodynamic properties and process variables.

For solving these unconstrained problems, the Levenberg-Marquardt method has proven very reliable results. In this work the Levenberg-Marquardt algorithm is described in a simple form.

This parameter estimation method has been reproduced and applied for the correlation of vapor-liquid equilibrium (VLE) data using activity coefficient and equation of state approaches (Lazzús, 2010; Camacho-

Camacho *et al.*, 2007). For the first case, an evaluation of the thermodynamic consistency of the data can be provided, since activity coefficient models fulfill the exact definition of partial molar excess Gibbs energy.

Systematic evaluation of thermodynamic properties of solutions of sodium chloride (NaCl) in water, e.g., boiling point and osmotic coefficient, with an extensive experimental database, was provided by Clarke and Glew (1985). VLE calculation for mixed solvents electrolyte systems have been applied using functional group activity coefficient model, i.e., UNIFAC (Kikic *et al.*, 1991). It was taken into account the electrostatic term with Debye-Hückel term, normalized according to the theory of Mc-Millan-Mayer. However, the estimated parameters present scattering and large order of magnitude. Loehne and Donohue (1997) described a survey of the literature models to determine thermodynamic properties of aqueous systems with strong electrolytes. Thomsen *et al.* (2004) have presented a systematic modeling work with mixed electrolytes and mixed solvents systems for solid-liquid-vapor equilibrium data, using UNIQUAC also. Haghtalab and Peyvandi (2009) have proposed a new version of UNIQUAC model for electrolyte solutions that requires just two fitted interaction parameters per binary aqueous system. The structural parameters of the ionic species were evaluated considering solvation for the determination of the radii.

This study aimed to describe the Levenberg-Marquardt computational procedure for estimation of vapor-liquid equilibrium model parameters. Validations of the method are present for pure component vapor pressure and binary VLE data. Application to strong electrolytes in mixed solvents systems has also been performed, using UNIQUAC model. It is proposed a new form to determine structural UNIQUAC parameters of the ions that is compatible with the solvent species parameters.

### II. METHODS

#### A. Levenberg-Marquardt Method

The method presented by Levenberg (1944) utilizes a conversion of an arbitrary matrix into a positive definite one. This method rests on the observation that if  $\underline{P}$  is any positive definite matrix, then  $\underline{A}_i + \lambda \underline{P}$  is positive definite for  $\lambda$  sufficiently large, no matter what  $\underline{A}_i$ . Marquardt (1963) suggested an iterative algorithm for the selection of  $\lambda$ .

The importance of working with a definite positive matrix is to satisfy the necessary and sufficient conditions of minimization in the data regression, where the least square of the residuals ( $e_i$ ) is to be found.

### B. Levenberg-Marquardt Algorithm

In this section the Levenberg-Marquardt algorithm applied for a nonlinear parameter estimation is described in four phases.

#### Initialization:

- (i) Enter  $\rho_{\min}$  (a minimum value of the step length  $\rho$ , e.g.  $10^{-7}$ ),  $\varepsilon$  (a positive small number, e.g.  $10^{-7}$ ),  $\underline{y}$  (vector of the dependent variables),  $\underline{X}$  (matrix of the independent variables) and  $\underline{\theta}_1$  (vector of the initial guess of the parameters to be estimated). Set  $J=1$  and  $\lambda=0.01$  (Marquardt parameter);
  - (ii) Calculate  $\underline{e}$  (vector of the residuals) and  $\Phi_1 = \Phi(\underline{\theta}_1)$  (objective function), where  $e_i = y_i - f_i(\underline{X}, \underline{\theta})$  and  $\Phi = \sum_i e_i^2$ ;
  - (iii) Calculate  $\underline{q}$  (gradient of  $\Phi$ ) and  $\underline{A}$  (approximation of the Hessian matrix of the function  $\Phi$ ), where  $q_i = \frac{\partial \Phi_1}{\partial \theta_i} = 2 \sum_j e_j \frac{\partial e_j}{\partial \theta_i}$  and  $A_{ij} = 2 \sum_k \left( \frac{\partial e_k}{\partial \theta_i} \right) \left( \frac{\partial e_k}{\partial \theta_j} \right)$ ;
  - (iv) Calculate  $\underline{P} = \begin{cases} i=j, A_{ij}=0 \Rightarrow P_{ij}=0 \\ i=j, A_{ij} \neq 0 \Rightarrow P_{ij}=A_{ij} \\ i \neq j \Rightarrow P_{ij}=0 \end{cases}$
  - (v) Calculate  $\underline{A} + \lambda \underline{P}$ , reminding that these values may be directly evaluated by:
- $$A_{ij} + \lambda P_{ij} = \begin{cases} i \neq j \Rightarrow A_{ij} + \lambda P_{ij} = A_{ij} \\ i = j, A_{ij} = 0 \Rightarrow A_{ij} + \lambda P_{ij} = \lambda \\ i = j, A_{ij} \neq 0 \Rightarrow A_{ij} + \lambda P_{ij} = A_{ij}(1 + \lambda) \end{cases}$$
- (vi) Calculate  $\underline{v} = -(\underline{A} + \lambda \underline{P})^{-1} \underline{q}$  (vector in the direction of the proposed step),  $\underline{\theta}^{(1)} = \underline{\theta}_1 + \underline{v}$  and  $\Phi^{(1)} = \Phi(\underline{\theta}^{(1)})$ , where  $(\underline{A} + \lambda \underline{P})^{-1}$  and  $\underline{v}$  are evaluated by the Cholesky method, see, e.g., Fox (1964), which is specific for the inversion of a definite positive matrix;
  - (vii) If  $\Phi^{(1)} < \Phi_1$  accept  $\underline{\theta}_2 = \underline{\theta}^{(1)}$ , replace  $\lambda$  by  $\max(0.1 \lambda, \varepsilon)$  and go to the step (xi). Or else, continue from the step (viii);
  - (viii) Compute  $\rho^{(1)} = 2^{-J}$ ,  $\Psi^{(1)} = \Phi(\underline{\theta}_1 + \rho^{(1)} \underline{v})$  and  $\gamma = \underline{q}^T \underline{v}$ . With these values  $\rho^* = \gamma \rho^{(1)2} / [2(\gamma \rho^{(1)} + \Phi - \Psi^{(1)})]$  is calculated;
  - (ix) If  $\Psi^{(1)} < \Phi_1$ , then continue from the step (x). Else, go to the step (xvi);

#### Extrapolation of $\rho$ :

- (x) Set  $J$  equal to the higher integer number that do not overcome the half of  $J$ ;
- (xi) If  $\rho^* \leq 0$  set  $\rho^* = 2^{1-J}$ ;

- (xii) If  $\rho^* > 1.1 \rho^{(1)}$  continue on the step (xiii). Else, set

$$\rho = \rho^{(1)} \text{ and go to the step (xx);}$$

- (xiii) Compute  $\Psi^{(2)} = \Phi(\underline{\theta}_1 + \rho^* \underline{v})$

- (xiv) If  $\Psi^{(2)} < \Psi^{(1)}$  continue on the step (xv). Else, set

$$\rho = \rho^{(1)} \text{ and go to the step (xx);}$$

- (xv) Set  $\rho = \rho^*$  and go to the step (xx);

#### Interpolation of $\rho$ :

- (xvi) Set  $\rho = \max[0.25 \rho^{(1)}; \min(0.75 \rho^{(1)}, \rho^*)]$ ;

- (xvii) If  $\rho \leq \rho_{\min}$  go to the step (xx). Else, continue on the step (xviii);

- (xviii) Compute  $\Psi^{(2)} = \Phi(\underline{\theta}_1 + \rho \underline{v})$  and set  $J = J + 1$ ;

- (xix) If  $\Psi^{(2)} < \Phi_1$  go to the step (xx). Else, set  $\rho^{(1)} = \rho$

$$\text{and } \rho^* = \frac{\gamma \rho^{(1)2}}{2(\gamma \rho^{(1)} + \Phi - \Psi^{(2)})}, \text{ and return to the step (xvi);}$$

- (xx) Calculate  $\underline{\theta}_2 = \underline{\theta}_1 + \rho \underline{v}$ ;

#### Termination:

- (xi) The criterion of termination is tested, using  $\underline{\theta}_1$  and  $\underline{\theta}_2$ , as an example suggested by Marquardt (1963), is given according to the following equation:

$$|\theta_{i+1,j} - \theta_{i,j}| \leq \varepsilon_j, \quad j = 1, 2, \dots, l$$

$$\text{where } \varepsilon_j = 10^{-4} (\theta_{i,j} + 10^{-3}).$$

If the criterion is satisfied for all parameters, iterations are terminated and  $\underline{\theta}_2$  is accepted as the solution  $\underline{\theta}^*$ . Otherwise, set  $\lambda = 10\lambda$  and  $\underline{\theta}_1 = \underline{\theta}_2$ , and return to the step (ii).

### C. Vapor-Liquid Equilibrium Data Regression

In order to demonstrate the applicability of the implemented Levenberg-Marquardt method, two programs for correlating vapor-liquid equilibrium data have been developed.

#### Antoine Constants Estimation

The first program allows data correlation of vapor pressure and temperature for pure components, using the Antoine equation. In Eq. (1) we have that  $P^{\text{sat}}$  is the vapor pressure,  $T$  is the saturation temperature, and  $A$ ,  $B$  and  $C$  are the adjusted Antoine constants. This form of the Antoine equation is usual in the literature; however the user may, easily, apply a modified version of the correlation both in terms of the logarithm base and units.

$$\log_{10} P^{\text{sat}} (\text{mmHg}) = A - \frac{B}{T(^{\circ}\text{C}) + C} \quad (1)$$

To perform the data regression, the following objective function ( $OF$ ) is to be minimized, which is the defined by the absolute residual in terms of vapor pressure.

$$OF = \text{MIN} = \sum_i (P_{\text{exptl}} - P_{\text{calcd}})^2 \quad (2)$$

The program requires initial guesses of  $A$ ,  $B$  and  $C$  pa-

rameters to be estimated, name of the substance, number of data points and list of the experimental pairs of vapor pressure and saturation temperature. Indication of the units and the literature source from which the data has been retrieved is also requested. An output is provided where information about the iterations performed during the execution is registered, allowing the detection and identification of an eventual error. After convergence, the values of the estimated constants are displayed together with respective interval confidences, standard deviations and correlation matrix of the parameters. The program also provides the relative and absolute deviations in terms of vapor pressure and the estimation of the normal boiling point, at 760 mmHg, using the obtained correlation. Results for propyl acetate have been compared with Boublik *et al.* (1984) and validated the implemented program. The Antoine correlation for the propyl acetate has presented relative deviation ( $\Delta P$ ) of 0.04% and estimated the following parameters with corresponding confidence intervals:  $A = 7.03008 \pm 0.03391$ ,  $B = 1290.200 \pm 19.505$  and  $C = 209.466 \pm 2.161$ .

#### **Reduction and consistency test of vapor-liquid equilibrium data for binary systems**

The second program developed is to accomplish the correlation of vapor-liquid equilibrium data for mixtures, using activity coefficient models presented in the literature (Prausnitz *et al.*, 1999), i.e. Margules 2-suffixes, Margules 3-suffixes, Van Laar, Wilson and NRTL (Non-Random Two Liquids). Therefore, data regression consists of the corresponding parameter estimation of the activity coefficient model. In the case that the VLE data set is complete, i.e. presents the values of temperature, total pressure, liquid and vapor compositions, the correlation tests also the thermodynamic consistency of the experimental data set. This is due to the fact that the activity coefficient models ( $\gamma_i$ ) respect the exact thermodynamic definition of partial molar excess Gibbs energy.

$$\ln \gamma_i = \left[ \frac{\partial(nG^E/RT)}{\partial n_i} \right]_{T,P,n_{i\neq j}} = \frac{\bar{G}_i^E}{RT} \quad (3)$$

Thus, the Euler theorem may be applied, i.e. the additive property, together with the fundamental equation for  $G^E$ , resulting in the so-called Gibbs-Duhem relation, see Prausnitz *et al.* (1999). This is the base of the thermodynamic consistency test of an experimental phase equilibrium data set. We may find in the literature, in general, two tests for thermodynamic consistency of VLE data, i.e. area test and deviation test. In our case, we have applied the deviation test which is in fact a data correlation followed by the analysis of the deviations (see Fredenslund *et al.*, 1977). We may describe, easily, the VLE data correlation of a binary system by writing the total pressure equation (Barker, 1953), and neglecting the nonidealities of the vapor phase, which is a reasonable simplification for low pressures and nonassociating components.

$$P_{\text{calcd}} = x_1 \gamma_1 P_1^{\text{sat}} + (1 - x_1) \gamma_2 P_2^{\text{sat}} \quad (4)$$

Table 1. Correlation and consistency test of the vapor-liquid equilibrium data for the *n*-heptane(1) + ethyl butyrate(2) at 100 °C (Kojima and Tochigi, 1979).

Model	A	B	$\Delta P$ (%)	$\Delta y_i^{**}$
Margules	0.5563		1.36	0.0057
2- suffixes				
Margules	0.7486	0.4059	0.87	0.0097
3- suffixes				
Van Laar	0.4664	0.5769	0.76	0.0096
Wilson	0.3928	1.1612	1.02	0.0089
NRTL*	1.2171	-0.4020	0.98	0.0091

\* C is the random parameter and has been set to 0.3, as default value.

\*\* The values of the absolute average deviation are lower than 0.01 ( $\Delta y_i < 0.01$ ), indicating that the data are considered to be consistent, according to Fredenslund *et al.* (1977).

It may be pointed out that the activity coefficients depend on the temperature, liquid mole fraction and their parameters, which are adjusted from phase equilibrium data reduction. To give an illustration, Eq. (5) shows the simple Margules 2-suffixes gamma model, for both components.

$$\ln \gamma_1 = Ax_2^2; \quad \ln \gamma_2 = Ax_1^2 \quad (5)$$

Therefore, the data reduction for the mixture is similar to the Antoine correlation, and may also be represented by Eq. (2), which defines the objective function in terms of the pressure. For the mixture the differences are that the saturation pressure is replaced by the total pressure and the parameters come from the activity coefficient model instead of the Antoine equation. After the data regression, the vapor composition may be evaluated, according to Eq. (6).

$$y_{1,\text{calcd}} = \frac{\gamma_1 x_1 P_1^{\text{sat}}}{x_1 \gamma_1 P_1^{\text{sat}} + (1 - x_1) \gamma_2 P_2^{\text{sat}}} \quad (6)$$

The vapor-liquid equilibrium data set for the *n*-heptane(1) + ethyl butyrate(2) system at 100 °C presented by Kojima and Tochigi (1979) has been used to test the nonlinear regression method implemented. The developed program allows parameter estimation of the five activity coefficient models listed at Table 1. It may be observed that all models have fitted satisfactorily the experimental data. Furthermore, the deviations presented indicate that the experimental data is consistent. Concerning the operation of the program for correlating vapor-liquid equilibrium data of mixtures, it may be pointed out that all information relative to the system is given by the input file. The model is chosen during the execution of the program, together with the initial guess of the gamma coefficients and the Marquardt parameter. An output file is also created. Similar to the Antoine program, this output file contains information related to the iterations realized, during the execution of the Levenberg-Marquardt method.

After convergence, the values of the estimated parameters together with confidence intervals are presented together with the correlation matrix and standard deviations. Furthermore, the dependent variables are properly compared, and for the case of isothermal data, the percent average pressure deviation and the absolute average mole fraction of the vapor phase deviation are

displayed, from which a thermodynamic consistence evaluation of the equilibrium data is prompt provided.

#### Vapor-liquid equilibrium correlation for mixtures with electrolytes

The Levenberg-Marquardt method was also applied for two aqueous ternary mixtures with methanol and NaCl and ethanol and NaCl with the second program. The corresponding binary systems have also been correlated. The UNIQUAC activity coefficient model (Abrams and Prausnitz, 1975) was applied in its original form and considering NaCl as one molecular species, i.e., neglecting the dissociation.

Table 2 reports structural parameters used for the studied species. It should be pointed out that structural parameters of the salt species, i.e., surface area and volume parameters were determined from the values of the water and a molar mass ratio. Two goals have been achieved using this approach. One was to provide data fitting capability with a reasonable order of magnitude of the structural parameters. Secondly, compatibility with the interaction parameters estimated for non-electrolyte binary mixtures are encountered. This is also an important feature for predictability of the model and group contribution applications like UNIFAC (Kikic *et al.*, 1991). Values of  $r$  and  $q$  for ionic species have been fitted by Macedo *et al.* (1990). Another approach encountered in the literature is the increment of the parameters from the ionic radii by considering solvation. However, the use of these two methods demands estimation of new solvent-solvent parameters and thereby compatibility requirement is not fulfilled. By the other hand, using the values of  $r$  and  $q$  calculated from the values of water and a ratio of the molar masses, as presented in Table 2, it was obtained the desired compatibility and simultaneously good correlation capability, eliminating the problem of low structural values due to the size of the ion for UNIQUAC equation.

Table 3 presents the estimated UNIQUAC interaction parameters for the species studied. It should be pointed out that the non-electrolyte binary systems have been correlated initial and separately and then with these predetermined values the salt-solvent constants were estimated from the corresponding experimental data. All calculations have presented absolute average deviation in terms of vapor mole fraction lower than 0.01 and relative average deviation in terms of pressure less than 2%. These deviations indicate the consistency of the experimental data and also the quality of the parameters that gather many experimental points and different sources.

Figures 1 and 2 illustrate the quality of the correlation obtained for the aqueous ternary systems with methanol and NaCl at 314.6 K and with ethanol and NaCl at 700 mmHg, respectively.

Table 2: Structural parameters for UNIQUAC model.

Species i	Methanol	Ethanol	Water	NaCl
$r_i$	1.4311	2.1055	0.9200	2.9845 <sup>a</sup>
$q_i$	1.4320	1.9720	1.4000	4.5417 <sup>b</sup>

<sup>a</sup>  $r_i = r_{\text{water}}(M_i/M_{\text{water}})$ ; <sup>b</sup>  $q_i = q_{\text{water}}(M_i/M_{\text{water}})$

Table 3: Estimated UNIQUAC interaction parameters ( $a_{ij}$ ) in kelvin for the studied systems with methanol (MeOH), ethanol (EtOH), water (H<sub>2</sub>O) and sodium chloride (NaCl)

i \ j	MeOH	EtOH	H <sub>2</sub> O	NaCl
MeOH	0.00	432.85 <sup>a</sup>	-103.32 <sup>b</sup>	-932.37 <sup>d</sup>
EtOH	-261.57 <sup>a</sup>	0.00	-12.47 <sup>c</sup>	-878.07 <sup>d</sup>
H <sub>2</sub> O	150.07 <sup>b</sup>	166.12 <sup>c</sup>	0.00	-925.33 <sup>d</sup>
NaCl	5817.00 <sup>d</sup>	4722.55 <sup>d</sup>	53.67 <sup>d</sup>	0.00

<sup>a</sup> Parameters estimated from methanol+ethanol VLE data (Niesen *et al.*, 1986; Kurihara *et al.*, 1993).

<sup>b</sup> Parameters estimated from methanol+water VLE data (Soujanya *et al.*, 2010; Yao *et al.*, 1999; Kurihara *et al.*, 1993).

<sup>c</sup> Parameters estimated from ethanol+water VLE data (Pemberton and Mash, 1978; Niesen *et al.*, 1986; Kurihara *et al.*, 1993, 1995; Arce *et al.*, 1996; Navarro-Espinosa *et al.*, 2010; Lai *et al.* 2014).

<sup>d</sup> Parameters estimated from water+NaCl, methanol+water+NaCl and ethanol+water+NaCl VLE data (Clarke and Glew, 1985; Gmehling, 1997; Yang and Lee, 1998; Jödecke *et al.*, 2005), fixing MeOH+EtOH, MeOH+H<sub>2</sub>O and EtOH+H<sub>2</sub>O parameters determined previously<sup>a,b,c</sup>.

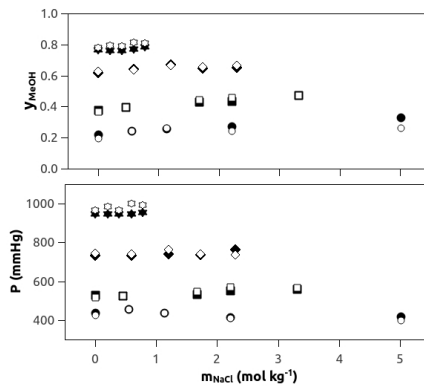


Fig. 1. Vapor-liquid equilibrium diagrams for methanol(1)+water(2)+NaCl(3) at 314.6 K; solid symbols experimental (Jödecke *et al.*, 2005) and open symbols: UNIQUAC this work: ● and ○,  $x'_1=0.0328$ ; ▲ and △,  $x'_1=0.0789$ ; ■ and □,  $x'_1=0.216$ ; ▼ and ▽,  $x'_1=0.466$ .

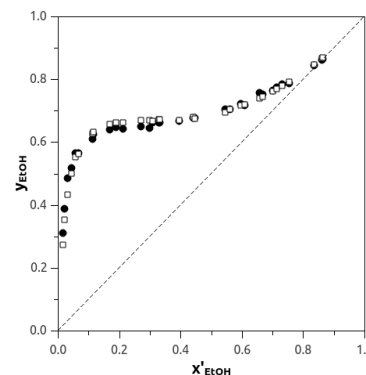


Fig. 2. VLE y-x diagram for the system ethanol(1)+water(2)+NaCl(3) at 700 mmHg; 32 experimental points with salt mole fraction in the range of 0.001-0.1; ● experimental data (Gmehling, 1997); ○ calculated values with UNIQUAC (this work).

### III. CONCLUSIONS

The coherence of the developed programs has been verified via comparison with the parameters estimated for the same data set, confirming the reliability of the Levenberg-Marquardt routines implemented.

The results of the correlation program for mixtures are also efficient and analysis of the deviations allows the evaluation of the thermodynamic consistence of the experimental data. This qualification of the data may be useful for their application, i.e. for the development of models, and design and operation of processes.

The developed tool of calculation may be applied in problems of simulation and optimization of processes, using inclusive the visual recourses, which facilitates the interaction with the users. Furthermore, new correlation programs may also be developed to describe other thermodynamic and physical-chemistry properties, since Levenberg-Marquardt has been properly implemented.

These new salt species structural parameters demonstrated also to be flexible for the data correlation and coherent to respect to order of magnitude. The electrostatic contribution has not been considered for VLE calculations. The original form of the UNIQUAC model demonstrated to be feasible with the molecular approach for strong electrolyte species in mixed solvents systems.

#### NOMENCLATURE

$a_{ij}$	UNIQUAC interaction parameters
$A, B, C$	Antoine constants or activity coefficient parameters
$\underline{\underline{A}}$	approximation of the Hessian matrix of the function $\Phi$
calcd	calculated value
$e$	vector of the residuals
$e_i$	residue of point $i$ , $e_i = y_i - f_i(\underline{\underline{X}}, \underline{\theta})$
exptl	experimental value
$G^E, \overline{G}_i^E$	molar excess Gibbs energy and partial molar excess Gibbs energy of species $i$
$M$	number of experimental data points or atomic mass or molecular mass
$m_i$	molality of species $i$
$n, n_i$	total number of moles and number of moles of species $i$
NRTL	<i>Non Random Two-Liquid</i>
OF	objective function
$P$	total pressure
$\underline{\underline{P}}$	any positive definite matrix
$P_i^{sat}$	vapor pressure of species $i$
$q$	gradient of $\Phi$ or UNIQUAC surface area parameter
$r, q$	volume and surface area parameter
$R$	universal ideal gas constant
$T$	temperature
VLE	<i>Vapor-Liquid Equilibrium</i>
$\underline{\underline{X}}$	matrix of the independent variables
$x_i, y_i$	mole fraction of the component $i$ in the liquid and vapor phase

$x_i'$	salt free mole fraction of the component $i$ in the liquid phase
$\underline{y}$	vector of the dependent variables
$y_i$	mole fraction of the component $i$ in the vapor phase

#### Greek letters

$\Delta P$	percent average deviation, defined as $100/M \sum_{i=1}^M  (P_{\text{exptl},i} - P_{\text{calcd},i})  / P_{\text{exptl},i}$
$\Delta y_1$	absolute average deviation, defined as $1/M \sum_{i=1}^M  y_{1,\text{exptl},i} - y_{1,\text{calcd},i} $
$\varepsilon$	a positive small number
$\gamma_i$	activity coefficient of the component $i$
$\underline{\theta}$	vector of the parameters
$\underline{\theta}_1$	vector of the parameters, initial guess
$\underline{\theta}_i$	vector of the parameters at iteration $i$
$\rho$	value of the step length
$\lambda$	Marquadt parameter
$\underline{v}$	vector in the direction of the proposed step
$\Phi$	objective function
$\Phi_1$	objective function at the iteration 1
$\Psi^{(1)}$	objective function at $\underline{\theta}_1 + \rho^{(1)} \underline{v}$

#### REFERENCES

- Abrams, D.S. and J.M. Prausnitz, "Statistical thermodynamics of liquid mixtures: a new expression for the excess Gibbs energy of partly or completely miscible systems," *AIChE J.*, **21**, 116-128 (1975).
- Arce, A., J. Martínez-Ageitos and A. Soto, "VLE for water + ethanol + 1-octanol mixtures. Experimental measurements and correlations," *Fluid Phase Equil.*, **122**, 117-129 (1996).
- Bard, Y., *Nonlinear Parameter Estimation*, Academic Press, New York (1974).
- Barker, J.A., "Determination of Activity Coefficients from Pressure Total Measurements," *Austral. J. Chem.*, **6**, 207-210 (1953).
- Boublik, T., V. Fried and E. Hála, *The Vapor Pressure of Pure Substances*, Elsevier, Amsterdam (1984).
- Camacho-Camacho, L.E., L.A. Galicia-Luna, O. Elizalde-Solis and Z. Martínez-Ramírez, "New isothermal vapor-liquid equilibria for the CO<sub>2</sub> + n-nonane, and CO<sub>2</sub> + n-undecane systems," *Fluid Phase Equilibria*, **259**, 45-50 (2007).
- Clarke, E.C. and D.N. Glew, "Evaluation of the Thermodynamic Functions for Aqueous Sodium Chloride from Equilibrium and Calorimetric Measurements below 154 °C," *J. Phys. Chem. Ref. Data*, **14**, 2, 489-610 (1985).
- Fox, L., *An Introduction to Numerical Linear Algebra*, Oxford Univ. Press (Clarendon), London and New

- York (1964).
- Fredenslund, A., J. Gmehling and P. Rasmussen, *Vapor-Liquid Equilibria Using UNIFAC*, Elsevier, Amsterdam (1977).
- Gmehling, J., *Dortmund Data Bank (DDB) – electrolytes (ELE)*. Oldenburg, Germany: DDBST GmbH (1997).
- Haghtalab, A. and K. Peyvandi, "Electrolyte-UNIQUAC-NRF model for the correlation of the mean activity coefficient of electrolyte solutions," *Fluid Phase Equilibria*, **281**, 163–171 (2009).
- Jödecke, M., A.P.S. Kamps and G. Maurer, "Experimental Investigation of the Influence of NaCl on the Vapor-Liquid Equilibrium of CH<sub>3</sub>OH + H<sub>2</sub>O," *J. Chem. Eng. Data*, **50**, 138–141 (2005).
- Kikic, I., M. Fermeglia and P. Rasmussen, "UNIFAC Prediction of Vapor-Liquid Equilibria in Mixed Solvent-Salt Systems," *Chemical Eng. Science*, **46**, 2775–2780 (1991).
- Kojima, K. and K. Tochigi, *Prediction of Vapor-Liquid Equilibria by the ASOG*, Elsevier, Amsterdam (1979).
- Kurihara, K., M. Nakamichi and K. Kojima, "Isobaric vapor-liquid equilibria for methanol + ethanol + water and the three constituent binary systems," *J. Chem. Eng. Data*, **38**, 446–449 (1993).
- Kurihara, K., T. Minoura, K. Takeda and K. Kojima, "Isothermal Vapor-Liquid Equilibria for Methanol + Ethanol+Water, Methanol+Water, and Ethanol + Water," *J. Chem. Eng. Data*, **40**, 679–684 (1995).
- Lai, H.S., Y. Lin and C.-H. Tu, "Isobaric (vapor + liquid) equilibria for the ternary system of (ethanol + water + 1,3-propanediol) and three constituent binary systems at P = 101.3 kPa," *J. Chem. Thermod.*, **68**, 13–19 (2014).
- Lazzús, J.A., "Optimization of activity coefficient models to describe vapor–liquid equilibrium of (alcohol + water) mixtures using a particle swarm algorithm," *Comp. and Mathem. with Applicat.*, **60**, 2260–2269 (2010).
- Levenberg, K., "A method for the solution of certain nonlinear problems in least squares," *Quart. Appl. Math.*, **2**, 164–168 (1944).
- Loehe, J.R. and M.D. Donohue, "Recent advances in modeling thermodynamic properties of aqueous strong electrolyte systems," *AIChE J.*, **43**, 1, 180–195 (1997).
- Macedo, E.A., P. Skovborg and P. Rasmussen, "Calculation of phase equilibria for solutions of strong electrolytes in solvent-water mixtures," *Chem. Eng. Sci.*, **45**, 875–882 (1990).
- Maquardt, D.W., "An algorithm for least squares estimation of nonlinear parameters," *SIAM J.*, **11**, 431–441 (1963).
- Navarro-Espinosa, I.R., C.A. Cardona and J.A. López, "Experimental measurements of vapor–liquid equilibria at low pressure: Systems containing alcohols, esters and organic acids," *Fluid Phase Equil.*, **287**, 141–145 (2010).
- Niesen, V., A. Palavra, A.J. Kidnay and V.F. Yesavage, "An apparatus for vapor-liquid equilibrium at elevated temperatures and pressures and selected results for the water-ethanol and methanol-ethanol systems," *Fluid Phase Equil.*, **31**, 283–298 (1986).
- Pemberton, R.C. and C.J. Mash, "Thermodynamic properties of aqueous non-electrolyte mixtures II. Vapour pressures and excess Gibbs energies for water + ethanol at 303.15 to 363.15 K determined by an accurate static method," *J. Chem. Thermodynamics*, **10**, 867–888 (1978).
- Prausnitz, J.M., R.N. Lichtenthaler and E.G. Azevêdo, *Molecular Thermodynamics of Fluid Phase Equilibria*, Prentice-Hall (1999).
- Soujanya, J., B. Satyavathi and T.E. Vittal Prasad, "Experimental (vapour + liquid) equilibrium data of (methanol + water + glycerol) and (methanol + glycerol) systems at atmospheric and sub-atmospheric pressures," *J. Chem. Thermo**d.*, **42**, 621–624 (2010).
- Thomsen, K., M.C. Iliuta and P. Rasmussen, "Extended UNIQUAC model for correlation and prediction of vapor–liquid–liquid–solid equilibria in aqueous salt systems containing non-electrolytes. Part B. Alcohol (ethanol, propanols, butanols)–water–salt systems," *Chem. Eng. Sci.*, **59**, 3631–3647 (2004).
- Yang, S. and C.S. Lee, "Vapor-Liquid Equilibria of Water + Methanol in the Presence of Mixed Salts," *J. Chem. Eng. Data*, **43**, 558–561 (1998).
- Yao, J., H. Li and S. Han, "Vapor–liquid equilibrium data for methanol–water–NaCl at 45°C," *Fluid Phase Equil.*, **162**, 253–260 (1999).



# APÊNDICE B – PROGRAMA COMPUTACIONAL VLE

## B.1 Interface gráfica do programa VLE

Form1.ui

```

1 <?xml version="1.0" encoding="UTF-8"?>
2 <ui version="4.0">
3   <class>Form</class>
4   <widget class="QWidget" name="Form">
5     <property name="geometry">
6       <rect>
7         <x>0</x>
8         <y>0</y>
9         <width>800</width>
10        <height>600</height>
11      </rect>
12    </property>
13    <property name="windowTitle">
14      <string>VLE Regression</string>
15    </property>
16    <layout class="QVBoxLayout" name="verticalLayout">
17      <item>
18        <widget class="QLabel" name="label_Description">
19          <property name="text">
20            <string>Regression of VLE data to calculate binary parameters (Aij) of the UNIQUAC
               model</string>
21        </property>
22      </widget>
23    </item>
24    <item>
25      <layout class="QHBoxLayout" name="horizontalLayout_1">
26        <item>
27          <widget class="QLabel" name="label_Datafile">
28            <property name="text">
29              <string>Datafile:</string>
30            </property>
31            <property name="buddy">
32              <cstring>lineEdit_Datafile</cstring>
33            </property>
34          </widget>
35        </item>
36        <item>
37          <widget class=" QLineEdit" name="lineEdit_Datafile" />
38        </item>
39      </item>
40      <item>
41        <widget class="QPushButton" name="pushButton_Browse">
42          <property name="text">
43            <string>& Browse</string>
44          </property>
45        </widget>
46      </item>
47    </layout>
48  </item>
49  <item>
50    <layout class="QHBoxLayout" name="horizontalLayout_2">
51      <item>
52        <widget class="QCheckBox" name="checkBox_FixedAij">
53          <property name="text">
54            <string>Use & Fixed Aij</string>
55          </property>
56        </widget>
57      </item>
58      <item>
59        <widget class=" QLineEdit" name="lineEdit_FixedAij">
60          <property name="enabled">
61            <bool>false</bool>
62          </property>
63        </widget>
64      </item>
65    </layout>
66  </item>
67</ui>
```

```

62     </widget>
63   </item>
64 </layout>
65 </item>
66 <item>
67   <layout class="QHBoxLayout" name="horizontalLayout_3">
68     <item>
69       <widget class="QCheckBox" name="checkBox_TRange">
70         <property name="text">
71           <string>&#xA0;Use only experimental data in the temperature range (oC):</string>
72         </property>
73       </widget>
74     </item>
75     <item>
76       <widget class="QLabel" name="label_TMin">
77         <property name="enabled">
78           <bool>false</bool>
79         </property>
80         <property name="text">
81           <string>Mi&#xA0;nimum =</string>
82         </property>
83         <property name="buddy">
84           <cstring>lineEdit_TMin</cstring>
85         </property>
86       </widget>
87     </item>
88     <item>
89       <widget class=" QLineEdit" name="lineEdit_TMin">
90         <property name="enabled">
91           <bool>false</bool>
92         </property>
93       </widget>
94     </item>
95     <item>
96       <widget class="QLabel" name="label_TMax">
97         <property name="enabled">
98           <bool>false</bool>
99         </property>
100        <property name="text">
101          <string>Ma&#xA0;ximum =</string>
102        </property>
103        <property name="buddy">
104          <cstring>lineEdit_TMax</cstring>
105        </property>
106      </widget>
107    </item>
108    <item>
109      <widget class=" QLineEdit" name="lineEdit_TMax">
110        <property name="enabled">
111          <bool>false</bool>
112        </property>
113      </widget>
114    </item>
115  </layout>
116 </item>
117 <item>
118   <widget class="QTextEdit" name="textEdit" />
119 </item>
120 <item>
121   <layout class="QHBoxLayout" name="horizontalLayout_4">
122     <item>
123       <widget class="QPushButton" name="pushButton_Run">
124         <property name="text">
125           <string>&#xA0;Run</string>
126         </property>
127       </widget>
128     </item>
129     <item>
130       <spacer name="horizontalSpacer">
131         <property name="orientation">
132           <enum>Qt::Horizontal</enum>
133         </property>
134         <property name="sizeHint" stdset="0">
135           <size>
136             <width>40</width>
137             <height>20</height>
138           </size>
139         </property>
140       </spacer>
141     </item>

```

```

142 <item>
143   <widget class="QPushButton" name="pushButton_Exit">
144     <property name="text">
145       <string>&#xA0;Exit</string>
146     </property>
147   </widget>
148 </item>
149 </layout>
150 </item>
151 </layout>
152 </widget>
153 <tabstops>
154   <tabstop>lineEdit_Datafile</tabstop>
155   <tabstop>pushButton_Browse</tabstop>
156   <tabstop>checkBox_FixedAij</tabstop>
157   <tabstop>lineEdit_FixedAij</tabstop>
158   <tabstop>checkBox_TRange</tabstop>
159   <tabstop>lineEdit_TMin</tabstop>
160   <tabstop>lineEdit_TMax</tabstop>
161   <tabstop>textEdit</tabstop>
162   <tabstop>pushButton_Run</tabstop>
163   <tabstop>pushButton_Exit</tabstop>
164 </tabstops>
165 <resources/>
166 <connections/>
167 </ui>
```

## B.2 Código fonte do programa VLE desenvolvido para a correlação de dados de Equilíbrio Líquido-Vapor pelo modelo UNIQUAC Original para sistemas aquosos com sal e álcool

UNIQUAC.py

```

1 #!/usr/bin/env python
2 # -*- coding: utf8 -*-
3 from __future__ import division
4 from PySide.QtGui import QApplication, QDialog, QFileDialog
5 from PySide.QtCore import QFile, QTextStream
6 import sys
7 from numpy import *
8 import matplotlib.pyplot as plt
9
10 import ui_Form
11 import ThermodynamicModels
12 from numpy.f2py.auxfuncs import isarray
13
14 class Form(QDialog, ui_Form.Ui_Form):
15
16     def __init__(self):
17         super(Form, self).__init__()
18         self.setupUi(self)
19         self.textEdit.setStyleSheet('font: 8pt "Courier New";')
20         self.checkBox_FixedAij.stateChanged.connect(self.toggleCheckBox_FixedAij)
21         self.checkBox_TRange.stateChanged.connect(self.toggleCheckBox_TRange)
22         self.pushButton_Browse.clicked.connect(self.browse)
23         self.pushButton_Run.clicked.connect(self.runCalculations)
24         self.pushButton_Exit.clicked.connect(self.exitProgram)
25         self.show()
26
27     def toggleCheckBox_FixedAij(self):
28         flag = self.checkBox_FixedAij.isChecked()
29         self.lineEdit_FixedAij.setEnabled(flag)
30
31     def toggleCheckBox_TRange(self):
32         flag = self.checkBox_TRange.isChecked()
33         self.label_TMin.setEnabled(flag)
34         self.label_TMax.setEnabled(flag)
35         self.lineEdit_TMin.setEnabled(flag)
36         self.lineEdit_TMax.setEnabled(flag)
```

```

38     def browse(self):
39         self.textEdit.clear()
40         fName, _ = QFileDialog.getOpenFileName(self, 'Filename of the dataset', '.', 'Dataset (*.dat);;All files (*.*)')
41         if fName: self.lineEdit_Datafile.setText(fName)
42         return
43
44     def runCalculations(self):
45         fName = self.lineEdit_Datafile.text()
46         if fName.strip() == '': return
47         if not QFile(fName).exists(): return
48         self.nl_regression(fName)
49
50     def exitProgram(self):
51         self.close()
52
53     def printText(self, text):
54         self.textEdit.insertPlainText(text.decode('utf-8'))
55
56     def nl_regression(self, fName):
57         import scipy.stats as stats
58         import scipy.optimize as optimize
59         self.textEdit.clear()
60         def readData(stream): return stream.readLine().split('#')[0].split()
61         f=QFile(fName)
62         f.open(QFile.ReadOnly | QFile.Truncate | QFile.Text)
63         stream = QTextStream(f)
64         self.printText('Datafile:{}\n'.format(fName))
65         Comp = readData(stream); NComp = len(Comp)
66         self.printText('VLE_System:')
67         for i in range(NComp-1):
68             self.printText('({}){}\n'.format(i+1,Comp[i]))
69         self.printText('({}){}\n'.format(NComp,Comp[-1]))
70         EqAntoine, r, q = [], [], []
71         for i in range(NComp):
72             EqAntoine_i = []
73             NEqs = int(readData(stream)[0])
74             if NEqs==0: EqAntoine.append(0.)
75             else:
76                 for j in range(NEqs): EqAntoine_i.append(map(float,readData(stream)))
77                 EqAntoine.append(EqAntoine_i)
78         for eq in EqAntoine:
79             if eq!=0.:
80                 if len(eq)>1:
81                     T0=None
82                     for i in range(len(eq)-1):
83                         T1,T2,T3,T4=eq[i][-2],eq[i][-1],eq[i+1][-2],eq[i+1][-1]
84                         if i>0: eq[i-1][-1]=T0
85                         T0=(T2*(T4-T3)+T3*(T2-T1))/((T4-T3)+(T2-T1))
86                         eq[-2][-1]=T0; eq[-1][-2]=T0
87         for i in range(NComp):
88             line = map(float,readData(stream))
89             r.append(line[0]); q.append(line[1])
90         r = array(r); q = array(q)
91         x, y, PExp, TExp = [], [], [], []
92         for i in range(NComp): x.append([]); y.append([])
93         self.printText('Reference data:\n')
94         NRef, Refs = 1, []
95         while not stream.atEnd():
96             notUse = int(readData(stream)[0])
97             ref = stream.readLine().split('#')[0].strip()
98             SysOrder = map(lambda x: int(x)-1,readData(stream))
99             NPoints = SysOrder.pop()+1
100            SysType = len(SysOrder)
101            NOutOfRange = 0
102            for _ in range(NPoints):
103                line = map(float,readData(stream))
104                if notUse: continue
105                if self.checkBox_TRange.isChecked():
106                    if line[-1]<float(self.lineEdit_TMin.text()) or
107                        line[-1]>float(self.lineEdit_TMax.text()):
108                        NOutOfRange += 1
109                        continue
110                    for i in range(SysType-1):
111                        x[SysOrder[i]].append(line[i])
112                        y[SysOrder[i]].append(line[i+SysType-1])
113                    x[SysOrder[SysType-1]].append(1.-sum(line[0:SysType-1]))
114                    y[SysOrder[SysType-1]].append(1.-sum(line[SysType-1:2*SysType-2]))
115                    for i in set(range(NComp))-set(SysOrder):
116                        x[i].append(0.)

```

```

116         y[i].append(0.)
117         PExp.append(line[-2])
118         TExp.append(line[-1])
119         Refs.append(NRef)
120     if notUse: txtNoUsed = '>>NOT_USED<<'
121     else: txtNoUsed =''
122     if SysType < 1:
123         self.printText( '\n=>ERROR:<=SysType<=2')
124     elif SysType == 2:
125         self.printText( '{:<35}'.format( '{}')_Binary_VLE_System_
126             '{}'.format(NRef,tuple(array(SysOrder)+1)))
127     elif SysType == 3:
128         self.printText( '{:<35}'.format( '{}')_Ternary_VLE_System_
129             '{}'.format(NRef,tuple(array(SysOrder)+1)))
130     elif SysType == 4:
131         self.printText( '{:<35}'.format( '{}')_Quaternary_VLE_System_
132             '{}'.format(NRef,tuple(array(SysOrder)+1)))
133     elif SysType > 4:
134         self.printText( '{:<35}'.format( '{}')_nary_VLE_System_
135             '{}'.format(SysType,tuple(NRef,array(SysOrder)+1)))
136     self.printText( '{:<4g}={:4g}({out_of_T_range})={:4g}points=>{}{}\n'\
137             .format(NPoints,NOutOfRange,NPoints-NOutOfRange,ref,txtNoUsed))
138     NRef += 1
139     f.close()
140     x = array(x).T; y = array(y).T; PExp = array(PExp); TExp = array(TExp); NRef = array(NRef)
141     PSat = []
142     for T in TExp:
143         PSat_i = []
144         for i in range(NComp):
145             if type(EqAntoine[i]) == float: PSat_i.append(0.)
146             else:
147                 eqUsed = False
148                 for eq in EqAntoine[i]:
149                     A,B,C,T1,T2 = eq
150                     if T1<=T<T2:
151                         PSat_i.append(10**((A-B)/(C+T)))
152                         eqUsed = True; break
153                 if eqUsed: continue
154                 self.printText( '\n=>ERROR:<=Impossible to calculate PSat')
155                 self.printText( ' without Antoine Equation({}) for T={} C. '\
156                     .format(Comp[i],T))
157             return
158         PSat.append(PSat_i)
159     PSat = array(PSat)
160     TExp += 273.15 # C => K
161     theta_fixed_i,theta_fixed = [],[]
162     def f_LCtoI(l,c,n):
163         a = l*n+c; return a-a//(n+1)-1
164     def f_ItoLC(i,n):
165         l = i//(n-1); c = i%(n-1)
166         if c>=l: c+=1
167         return l,c
168     if self.checkBox_FixedAij.isChecked():
169         for value in self.lineEdit_FixedAij.text().split(','):
170             lin,col,num = map(eval, value.split())
171             theta_fixed_i.append(f_LCtoI(lin-1,col-1,NComp))
172             theta_fixed.append(num)
173     theta_i = sorted(set(range(NComp*(NComp-1)))-set(theta_fixed_i))
174     def f(X,*theta):
175         for i,num in zip(theta_i,theta): a[f_ItoLC(i,NComp)] = num
176         gamma = ThermodynamicModels.UNIQUAC(r,q,a,X,TExp)
177         return array(map(sum,X*gamma*PSat))
178     def plus_minus(a,b): return a-b,a+b
179     theta0 = (random.rand(NComp*(NComp-1)-len(theta_fixed))*2000-1000.).astype(int).astype(float)
180     N,P = x.shape[0],theta0.shape[0]
181     a = zeros((NComp,NComp))
182     for i,num in zip(theta_fixed_i,theta_fixed): a[f_ItoLC(i,NComp)] = num
183     self.printText( '\nAij=[[')
184     idx = 0
185     for i in range(NComp):
186         for j in range(NComp):
187             if i==j: self.printText( '{:^10}'.format(0))
188             else:
189                 k = f_LCtoI(i,j,NComp)
190                 if k in theta_fixed_i:
191                     self.printText( '{:^10}'.format( '{:7.2f}'.format(theta_fixed[theta_fixed_i.index(k)])))
192                 else:
193                     self.printText( '{:^10}'.format( 'theta[{}].format(idx)); idx+=1
194             if i < NComp-1: self.printText( ']\n')
195             self.printText( ']\nInitial_Guess:\nAij=[[')
196             l=0

```

```

193     for i in range(NComp):
194         for j in range(NComp):
195             if i==j: self.printText(':{^10}'.format(0))
196             else:
197                 k = f_LCtoI(i,j,NComp)
198                 if k in theta_fixed_i:
199                     self.printText(':{^10}'.format(':{7.2f}'.format(theta_fixed[theta_fixed_i.index(k)])))
200                 else:
201                     self.printText(':{^10}'.format(':{7.2f}'.format(theta0[1])))
202                     l += 1
203             if i < NComp-1: self.printText('\n'+'-'*70+'\n')
204         self.printText(']\n')
205     try:
206         theta_optimum,cov_theta_optimum,_,errmsg,_ = optimize.curve_fit(f,x,PExp,theta0,
207             full_output=1)
208     except:
209         self.printText('\n=> NOT_CONVERGED: {} \n'.format(sys.exc_info()[0]))
210         self.printText('\n=> TRY RUNNING AGAIN OR ADD/REMOVE ELV SYSTEMS !!! ')
211         return
212     self.printText('\n=> CONVERGED: \n\nSolution:\nAij=[{} \n'.format(errmsg))
213     for i in range(NComp):
214         for j in range(NComp): self.printText(':{^10}'.format(':{7.2f}'.format(a[i,j])))
215         if i < NComp-1: self.printText('\n'+'-'*70+'\n')
216     if type(cov_theta_optimum) == float:
217         self.printText('\n=> COVARIANCE MATRIX IS INFINITE!\n')
218     return
219 PExp_optimum = f(x,*theta_optimum)
220 # Total Sum of Squares (TSS)
221 TSS_corrected = ((PExp-PExp.mean())**2).sum(); TSS_uncorrected = (PExp**2).sum()
222 # Residual Sum of Squares (RSS) or Sum of Squared Residuals (SSR) or
223 # Sum of Squared Errors of Prediction (SSE)
224 RSS = ((PExp-PExp_optimum)**2).sum()
225 # Explained Sum of Squares (ESS)
226 ESS_uncorrected = TSS_uncorrected-RSS
227 # Mean Total Sum of Squares
228 MST_corrected = TSS_corrected/(N-1)
229 # Mean Residual Sum of Squares
230 MSR = RSS/(N-P)
231 # Mean Explained Sum of Squares
232 MSE_uncorrected = ESS_uncorrected/MSR
233 alpha = 0.05
234 F_critical_uncorrected = stats.f.isf(alpha ,N-P,P)
235 F_value_uncorrected = MSE_uncorrected/MSR
236 Pr_F_value_uncorrected = stats.f.sf(F_value_uncorrected ,N-P,P)
237 s = sqrt(MSR)
238 R2 = 1-RSS/TSS_corrected; R2_bar = 1-MSR/MST_corrected
239 ASE = sqrt(cov_theta_optimum.diagonal())
240 corr_theta_optimum = (cov_theta_optimum/ASE).T/ASE
241 t_critical = stats.t.isf(alpha/2,N-P)
242 t_value = theta_optimum/ASE
243 Pr_tvalue = stats.t.sf(abs(t_value),N-P)*2
244 CI_theta = plus_minus(theta_optimum,t_critical*ASE)
245 self.printText('\nNon-Linear Least Squares Summary Statistics\n\n')
246 self.printText('Function: y={0}\n'.format('UNIQUAC'))
247 self.printText('Source|DF|Sum of Squares|Mean Square|F-value|Pr(>F)\n')
248 self.printText('Regression|{0:4d}|{1:16.6f}|{2:16.6f}|{3:12.6f}|{4:8.6f}\n'.
249     .format(P,ESS_uncorrected,MSE_uncorrected,F_value_uncorrected,Pr_F_value_uncorrected))
250 self.printText('Residual|{0:4d}|{1:16.6f}|{2:16.6f}|{3:12.6f}|{4:8.6f}\n'.
251     .format(N-RSS,MSR))
252 self.printText('Uncorrected Total|{0:4d}|{1:16.6f}|\n'.format(N,TSS_uncorrected))
253 self.printText('Corrected Total|{0:4d}|{1:16.6f}|\n'.format(N-1,TSS_corrected))
254 self.printText('alpha={0:8.6f}|t-critical={1:8.6f}\n'.format(alpha,t_critical))
255 self.printText('s={0:8.6f}|R-sq={1:8.6f}|R-sq(adj)={2:8.6f}\n'.format(s,R2,R2_bar))
256 self.printText('Parameter|Estimate|Asymptotic|t-value|Pr(|t|)<
257 |Asymptotic|{0:2.0%}\n'.format(1-alpha))
258 self.printText('Std. Error|Confidence Interval\n')
259 self.printText('Lower|Upper\n')
260 for i in range(P):
261     self.printText('{0:10s}|{1:16.6f}|{2:20.6f}|{3:12.6f}|{4:8.6f}|{5:23.6f}|{6:23.6f}\n'.
262     .format('theta[{0}]'.format(i),theta_optimum[i],ASE[i],t_value[i],Pr_tvalue[i],CI_theta[0][i],CI_theta[1][i])
263 self.printText('\nParameter|Correlation Matrix\n')
264 for i in range(P):
265     self.printText('{0:11s}'.format('|theta[{0}]'.format(i)))
266 for i in range(P):
267     self.printText('\n{0:10s}'.format('theta[{0}]'.format(i)))
268     for j in range(P):

```

```

268         self.printText('|\u0000{0:9.6f}'.format(corr_theta_optimum[i][j]))
269     Gamma = ThermodynamicModels.UNIQUAC(r,q,a,x,TExp)
270     PCalc = array(map(sum,x*Gamma*PSat))
271     dP = abs(PExp-PCalc)
272     yCalc = ((x*Gamma*PSat).T/array(map(sum,x*ThermodynamicModels.UNIQUAC(r,q,a,x,TExp)*PSat))).T
273     dy = abs(y-yCalc)
274     sum_dyRel, yNull = [], []
275     for i in range(NComp-1): sum_dyRel.append(0.); yNull.append(0)
276     for i in range(N):
277         for j in range(NComp-1):
278             if y[i,j] == 0.: yNull[j] += 1
279             else: sum_dyRel[j] += dy[i,j]/y[i,j]
280     for i in range(NComp-1):
281         self.printText('\n\nMaximum deviation of y{}|\u0000{:8.6f}\n'.format(i+1,max(dy[:,i])))
282         self.printText('Average absolute deviation of y{}|\u0000{:8.6f}\n'.format(i+1,sum(dy[:,i])/N))
283         self.printText('Average relative deviation of y{}|\u0000({}null points){:5.2%}\n'.format(i+1,yNull[i],sum_dyRel[i]/N))
284     self.printText('\n\nMaximum deviation of Pressure|\u0000{:7.2f}\n'.format(max(dP)))
285     self.printText('Average absolute deviation of Pressure|\u0000{:7.2f}\n'.format(sum(dP)/N))
286     self.printText('Average relative deviation of Pressure|\u0000{:5.2%}\n\nReference|\u0000'.format(sum(dP/PExp)/N))
287     for i in range(NComp-1):
288         self.printText('|\u0000{0}|\u0000'.format(i+1))
289     for i in range(NComp-1):
290         self.printText('|\u0000y{0}Exp|\u0000|\u0000y{0}Calc|\u0000=abs(dy{0})|\u0000'.format(i+1))
291         self.printText('|\u0000PExp|\u0000|\u0000PCalc|\u0000=abs(dP)|\u0000(mmHg)|\u0000TExp|\u0000(C)\n')
292     for i in range(N):
293         self.printText('|\u0000{:^10}|\u0000'.format(Refs[i]))
294     for j in range(NComp-1): self.printText('|\u0000{:8.6f}|\u0000'.format(x[i,j]))
295     for j in range(NComp-1):
296         self.printText('|\u0000{:8.6f}-{:8.6f}|\u0000{:8.6f}|\u0000'.format(y[i,j],yCalc[i,j],dy[i,j]))
297         self.printText('|\u0000{:9.2f}-{:9.2f}|\u0000{:9.2f}|\u0000|\u0000{:7.3f}\n'.format(PExp[i],PCalc[i],dP[i],TExp[i]-273.15))
298     self.printText('\nGammal|\u0000')
299     for i in range(NComp-1):
300         self.printText('Gamma{}|\u0000'.format(i+2))
301     for i in range(NComp):
302         self.printText('PSat{}|\u0000'.format(i+1))
303     self.printText('PExp|\u0000|\u0000T|\u0000(C)\n')
304     for i in range(N):
305         for j in range(NComp):
306             self.printText('|\u0000{:9.5f}|\u0000'.format(Gamma[i,j]))
307             for j in range(NComp):
308                 self.printText('|\u0000{:9.2f}|\u0000'.format(PSat[i,j]))
309                 self.printText('|\u0000{:7.2f}-{:7.3f}|\u0000'.format(PExp[i],TExp[i]-173.15))
310     return
311
312
313
314
315 def main():
316     app = QApplication(sys.argv)
317     _ = Form()
318     sys.exit(app.exec_())
319
320
321 if __name__ == '__main__':
322     main()

```



# APÊNDICE C – PROGRAMA COMPUTACIONAL JAFOSSMS

## C.1 Interface gráfica do programa JAFOSSMS

Form2.ui

```

1 <?xml version="1.0" encoding="UTF-8"?>
2 <ui version="4.0">
3   <class>Form</class>
4   <widget class="QWidget" name="Form">
5     <property name="geometry">
6       <rect>
7         <x>0</x>
8         <y>0</y>
9         <width>752</width>
10        <height>485</height>
11      </rect>
12    </property>
13    <property name="sizePolicy">
14      <sizepolicy hszetype="Minimum" vsizetype="Minimum">
15        <horstretch>0</horstretch>
16        <verstretch>0</verstretch>
17      </sizepolicy>
18    </property>
19    <property name="windowTitle">
20      <string>JAFO Salt Solubilities in Mixed Solvents (JAFOSSMS)</string>
21    </property>
22    <layout class="QVBoxLayout" name="verticalLayout_6">
23      <item>
24        <layout class="QHBoxLayout" name="horizontalLayout_Datafile">
25          <item>
26            <widget class="QLabel" name="label_Datafile">
27              <property name="font">
28                <font>
29                  <family>Ubuntu</family>
30                  <pointsize>11</pointsize>
31                </font>
32              </property>
33              <property name="text">
34                <string>& Datafile:</string>
35              </property>
36              <property name="buddy">
37                <cstring>lineEdit_Datafile</cstring>
38              </property>
39            </widget>
40          </item>
41        <item>
42          <widget class=" QLineEdit" name="lineEdit_Datafile">
43            <property name="font">
44              <font>
45                <family>Ubuntu</family>
46                <pointsize>11</pointsize>
47              </font>
48            </property>
49          </widget>
50        </item>
51      <item>
52        <widget class="QPushButton" name="pushButton_Datafile_Browse">
53          <property name="font">
54            <font>
55              <family>Ubuntu</family>
56              <pointsize>11</pointsize>
57            </font>
58          </property>
59          <property name="text">
60            <string>& Browse</string>
61          </property>

```

```

62      </widget>
63    </item>
64  </layout>
65 </item>
66 <item>
67   <widget class="QTabWidget" name="tabWidget_1">
68     <property name="enabled">
69       <bool>false</bool>
70     </property>
71     <property name="font">
72       <font>
73         <family>Ubuntu</family>
74       </font>
75     </property>
76     <property name="currentIndex">
77       <number>0</number>
78     </property>
79   <widget class="QWidget" name="tab_GeneralReport">
80     <attribute name="title">
81       <string>GENERAL &&REPORT</string>
82     </attribute>
83     <layout class="QVBoxLayout" name="verticalLayout_4">
84       <item>
85         <widget class="QTextEdit" name="textEdit_GeneralReport" />
86       </item>
87       <item>
88         <layout class="QHBoxLayout" name="horizontalLayout_Save_Print_GeneralReport">
89           <item>
90             <widget class="QPushButton" name="pushButton_SaveGeneralReport">
91               <property name="text">
92                 <string>Sa&&ve General Report</string>
93               </property>
94             </widget>
95           </item>
96           <item>
97             <widget class="QPushButton" name="pushButton_PrintGeneralReport">
98               <property name="text">
99                 <string>&& Print General Report</string>
100               </property>
101             </widget>
102           </item>
103         </layout>
104       </item>
105     </layout>
106   </widget>
107   <widget class="QWidget" name="tab_SingleSolvent">
108     <attribute name="title">
109       <string>&& SINGLE SOLVENT</string>
110     </attribute>
111     <layout class="QVBoxLayout" name="verticalLayout_2">
112       <item>
113         <layout class="QGridLayout" name="gridLayout_Plot1">
114           <item row="0" column="1">
115             <layout class="QHBoxLayout" name="horizontalLayout_Plot1_Oordinate">
116               <item>
117                 <widget class="QLabel" name="label_Plot1_Oordinate_1">
118                   <property name="font">
119                     <font>
120                       <weight>75</weight>
121                       <bold>true</bold>
122                     </font>
123                   </property>
124                   <property name="text">
125                     <string>Oordinate: </string>
126                   </property>
127                 </widget>
128               </item>
129             <item>
130               <widget class="QComboBox" name="comboBox_Plot1_Oordinate_Concentration">
131                 <property name="font">
132                   <font>
133                     <pointsize>11</pointsize>
134                   </font>
135                 </property>
136               <item>
137                 <property name="text">
138                   <string>Molarity</string>
139                 </property>
140               </item>
141             <item>
```

```
142     <property name="text">
143         <string>Molarity</string>
144     </property>
145     </item>
146     <item>
147         <property name="text">
148             <string>Molar Fraction</string>
149         </property>
150     </item>
151     <item>
152         <property name="text">
153             <string>Mass Fraction</string>
154         </property>
155     </item>
156     </widget>
157 </item>
158 <item>
159     <widget class="QLabel" name="label_Plot1_Ordinate_2">
160         <property name="font">
161             <font>
162                 <pointsize>11</pointsize>
163             </font>
164         </property>
165         <property name="text">
166             <string>of Salt in</string>
167         </property>
168     </widget>
169 </item>
170 <item>
171     <widget class="QComboBox" name="comboBox_Plot1_Ordinate_Solvent">
172         <property name="font">
173             <font>
174                 <pointsize>11</pointsize>
175             </font>
176         </property>
177     <item>
178         <property name="text">
179             <string>Water</string>
180         </property>
181     </item>
182     <item>
183         <property name="text">
184             <string>MEC</string>
185         </property>
186     </item>
187     </widget>
188 </item>
189 <item>
190     <spacer name="horizontalSpacer_Plot1_Ordinate">
191         <property name="font">
192             <font>
193                 <pointsize>11</pointsize>
194             </font>
195         </property>
196         <property name="orientation">
197             <enum>Qt::Horizontal</enum>
198         </property>
199         <property name="sizeHint" stdset="0">
200             <size>
201                 <width>40</width>
202                 <height>20</height>
203             </size>
204         </property>
205     </spacer>
206 </item>
207 </layout>
208 </item>
209 <item row="0" column="0" rowspan="2">
210     <widget class="QPushButton" name="pushButton_Plot1">
211         <property name="sizePolicy">
212             <sizepolicy hsizetype="Minimum" vsize type="Expanding">
213                 <horstretch>0</horstretch>
214                 <verstretch>0</verstretch>
215             </sizepolicy>
216         </property>
217         <property name="font">
218             <font>
219                 <pointsize>11</pointsize>
220                 <weight>75</weight>
221                 <bold>true</bold>
```

```

222     </font>
223   </property>
224   <property name="text">
225     <string>Plot 1</string>
226   </property>
227   </widget>
228 </item>
229 <item row="1" column="1">
230   <layout class="QHBoxLayout" name="horizontalLayout_Plot1_Abscissa">
231     <item>
232       <widget class="QLabel" name="label_Plot1_Abscissa_1">
233         <property name="font">
234           <font>
235             <weight>75</weight>
236             <bold>true</bold>
237           </font>
238         </property>
239         <property name="text">
240           <string>Abscissa:</string>
241         </property>
242       </widget>
243     </item>
244     <item>
245       <widget class="QLabel" name="label_Plot1_Abscissa_2">
246         <property name="font">
247           <font>
248             <pointsize>11</pointsize>
249           </font>
250         </property>
251         <property name="text">
252           <string>Temperature in</string>
253         </property>
254       </widget>
255     </item>
256     <item>
257       <widget class="QComboBox" name="comboBox_Plot1_Abscissa_Temperature">
258         <property name="font">
259           <font>
260             <pointsize>11</pointsize>
261           </font>
262         </property>
263       </item>
264       <item>
265         <property name="text">
266           <string>Kelvins</string>
267         </property>
268       </item>
269       <item>
270         <property name="text">
271           <string>Degrees Celsius</string>
272         </property>
273       </item>
274       <item>
275         <property name="text">
276           <string>Degrees Rankine</string>
277         </property>
278       </item>
279       <item>
280         <property name="text">
281           <string>Degrees Fahrenheit</string>
282         </property>
283       </item>
284     </widget>
285   </item>
286   <spacer name="horizontalSpacer_Plot1_Abscissa">
287     <property name="orientation">
288       <enum>Qt::Horizontal</enum>
289     </property>
290     <property name="sizeHint" stdset="0">
291       <size>
292         <width>40</width>
293         <height>20</height>
294       </size>
295     </property>
296   </spacer>
297 </item>
298 </layout>
299 </item>
300 </layout>
301 </item>

```

```

302 <item>
303   <spacer name="verticalSpacer_SingleSolvent">
304     <property name="orientation">
305       <enum>Qt::Vertical</enum>
306     </property>
307     <property name="sizeHint" stdset="0">
308       <size>
309         <width>20</width>
310         <height>40</height>
311       </size>
312     </property>
313   </spacer>
314 </item>
315 </layout>
316 </widget>
317 <widget class="QWidget" name="tab_MixedSolvents">
318   <attribute name="title">
319     <string>&#xA0;MIXED SOLVENTS</string>
320   </attribute>
321   <layout class="QVBoxLayout" name="verticalLayout">
322     <item>
323       <layout class="QHBoxLayout" name="horizontalLayout_Isotherms">
324         <item>
325           <widget class="QLabel" name="label_Isotherms_1">
326             <property name="font">
327               <font>
328                 <family>Ubuntu</family>
329                 <pointsize>11</pointsize>
330                 <italic>true</italic>
331               </font>
332             </property>
333             <property name="text">
334               <string>&#xA0;Isotherms for</string>
335             </property>
336             <property name="buddy">
337               <cstring>lineEdit_Isotherms</cstring>
338             </property>
339           </widget>
340         </item>
341         <item>
342           <widget class="QComboBox" name="comboBox_Isotherms_Mode">
343             <property name="font">
344               <font>
345                 <family>Ubuntu</family>
346                 <italic>true</italic>
347               </font>
348             </property>
349             <item>
350               <property name="text">
351                 <string>Regression</string>
352               </property>
353             </item>
354             <item>
355               <property name="text">
356                 <string>Prediction</string>
357               </property>
358             </item>
359           </widget>
360         </item>
361         <item>
362           <widget class="QLabel" name="label_Isotherms_2">
363             <property name="font">
364               <font>
365                 <family>Ubuntu</family>
366               </font>
367             </property>
368             <property name="text">
369               <string>in</string>
370             </property>
371           </widget>
372         </item>
373         <item>
374           <widget class="QComboBox" name="comboBox_Isotherms_Temperature">
375             <property name="font">
376               <font>
377                 <family>Ubuntu</family>
378                 <pointsize>11</pointsize>
379               </font>
380             </property>
381           <item>

```

```
382 <property name="text">
383   <string>Kelvins</string>
384 </property>
385 </item>
386 <item>
387   <property name="text">
388     <string>Degrees Celsius</string>
389   </property>
390 </item>
391 <item>
392   <property name="text">
393     <string>Degrees Rankine</string>
394   </property>
395 </item>
396 <item>
397   <property name="text">
398     <string>Degrees Fahrenheit</string>
399   </property>
400 </item>
401 </widget>
402 </item>
403 <item>
404   <widget class="QLineEdit" name="lineEdit_Isotherms">
405     <property name="font">
406       <font>
407         <family>Ubuntu</family>
408         <pointsize>11</pointsize>
409       </font>
410     </property>
411   </widget>
412 </item>
413 <item>
414   <widget class="QPushButton" name="pushButton_Isotherms_Choose">
415     <property name="font">
416       <font>
417         <family>Ubuntu</family>
418         <pointsize>11</pointsize>
419       </font>
420     </property>
421     <property name="text">
422       <string>&amp; Choose</string>
423     </property>
424   </widget>
425 </item>
426 </layout>
427 </item>
428 <item>
429   <widget class="QGroupBox" name="groupBox_Plots">
430     <property name="enabled">
431       <bool>false</bool>
432     </property>
433     <property name="font">
434       <font>
435         <family>Ubuntu</family>
436       </font>
437     </property>
438     <property name="title">
439       <string>Plots:</string>
440     </property>
441   <layout class="QVBoxLayout" name="verticalLayout_3">
442     <item>
443       <layout class="QGridLayout" name="gridLayout_Plot2">
444         <item row="0" column="0" rowspan="2">
445           <widget class="QPushButton" name="pushButton_Plot2">
446             <property name="sizePolicy">
447               <sizepolicy hsizeType="Minimum" vsizeType="Expanding">
448                 <horstretch>0</horstretch>
449                 <verstretch>0</verstretch>
450               </sizepolicy>
451             </property>
452             <property name="font">
453               <font>
454                 <family>Ubuntu</family>
455                 <pointsize>11</pointsize>
456                 <weight>75</weight>
457                 <bold>true</bold>
458               </font>
459             </property>
460             <property name="text">
461               <string>Plot &amp; 2</string>
```

```

462         </property>
463     </widget>
464   </item>
465   <item row="1" column="1">
466     <layout class="QHBoxLayout" name="horizontalLayout_Plot2_Abscissa">
467       <item>
468         <widget class="QLabel" name="label_Plot2_Abscissa_1">
469           <property name="font">
470             <font>
471               <family>Ubuntu</family>
472               <weight>75</weight>
473               <bold>true</bold>
474             </font>
475           </property>
476           <property name="text">
477             <string>Abscissa:</string>
478           </property>
479         </widget>
480       </item>
481       <item>
482         <widget class="QLabel" name="label_Plot2_Abscissa_2">
483           <property name="font">
484             <font>
485               <family>Ubuntu</family>
486               <pointsize>11</pointsize>
487             </font>
488           </property>
489           <property name="text">
490             <string>Salt-free</string>
491           </property>
492         </widget>
493       </item>
494       <item>
495         <widget class="QComboBox" name="comboBox_Plot2_Abscissa_Concentration">
496           <property name="font">
497             <font>
498               <family>Ubuntu</family>
499               <pointsize>11</pointsize>
500             </font>
501           </property>
502         </item>
503         <item>
504           <property name="text">
505             <string>Molar</string>
506           </property>
507         </item>
508         <item>
509           <property name="text">
510             <string>Massic</string>
511           </property>
512         </item>
513       </item>
514       <item>
515         <widget class="QLabel" name="label_Plot2_Abscissa_3">
516           <property name="font">
517             <font>
518               <family>Ubuntu</family>
519               <pointsize>11</pointsize>
520             </font>
521           </property>
522           <property name="text">
523             <string>Fraction of</string>
524           </property>
525         </widget>
526       </item>
527       <item>
528         <widget class="QComboBox" name="comboBox_Plot2_Abscissa_Solvent">
529           <property name="font">
530             <font>
531               <family>Ubuntu</family>
532               <pointsize>11</pointsize>
533             </font>
534           </property>
535         </item>
536         <item>
537           <property name="text">
538             <string>MEG</string>
539           </property>
540         </item>
541       <item>
542         <property name="text">

```

```

542         <string>Water</string>
543     </property>
544   </item>
545 </widget>
546 </item>
547 <spacer name="horizontalSpacer_Plot2_Abscissa">
548   <property name="font">
549     <font>
550       <family>Ubuntu</family>
551     </font>
552   </property>
553   <property name="orientation">
554     <enum>Qt::Horizontal</enum>
555   </property>
556   <property name="sizeHint" stdset="0">
557     <size>
558       <width>40</width>
559       <height>20</height>
560     </size>
561   </property>
562 </spacer>
563 </item>
564 </layout>
565 </item>
566 <item row="0" column="1">
567   <layout class="QHBoxLayout" name="horizontalLayout_Plot2_Ordinate">
568     <item>
569       <widget class="QLabel" name="label_Plot2_Ordinate_1">
570         <property name="font">
571           <font>
572             <family>Ubuntu</family>
573             <weight>75</weight>
574             <bold>true</bold>
575           </font>
576         </property>
577         <property name="text">
578           <string>Ordinate: </string>
579         </property>
580       </widget>
581     </item>
582   </item>
583 <item>
584   <widget class="QComboBox" name="comboBox_Plot2_Ordinate_Concentration">
585     <property name="font">
586       <font>
587         <family>Ubuntu</family>
588         <pointsize>11</pointsize>
589       </font>
590     </property>
591   <item>
592     <property name="text">
593       <string>Molality</string>
594     </property>
595   </item>
596   <item>
597     <property name="text">
598       <string>Molarity</string>
599     </property>
600   </item>
601   <item>
602     <property name="text">
603       <string>Molar Fraction</string>
604     </property>
605   </item>
606   <item>
607     <property name="text">
608       <string>Mass Fraction</string>
609     </property>
610   </item>
611 </widget>
612 </item>
613 <item>
614   <widget class="QLabel" name="label_Plot2_Ordinate_2">
615     <property name="font">
616       <font>
617         <family>Ubuntu</family>
618         <pointsize>11</pointsize>
619       </font>
620     </property>
621     <property name="text">

```

```
622         <string>of Salt in Mixed Solvents</string>
623     </property>
624     </widget>
625   </item>
626   <item>
627     <spacer name="horizontalSpacer_Plot2_Ordinate">
628       <property name="font">
629         <font>
630           <family>Ubuntu</family>
631         </font>
632       </property>
633       <property name="orientation">
634         <enum>Qt::Horizontal</enum>
635       </property>
636       <property name="sizeHint" stdset="0">
637         <size>
638           <width>40</width>
639           <height>20</height>
640         </size>
641       </property>
642     </spacer>
643   </item>
644   </layout>
645 </item>
646 </layout>
647 </item>
648 <item>
649   <widget class="Line" name="line_Plots_1">
650     <property name="font">
651       <font>
652         <family>Ubuntu</family>
653       </font>
654     </property>
655     <property name="orientation">
656       <enum>Qt::Horizontal</enum>
657     </property>
658   </widget>
659 </item>
660 <item>
661   <layout class="QGridLayout" name="gridLayout_Plot3">
662     <item row="0" column="1">
663       <layout class="QHBoxLayout" name="horizontalLayout_Plot3_Ordinate">
664         <item>
665           <widget class="QLabel" name="label_Plot3_Ordinate_1">
666             <property name="font">
667               <font>
668                 <family>Ubuntu</family>
669                 <weight>75</weight>
670                 <bold>true</bold>
671               </font>
672             </property>
673             <property name="text">
674               <string>Ordinate: </string>
675             </property>
676           </widget>
677         </item>
678         <item>
679           <widget class="QComboBox" name="comboBox_Plot3_Ordinate_Function">
680             <property name="font">
681               <font>
682                 <family>Ubuntu</family>
683                 <pointsize>11</pointsize>
684               </font>
685             </property>
686           <item>
687             <property name="text">
688               <string>Activity Coefficient</string>
689             </property>
690           </item>
691         <item>
692           <property name="text">
693             <string>Logarithmic Activity Coefficient</string>
694           </property>
695         </item>
696       </widget>
697     </item>
698   <item>
699     <widget class="QLabel" name="label_Plot3_Ordinate_2">
700       <property name="font">
701         <font>
```

```

702         <family>Ubuntu</family>
703         <fontsize>11</fontsize>
704     </font>
705   </property>
706   <property name="text">
707     <string>of Salt in Mixed Solvents</string>
708   </property>
709 </widget>
710 </item>
711 <item>
712   <spacer name="horizontalSpacer_Plot3_Ordinate">
713     <property name="font">
714       <font>
715         <family>Ubuntu</family>
716         <fontsize>11</fontsize>
717       </font>
718     </property>
719     <property name="orientation">
720       <enum>Qt::Horizontal</enum>
721     </property>
722     <property name="sizeHint" stdset="0">
723       <size>
724         <width>40</width>
725         <height>20</height>
726       </size>
727     </property>
728   </spacer>
729 </item>
730 </layout>
731 </item>
732 <item row="0" column="0" rowspan="2">
733   <widget class="QPushButton" name="pushButton_Plot3">
734     <property name="sizePolicy">
735       <sizepolicy hsztype="Minimum" vsizetype="Expanding">
736         <horstretch>0</horstretch>
737         <verstretch>0</verstretch>
738       </sizepolicy>
739     </property>
740     <property name="font">
741       <font>
742         <family>Ubuntu</family>
743         <fontsize>11</fontsize>
744         <weight>75</weight>
745         <bold>true</bold>
746       </font>
747     </property>
748     <property name="text">
749       <string>Plot &#3;</string>
750     </property>
751   </widget>
752 </item>
753 <item row="1" column="1">
754   <layout class="QHBoxLayout" name="horizontalLayout_Plot3_Abscissa">
755     <item>
756       <widget class="QLabel" name="label_Plot3_Abscissa_1">
757         <property name="font">
758           <font>
759             <family>Ubuntu</family>
760             <weight>75</weight>
761             <bold>true</bold>
762           </font>
763         </property>
764         <property name="text">
765           <string>Abscissa:</string>
766         </property>
767       </widget>
768     </item>
769     <item>
770       <widget class="QLabel" name="label_Plot3_Abscissa_2">
771         <property name="font">
772           <font>
773             <family>Ubuntu</family>
774             <fontsize>11</fontsize>
775           </font>
776         </property>
777         <property name="text">
778           <string>Salt-free</string>
779         </property>
780       </widget>
781     </item>

```

```

782     <item>
783         <widget class="QComboBox" name="comboBox_Plot3_Abscissa_Concentration">
784             <property name="font">
785                 <font>
786                     <family>Ubuntu</family>
787                     <pointsize>11</pointsize>
788                 </font>
789             </property>
790         </item>
791         <property name="text">
792             <string>Molar</string>
793         </property>
794     </item>
795     <item>
796         <property name="text">
797             <string>Massic</string>
798         </property>
799     </item>
800     </widget>
801 </item>
802 <item>
803     <widget class="QLabel" name="label_Plot3_Abscissa_3">
804         <property name="font">
805             <font>
806                 <family>Ubuntu</family>
807                 <pointsize>11</pointsize>
808             </font>
809         </property>
810         <property name="text">
811             <string>Fraction of</string>
812         </property>
813     </widget>
814 </item>
815 <item>
816     <widget class="QComboBox" name="comboBox_Plot3_Abscissa_Solvent">
817         <property name="font">
818             <font>
819                 <family>Ubuntu</family>
820                 <pointsize>11</pointsize>
821             </font>
822         </property>
823     <item>
824         <property name="text">
825             <string>MEG</string>
826         </property>
827     </item>
828     <item>
829         <property name="text">
830             <string>Water</string>
831         </property>
832     </item>
833     </widget>
834 </item>
835 <item>
836     <spacer name="horizontalSpacer_Plot3_Abscissa">
837         <property name="font">
838             <font>
839                 <family>Ubuntu</family>
840             </font>
841         </property>
842         <property name="orientation">
843             <enum>Qt::Horizontal</enum>
844         </property>
845         <property name="sizeHint" stdset="0">
846             <size>
847                 <width>40</width>
848                 <height>20</height>
849             </size>
850         </property>
851     </spacer>
852 </item>
853 </layout>
854 </item>
855 </layout>
856 </item>
857 <item>
858     <widget class="Line" name="line_Plots_2">
859         <property name="font">
860             <font>
861                 <family>Ubuntu</family>

```

```

862     </font>
863   </property>
864   <property name="orientation">
865     <enum>Qt::Horizontal</enum>
866   </property>
867   </widget>
868 </item>
869 <item>
870   <layout class="QGridLayout" name="gridLayout_Plot4">
871     <item row="0" column="1">
872       <layout class="QHBoxLayout" name="horizontalLayout_Plot4_Ordinate">
873         <item>
874           <widget class="QLabel" name="label_Plot4_Ordinate_1">
875             <property name="font">
876               <font>
877                 <family>Ubuntu</family>
878                 <weight>75</weight>
879                 <bold>true</bold>
880               </font>
881             </property>
882             <property name="text">
883               <string>Ordinate: </string>
884             </property>
885           </widget>
886         </item>
887       <item>
888         <widget class="QComboBox" name="comboBox_Plot4_Ordinate_ExcessFunction">
889           <property name="font">
890             <font>
891               <family>Ubuntu</family>
892               <pointsize>11</pointsize>
893             </font>
894           </property>
895         </item>
896         <property name="text">
897           <string>Excess Standard Chemical Potential</string>
898         </property>
899       </item>
900       <item>
901         <property name="text">
902           <string>Excess Logarithmic Activity Coefficient</string>
903         </property>
904       </item>
905       <item>
906         <property name="text">
907           <string>Excess Logarithmic Molality</string>
908         </property>
909       </item>
910       </widget>
911     </item>
912   <item>
913     <widget class="QLabel" name="label_Plot4_Ordinate_2">
914       <property name="font">
915         <font>
916           <family>Ubuntu</family>
917           <pointsize>11</pointsize>
918         </font>
919       </property>
920       <property name="text">
921         <string>of Salt in Mixed Solvents</string>
922       </property>
923     </widget>
924   </item>
925 <item>
926   <spacer name="horizontalSpacer_Plot4_Ordinate">
927     <property name="font">
928       <font>
929         <family>Ubuntu</family>
930         <pointsize>11</pointsize>
931       </font>
932     </property>
933     <property name="orientation">
934       <enum>Qt::Horizontal</enum>
935     </property>
936     <property name="sizeHint" stdset="0">
937       <size>
938         <width>40</width>
939         <height>20</height>
940       </size>
941     </property>

```

```

942         </spacer>
943     </item>
944   </layout>
945 </item>
946 <item row="0" column="0" rowspan="2">
947   <widget class="QPushButton" name="pushButton_Plot4">
948     <property name="sizePolicy">
949       <sizepolicy hsizetype="Minimum" vsizetype="Expanding">
950         <horstretch>0</horstretch>
951         <verstretch>0</verstretch>
952     </sizepolicy>
953   </property>
954   <property name="font">
955     <font>
956       <family>Ubuntu</family>
957       <pointsize>11</pointsize>
958       <weight>75</weight>
959       <bold>true</bold>
960     </font>
961   </property>
962   <property name="text">
963     <string>Plot &amp;#4;</string>
964   </property>
965 </widget>
966 </item>
967 <item row="1" column="1">
968   <layout class="QHBoxLayout" name="horizontalLayout_Plot4_Abscissa">
969     <item>
970       <widget class="QLabel" name="label_Plot4_Abscissa_1">
971         <property name="font">
972           <font>
973             <family>Ubuntu</family>
974             <weight>75</weight>
975             <bold>true</bold>
976           </font>
977         </property>
978         <property name="text">
979           <string>Abscissa:</string>
980         </property>
981       </widget>
982     </item>
983     <item>
984       <widget class="QLabel" name="label_Plot4_Abscissa_2">
985         <property name="font">
986           <font>
987             <family>Ubuntu</family>
988             <pointsize>11</pointsize>
989           </font>
990         </property>
991         <property name="text">
992           <string>Salt-free</string>
993         </property>
994       </widget>
995     </item>
996     <item>
997       <widget class="QComboBox" name="comboBox_Plot4_Abscissa_Concentration">
998         <property name="font">
999           <font>
1000             <family>Ubuntu</family>
1001             <pointsize>11</pointsize>
1002           </font>
1003         </property>
1004       <item>
1005         <property name="text">
1006           <string>Molar</string>
1007         </property>
1008       </item>
1009       <item>
1010         <property name="text">
1011           <string>Massic</string>
1012         </property>
1013       </item>
1014     </widget>
1015   </item>
1016   <item>
1017     <widget class="QLabel" name="label_Plot4_Abscissa_3">
1018       <property name="font">
1019         <font>
1020           <family>Ubuntu</family>
1021           <pointsize>11</pointsize>

```

```

1022         </font>
1023     </property>
1024     <property name="text">
1025         <string>Fraction of</string>
1026     </property>
1027     </widget>
1028 </item>
1029 <item>
1030     <widget class="QComboBox" name="comboBox_Plot4_Abscissa_Solvent">
1031         <property name="font">
1032             <font>
1033                 <family>Ubuntu</family>
1034                 <pointsize>11</pointsize>
1035             </font>
1036         </property>
1037     </item>
1038     <property name="text">
1039         <string>MEG</string>
1040     </property>
1041     </item>
1042     <item>
1043         <property name="text">
1044             <string>Water</string>
1045         </property>
1046     </item>
1047     </widget>
1048 </item>
1049 <item>
1050     <spacer name="horizontalSpacer_Plot4_Abscissa">
1051         <property name="font">
1052             <font>
1053                 <family>Ubuntu</family>
1054             </font>
1055         </property>
1056         <property name="orientation">
1057             <enum>Qt::Horizontal</enum>
1058         </property>
1059         <property name="sizeHint" stdset="0">
1060             <size>
1061                 <width>40</width>
1062                 <height>20</height>
1063             </size>
1064         </property>
1065     </spacer>
1066     </item>
1067     </layout>
1068 </item>
1069 </layout>
1070 </item>
1071 </layout>
1072 </widget>
1073 </item>
1074 <item>
1075     <spacer name="verticalSpacer_MixedSolvents">
1076         <property name="font">
1077             <font>
1078                 <family>Ubuntu</family>
1079             </font>
1080         </property>
1081         <property name="orientation">
1082             <enum>Qt::Vertical</enum>
1083         </property>
1084         <property name="sizeHint" stdset="0">
1085             <size>
1086                 <width>20</width>
1087                 <height>40</height>
1088             </size>
1089         </property>
1090     </spacer>
1091     </item>
1092     </layout>
1093 </widget>
1094 <widget class="QWidget" name="tab_GraphicAndStatistics">
1095     <attribute name="title">
1096         <string>&GRAPHIC AND STATISTICS</string>
1097     </attribute>
1098     <layout class="QVBoxLayout" name="verticalLayout_8">
1099         <item>
1100             <widget class="QSplitter" name="splitter_GraphicAndStatistics">
1101                 <property name="orientation">
```

```

1102     <enum>Qt::Horizontal</enum>
1103   </property>
1104   <widget class="QWidget" name="layoutWidget">
1105     <layout class="QVBoxLayout" name="verticalLayout_Graphic">
1106       <item>
1107         <widget class="MplWidget" name="mplWidget_Graphic" native="true">
1108           <property name="enabled">
1109             <bool>false</bool>
1110           </property>
1111           <property name="sizePolicy">
1112             <sizepolicy hszotype="Expanding" vszotype="Expanding">
1113               <horstretch>0</horstretch>
1114               <verstretch>0</verstretch>
1115             </sizepolicy>
1116           </property>
1117         </widget>
1118       </item>
1119       <item>
1120         <layout class="QHBoxLayout" name="horizontalLayout_Graphic">
1121           <item>
1122             <widget class="QCheckBox" name="checkBox_Graphic">
1123               <property name="enabled">
1124                 <bool>false</bool>
1125               </property>
1126               <property name="text">
1127                 <string>Show Navigation Toolbar</string>
1128               </property>
1129               <property name="checked">
1130                 <bool>true</bool>
1131               </property>
1132             </widget>
1133           </item>
1134         <item>
1135           <widget class="QPushButton" name="pushButton_PrintGraphic">
1136             <property name="enabled">
1137               <bool>false</bool>
1138             </property>
1139             <property name="text">
1140               <string>Print& Graphic</string>
1141             </property>
1142           </widget>
1143         </item>
1144       </layout>
1145     </item>
1146   </layout>
1147 </widget>
1148 <widget class="QWidget" name="layoutWidget">
1149   <layout class="QVBoxLayout" name="verticalLayout_Statistic">
1150     <item>
1151       <widget class="QTextEdit" name="textEdit_Statistics">
1152         <property name="enabled">
1153           <bool>false</bool>
1154         </property>
1155       </widget>
1156     </item>
1157     <item>
1158       <layout class="QHBoxLayout" name="horizontalLayout_Save_Print_Statistics">
1159         <item>
1160           <widget class="QPushButton" name="pushButton_SaveStatistics">
1161             <property name="enabled">
1162               <bool>false</bool>
1163             </property>
1164             <property name="text">
1165               <string>Save Statistics</string>
1166             </property>
1167           </widget>
1168         </item>
1169       <item>
1170         <widget class="QPushButton" name="pushButton_PrintStatistics">
1171           <property name="enabled">
1172             <bool>false</bool>
1173           </property>
1174           <property name="text">
1175             <string>Print Statistics</string>
1176           </property>
1177         </widget>
1178       </item>
1179     </layout>
1180   </item>
1181 </layout>
```

```

1182     </widget>
1183     </widget>
1184   </item>
1185   </layout>
1186   </widget>
1187 </item>
1188 <item>
1189   <layout class="QHBoxLayout" name="horizontalLayout_Run_Exit">
1190     <item>
1191       <widget class="QPushButton" name="pushButton_Run">
1192         <property name="enabled">
1193           <bool>false</bool>
1194         </property>
1195         <property name="font">
1196           <font>
1197             <family>Ubuntu</family>
1198             <pointsize>11</pointsize>
1199           </font>
1200         </property>
1201         <property name="text">
1202           <string>Ru&amp;nlt;</string>
1203         </property>
1204       </widget>
1205     </item>
1206     <item>
1207       <widget class="QPushButton" name="pushButton_Exit">
1208         <property name="font">
1209           <font>
1210             <family>Ubuntu</family>
1211             <pointsize>11</pointsize>
1212           </font>
1213         </property>
1214         <property name="text">
1215           <string>E&amp;xit</string>
1216         </property>
1217       </widget>
1218     </item>
1219   </layout>
1220 </item>
1221 </layout>
1222 </widget>
1223 <customwidgets>
1224   <customwidget>
1225     <class>MplWidget</class>
1226     <extends>QWidget</extends>
1227     <header>mplwidget.h</header>
1228     <container>1</container>
1229   </customwidget>
1230   <customwidget>
1231     <class>MplWidget</class>
1232     <extends>QWidget</extends>
1233     <header>mplwidget.h</header>
1234     <container>1</container>
1235   </customwidget>
1236 <tabstops>
1237   <tabstop>lineEdit_Datafile</tabstop>
1238   <tabstop>pushButton_Datafile_Browse</tabstop>
1239   <tabstop>tabWidget_1</tabstop>
1240   <tabstop>textEdit_GeneralReport</tabstop>
1241   <tabstop>pushButton_SaveGeneralReport</tabstop>
1242   <tabstop>pushButton_PrintGeneralReport</tabstop>
1243   <tabstop>pushButton_Plot1</tabstop>
1244   <tabstop>comboBox_Plot1_Ordinate_Concentration</tabstop>
1245   <tabstop>comboBox_Plot1_Ordinate_Solvent</tabstop>
1246   <tabstop>comboBox_Plot1_Abscissa_Temperature</tabstop>
1247   <tabstop>comboBox_Isotherms_Mode</tabstop>
1248   <tabstop>comboBox_Isotherms_Temperature</tabstop>
1249   <tabstop>lineEdit_Isotherms</tabstop>
1250   <tabstop>pushButton_Isotherms_Choose</tabstop>
1251   <tabstop>pushButton_Plot2</tabstop>
1252   <tabstop>comboBox_Plot2_Ordinate_Concentration</tabstop>
1253   <tabstop>comboBox_Plot2_Abscissa_Concentration</tabstop>
1254   <tabstop>comboBox_Plot2_Abscissa_Solvent</tabstop>
1255   <tabstop>pushButton_Plot3</tabstop>
1256   <tabstop>comboBox_Plot3_Ordinate_Function</tabstop>
1257   <tabstop>comboBox_Plot3_Abscissa_Concentration</tabstop>
1258   <tabstop>comboBox_Plot3_Abscissa_Solvent</tabstop>
1259   <tabstop>pushButton_Plot4</tabstop>
1260   <tabstop>comboBox_Plot4_Ordinate_ExcessFunction</tabstop>
1261   <tabstop>comboBox_Plot4_Abscissa_Concentration</tabstop>
1262   <tabstop>comboBox_Plot4_Abscissa_Solvent</tabstop>
1263   <tabstop>checkBox_Graphic</tabstop>
1264   <tabstop>pushButton_PrintGraphic</tabstop>
1265   <tabstop>textEdit_Statistics</tabstop>

```

```

1262 <tabstop>pushButton_SaveStatistics</tabstop>
1263 <tabstop>pushButton_PrintStatistics</tabstop>
1264 <tabstop>pushButton_Run</tabstop>
1265 <tabstop>pushButton_Exit</tabstop>
1266 </tabstops>
1267 <resources/>
1268 <connections/>
1269 </ui>

```

## C.2 Código fonte do programa JAF OSSMS desenvolvido para o cálculo da solubilidade de sal em solução aquosa com MEG

JAF OSSMS.py

```

1 #!/usr/bin/env python
2 # -*- coding: utf-8 -*-
3 from __future__ import division
4 from PySide.QtGui import (QAbstractPrintDialog, qApp, QApplication, QCheckBox, QDialog,
5     QDialogButtonBox, QFileDialog, QFont, QPrinter, QPrintDialog, QGridLayout, QRegExpValidator,
6     QTextCharFormat, QTextDocument, QTextTableFormat)
7 from PySide.QtCore import ( QFile, QFileInfo, QRegExp, Qt, QTextStream, SLOT)
8 from numpy import (abs, append, array, asarray, concatenate, exp, linspace, log, random, sqrt,
9     zeros_like)
10 from scipy.optimize import fsolve
11 import sys
12 import ui_Form
13
14 CHAR_MINUS, CHAR_EQUAL, CHAR_NUMBER = '-'*100, '='*100, '#'*100
15 COLORS_AND_MARKERS = [
16     'ro', 'g^', 'ys', 'c*', 'mv', 'r^', 'gs', 'y*', 'cv', 'mo', 'rs', 'g*', 'yv', 'co',
17     'm^', 'r*', 'gv', 'yo', 'c^', 'ms', 'rv', 'go', 'y^', 'cs', 'm*'
18 ]
19
20 # =====
21 # LIDE e HAYNES, 2009
22 #
23 M_H2O = 18.015 # g.mol^(-1)
24 M_MEG = 62.068 # g.mol^(-1)
25 R = 8.314472 # J.K^(-1).mol^(-1)
26 # =====
27 # Temperature conversion
28 #
29 def K_to_C(T): # Kelvins to degrees ºCelsius
30     return T-273.15
31 def K_to_R(T): # Kelvins to degrees °Rankine
32     return T*1.8
33 def K_to_F(T): # Kelvins to degrees °Fahrenheit
34     return T*1.8-459.67
35 def C_to_K(T): # degrees Celsius to Kelvins
36     return T+273.15
37 def R_to_K(T): # degrees Rankine to Kelvins
38     return T/1.8
39 def F_to_K(T): # degrees Fahrenheit to Kelvins
40     return (T+459.67)/1.8
41 # =====
42
43 class chooseIsotherms(QDialog):
44     def __init__(self, lineEdit, comboBox_Mode, comboBox_Temperature):
45         super(chooseIsotherms, self).__init__()
46         if comboBox_Temperature.currentIndex() == 0:
47             f_T = lambda _: _
48             str_T = 'K'
49         elif comboBox_Temperature.currentIndex() == 1:
50             f_T = K_to_C
51             str_T = 'ºC'
52         elif comboBox_Temperature.currentIndex() == 2:
53             f_T = K_to_R
54             str_T = 'ºR'
55         elif comboBox_Temperature.currentIndex() == 3:
56             f_T = K_to_F
57             str_T = 'ºF'
58         if comboBox_Mode.currentIndex() == 0:
59             T = list(f_T(T_reg))

```

```

60         self.setWindowTitle('Choose the isotherms for regression')
61     elif comboBox_Mode.currentIndex() == 1:
62         T = list(f_T(T_prd))
63         self.setWindowTitle('Choose the isotherms for prediction')
64     else:
65         self.reject()
66     self.lineEdit = lineEdit
67     T_set = set(map(eval, lineEdit.text().split()))
68     self.T_sorted = sorted(set(T) | T_set)
69     layout = QGridLayout()
70     self.checkboxes= []
71     for col in range(4):
72         row = 0
73         for t in self.T_sorted[col::4]:
74             n = T.count(t)
75             if n < 1:
76                 cb = QCheckBox('{}){}({none}point)'.decode('utf-8').format(t, str_T))
77             elif n == 1:
78                 cb = QCheckBox('{}){}(1point)'.decode('utf-8').format(t, str_T))
79             elif n > 1:
80                 cb = QCheckBox('{}){}({}points)'.decode('utf-8').format(t, str_T, n))
81             layout.addWidget(cb, row, col)
82             if t in T_set:
83                 cb.setChecked(True)
84             row += 1
85             self.checkboxes.append(cb)
86     buttonBox = QDialogButtonBox(QDialogButtonBox.Cancel | QDialogButtonBox.Ok)
87     layout.addWidget(buttonBox, row+1, 0, 1, 4)
88     buttonBox.accepted.connect(self.accept)
89     buttonBox.rejected.connect(self.rejected)
90     self.setLayout(layout)
91
92     def accept(self):
93         T = [eval(cb.text().split()[0]) for cb in self.checkboxes if cb.isChecked()]
94         self.lineEdit.setText(''.join(map(str, sorted(T))))
95         QDialog.accept(self)
96
97     def rejected(self):
98         QDialog.rejected(self)
99
100    class JAFOSSMS(QDialog, ui_Form.Ui_Form):
101        def __init__(self):
102            super(JAFOSSMS, self).__init__()
103            self.setupUi(self)
104            self.comboBox_Isotherms_Temperature_index = 0
105            self.textDocument_Statistics = QTextDocument()
106            self.textDocument_GeneralReport = QTextDocument()
107            self.textEdit_Statistics.setDocument(self.textDocument_Statistics)
108            self.textEdit_GeneralReport.setDocument(self.textDocument_GeneralReport)
109            self.textEdit_Statistics.setStyleSheet('font: 8pt "Courier";')
110            self.textEdit_GeneralReport.setStyleSheet('font: 8pt "Courier";')
111            self.textCursor_Statistics = self.textEdit_Statistics.textCursor()
112            self.textCursor_GeneralReport = self.textEdit_GeneralReport.textCursor()
113            re = '(([+-]?((\d*[.]?\d+)|(\d+[.]?\d*))([eE][+-]?\d+)?|\s)*'
114            editor = self.lineEdit_Isotherms
115            validator = QRegExpValidator(QRegExp(re), editor)
116            self.lineEdit_Isotherms.setValidator(validator)
117            self.pushButton_Datafile_Browse.clicked.connect(self.browse)
118            self.pushButton_Plot1.clicked.connect(self.plot1)
119            self.pushButton_Plot2.clicked.connect(self.plot2)
120            self.pushButton_Plot3.clicked.connect(self.plot3)
121            self.pushButton_Plot4.clicked.connect(self.plot4)
122            self.pushButton_Run.clicked.connect(self.runCalculations)
123            self.pushButton_Exit.clicked.connect(qApp, SLOT("quit()"))
124            self.pushButton_SaveGeneralReport.clicked.connect(self.saveGeneralReport)
125            self.pushButton_PrintGeneralReport.clicked.connect(self.printGeneralReport)
126            self.pushButton_PrintGraphic.clicked.connect(self.printGraphic)
127            self.pushButton_SaveStatistics.clicked.connect(self.saveStatistics)
128            self.pushButton_PrintStatistics.clicked.connect(self.printStatistics)
129            self.checkBox_Graphic.stateChanged.connect(self.showNavigationToolbar)
130            self.comboBox_Plot1_Abscissa_Temperature.currentIndexChanged.connect(
131                self.clearGraphicsAndStatistics)
132            self.comboBox_Plot1_Oordinate_Concentration.currentIndexChanged.connect(
133                self.clearGraphicsAndStatistics)
134            self.comboBox_Plot1_Oordinate_Solvent.currentIndexChanged.connect(
135                self.clearGraphicsAndStatistics)
136            self.comboBox_Isotherms_Mode.currentIndexChanged.connect(
137                self.clearGraphicsAndStatistics)
138            self.comboBox_Isotherms_Temperature.currentIndexChanged[int].connect(
139                self.convertTemperature)

```

```

140     self.lineEdit_Isotherms.lostFocus.connect(self.validate)
141     self.pushButton_Isotherms_ChOOSE.clicked.connect(self.chooseIsotherms)
142     self.comboBox_Plot2_Abscissa_Concentration.currentIndexChanged.connect(
143         self.clearGraphicsAndStatistics)
144     self.comboBox_Plot2_Abscissa_Solvent.currentIndexChanged.connect(
145         self.clearGraphicsAndStatistics)
146     self.comboBox_Plot2_Ordinate_Concentration.currentIndexChanged.connect(
147         self.clearGraphicsAndStatistics)
148     self.comboBox_Plot3_Abscissa_Concentration.currentIndexChanged.connect(
149         self.clearGraphicsAndStatistics)
150     self.comboBox_Plot3_Abscissa_Solvent.currentIndexChanged.connect(
151         self.clearGraphicsAndStatistics)
152     self.comboBox_Plot3_Ordinate_Function.currentIndexChanged.connect(
153         self.clearGraphicsAndStatistics)
154     self.comboBox_Plot4_Abscissa_Concentration.currentIndexChanged.connect(
155         self.clearGraphicsAndStatistics)
156     self.comboBox_Plot4_Abscissa_Solvent.currentIndexChanged.connect(
157         self.clearGraphicsAndStatistics)
158     self.comboBox_Plot4_Ordinate_ExcessFunction.currentIndexChanged.connect(
159         self.clearGraphicsAndStatistics)
160     self.show()
161
162     def chooseIsotherms(self):
163         dialog = chooseIsotherms(self.lineEdit_Isotherms, self.comboBox_Isotherms_Mode,
164             self.comboBox_Isotherms_Temperature)
165         dialog.exec_()
166         self.validate()
167
168     def validate(self):
169         self.convertTemperature(self.comboBox_Isotherms_Temperature_index)
170
171     def convertTemperature(self, index):
172         T = array([t for t in self.T_to_K() if t >= -273.15])
173         if index == 1:
174             T = K_to_C(T)
175         elif index == 2:
176             T = K_to_R(T)
177         elif index == 3:
178             T = K_to_F(T)
179         self.comboBox_Isotherms_Temperature_index = index
180         self.lineEdit_Isotherms.setText(''.join(map(str, sorted(T))))
181         if self.lineEdit_Isotherms.text():
182             self.groupBox_Plots.setEnabled(True)
183         else:
184             self.groupBox_Plots.setEnabled(False)
185             self.clearGraphicsAndStatistics()
186
187     def T_to_K(self):
188         T = array(sorted(set(map(eval, self.lineEdit_Isotherms.text().split()))))
189         if self.comboBox_Isotherms_Temperature_index == 1:
190             T = C_to_K(T)
191         elif self.comboBox_Isotherms_Temperature_index == 2:
192             T = R_to_K(T)
193         elif self.comboBox_Isotherms_Temperature_index == 3:
194             T = F_to_K(T)
195         return T
196
197     def showNavigationToolbar(self):
198         if self.checkBox_Graphic.isChecked():
199             self.mplWidget_Graphic.navbar.show()
200         else:
201             self.mplWidget_Graphic.navbar.hide()
202
203     def clearGraphicsAndStatistics(self):
204         self.mplWidget_Graphic.canvas.ax.clear()
205         self.mplWidget_Graphic.canvas.draw()
206         self.mplWidget_Graphic.setEnabled(False)
207         self.checkBox_Graphic.setEnabled(False)
208         self.pushButton_PrintGraphic.setEnabled(False)
209         self.textEdit_Statistics.setEnabled(False)
210         self.textEdit_Statistics.setText('')
211         self.pushButton_SaveStatistics.setEnabled(False)
212         self.pushButton_PrintStatistics.setEnabled(False)
213
214     def browse(self):
215         file_path, __ = QFileDialog.getOpenFileName(self,
216             'Filename of the dataset', '.', 'Dataset(*.set)')
217         if file_path:
218             self.lineEdit_Datafile.setText(file_path)
219             self.tabWidget_1.setEnabled(False)

```

```

220         self.groupBox_Plots.setEnabled(False)
221         self.mplWidget_Graphic.canvas.ax.clear()
222         self.mplWidget_Graphic.setEnabled(False)
223         self.textEdit_Statistics.setText('')
224         self.textEdit_GeneralReport.setText('')
225         self.tabWidget_1.setCurrentIndex(0)
226         self.pushButton_Run.setEnabled(True)
227
228     def saveGeneralReport(self):
229         fName, _ = QFileDialog.getSaveFileName(self, 'Saving General Report', '.', 
230             'HTML file (*.html);; All files (*.*)')
231         if fName:
232             data = QFile(fName)
233             if data.open(QFile.WriteOnly | QFile.Text):
234                 QTextStream(data) << self.textDocument_GeneralReport.toHtml(encoding="utf-8")
235
236     def printGeneralReport(self):
237         printer = QPrinter()
238         dialog = QPrintDialog(printer, self)
239         dialog.setWindowTitle("Printing General Report")
240         if self.textEdit_GeneralReport.textCursor().hasSelection():
241             printer.setPrintRange(QPrinter.Selection)
242         if dialog.exec_() != QDialog.Accepted:
243             return
244         printer.setPrintRange(QPrinter.Selection)
245         print printer.printRange()
246         self.textEdit_GeneralReport.print_(printer)
247
248     def printGraphic(self):
249         pass
250
251     def saveStatistics(self):
252         fName, _ = QFileDialog.getSaveFileName(self, 'Saving Statistics', '.', 
253             'HTML file (*.html);; All files (*.*)')
254         if fName:
255             data = QFile(fName)
256             if data.open(QFile.WriteOnly | QFile.Text):
257                 QTextStream(data) << self.textDocument_Statistics.toHtml(encoding="utf-8")
258
259     def printStatistics(self):
260         printer = QPrinter()
261         dialog = QPrintDialog(printer, self)
262         dialog.setWindowTitle("Printing Statistics")
263         if self.textEdit_Statistics.textCursor().hasSelection():
264             dialog.addEnabledOption(QAbstractPrintDialog.PrintSelection)
265         if dialog.exec_() != QDialog.Accepted:
266             return
267         self.textEdit_Statistics.print_(printer)
268
269
270 # =====
271 # AKERLOF, 1932
272 #
273     def epsilon_r_H2O(self, T):
274         return 10.**(1.9051 - 0.00205*(T-293.15))
275     def epsilon_r_MEG(self, T):
276         return 10.**(1.5872 - 0.00224*(T-293.15))
277
278 # =====
279 # JOUYBAN, SOLTANPOUR and CHAN, 2004
280 #
281     def epsilon_r_H2O_MEG(self, epsilon_r_H2O, epsilon_r_MEG, x_SF_MEG_in_H2O_MEG, T):
282         x_SF_H2O_in_H2O_MEG = 1.-x_SF_MEG_in_H2O_MEG
283         return exp(x_SF_H2O_in_H2O_MEG*log(epsilon_r_H2O)+x_SF_MEG_in_H2O_MEG*log(epsilon_r_MEG)+ 
284             x_SF_H2O_in_H2O_MEG*x_SF_MEG_in_H2O_MEG/T*(153.6+57.3*(x_SF_H2O_in_H2O_MEG-x_SF_MEG_in_H2O_MEG)))
285
286 # =====
287 # GREEN and PERRY, 2007
288 #
289     def rho_H2O(self, T):
290         tau = 1.-T/647.096
291         return (17.863+58.606*tau**0.35-95.396*tau**(2./3.)+ 213.89*tau-141.26*tau**((4./3.))*M_H2O
292     def rho_MEG(self, T):
293         return (1.315/(0.25125**((1.+(1.-T/720. )**0.21868))))*M_MEG
294
295 # =====
296 # Rule of Mixture Ideal with Inverse Density
297 #
298     def rho_H2O_MEG(self, rho_H2O, rho_MEG, x_SF_MEG_in_H2O_MEG):
299         x_SF_H2O_in_H2O_MEG = 1.-x_SF_MEG_in_H2O_MEG
300         w_SF_MEG_in_H2O_MEG =
301             x_SF_MEG_in_H2O_MEG*M_MEG/(x_SF_H2O_in_H2O_MEG*M_H2O+x_SF_MEG_in_H2O_MEG*M_MEG)
302         return 1./self.p12_ideal(1./rho_H2O, 1./rho_MEG, w_SF_MEG_in_H2O_MEG)

```

```

299 # =====
300 # PITZER, 1973
301 #
302 def I_b(self, b_MX):
303     b_M, b_X = nu_M*b_MX, nu_X*b_MX
304     return (b_M*z_M**2.+b_X*z_X**2.)/2.
305 def X_phi(self, I_b, b_=1.2):
306     sqrt_I_b = sqrt(I_b)
307     return sqrt_I_b/(1.+b_*sqrt_I_b)
308 def X_gamma(self, I_b, b_=1.2):
309     sqrt_I_b = sqrt(I_b)
310     return 2./b_*log(1.+b_*sqrt_I_b)+self.X_phi(I_b)
311 def f_phi_MX(self, A_phi, X_phi):
312     return -A_phi*X_phi
313 def f_gamma_MX(self, A_phi, X_gamma):
314     return -A_phi*X_gamma
315 def Y_phi(self, I_b, alpha=2.):
316     sqrt_I_b = sqrt(I_b)
317     return exp(-alpha*sqrt_I_b)
318 def Y_gamma(self, I_b, alpha=2.):
319     sqrt_I_b = sqrt(I_b)
320     return (1.-(1.+alpha*sqrt_I_b-0.5*alpha**2.*I_b)*self.Y_phi(I_b))/(alpha**2.*I_b)
321 def B_phi_MX(self, beta0_MX, beta1_MX, Y_phi):
322     return beta0_MX+beta1_MX*Y_phi
323 def B_gamma_MX(self, beta0_MX, beta1_MX, Y_gamma):
324     return 2.*(beta0_MX+beta1_MX*Y_gamma)
325 def C_gamma_MX(self, C_phi_MX):
326     return 1.5*C_phi_MX
327 def phi(self, b_MX, f_phi_MX, B_phi_MX, C_phi_MX):
328     return 1+abs(z_M*z_X)*f_phi_MX+2.*b_MX*nu_M*nu_X/nu_MX*(B_phi_MX+b_MX*(nu_M*nu_X)**0.5*C_phi_MX)
329 def ln_gamma_MX(self, b_MX, f_gamma_MX, B_gamma_MX, C_gamma_MX):
330     return abs(z_M*z_X)*f_gamma_MX+2.*b_MX*nu_M*nu_X/nu_MX*(B_gamma_MX+b_MX*(nu_M*nu_X)**0.5*C_gamma_MX)
331 #
332 # SILVESTER and PITZER, 1977 (NaCl); ARCHER, 1999 (KCl)
333 #
334 def f_Pitzer_parameters(self, i, T):
335     Tr = 298.15 # K
336     if MX == 'NaCl':
337         q = [[ 0.0765, 0.2664, 0.00127 ],
338               [-777.03, 0., 33.317 ],
339               [-4.4706, 0., 0.09421 ],
340               [ 0.008946, 6.1608e-5, -4.655e-5],
341               [-3.3158e-6, 1.0715e-6, 0. ]]
342         q = array(q).T
343         return (q[i,0]+q[i,1]*(1/T-1/Tr)+q[i,2]*log(T/Tr)+q[i,3]*(T-Tr) +
344                 q[i,4]*(T**2-Tr**2))
345     elif MX == 'KCl':
346         b = [[ 0.413229483398493, 0.206691413598171, -0.00133515934994478],
347               [-0.0870121476114027, 0.102544606022162, 0. ],
348               [ 0.101413736179231, 0., 0. ],
349               [-0.0199822538522801, 0., 0.00234117693834228],
350               [-0.0998120581680816, 0., -0.00075896583546707],
351               [ 0., -0.00188349608000903, 0. ]]
352         b = array(b).T
353         T0 = 1.0 # K
354         return (b[i,0]+1e-2*b[i,1]*(T-Tr)/T0+1e-5*b[i,2]*((T-Tr)/T0)**2+1e2*b[i,3]*T0/(T-225) +
355                 1e3*b[i,4]*(T0/T)+1e6*b[i,5]*(T0/(T-225))**3)
356         return None
357     def beta0_MX_H2O(self, T):
358         return self.f_Pitzer_parameters(0, T)
359     def beta1_MX_H2O(self, T):
360         return self.f_Pitzer_parameters(1, T)
361     def C_phi_MX_H2O(self, T):
362         return self.f_Pitzer_parameters(2, T)
363 #
364 # CHEN, BRITT, et al., 1982
365 #
366 def A_phi_H2O(self, T):
367     return (-61.44534*exp((T-273.15)/273.15)+2.864468*exp(2.*(T-273.15)/273.15)+183.5379*
368             log(T/273.15)-0.6820223*(T-273.15)+0.0007875695*(T**2.-273.15**2.)+58.95788*(273.15/T))
369 #
370 # Debye-Hückel constant in other solvent
371 #
372 def A_phi_solvent(self, A_phi_H2O, rho_H2O, epsilon_r_H2O, rho_solvent, epsilon_r_solvent):
373     return ((rho_solvent/rho_H2O)**0.5*(epsilon_r_H2O/epsilon_r_solvent)**1.5*A_phi_H2O)
374 #
375 # LORIMER, 1993
376 #
377 # =====

```

```

379     def ln_gamma_MX_in_MEG(self , ln_gamma_MX_in_H2O, b_MX_in_H2O, b_MX_in_MEG, T) :
380         return (ln_gamma_MX_in_H2O+log(b_MX_in_H2O/b_MX_in_MEG)-Delta_tr_G0_H2O_to_MEG/(nu_MX*R*T))
381     def beta0_MX_H2O_MEG(self , beta0_MX_H2O):
382         return beta0_MX_H2O
383     def betal_MX_H2O_MEG(self , betal_MX_H2O, betal_MX_MEG, epsilon_r_H2O,epsilon_r_MEG ,
384                           epsilon_r_H2O_MEG):
385         beta0 = 1.
386         A = log(betal_MX_H2O/betal_MX_MEG)/log(epsilon_r_H2O/epsilon_r_MEG)
387         B = log(beta0_MX_H2O/beta0)-A*log(epsilon_r_H2O)
388         return beta0*exp(A*log(epsilon_r_H2O_MEG)+B)
389     def C_phi_MX_H2O_MEG(self , C_phi_MX_H2O):
390         return C_phi_MX_H2O
391     # =====
392     # Ideal property
393     # =====
394     def p12_ideal(self , p1 , p2 , x2):
395         x1 = 1.-x2
396         return x1*p1+x2*p2
397     # =====
398     # Excess Property
399     # =====
400     def p12_excess(self , p12 , p12_ideal):
401         return p12-p12_ideal
402     # =====
403     # Normalization of salt-free mole fraction of MEG
404     # =====
405     def x_SF_MEG_in_H2O_MEG(self , i , c_H2O, c_MEG=None):
406         if i == 1: # m_H2O (g), m_MEG (g)
407             pass
408         elif i == 2: # w_SF_H2O_in_H2O_MEG
409             c_MEG = 1.-c_H2O
410         elif i == 3: # w_SF_MEG_in_H2O_MEG
411             c_H2O, c_MEG = 1.-c_H2O, c_H2O
412             return c_MEG/M_MEG/(c_H2O/M_H2O+c_MEG/M_MEG)
413     # =====
414     # Normalization of molality of the salt in the solvent mixture
415     # =====
416     def b_MX_in_H2O_MEG(self , i , c_MX, c_H2O_MEG=None):
417         if i == 1: # m_MX (g), m_H2O_MEG (g)
418             pass
419         elif i == 2: # w_MX_in_H2O_MEG_MX
420             c_H2O_MEG = 1.-c_MX
421             return c_MX/M_MX*c_H2O_MEG*1000.
422     # =====
423     # Concentration conversion
424     # =====
425     def b_MX_in_H2O_MEG_to_c_MX_in_H2O_MEG(self , b_MX_in_H2O_MEG, rho_H2O_MEG):
426         # Molality to Molarity
427         return b_MX_in_H2O_MEG*rho_H2O_MEG/1000
428     def b_MX_in_H2O_MEG_to_x_MX_in_H2O_MEG(self , b_MX_in_H2O_MEG, x_SF_MEG_in_H2O_MEG):
429         # Molality to Molar Fraction
430         return b_MX_in_H2O_MEG/(1000/((1-x_SF_MEG_in_H2O_MEG)*M_H2O+x_SF_MEG_in_H2O_MEG*M_MEG)+b_MX_in_H2O_MEG)
431     def b_MX_in_H2O_MEG_to_w_MX_in_H2O_MEG(self , b_MX_in_H2O_MEG, __):
432         # Molality to Massic Fraction
433         return b_MX_in_H2O_MEG/(1000/M_MX+b_MX_in_H2O_MEG)
434     # =====
435     # Salt-free Concentration conversion
436     # =====
437     def x_SF_MEG_in_H2O_MEG_to_w_SF_MEG_in_H2O_MEG(self , x_SF_MEG_in_H2O_MEG):
438         # Molar Fraction to Mass Fraction
439         return x_SF_MEG_in_H2O_MEG/((1-x_SF_MEG_in_H2O_MEG)*M_H2O/M_MEG+x_SF_MEG_in_H2O_MEG)
440     # =====
441     def printText(self , text , flag=True):
442         if flag:
443             self.textCursor_GeneralReport.insertText(text.decode('utf-8'))
444         else:
445             self.textCursor_Statistics.insertText(text.decode('utf-8'))
446
447     def printVars(self , *args):
448         names , values , units = (args[i::3] for i in range(3))
449         for name , value , unit in zip(names , values , units):
450             if unit:
451                 self.printText('{})={}\n'.format(name , value , unit))
452             else:
453                 self.printText('{})={}\n'.format(name , value))
454
455     def printVectors(self , *args):
456         from numpy import float64
457         def f1(x):
458

```

```

459     return len(str(x))
460 def f2(x):
461     return str(x).find('.')
462 def f3(x):
463     return f1(x)-f2(x)
464 names, vectors, units = (args[i::3] for i in range(3))
465 tableformat = QTextTableFormat()
466 tableformat.setCellPadding(3)
467 tableformat.setCellSpacing(1)
468 tableformat.setHeaderRowCount(1)
469 headerformat = QTextCharFormat()
470 headerformat.setFontWeight(QFont.Bold)
471 brush = headerformat.background()
472 brush.setColor(Qt.lightGray)
473 brush.setStyle(Qt.SolidPattern)
474 headerformat.setBackground(brush)
475 nrows, ncols = len(vectors[0]), len(vectors)
476 table = self.textEdit_GeneralReport.textCursor().insertTable(nrows+1, ncols, tableformat)
477 for col in range(ncols):
478     cell = table.cellAt(0, col)
479     cell.setFormat(headerformat)
480     cellCursorPosition = cell.firstCursorPosition()
481     cellCursorPosition.insertText(names[col])
482     if units[col]:
483         cellCursorPosition.insertText('['+unicode(units[col])+']')
484     vector = vectors[col]
485     if type(vector[0]) == float64:
486         a = max(map(f2, vector))
487         b = max(map(f3, vector))
488         format_ = '{:.{}.{}}'.format(a+b, b-1)
489     else:
490         format_ = '{}'
491     for row in range(nrows):
492         cell = table.cellAt(row+1, col)
493         cellCursorPosition = cell.firstCursorPosition()
494         cellCursorPosition.insertText(format_.format(vector[row]))
495
496 def readDataFile(self, filename):
497     f = QFile(filename)
498     if f.open(QFile.ReadOnly | QFile.Truncate | QFile.Text):
499         lines = QTextStream(f).readAll().splitlines()
500     f.close()
501     values, vectors, list_of_types = [], [], ['str', 'int', 'float']
502     def processVectors():
503         for vector in vectors:
504             vector0 = vector[0]
505             if vector0 in list_of_types:
506                 values.append(eval(vector0), vector[3:])
507                 if vector[2]:
508                     values.append(vector[2])
509         for line in lines:
510             args = [arg.strip() for arg in line.split(';')]
511             type_ = args[0]
512             if type_:
513                 if vectors:
514                     processVectors()
515                     vectors = []
516                 if type_ in list_of_types:
517                     values.append(eval(type_)(args[2]))
518                     if args[3:4]:
519                         values.append(args[3])
520                     elif type_ == 'vectors':
521                         vectors.extend([[i] for i in args[1:]])
522                 else:
523                     for i, v in enumerate(args[1:]):
524                         vectors[i].append(v)
525             if vectors:
526                 processVectors()
527     return values
528
529
530     def readDataset(self):
531         global MX, z_M, z_X, nu_M, nu_X, M_MX, Delta_tr_G0_H2O_to_MEG
532         (MX, z_M, z_X, nu_M, nu_X, M_MX, units_M_MX, Delta_tr_G0_H2O_to_MEG,
533          units_Delta_tr_G0_H2O_to_MEG, data_filenames) = \
534          self.readDataFile(self.lineEdit_Datafile.text())
535         global nu_MX
536         nu_MX = nu_M+nu_X
537         self.printText('Main\data\filename:{}\n'.format(QFileInfo(
538             self.lineEdit_Datafile.text()).baseName())+CHARS_MINUS+'\n')

```

```

539     self.printVars('MX', MX, '', 'z_M', z_M, '', 'z_X', z_X, '', 'nu_M',
540         nu_M, '', 'nu_X', nu_X, '', 'M_MX', M_MX, units_M_MX,
541         'Delta_tr_G0_H2O_to_MEG', Delta_tr_G0_H2O_to_MEG,
542         units_Delta_tr_G0_H2O_to_MEG)
543     path = QFileInfo(self.lineEdit_Datafile.text()).path()
544     global bibref
545     global idx_set_reg, x_SF_MEGL_in_H2O_MEGL_reg, b_MXL_in_H2O_MEGL_reg, T_reg
546     global idx_set_prd, x_SF_MEGL_in_H2O_MEGL_prd, b_MXL_in_H2O_MEGL_prd, T_prd
547     global b_MXL_in_H2O_chk, phi_MXL_in_H2O_chk, gamma_MXL_in_H2O_chk
548     bibref, idx_set, idx_set_reg, idx_set_prd = [], 0, [], []
549     (x_SF_MEGL_in_H2O_MEGL_reg, x_SF_MEGL_in_H2O_MEGL_prd, b_MXL_in_H2O_MEGL_reg,
550         b_MXL_in_H2O_MEGL_prd, T_reg, T_prd) = ([], [], [], [], [])
551     for data_filename in data_filenames:
552         data = self.readDataFile(path + '/' + data_filename)
553         bibref.append(data[0])
554         self.printText(CHARS_EQUAL + '\nDatafilename: \u00b2{0}\u00b2\nReferences: \u00b2{1}\u00b2'
555             '\n'.format(data_filename, bibref[-1]) + CHARS_MINUS + '\n')
556         dataType = data[1]
557         data = map(lambda x: asarray(x) if type(x) != str else x, data[2:])
558         if dataType == 0:
559             # b_MXL_in_H2O_ (mol/Kg), phi_MXL_in_H2O_, gamma_MXL_in_H2O_
560             (b_MXL_in_H2O_chk, units_b_MXL_in_H2O_chk, phi_MXL_in_H2O_chk,
561                 gamma_MXL_in_H2O_chk) = data
562             self.printVectors('b_MXL_in_H2O_chk', b_MXL_in_H2O_chk,
563                 units_b_MXL_in_H2O_chk, 'phi_MXL_in_H2O_chk', phi_MXL_in_H2O_chk,
564                 '', 'gamma_MXL_in_H2O_', gamma_MXL_in_H2O_chk, '')
565         elif dataType == 1:
566             # w_SF_MEGL_in_H2O_MEGL (g), m_MXL_in_H2O_ (g), T (oC)
567             (w_SF_MEGL_in_H2O_MEGL, m_MXL_in_H2O_, units_m_MXL_in_H2O_, m_MXL,
568                 units_m_MXL, T, units_T, use) = data
569             self.printVectors('w_SF_MEGL_in_H2O_MEGL', w_SF_MEGL_in_H2O_MEGL, '',
570                 'm_MXL_in_H2O_', m_MXL_in_H2O_, units_m_MXL_in_H2O_, 'm_MXL', m_MXL,
571                 units_m_MXL, 'T', T, units_T, 'use', use, '')
572             x_SF_MEGL_in_H2O_MEGL = self.x_SF_MEGL_in_H2O_MEGL(3, w_SF_MEGL_in_H2O_MEGL)
573             b_MXL_in_H2O_MEGL = self.b_MXL_in_H2O_MEGL(1, m_MXL, m_MXL_in_H2O_)
574             T += 273.15
575         elif dataType == 2:
576             # w_SF_MEGL_in_H2O_MEGL, w_MXL_in_H2O_MEGL_MX, T (oC)
577             w_SF_MEGL_in_H2O_MEGL, w_MXL_in_H2O_MEGL_MX, T, units_T, use = data
578             self.printVectors('w_SF_MEGL_in_H2O_MEGL', w_SF_MEGL_in_H2O_MEGL, '',
579                 'w_MXL_in_H2O_MEGL_MX', w_MXL_in_H2O_MEGL_MX, '', 'T', T,
580                 units_T, 'use', use, '')
581             x_SF_MEGL_in_H2O_MEGL = self.x_SF_MEGL_in_H2O_MEGL(3, w_SF_MEGL_in_H2O_MEGL)
582             b_MXL_in_H2O_MEGL = self.b_MXL_in_H2O_MEGL(2, w_MXL_in_H2O_MEGL_MX)
583             T += 273.15
584         elif dataType == 3:
585             # w_MXL_in_H2O_MEGL_MX, m_H2O_ (g), m_MEG_ (g), T (oC)
586             (w_MXL_in_H2O_MEGL_MX, m_H2O_, units_m_H2O_, m_MEG, units_m_MEG, T,
587                 units_T, use) = data
588             self.printVectors('w_MXL_in_H2O_MEGL_MX', w_MXL_in_H2O_MEGL_MX,
589                 '', 'm_H2O', m_H2O, units_m_H2O, 'm_MEG', m_MEG,
590                 units_m_MEG, 'T', T, units_T, 'use', use, '')
591             x_SF_MEGL_in_H2O_MEGL = self.x_SF_MEGL_in_H2O_MEGL(1, m_H2O, m_MEG)
592             b_MXL_in_H2O_MEGL = self.b_MXL_in_H2O_MEGL(2, w_MXL_in_H2O_MEGL_MX)
593             T += 273.15
594         elif dataType == 4:
595             # w_SF_H2O_in_H2O_MEGL, w_MXL_in_H2O_MEGL_MX, T (K)
596             w_SF_H2O_in_H2O_MEGL, w_MXL_in_H2O_MEGL_MX, T, units_T, use = data
597             self.printVectors('w_SF_H2O_in_H2O_MEGL', w_SF_H2O_in_H2O_MEGL, '',
598                 'w_MXL_in_H2O_MEGL_MX', w_MXL_in_H2O_MEGL_MX, '', 'T', T,
599                 units_T, 'use', use, '')
600             x_SF_MEGL_in_H2O_MEGL = self.x_SF_MEGL_in_H2O_MEGL(2, w_SF_H2O_in_H2O_MEGL)
601             b_MXL_in_H2O_MEGL = self.b_MXL_in_H2O_MEGL(2, w_MXL_in_H2O_MEGL_MX)
602         elif dataType == 5:
603             # w_SF_MEGL_in_H2O_MEGL, w_MXL_in_H2O_MEGL_MX, T (K)
604             w_SF_MEGL_in_H2O_MEGL, w_MXL_in_H2O_MEGL_MX, T, units_T, use = data
605             self.printVectors('w_SF_MEGL_in_H2O_MEGL', w_SF_MEGL_in_H2O_MEGL, '',
606                 'w_MXL_in_H2O_MEGL_MX', w_MXL_in_H2O_MEGL_MX, '', 'T', T,
607                 units_T, 'use', use, '')
608             x_SF_MEGL_in_H2O_MEGL = self.x_SF_MEGL_in_H2O_MEGL(3, w_SF_MEGL_in_H2O_MEGL)
609             b_MXL_in_H2O_MEGL = self.b_MXL_in_H2O_MEGL(2, w_MXL_in_H2O_MEGL_MX)
610             for x, b, t, u in zip(x_SF_MEGL_in_H2O_MEGL, b_MXL_in_H2O_MEGL, T, use):
611                 if u == "REGR":
612                     idx_set_reg.append(idx_set)
613                     x_SF_MEGL_in_H2O_MEGL_reg = append(x_SF_MEGL_in_H2O_MEGL_reg, x)
614                     b_MXL_in_H2O_MEGL_reg = append(b_MXL_in_H2O_MEGL_reg, b)
615                     T_reg = append(T_reg, t)
616                 elif u == "PRED":
617                     idx_set_prd.append(idx_set)
618                     x_SF_MEGL_in_H2O_MEGL_prd = append(x_SF_MEGL_in_H2O_MEGL_prd, x)

```

```

619         b_MX_in_H2O_MEG_prd = append(b_MX_in_H2O_MEG_prd, b)
620         T_prd = append(T_prd, t)
621         idx_set += 1
622     return
623
624
625     def nl_regression(self, f_str, X, y, theta0):
626         import scipy.stats as stats
627         import scipy.optimize as optimize
628         if type(f_str) == tuple:
629             f, fstr = f_str
630         else:
631             fstr = 'lambda' + f_str
632             f = eval(fstr)
633         def plus_minus(a, b):
634             return a-b, a+b
635         theta_optimum, cov_theta_optimum = optimize.curve_fit(f, X, y, theta0)
636         N, P = X.shape[-1], theta_optimum.shape[-1]
637         y_optimum = f(X, *theta_optimum)
638         # Total Sum of Squares (TSS)
639         TSS_corrected, TSS_uncorrected = ((y-y.mean())**2).sum(), (y**2).sum()
640         # Residual Sum of Squares (RSS) or Sum of Squared Residuals (SSR) or
641         # Sum of Squared Errors of Prediction (SSE)
642         RSS = ((y-y_optimum)**2).sum()
643         # Explained Sum of Squares (ESS)
644         ESS_uncorrected = TSS_uncorrected-RSS
645         # Mean Total Sum of Squares
646         MST_corrected = TSS_corrected/(N-1)
647         # Mean Residual Sum of Squares
648         MSR = RSS/(N-P)
649         # Mean Explained Sum of Squares
650         MSE_uncorrected = ESS_uncorrected/P
651         alpha = 0.05
652         F_value_uncorrected = MSE_uncorrected/MSR
653         Pr_F_value_uncorrected = stats.f.sf(F_value_uncorrected, N-P, P)
654         s, R2_bar = sqrt(MSR), 1-RSS/TSS_corrected, 1-MSR/MST_corrected
655         ASE = sqrt(cov_theta_optimum.diagonal())
656         corr_theta_optimum = (cov_theta_optimum/ASE).T/ASE
657         t_value, t_critical = theta_optimum/ASE, stats.t.isf(alpha/2., N-P)
658         Pr_tvalue = stats.t.sf(abs(t_value), N-P)*2.
659         CI_theta = plus_minus(theta_optimum, t_critical*ASE)
660         self.printText('Non-Linear Least Squares Summary Statistics\n\n')
661         self.printText('Function: y={0}\n'.format(f_str))
662         self.printText('Source DF Sum of Squares Mean Squa'
663           're F-value Pr(>F)\n')
664         self.printText('Regression :{4d}:{14.6f}:{14.6f}:{1'
665           '6.6f}:{8.6f}\n'.format(P, ESS_uncorrected, MSE_uncorrected,
666           F_value_uncorrected, Pr_F_value_uncorrected))
667         self.printText('Residual Total :{4d}:{14.6f}:{14.6f}\n'
668           .format(N-P, RSS, MSR))
669         self.printText('Uncorrected Total :{4d}:{14.6f}\n'.format(N,
670           TSS_uncorrected))
671         self.printText('Corrected Total :{4d}:{14.6f}\n'.format(N-
672           1, TSS_corrected))
673         self.printText('alpha={8.6f} t-critical={8.6f}\n'.format(alpha
674           , t_critical))
675         self.printText('s={0:8.6f} R-sq={1:8.6f} R-sq(adj)={2:8.6f}\n'.format(s, R2_
676           Bar))
677         # Average Absolute Deviation
678         AAD = abs(y-y_optimum).sum()/N
679         # Maximum Absolute Deviation
680         MAD = max(abs(y-y_optimum))
681         # Average Absolute Relative Deviation
682         AARD = abs((y-y_optimum)/y).sum()/N
683         # Maximum Absolute Relative Deviation
684         MARD = max((abs(y-y_optimum)/y))
685         self.printVectors('y,y,,y_optimum', y_optimum, ' ', '|y-y_optimum|', abs(y-y_optimum), '',
686           '|(y-y_optimum)/y|(%)', abs((y-y_optimum)/y*100), '')
687         self.printText('Average Absolute Deviation :{0.6f}\n'.format(AAD))
688         self.printText('Maximum Absolute Deviation :{0.6f}\n'.format(MAD))
689         self.printText('Average Absolute Relative Deviation (%) :{0.3%}\n'.format(AARD))
690         self.printText('Maximum Absolute Relative Deviation (%) :{0.3%}\n'.format(MARD))
691         self.printText('Parameter Estimate Asymptotic st-value',
692           '|Pr(>|t|)| Asymptotic :{0.2.0%}\n'.format(1-alpha))
693         self.printText('Std. Error | Confidence Interval\n')
694         self.printText('Lower Upper\n')
695         for i in range(P):
696             self.printText('{:10s}|{:12.6f}|{:12.6f}|{:10.6f}|{:8.6f}|'

```

```

698     '|{:12.6f}|{:12.6f}\n'.format('P[ '+str(i)+']',
699     theta_optimum[i], ASE[i], t_value[i], Pr_tvalue[i],
700     CI_theta[0][i], CI_theta[1][i]))
701 self.printText('\nParameter|CorrelationMatrix\n')
702 for i in range(P):
703     self.printText('{:11s}'.format('P[ '+str(i)+']'))
704 for i in range(P):
705     self.printText('\n{:10s}'.format('P[ '+str(i)+']'))
706     for j in range(P):
707         self.printText('{:9.6f}'.format(corr_theta_optimum[i][j]))
708 self.printText('\n')
709 return f, theta_optimum
710
711 def calculateStatistics(self, ycalc, yexp):
712     import scipy.stats as stats
713     N, P = yexp.shape[0], 1
714     # Total Sum of Squares (TSS)
715     TSS_corrected, TSS_uncorrected = ((yexp-yexp.mean())**2).sum(), (yexp**2).sum()
716     # Residual Sum of Squares (RSS) or Sum of Squared Residuals (SSR) or
717     # Sum of Squared Errors of Prediction (SSE)
718     RSS = ((yexp-ycalc)**2).sum()
719     # Explained Sum of Squares (ESS)
720     ESS_uncorrected = TSS_uncorrected-RSS
721     # Mean Total Sum of Squares
722     MST_corrected = TSS_corrected/(N-1)
723     # Mean Residual Sum of Squares
724     MSR = RSS/(N-P)
725     # Mean Explained Sum of Squares
726     MSE_uncorrected = ESS_uncorrected/MSR
727     F_value_uncorrected = MSE_uncorrected/MSR
728     Pr_F_value_uncorrected = stats.f.sf(F_value_uncorrected, N-P, P)
729     s, R2, R2_bar = sqrt(MSR), 1-RSS/TSS_corrected, 1-MSR/MST_corrected
730     # Average Absolute Deviation
731     AAD = abs(yexp-ycalc).sum()/N
732     # Maximum Absolute Deviation
733     MAD = max(abs(yexp-ycalc))
734     # Average Absolute Relative Deviation
735     AARD = abs((yexp-ycalc)/yexp).sum()/N
736     # Maximum Absolute Relative Deviation
737     MARD = max(abs((yexp-ycalc)/yexp))
738     self.printText('Summary Statistics\n', False)
739     self.printText('Source|DF|Sum of Squares|Mean Squa',
740     're|F-value|Pr(>F)\n', False)
741     self.printText('Regression|{:4d}|{:14.6f}|{:14.6f}|{:1',
742     '6.6f}|{:8.6f}\n'.format(P, ESS_uncorrected, MSE_uncorrected,
743     F_value_uncorrected, Pr_F_value_uncorrected), False)
744     self.printText('Residual|{:4d}|{:14.6f}|{:14.6f}|\n',
745     '{:14.6f}|{:14.6f}|{:14.6f}|\n'.format(N-P, RSS, MSR), False)
746     self.printText('Uncorrected Total|{:4d}|{:14.6f}|\n'.format(N,
747     TSS_uncorrected), False)
748     self.printText('Corrected Total|{:4d}|{:14.6f}|\n\n'.format(N-
749     1, TSS_corrected), False)
750     self.printText('s={:8.6f} R-sq={:8.6f} R-sq(adj)={:8.6f}\n',
751     '{:8.6f}\n'.format(s, R2, R2_bar), False)
752     self.printText('Average Absolute Deviation={:0.6f}\n'.format(AAD), False)
753     self.printText('Maximum Absolute Deviation={:0.6f}\n'.format(MAD), False)
754     self.printText('Average Absolute Relative Deviation (%)={:0.3%}\n'.format(AARD), False)
755     self.printText('Maximum Absolute Relative Deviation (%)={:0.3%}\n'.format(MARD), False)
756
757 # =====
758 # Function that calculates:
759 # mu0_MX_in_H2O_MEG_E_DividedBy_nRT, ln_gamma_MX_in_H2O_MEG_E
760 # and ln_b_MX_in_H2O_MEG_E
761 # from:
762 # b_MX_in_H2O_MEG, b_MX_in_H2O, b_MX_in_MEG, x_SF_MEG_in_H2O_MEG,
763 # A_phi_H2O, beta0_MX_H2O, beta1_MX_H2O, C_phi_MX_H2O, rho_H2O,
764 # rho_MEG, epsilon_r_H2O, epsilon_r_MEG and T
765 #
766 def f_excess(self, b_MX_in_H2O_MEG, b_MX_in_H2O, b_MX_in_MEG, x_SF_MEG_in_H2O_MEG,
767     A_phi_H2O, beta0_MX_H2O, beta1_MX_H2O, C_phi_MX_H2O, rho_H2O,
768     rho_MEG, epsilon_r_H2O, epsilon_r_MEG, T):
769     ln_gamma_MX_in_H2O = self.ln_gamma_MX(
770         b_MX_in_H2O,
771         self.f_gamma_MX(A_phi_H2O, self.X_gamma(self.I_b(b_MX_in_H2O))),
772         self.B_gamma_MX(beta0_MX_H2O, beta1_MX_H2O, self.Y_gamma(self.I_b(
773             b_MX_in_H2O))),
774         self.C_gamma_MX(C_phi_MX_H2O))
775     ln_gamma_MX_in_MEG = self.ln_gamma_MX_in_MEG(ln_gamma_MX_in_H2O,
776         b_MX_in_H2O, b_MX_in_MEG, T)
777     def ff(beta1_MX_MEG):

```

```

778     beta0_MX_MEG, C_phi_MX_MEG = beta0_MX_H2O, C_phi_MX_H2O
779     return ln_gamma_MX_in_MEG-self.ln_gamma_MX(
780         b_MX_in_MEG,
781         self.f_gamma_MX(
782             self.A_phi_solvent(A_phi_H2O, rho_H2O, epsilon_r_H2O,
783                             rho_MEG, epsilon_r_MEG),
784             self.X_gamma(self.I_b(b_MX_in_MEG))),
785             self.B_gamma_MX(beta0_MX_MEG, beta1_MX_MEG, self.Y_gamma(
786                 self.I_b(b_MX_in_MEG))),
787             self.C_gamma_MX(C_phi_MX_MEG))
788     beta1_MX_MEG = fsolve(ff, beta1_MX_H2O)
789     epsilon_r_H2O_MEG = self.epsilon_r_H2O_MEG(epsilon_r_H2O,
790         epsilon_r_MEG, x_SF_MEG_in_H2O_MEG, T)
791     beta0_MX_H2O_MEG = self.beta0_MX_H2O_MEG(beta0_MX_H2O)
792     beta1_MX_H2O_MEG = self.beta1_MX_H2O_MEG(beta1_MX_H2O, beta1_MX_MEG,
793         epsilon_r_H2O, epsilon_r_MEG, epsilon_r_H2O_MEG)
794     C_phi_MX_H2O_MEG = self.C_phi_MX_H2O_MEG(C_phi_MX_H2O)
795     ln_gamma_MX_in_H2O_MEG = self.ln_gamma_MX(
796         b_MX_in_H2O_MEG,
797         self.f_gamma_MX(
798             self.A_phi_solvent(
799                 A_phi_H2O,
800                 rho_H2O,
801                 epsilon_r_H2O,
802                 self.rho_H2O_MEG(rho_H2O, rho_MEG, x_SF_MEG_in_H2O_MEG),
803                 epsilon_r_H2O_MEG),
804             self.X_gamma(self.I_b(b_MX_in_H2O_MEG)),
805             self.B_gamma_MX(beta0_MX_H2O_MEG, beta1_MX_H2O_MEG, self.Y_gamma(self.I_b(
806                 b_MX_in_H2O_MEG))),
807             self.C_gamma_MX(C_phi_MX_H2O_MEG))
808     b0 = 1.0
809     ln_b_MX_in_H2O_MEG_id = self.p12_ideal(log(b_MX_in_H2O/b0), log(
810         b_MX_in_MEG/b0), x_SF_MEG_in_H2O_MEG)
811     ln_b_MX_in_H2O_MEG_E = self.p12_excess(log(b_MX_in_H2O_MEG/b0),
812         ln_b_MX_in_H2O_MEG_id)
813     ln_gamma_MX_in_H2O_MEG_id = self.p12_ideal(ln_gamma_MX_in_H2O,
814         ln_gamma_MX_in_MEG, x_SF_MEG_in_H2O_MEG)
815     ln_gamma_MX_in_H2O_MEG_E = self.p12_excess(ln_gamma_MX_in_H2O_MEG,
816         ln_gamma_MX_in_H2O_MEG_id)
817     mu0_MX_in_H2O_MEG_E_DividedBy_nRT = (-ln_b_MX_in_H2O_MEG_E-
818         ln_gamma_MX_in_H2O_MEG_E)
819     return (mu0_MX_in_H2O_MEG_E_DividedBy_nRT, ln_gamma_MX_in_H2O_MEG_E,
820         ln_b_MX_in_H2O_MEG_E, ln_gamma_MX_in_H2O_MEG)
821 #
822 #   Function that calculates:
823 #   b_MX_in_H2O_MEG
824 #   from:
825 #   mu0_MX_in_H2O_MEG_E_DividedBy_nRT, b_MX_in_H2O, b_MX_in_MEG, x_SF_MEG_in_H2O_MEG and T
826 #
827     def fsolve_b_MX_in_H2O_MEG(self, b_MX_in_H2O_MEG, mu0_MX_in_H2O_MEG_E_DividedBy_nRT,
828         b_MX_in_H2O, b_MX_in_MEG, x_SF_MEG_in_H2O_MEG, T):
829         return mu0_MX_in_H2O_MEG_E_DividedBy_nRT-self.f_excess(
830             b_MX_in_H2O_MEG,
831             b_MX_in_H2O,
832             b_MX_in_MEG,
833             x_SF_MEG_in_H2O_MEG,
834             self.A_phi_H2O(T),
835             self.beta0_MX_H2O(T),
836             self.beta1_MX_H2O(T),
837             self.C_phi_MX_H2O(T),
838             self.rho_H2O(T),
839             self.rho_MEG(T),
840             self.epsilon_r_H2O(T),
841             self.epsilon_r_MEG(T),
842             T)[0]
843
844     def runCalculations(self):
845         QApplication.setOverrideCursor(Qt.WaitCursor)
846         self.textEdit_GeneralReport.clear()
847         self.printText(CHARS_NUMBER+'\nSTART_OF_READING', 'SELECTING_AND_CONVERT',
848             'ING_UNITS_EQUILIBRIUM_DATA...\\n'+CHARS_EQUAL+'\n')
849         self.readDataset()
850
851         self.printText(CHARS_EQUAL+'\nEQUILIBRIUM_DATA_SELECTED_FOR_REGRESSION',
852             '\n'+CHARS_EQUAL+'\n')
853         self.printVectors('x_SF_MEG_in_H2O_MEG', x_SF_MEG_in_H2O_MEG_reg, '',
854             'b_MX_in_H2O_MEG', b_MX_in_H2O_MEG_reg, 'mol.kg^(-1)', 'T', T_reg,
855             'K', 'Reference', [bibrref[i] for i in idx_set_reg], '')
856         self.printText(CHARS_MINUS+'\nTOTAL_POINTS: {0}\n'.format(len(
857             x_SF_MEG_in_H2O_MEG_reg)))

```

```

858
859     if x_SF_MEGL_in_H2O_MEGL_prd != []:
860         self.printText(CHARS_EQUAL+'\nEQUILIBRIUM_DATA_SELECTED_FOR_PREDICTION\n'+CHARS_EQUAL+'\n')
861         self.printVectors('x_SF_MEGL_in_H2O_MEGL', x_SF_MEGL_in_H2O_MEGL_prd, '',
862                           'b_MX_in_H2O_MEGL', b_MX_in_H2O_MEGL_prd, 'mol.kg^(-1)', 'T', T_prd,
863                           'K', 'Reference', [bibref[i] for i in idx_set_prd], '')
864         self.printText(CHARS_MINUS+'\nTOTAL_POINTS: '+str(len(x_SF_MEGL_in_H2O_MEGL_prd)))
865
866         self.printText(CHARS_EQUAL+'\nEND_OF_READING,_SELECTING_AND_CONVERTING'
867                         '_UNITS_EQUILIBRIUM_DATA\n'+CHARS_NUMBER+'\n'*3)
868
869         self.printText(CHARS_NUMBER+'\nSELECTING_EQUILIBRIUM_DATA_AND_REGRESSI'
870                         'ON_THEIRS_FOR_SOLUTIONS_WITH_SINGLE_SOLVENT... \n'+CHARS_EQUAL+
871                         '\n')
872         global b_MX_in_H2O, T_MX_in_H2O, idx_MX_in_H2O
873         global b_MX_in_MEG, T_MX_in_MEG, idx_MX_in_MEG
874         (b_MX_in_H2O, T_MX_in_H2O, idx_MX_in_H2O, b_MX_in_MEG, T_MX_in_MEG,
875          idx_MX_in_MEG) = [], [], [], [], []
876         for b, x, T, i in zip(b_MX_in_H2O_MEGL_reg, x_SF_MEGL_in_H2O_MEGL_reg,
877                               T_prd, idx_set_prd):
878             if x < 0.01:
879                 array(b_MX_in_H2O.append(b))
880                 array(T_MX_in_H2O.append(T))
881                 array(idx_MX_in_H2O.append(i))
882             elif x > 0.99:
883                 array(b_MX_in_MEG.append(b))
884                 array(T_MX_in_MEG.append(T))
885                 array(idx_MX_in_MEG.append(i))
886             b_MX_in_H2O = array(b_MX_in_H2O)
887             T_MX_in_H2O = array(T_MX_in_H2O)
888             idx_MX_in_H2O = array(idx_MX_in_H2O)
889             b_MX_in_MEG = array(b_MX_in_MEG)
890             T_MX_in_MEG = array(T_MX_in_MEG)
891             idx_MX_in_MEG = array(idx_MX_in_MEG)
892
893             self.printText('EQUILIBRIUM_DATA_SELECTED_FOR_H2O\n'+CHARS_MINUS+'\n')
894             self.printVectors('b_MX_in_H2O', b_MX_in_H2O, 'mol.kg^(-1)', 'T',
895                             'T_MX_in_H2O', 'K', 'Reference', [bibref[i] for i in idx_MX_in_H2O],
896                             '')
897             fstr_b_MX_in_H2O = 'T, *theta: exp(theta[0]+theta[1]*T+theta[2]*log(T))'
898             self.printText(CHARS_EQUAL+'\nREGRESSION_FOR_H2O:\n'+CHARS_MINUS+'\n')
899             global f_b_MX_in_H2O, theta_b_MX_in_H2O
900             f_b_MX_in_H2O, theta_b_MX_in_H2O = self.nl_regression(fstr_b_MX_in_H2O,
901                                         T_MX_in_H2O, b_MX_in_H2O, [1, .001, 1])
902
903             self.printText(CHARS_EQUAL+'\nEQUILIBRIUM_DATA_SELECTED_FOR_MEG\n'+
904                           CHARS_MINUS+'\n')
905             self.printVectors('b_MX_in_MEG', b_MX_in_MEG, 'mol.kg^(-1)', 'T',
906                               'T_MX_in_MEG', 'K', 'Reference', [bibref[i] for i in idx_MX_in_MEG],
907                               '')
908             fstr_b_MX_in_MEG = 'T, *theta: exp(theta[0]+theta[1]*T)'
909             self.printText(CHARS_EQUAL+'\nREGRESSION_FOR_MEG:\n'+CHARS_MINUS+'\n')
910             global f_b_MX_in_MEG, theta_b_MX_in_MEG
911             f_b_MX_in_MEG, theta_b_MX_in_MEG = self.nl_regression(fstr_b_MX_in_MEG,
912                                         T_MX_in_MEG, b_MX_in_MEG, [1, .001])
913
914             self.printText(CHARS_EQUAL+'\nEQUILIBRIUM_DATA_SELECTED_AND_REGRESSION',
915                           'S_FINISHED\n'+CHARS_NUMBER+'\n'*3)
916
917             global mu0_MX_in_H2O_MEG_E_DividedBy_nRT_reg
918             global ln_gamma_MX_in_H2O_MEG_E_reg, ln_b_MX_in_H2O_MEG_E_reg
919             global ln_gamma_MX_in_H2O_MEG_reg
920             (mu0_MX_in_H2O_MEG_E_DividedBy_nRT_reg, ln_gamma_MX_in_H2O_MEG_E_reg,
921              ln_b_MX_in_H2O_MEG_E_reg, ln_gamma_MX_in_H2O_MEG_reg) =
922                 self.f_excess(b_MX_in_H2O_MEG_reg,
923                               f_b_MX_in_H2O(T_reg, *theta_b_MX_in_H2O),
924                               f_b_MX_in_MEG(T_reg, *theta_b_MX_in_MEG),
925                               x_SF_MEGL_in_H2O_MEGL_reg,
926                               self.A_phi_H2O(T_reg),
927                               self.bet0_MX_H2O(T_reg),
928                               self.bet1_MX_H2O(T_reg),
929                               self.C_phi_MX_H2O(T_reg),
930                               self.rho_H2O(T_reg),
931                               self.rho_MEG(T_reg),
932                               self.epsilon_r_H2O(T_reg),
933                               self.epsilon_r_MEG(T_reg),
934                               T_reg)
935
936

```

```

937 global mu0_MX_in_H2O_MEG_E_DividedBy_nRT_prd
938 global ln_gamma_MX_in_H2O_MEG_E_prd, ln_b_MX_in_H2O_MEG_E_prd
939 global ln_gamma_MX_in_H2O_MEG_prd
940 (mu0_MX_in_H2O_MEG_E_DividedBy_nRT_prd, ln_gamma_MX_in_H2O_MEG_E_prd,
941     ln_b_MX_in_H2O_MEG_E_prd, ln_gamma_MX_in_H2O_MEG_prd) =
942         self.f_excess(b_MX_in_H2O_MEG_prd,
943             f_b_MX_in_H2O(T_prd, *theta_b_MX_in_H2O),
944             f_b_MX_in_MEG(T_prd, *theta_b_MX_in_MEG),
945             x_SF_MEG_in_H2O_MEG_prd,
946             self.A_phi_H2O(T_prd),
947             self.betal_MX_H2O(T_prd),
948             self.betal_MX_H2O(T_prd),
949             self.C_phi_MX_H2O(T_prd),
950             self.rho_H2O(T_prd),
951             self.rho_MEG(T_prd),
952             self.epsilon_r_H2O(T_prd),
953             self.epsilon_r_MEG(T_prd),
954             T_prd)
955
956         self.printText(CHARS_NUMBER+'\nStarting regression Set of Experiments.'
957             ..'\n'+CHARS_NUMBER+'\n'*2)
958     def f3(X,*a):
959         x,t,f=X[0],X[1],0
960         for i in range(0,len(a),2):
961             f+= (a[i]+a[i+1]*t)*x** (i/2)
962         f*= x*(1-x)
963         return f
964     theta0 = random.rand(6)*100-200
965     global f_mu0_MX_in_H2O_MEG_E_DividedBy_nRT
966     global theta_mu0_MX_in_H2O_MEG_E_DividedBy_nRT
967     (f_mu0_MX_in_H2O_MEG_E_DividedBy_nRT,
968      theta_mu0_MX_in_H2O_MEG_E_DividedBy_nRT) = self.nl_regression((
969          f3, 'function'), array([x_SF_MEG_in_H2O_MEG_reg,
970          T_reg]), mu0_MX_in_H2O_MEG_E_DividedBy_nRT_reg, theta0)
971     self.printText(CHARS_NUMBER+'\nFinishing regression Set of Experiments'
972             '\n'+CHARS_NUMBER+'\n')
973     self.tabWidget_1.setEnabled(True)
974     QApplication.restoreOverrideCursor()
975
976     def selectPoints(self, x_all, T_all, T):
977         return [x_all[i] for i in range(len(T_all)) if abs(T_all[i]-T) < 0.05]
978
979     def limits_xy(self, x1, x2):
980         x_min, x_max = min(min(x1), min(x2)), max(max(x1), max(x2))
981         Delta_x = abs(x_max-x_min)/20.
982         return [x_min-Delta_x, x_max+Delta_x]
983
984     def minmaxPlot(self, x, n=20):
985         xmin, xmax = min(x), max(x)
986         dx = abs(xmax-xmin)/n
987         return xmin-dx, xmax+dx
988
989     def plot1(self):
990         QApplication.setOverrideCursor(Qt.WaitCursor)
991         self.textEdit_Statistics.setText('')
992         # Choice Solvent
993         if self.comboBox_Plot1_Oordinate_Solvent.currentIndex() == 0:
994             ylabel, T_MX_in_solvent, b_MX_in_solvent = 'H2O', T_MX_in_H2O, b_MX_in_H2O
995             idx_MX_in_solvent, f_rho, f_x_SF = idx_MX_in_H2O, self.rho_H2O, lambda _: 0.0
996             f_b_MX_in_solvent, theta_b_MX_in_solvent = f_b_MX_in_H2O, theta_b_MX_in_H2O
997         elif self.comboBox_Plot1_Oordinate_Solvent.currentIndex() == 1:
998             ylabel, T_MX_in_solvent, b_MX_in_solvent = 'MEG', T_MX_in_MEG, b_MX_in_MEG
999             idx_MX_in_solvent, f_rho, f_x_SF = idx_MX_in_MEG, self.rho_MEG, lambda _: 1.0
1000            f_b_MX_in_solvent, theta_b_MX_in_solvent = f_b_MX_in_MEG, theta_b_MX_in_MEG
1001        # Choice Temperature
1002        if self.comboBox_Plot1_Abscissa_Temperature.currentIndex() == 0:
1003            f_T = lambda _: -
1004            xlabel = r'$T\backslash \lfloor \rm{left} (\backslash rm{K}) \backslash right)$'
1005        elif self.comboBox_Plot1_Abscissa_Temperature.currentIndex() == 1:
1006            f_T = K_to_C
1007            xlabel = r'$T\backslash \lfloor \backslash circ \backslash rm{C} \backslash right)$'
1008        elif self.comboBox_Plot1_Abscissa_Temperature.currentIndex() == 2:
1009            f_T = K_to_R
1010            xlabel = r'$T\backslash \lfloor \backslash circ \backslash rm{R} \backslash right)$'
1011        elif self.comboBox_Plot1_Abscissa_Temperature.currentIndex() == 3:
1012            f_T = K_to_F
1013            xlabel = r'$T\backslash \lfloor \backslash circ \backslash rm{F} \backslash right)$'
1014        # Choice Concentration
1015        if self.comboBox_Plot1_Oordinate_Concentration.currentIndex() == 0:
1016            f_concentration1 = lambda _: [0]

```

```

1016
1017     f_concentration2 = lambda _: __
1018     ylabel = r'$b^{\{\rm{+}label+r'\}}\}_{\rm{+}MX+r'}\left(\rm{mol\cdot kg^{-1}}\right)$'
1019     elif self.comboBox_Plot1_Ordinate_Concentration.currentIndex() == 1:
1020         f_concentration1 = self.b_MX_in_H2O_MEG_to_c_MX_in_H2O_MEG
1021         f_concentration2 = f_rho
1022         ylabel = r'$c^{\{\rm{+}label+r'\}}\}_{\rm{+}MX+r'}\left(\rm{mol\cdot L^{-1}}\right)$'
1023     elif self.comboBox_Plot1_Ordinate_Concentration.currentIndex() == 2:
1024         f_concentration1 = self.b_MX_in_H2O_MEG_to_x_MX_in_H2O_MEG
1025         f_concentration2 = f_x_SF
1026         ylabel = r'$x^{\{\rm{+}label+r'\}}\}_{\rm{+}MX+r'}$'
1027     elif self.comboBox_Plot1_Ordinate_Concentration.currentIndex() == 3:
1028         f_concentration1 = self.b_MX_in_H2O_MEG_to_w_MX_in_H2O_MEG
1029         f_concentration2 = lambda _: __
1030         ylabel = r'$w^{\{\rm{+}label+r'\}}\}_{\rm{+}MX+r'}$'
1031     f_concentration = lambda b, T: f_concentration1(b, f_concentration2(T))
1032     ax = self.mplWidget_Graphic.canvas.ax
1033     ax.clear()
1034     xmin, xmax = self.minmaxPlot(T_MX_in_solvent)
1035     if xmin < 0:
1036         xmin = 0
1037     T = linspace(xmin, xmax, 50)
1038     xcurve = f_T(T)
1039     ycurve = f_concentration(f_b_MX_in_solvent(T, *theta_b_MX_in_solvent), T)
1040     xmin, xmax, ymin, ymax = min(xcurve), max(xcurve), min(ycurve), max(ycurve)
1041     ax.plot(xcurve, ycurve, 'g-', lw=2)
1042     l = list(set(idx_MX_in_solvent))
1043     Ycurve, Ypoints = array([]), array([])
1044     for idx in range(len(l)):
1045         T = array([T for T, i in zip(T_MX_in_solvent, idx_MX_in_solvent) if i == l[idx]])
1046         xpoints = f_T(T)
1047         ypoints = f_concentration(array([b for b, i in zip(b_MX_in_solvent, idx_MX_in_solvent)
1048                                         if i == l[idx]]), T)
1049         xmin, xmax, ymin, ymax = (min(xmin, min(xpoints)), max(xmax, max(xpoints)),
1050                                   min(ymin, min(ypoints)), max(ymax, max(ypoints)))
1051         ax.plot(xpoints, ypoints, COLORS_AND_MARKERS[idx])
1052     ycurve = f_concentration(f_b_MX_in_solvent(T, *theta_b_MX_in_solvent), T)
1053     Ycurve, Ypoints = concatenate((Ycurve, ycurve)), concatenate((Ypoints, ypoints))
1054     self.calculateStatistics(Ycurve, Ypoints)
1055     ax.set_xlabel(xlabel, fontsize=16)
1056     ax.set_ylabel(ylabel, fontsize=16)
1057     lstLegend = [bibref[i] for i in l]
1058     lstLegend.insert(0, 'Regression')
1059     ax.legend(lstLegend, loc=0, fontsize=12, ncol=2, fancybox=True, shadow=True)
1060     ax.grid(True)
1061     ax.set_xlim(self.minmaxPlot([xmin, xmax]))
1062     ax.set_ylim(self.minmaxPlot([ymin, ymax]))
1063     self.mplWidget_Graphic.canvas.draw()
1064     self.mplWidget_Graphic.setEnabled(True)
1065     self.checkBox_Graphic.setEnabled(True)
1066     self.pushButton_PrintGraphic.setEnabled(True)
1067     self.textEdit_Statistics.setEnabled(True)
1068     self.pushButton_SaveStatistics.setEnabled(True)
1069     self.pushButton_PrintStatistics.setEnabled(True)
1070     self.tabWidget_1.setCurrentIndex(3)
1071     QApplication.restoreOverrideCursor()
1072
1073 def plot2(self):
1074     QApplication.setOverrideCursor(Qt.WaitCursor)
1075     T_choice = self.T_to_K()
1076     if len(T_choice) < 1:
1077         QApplication.restoreOverrideCursor()
1078     return
1079     self.textEdit_Statistics.setText('')
1080     # Choice Concentration
1081     if self.comboBox_Plot2_Ordinate_Concentration.currentIndex() == 0:
1082         f_concentration1 = lambda *_:__[0]
1083         f_concentration2 = lambda *_:__[0]
1084         ylabel = r'$b^{\{\rm{+}H_2O+MEG'\}}\}_{\rm{+}MX+r'}\left(\rm{mol\cdot kg^{-1}}\right)$'
1085     elif self.comboBox_Plot2_Ordinate_Concentration.currentIndex() == 1:
1086         f_concentration1 = self.b_MX_in_H2O_MEG_to_c_MX_in_H2O_MEG
1087         f_concentration2 = lambda x_SF, T: self.rho_H2O_MEG(self.rho_H2O(T), self.rho_MEG(T),
1088                                                               x_SF)
1089         ylabel = r'$c^{\{\rm{+}H_2O+MEG'\}}\}_{\rm{+}MX+r'}\left(\rm{mol\cdot L^{-1}}\right)$'
1090     elif self.comboBox_Plot2_Ordinate_Concentration.currentIndex() == 2:
1091         f_concentration1 = self.b_MX_in_H2O_MEG_to_x_MX_in_H2O_MEG
1092         f_concentration2 = lambda *_:__[0]
1093         ylabel = r'$x^{\{\rm{+}H_2O+MEG'\}}\}_{\rm{+}MX+r'}$'
1094     elif self.comboBox_Plot2_Ordinate_Concentration.currentIndex() == 3:
1095         f_concentration1 = self.b_MX_in_H2O_MEG_to_w_MX_in_H2O_MEG
1096         f_concentration2 = lambda *_:__[0]

```

```

1095     xlabel = r'$w^{\{\rm{H}_2O+MEG}\}}_{\{\rm{MX+r}\}}$'
1096     f_concentration = lambda b, x_SF, T: f_concentration1(b, f_concentration2(x_SF, T))
1097     # Choice Solvent
1098     if self.comboBox_Plot2_Abscissa_Solvent.currentIndex() == 0:
1099         xlabel, f_x_SF = 'MEG', lambda _: _
1100     elif self.comboBox_Plot2_Abscissa_Solvent.currentIndex() == 1:
1101         xlabel, f_x_SF = 'H2O', lambda _: 1-
1102     # Choice Salt-free Concentration
1103     if self.comboBox_Plot2_Abscissa_Concentration.currentIndex() == 0:
1104         f_SF_concentration1 = f_x_SF
1105         f_SF_concentration2 = lambda _: -
1106         xlabel = r'$x^{\{\rm{H}_2O+MEG}\}}_{\{\rm{+xlabel+r}\}}$'
1107     elif self.comboBox_Plot2_Abscissa_Concentration.currentIndex() == 1:
1108         f_SF_concentration1 = f_x_SF
1109         f_SF_concentration2 = self.x_SF_MEG_in_H2O_MEG_to_w_SF_ME_in_H2O_MEG
1110         xlabel = r'$w^{\{\rm{H}_2O+MEG}\}}_{\{\rm{+xlabel+r}\}}$'
1111     f_SF_concentration = lambda x_SF: f_SF_concentration1(f_SF_concentration2(x_SF))
1112     # Choice Mode
1113     if self.comboBox_Isotherms_Mode.currentIndex() == 0:
1114         leg_mode, x_all, y_all, T_all = (r'$\rm{Regression}$', x_SF_ME_in_H2O_MEG_reg,
1115                                         b_MX_in_H2O_MEG_reg, T_reg)
1116     elif self.comboBox_Isotherms_Mode.currentIndex() == 1:
1117         leg_mode, x_all, y_all, T_all = (r'$\rm{Prediction}$', x_SF_ME_in_H2O_MEG_prd,
1118                                         b_MX_in_H2O_MEG_prd, T_prd)
1119     # Choice Temperature
1120     if self.comboBox_Isotherms_Temperature.currentIndex() == 0:
1121         f_T = lambda _: -
1122         str_T = r'$\rm{K}$'
1123     elif self.comboBox_Isotherms_Temperature.currentIndex() == 1:
1124         f_T = K_to_C
1125         str_T = r'$\rm{^\circ C}$'
1126     elif self.comboBox_Isotherms_Temperature.currentIndex() == 2:
1127         f_T = K_to_R
1128         str_T = r'$\rm{^\circ R}$'
1129     elif self.comboBox_Isotherms_Temperature.currentIndex() == 3:
1130         f_T = K_to_F
1131         str_T = r'$\rm{^\circ F}$'
1132     ax = self.mplWidget_Graphic.canvas.ax
1133     ax.clear()
1134     lstLegend = []
1135     xmin, xmax, ymin, ymax = 0.0, 1.0, None, None
1136     x_SF = linspace(xmin, xmax, 50)
1137     for i, t in enumerate(T_choice):
1138         T = zeros_like(x_SF)+t
1139         mu0_MX_in_H2O_MEG_E_DividedBy_nRT = f_mu0_MX_in_H2O_MEG_E_DividedBy_nRT(
1140             [x_SF, T], *theta_mu0_MX_in_H2O_MEG_E_DividedBy_nRT)
1141         b_MX_in_H2O = f_b_MX_in_H2O(T, *theta_b_MX_in_H2O)
1142         b_MX_in_MEG = f_b_MX_in_MEG(T, *theta_b_MX_in_MEG)
1143         b_MX_in_H2O_MEG = fsolve(self.fsolve_b_MX_in_H2O_MEG, b_MX_in_H2O*(1-x_SF)+
1144             b_MX_in_MEG*x_SF, args=(mu0_MX_in_H2O_MEG_E_DividedBy_nRT, b_MX_in_H2O,
1145                                         b_MX_in_MEG, x_SF, T))
1146         xcurve = f_SF_concentration(x_SF)
1147         ycurve = f_concentration(b_MX_in_H2O_MEG, x_SF, T)
1148         if ymin:
1149             ymin = min(ymin, min(ycurve))
1150         else:
1151             ymin = min(ycurve)
1152         if ymax:
1153             ymax = max(ymax, max(ycurve))
1154         else:
1155             ymax = max(ycurve)
1156         ax.plot(xcurve, ycurve, COLORS_AND_MARKERS[i][0] + ' ', lw=2)
1157         lstLegend.append(leg_mode+str(f_T(t))+str_T+r'$' )
1158     Ycurve, Ypoints = array([]), array([])
1159     for i, t in enumerate(T_choice):
1160         x_SF = array(self.selectPoints(x_all, T_all, t))
1161         if len(x_SF) > 0:
1162             xpoints = f_SF_concentration(x_SF)
1163             ypoints = f_concentration(array(self.selectPoints(y_all, T_all, t)), x_SF, t)
1164             ymin, ymax = min(ypoints), max(ypoints)
1165             ax.plot(xpoints, ypoints, COLORS_AND_MARKERS[i])
1166             lstLegend.append(r'$\rm{Experimental\ points\ }' + str(f_T(t))+str_T+r'$' )
1167             # Statistics
1168             T = zeros_like(x_SF)+t
1169             mu0_MX_in_H2O_MEG_E_DividedBy_nRT = f_mu0_MX_in_H2O_MEG_E_DividedBy_nRT(
1170                 [x_SF, T], *theta_mu0_MX_in_H2O_MEG_E_DividedBy_nRT)
1171             b_MX_in_H2O = f_b_MX_in_H2O(T, *theta_b_MX_in_H2O)
1172             b_MX_in_MEG = f_b_MX_in_MEG(T, *theta_b_MX_in_MEG)
1173             b_MX_in_H2O_MEG = fsolve(self.fsolve_b_MX_in_H2O_MEG, b_MX_in_H2O*(1-x_SF)+
1174                                         b_MX_in_MEG*x_SF, args=(mu0_MX_in_H2O_MEG_E_DividedBy_nRT, b_MX_in_H2O,

```

```

1175         b_MX_in_MEGL, x_SF, T))
1176     ycurve = f_concentration(b_MX_in_H2O_MEGL, x_SF, T)
1177     Ycurve, Ypoints = concatenate((Ycurve, ycurve)), concatenate((Ypoints, ypoints))
1178     self.calculateStatistics(Ycurve, Ypoints)
1179     ax.set_xlabel(xlabel, fontsize=16)
1180     ax.set_ylabel(ylabel, fontsize=16)
1181     ax.legend([l1Legend, loc=0, fontsize=12, ncol=2, fancybox=True, shadow=True])
1182     ax.grid(True)
1183     ax.set_xlim(self.minmaxPlot([xmin, xmax]))
1184     ax.set_ylim(self.minmaxPlot([ymin, ymax]))
1185     self.mplWidget_Graphic.canvas.draw()
1186     self.mplWidget_Graphic.setEnabled(True)
1187     self.checkBox_Graphic.setEnabled(True)
1188     self.pushButton_PrintGraphic.setEnabled(True)
1189     self.textEdit_Statistics.setEnabled(True)
1190     self.pushButton_SaveStatistics.setEnabled(True)
1191     self.pushButton_PrintStatistics.setEnabled(True)
1192     self.tabWidget_1.setCurrentIndex(3)
1193     QApplication.restoreOverrideCursor()
1194
1195 def plot3(self):
1196     QApplication.setOverrideCursor(Qt.WaitCursor)
1197     T_choice = self.T_to_K()
1198     if len(T_choice) < 1:
1199         QApplication.restoreOverrideCursor()
1200     return
1201     self.textEdit_Statistics.setText('')
1202 # Choice Function
1203     if self.comboBox_Plot3_Ordinate_Function.currentIndex() == 0:
1204         f_function = lambda __: exp(__)
1205         ylabel = r'$\gamma^{\{ \{ \rm{H}_2O+MEG} \}}_{\{ \{ \rm{MX+r} \}}}$'
1206     elif self.comboBox_Plot3_Ordinate_Function.currentIndex() == 1:
1207         f_function = lambda __:
1208             ylabel = r'$\ln \gamma^{\{ \{ \rm{H}_2O+MEG} \}}_{\{ \{ \rm{MX+r} \}}}$'
1209 # Choice Solvent
1210     if self.comboBox_Plot3_Abscissa_Solvent.currentIndex() == 0:
1211         xlabel, f_x_SF = 'MEG', lambda __:
1212     elif self.comboBox_Plot3_Abscissa_Solvent.currentIndex() == 1:
1213         xlabel, f_x_SF = 'H_2O', lambda __: 1-
1214 # Choice Salt-free Concentration
1215     if self.comboBox_Plot3_Abscissa_Concentration.currentIndex() == 0:
1216         f_SF_concentration1 = f_x_SF
1217         f_SF_concentration2 = lambda __:
1218             xlabel = r'$x^{\{ \rm{H}_2O+MEG} }_{\{ \{ \rm{MX+r} \}}}$'
1219     elif self.comboBox_Plot3_Abscissa_Concentration.currentIndex() == 1:
1220         f_SF_concentration1 = f_x_SF
1221         f_SF_concentration2 = self.x_SF_MEGL_in_H2O_MEGL_to_w_SF_MEGL_in_H2O_MEGL
1222         xlabel = r'$w^{\{ \rm{H}_2O+MEG} }_{\{ \{ \rm{MX+r} \}}}$'
1223     f_SF_concentration = lambda x_SF: f_SF_concentration1(f_SF_concentration2(x_SF))
1224 # Choice Mode
1225     if self.comboBox_Isotherms_Mode.currentIndex() == 0:
1226         leg_mode, x_all, y_all, T_all = (r'$\rm{Regression}$', x_SF_MEGL_in_H2O_MEGL_reg,
1227         ln_gamma_MX_in_H2O_MEGL_reg, T_reg)
1228     elif self.comboBox_Isotherms_Mode.currentIndex() == 1:
1229         leg_mode, x_all, y_all, T_all = (r'$\rm{Prediction}$', x_SF_MEGL_in_H2O_MEGL_prd,
1230         ln_gamma_MX_in_H2O_MEGL_prd, T_prd)
1231 # Choice Temperature
1232     if self.comboBox_Isotherms_Temperature.currentIndex() == 0:
1233         f_T = lambda __:
1234         str_T = r'$\rm{K}' +
1235     elif self.comboBox_Isotherms_Temperature.currentIndex() == 1:
1236         f_T = K_to_C
1237         str_T = r'$\rm{^\circ C}' +
1238     elif self.comboBox_Isotherms_Temperature.currentIndex() == 2:
1239         f_T = K_to_R
1240         str_T = r'$\rm{^\circ R}' +
1241     elif self.comboBox_Isotherms_Temperature.currentIndex() == 3:
1242         f_T = K_to_F
1243         str_T = r'$\rm{^\circ F}' +
1244     ax = self.mplWidget_Graphic.canvas.ax
1245     ax.clear()
1246     l1Legend = []
1247     xmin, xmax, ymin, ymax = 0.0, 1.0, None, None
1248     x_SF = linspace(xmin, xmax, 50)
1249     for i, t in enumerate(T_choice):
1250         T = zeros_like(x_SF)+t
1251         mu0_MX_in_H2O_MEGL_E_DividedBy_nRT = f_mu0_MX_in_H2O_MEGL_E_DividedBy_nRT(
1252             [x_SF, T], *theta_mu0_MX_in_H2O_MEGL_E_DividedBy_nRT)
1253         b_MX_in_H2O = f_b_MX_in_H2O(T, *theta_b_MX_in_H2O)
1254         b_MX_in_MEGL = f_b_MX_in_MEGL(T, *theta_b_MX_in_MEGL)

```

```

1255     b_MX_in_H2O_MEG = fsolve(self.fsolve_b_MX_in_H2O_MEG, b_MX_in_H2O*(1-x_SF)+
1256         b_MX_in_MEG*x_SF, args=(mu0_MX_in_H2O_MEG_E_DividedBy_nRT, b_MX_in_H2O,
1257         b_MX_in_MEG, x_SF, T))
1258     A_phi_H2O = self.A_phi_H2O(T)
1259     beta0_MX_H2O = self.beta0_MX_H2O(T)
1260     beta1_MX_H2O = self.beta1_MX_H2O(T)
1261     C_phi_MX_H2O = self.C_phi_MX_H2O(T)
1262     F_excess = self.f_excess(b_MX_in_H2O_MEG, b_MX_in_H2O, b_MX_in_MEG,
1263         x_SF, A_phi_H2O, beta0_MX_H2O, beta1_MX_H2O,
1264         C_phi_MX_H2O, self.rho_H2O(T), self.rho_MEG(T),
1265         self.epsilon_r_H2O(T), self.epsilon_r_MEG(T), T)
1266     ln_gamma_MX_in_H2O = self.ln_gamma_MX(
1267         b_MX_in_H2O,
1268         self.f_gamma_MX(A_phi_H2O, self.X_gamma(self.I_b(b_MX_in_H2O))),
1269         self.B_gamma_MX(beta0_MX_H2O, beta1_MX_H2O, self.Y_gamma(self.I_b(
1270             b_MX_in_H2O))),
1271         self.C_gamma_MX(C_phi_MX_H2O))
1272     ln_gamma_MX_in_MEG = self.ln_gamma_MX_in_MEG(ln_gamma_MX_in_H2O,
1273         b_MX_in_H2O, b_MX_in_MEG, T)
1274     xcurve = f_SF_concentration(x_SF)
1275     ycurve = f_function(F_excess[1]+self.p12_ideal(ln_gamma_MX_in_H2O, ln_gamma_MX_in_MEG,
1276         x_SF))
1277     if ymin:
1278         ymin = min(ymin, min(ycurve))
1279     else:
1280         ymin = min(ycurve)
1281     if ymax:
1282         ymax = max(ymax, max(ycurve))
1283     else:
1284         ymax = max(ycurve)
1285     ax.plot(xcurve, ycurve, COLORS_AND_MARKERS[i][0] + ' ', lw=2)
1286     lstLegend.append(leg_mode+str(f_T(t))+str_T+r'$')
1287     Ycurve, Ypoints = array([]), array([])
1288     for i, t in enumerate(T_choice):
1289         x_SF = array(self.selectPoints(x_all, T_all, t))
1290         if len(x_SF) > 0:
1291             xpoints = f_SF_concentration(x_SF)
1292             ypoints = f_function(array(self.selectPoints(y_all, T_all, t)))
1293             ymin, ymax = min(ymin, min(ypoints)), max(ymax, max(ypoints))
1294             ax.plot(xpoints, ypoints, COLORS_AND_MARKERS[i])
1295             lstLegend.append(r'$\rm{Experimental}\backslash points\backslash \{'+str(f_T(t))+str_T+r'\}$')
1296     # Statistics
1297     T = zeros_like(x_SF)+t
1298     mu0_MX_in_H2O_MEG_E_DividedBy_nRT = f_mu0_MX_in_H2O_MEG_E_DividedBy_nRT(
1299         [x_SF, T], *theta_mu0_MX_in_H2O_MEG_E_DividedBy_nRT)
1300     b_MX_in_H2O = f_b_MX_in_H2O(T, *theta_b_MX_in_H2O)
1301     b_MX_in_MEG = f_b_MX_in_MEG(T, *theta_b_MX_in_MEG)
1302     b_MX_in_H2O_MEG = fsolve(self.fsolve_b_MX_in_H2O_MEG, b_MX_in_H2O*(1-x_SF)+
1303         b_MX_in_MEG*x_SF, args=(mu0_MX_in_H2O_MEG_E_DividedBy_nRT, b_MX_in_H2O,
1304         b_MX_in_MEG, x_SF, T))
1305     A_phi_H2O = self.A_phi_H2O(T)
1306     beta0_MX_H2O = self.beta0_MX_H2O(T)
1307     beta1_MX_H2O = self.beta1_MX_H2O(T)
1308     C_phi_MX_H2O = self.C_phi_MX_H2O(T)
1309     F_excess = self.f_excess(b_MX_in_H2O_MEG, b_MX_in_H2O, b_MX_in_MEG,
1310         x_SF, A_phi_H2O, beta0_MX_H2O, beta1_MX_H2O,
1311         C_phi_MX_H2O, self.rho_H2O(T), self.rho_MEG(T),
1312         self.epsilon_r_H2O(T), self.epsilon_r_MEG(T), T)
1313     ln_gamma_MX_in_H2O = self.ln_gamma_MX(
1314         b_MX_in_H2O,
1315         self.f_gamma_MX(A_phi_H2O, self.X_gamma(self.I_b(b_MX_in_H2O))),
1316         self.B_gamma_MX(beta0_MX_H2O, beta1_MX_H2O, self.Y_gamma(self.I_b(
1317             b_MX_in_H2O))),
1318         self.C_gamma_MX(C_phi_MX_H2O))
1319     ln_gamma_MX_in_MEG = self.ln_gamma_MX_in_MEG(ln_gamma_MX_in_H2O,
1320         b_MX_in_H2O, b_MX_in_MEG, T)
1321     ycurve = f_function(F_excess[1]+self.p12_ideal(ln_gamma_MX_in_H2O,
1322         ln_gamma_MX_in_MEG, x_SF))
1323     Ycurve, Ypoints = concatenate((Ycurve, ycurve)), concatenate((Ypoints, ypoints))
1324     self.calculateStatistics(Ycurve, Ypoints)
1325     ax.set_xlabel(xlabel, fontsize=16)
1326     ax.set_ylabel(ylabel, fontsize=16)
1327     ax.legend(lstLegend, loc=0, fontsize=12, ncol=2, fancybox=True, shadow=True)
1328     ax.grid(True)
1329     ax.set_xlim(self.minmaxPlot([xmin, xmax]))
1330     ax.set_ylim(self.minmaxPlot([ymin, ymax]))
1331     self.mplWidget_Graphic.canvas.draw()
1332     self.mplWidget_Graphic.setEnabled(True)
1333     self.checkBox_Graphic.setEnabled(True)
1334     self.pushButton_PrintGraphic.setEnabled(True)

```

```

1334     self.textEdit_Statistics.setEnabled(True)
1335     self.pushButton_SaveStatistics.setEnabled(True)
1336     self.pushButton_PrintStatistics.setEnabled(True)
1337     self.tabWidget_1.setCurrentIndex(3)
1338     QApplication.restoreOverrideCursor()
1339
1340 def plot4(self):
1341     QApplication.setOverrideCursor(Qt.WaitCursor)
1342     T_choice = self.T_to_K()
1343     if len(T_choice) < 1:
1344         QApplication.restoreOverrideCursor()
1345         return
1346     self.textEdit_Statistics.setText('')
1347 # Choice Excess Function
1348     if self.comboBox_Plot4_Ordinate_ExcessFunction.currentIndex() == 0:
1349         y_all = [mu0_MX_in_H2O_MEG_E_DividedBy_nRT_reg, mu0_MX_in_H2O_MEG_E_DividedBy_nRT_prd]
1350         ylabel = r'$\{ \left[ \mu_0 \{ MX_{in} H_2O MEG_E \} / nRT \right] - \{ MX_{in} H_2O MEG_E \} \} / \{ nRT \}$'
1351     elif self.comboBox_Plot4_Ordinate_ExcessFunction.currentIndex() == 1:
1352         y_all = [ln_gamma_MX_in_H2O_MEG_E_reg, ln_gamma_MX_in_H2O_MEG_E_prd]
1353         ylabel = r'$\{ \ln \gamma_{MX_{in} H_2O MEG_E} \} - \{ \ln \gamma_{MX_{in} H_2O MEG_E} \} / \{ nRT \}$'
1354     elif self.comboBox_Plot4_Ordinate_ExcessFunction.currentIndex() == 2:
1355         y_all = [ln_b_MX_in_H2O_MEG_E_reg, ln_b_MX_in_H2O_MEG_E_prd]
1356         ylabel = r'$\{ \ln b_{MX_{in} H_2O MEG_E} \} - \{ \ln b_{MX_{in} H_2O MEG_E} \} / \{ nRT \}$'
1357 # Choice Solvent
1358     if self.comboBox_Plot4_Abscissa_Solvent.currentIndex() == 0:
1359         xlabel, f_x_SF = 'MEG', lambda : -
1360     elif self.comboBox_Plot4_Abscissa_Solvent.currentIndex() == 1:
1361         xlabel, f_x_SF = 'H_2O', lambda : 1-
1362 # Choice Salt-free Concentration
1363     if self.comboBox_Plot4_Abscissa_Concentration.currentIndex() == 0:
1364         f_SF_concentration1 = f_x_SF
1365         f_SF_concentration2 = lambda : -
1366         xlabel = r'$x_{SF} = \{ MX_{in} H_2O MEG_E \} / \{ nRT \}$'
1367     elif self.comboBox_Plot4_Abscissa_Concentration.currentIndex() == 1:
1368         f_SF_concentration1 = f_x_SF
1369         f_SF_concentration2 = self.x_SF_MEQ_in_H2O_MEQ_to_w_SF_MEQ_in_H2O_MEQ
1370         xlabel = r'$w_{SF} = \{ MX_{in} H_2O MEG_E \} / \{ nRT \}$'
1371     f_SF_concentration = lambda x_SF: f_SF_concentration1(f_SF_concentration2(x_SF))
1372 # Choice Mode
1373     if self.comboBox_Isotherms_Mode.currentIndex() == 0:
1374         leg_mode, x_all, y_all, T_all = (r'\rm{Regression}', x_SF_MEQ_in_H2O_MEQ_reg,
1375                                         y_all[0], T_reg)
1376     elif self.comboBox_Isotherms_Mode.currentIndex() == 1:
1377         leg_mode, x_all, y_all, T_all = (r'\rm{Prediction}', x_SF_MEQ_in_H2O_MEQ_prd,
1378                                         y_all[1], T_prd)
1379 # Choice Temperature
1380     if self.comboBox_Isotherms_Temperature.currentIndex() == 0:
1381         f_T = lambda : -
1382         str_T = r'$T$'
1383     elif self.comboBox_Isotherms_Temperature.currentIndex() == 1:
1384         f_T = K_to_C
1385         str_T = r'$C$'
1386     elif self.comboBox_Isotherms_Temperature.currentIndex() == 2:
1387         f_T = K_to_R
1388         str_T = r'$R$'
1389     elif self.comboBox_Isotherms_Temperature.currentIndex() == 3:
1390         f_T = K_to_F
1391         str_T = r'$F$'
1392     ax = self.mplWidget_Graphic.canvas.ax
1393     ax.clear()
1394     lstLegend = []
1395     xmin, xmax, ymin, ymax = 0.0, 1.0, None, None
1396     x_SF = linspace(xmin, xmax, 50)
1397     for i, t in enumerate(T_choice):
1398         T = zeros_like(x_SF)+t
1399         mu0_MX_in_H2O_MEG_E_DividedBy_nRT = f_mu0_MX_in_H2O_MEG_E_DividedBy_nRT(
1400             [x_SF, T], *theta_mu0_MX_in_H2O_MEG_E_DividedBy_nRT)
1401         b_MX_in_H2O = f_b_MX_in_H2O(T, *theta_b_MX_in_H2O)
1402         b_MX_in_MEQ = f_b_MX_in_MEQ(T, *theta_b_MX_in_MEQ)
1403         b_MX_in_H2O_MEQ = fsolve(self.fsolve_b_MX_in_H2O_MEQ, b_MX_in_H2O*(1-x_SF)+
1404             b_MX_in_MEQ*x_SF, args=(mu0_MX_in_H2O_MEG_E_DividedBy_nRT, b_MX_in_H2O,
1405             b_MX_in_MEQ, x_SF, T))
1406         A_phi_H2O = self.A_phi_H2O(T)
1407         beta0_MX_H2O = self.beta0_MX_H2O(T)
1408         beta1_MX_H2O = self.beta1_MX_H2O(T)
1409         C_phi_MX_H2O = self.C_phi_MX_H2O(T)
1410         F_excess = self.f_excess(b_MX_in_H2O_MEQ, b_MX_in_H2O, b_MX_in_MEQ,
1411             x_SF, A_phi_H2O, beta0_MX_H2O, beta1_MX_H2O,
1412             C_phi_MX_H2O, self.rho_H2O(T), self.rho_MEQ(T),
1413             self.epsilon_r_H2O(T), self.epsilon_r_MEQ(T), T)

```

```

1414     xcurve = f_SF_concentration(x_SF)
1415     ycurve = F_excess[ self.comboBox_Plot4_Ordinate_ExcessFunction.currentIndex() ]
1416     if ymin:
1417         ymin = min(ymin, min(ycurve))
1418     else:
1419         ymin = min(ycurve)
1420     if ymax:
1421         ymax = max(ymax, max(ycurve))
1422     else:
1423         ymax = max(ycurve)
1424     ax.plot(xcurve, ycurve, COLORS_AND_MARKERS[i][0] + ' ', lw=2)
1425     lstLegend.append(leg_mode+str(f_T(t))+str_T+r'$')
1426 Ycurve, Ypoints = array([]), array([])
1427 for i, t in enumerate(T_choice):
1428     x_SF = array(self.selectPoints(x_all, T_all, t))
1429     if len(x_SF) > 0:
1430         xpoints = f_SF_concentration(x_SF)
1431         ypoints = array(self.selectPoints(y_all, T_all, t))
1432         ymin, ymax = min(ymin, min(ypoints)), max(ymax, max(ypoints))
1433         ax.plot(xpoints, ypoints, COLORS_AND_MARKERS[i])
1434         lstLegend.append(r'$\rm{Experimental}\backslash u points\backslash u ('+str(f_T(t))+str_T+r')$')
1435     # Statistics
1436     T = zeros_like(x_SF)+t
1437     mu0_MX_in_H2O_ME_E_DividedBy_nRT = f_mu0_MX_in_H2O_ME_E_DividedBy_nRT(
1438         [x_SF, T], *theta_mu0_MX_in_H2O_ME_E_DividedBy_nRT)
1439     b_MX_in_H2O = f_b_MX_in_H2O(T, *theta_b_MX_in_H2O)
1440     b_MX_in_MEG = f_b_MX_in_MEG(T, *theta_b_MX_in_MEG)
1441     b_MX_in_H2O_ME_E = fsolve(self.fsolve_b_MX_in_H2O_ME, b_MX_in_H2O*(1-x_SF)+
1442         b_MX_in_MEG*x_SF, args=(mu0_MX_in_H2O_ME_E_DividedBy_nRT, b_MX_in_H2O,
1443         b_MX_in_MEG, x_SF, T))
1444     A_phi_H2O = self.A_phi_H2O(T)
1445     beta0_MX_H2O = self.beta0_MX_H2O(T)
1446     beta1_MX_H2O = self.beta1_MX_H2O(T)
1447     C_phi_MX_H2O = self.C_phi_MX_H2O(T)
1448     F_excess = self.f_excess(b_MX_in_H2O_ME, b_MX_in_H2O, b_MX_in_MEG,
1449         x_SF, A_phi_H2O, beta0_MX_H2O, beta1_MX_H2O,
1450         C_phi_MX_H2O, self.rho_H2O(T), self.rho_MEG(T),
1451         self.epsilon_r_H2O(T), self.epsilon_r_MEG(T), T)
1452     ycurve = F_excess[ self.comboBox_Plot4_Ordinate_ExcessFunction.currentIndex() ]
1453     Ycurve, Ypoints = concatenate((Ycurve, ycurve)), concatenate((Ypoints, ypoints))
1454     self.calculateStatistics(Ycurve, Ypoints)
1455     ax.set_xlabel(xlabel, fontsize=16)
1456     ax.set_ylabel(ylabel, fontsize=16)
1457     ax.legend(lstLegend, loc=0, fontsize=12, ncol=2, fancybox=True, shadow=True)
1458     ax.grid(True)
1459     ax.set_xlim(self.minmaxPlot([xmin, xmax]))
1460     ax.set_ylim(self.minmaxPlot([ymin, ymax]))
1461     self.mplWidget_Graphic.canvas.draw()
1462     self.mplWidget_Graphic.setEnabled(True)
1463     self.checkBox_Graphic.setEnabled(True)
1464     self.pushButton_PrintGraphic.setEnabled(True)
1465     self.textEdit_Statistics.setEnabled(True)
1466     self.pushButton_SaveStatistics.setEnabled(True)
1467     self.pushButton_PrintStatistics.setEnabled(True)
1468     self.tabWidget_1.setCurrentIndex(3)
1469     QApplication.restoreOverrideCursor()
1470
1471 def main():
1472     app = QApplication(sys.argv)
1473     __ = JAFOSSMS()
1474     sys.exit(app.exec_())
1475
1476 if __name__ == '__main__':
1477     main()

```